

T.C.

Ege Üniversitesi Tıp Fakültesi
Nöroşirürji Anabilim Dalı
Prof. Dr. Erdem TUNCBAY

CC700

TÜRKİYE
BİLİMSEL ve TEKNİK
ARAŞTIRMA KURUMU
KÜTÜPHANESİ

1986

DENEYSEL OMURİLİK YARALANMALARI
(ELEKTROFİZYOLOJİK MONİTÖRLEME
ve TEDAVİYE YAKLAŞIM)

Bağış, Hazırlanın

Uzmanlık Tezi

Dr. Mehmet ZİLELİ

T.C. YÜKSEK ÖĞRETMENLÜK
DOKÜMANASYON MERKEZİ

80700

İzmir - 1985

İ C İ N D E K İ L E R

Sayfa No:

ÖNSÖZ	
KISALTMALAR	
I GİRİŞ ve AMAÇ	1
II GENEL BİLGİLER	11
A-OMURİLİK ANATOMİSİ ve FİZYOLOJİSİ	
1-Tarihçe	11
2-Gros anatomi	15
3-Traktuslar	22
4-Omurilik vaskularizasyonu ve kan akımı	31
5-Sıçan anatomisinin Özellikleri	37
B-OMURİLİK TRAVMALARININ FİZYOPATOLOJİSİ	
1-Tarihçe	40
2-Deneysel travma yöntemleri ve değerlendirilmesi	43
3-Patoloji	53
4-Üdem	59
5-Omurilik kan akımı ve perfüzyon değişiklikleri	61
6-Biyokimyasal değişiklikler	66
7-Omurilik travması sonrası iletim kaybının fizyopatolojisi	71
C-OMURİLİK TRAVMALARININ ELEKTROFİZYOLOJİSİ	
1-Tarihçe	78
2-Spontan omurilik aktivitesi	82
"EK" Uyartılmış potansiyellerle ilgili genel bilgiler	87
3-Uyartılmış omurilik potansiyelleri	98
4-Omurilik refleksolojisi	126
D-OMURİLİK TRAVMALARININ TEDAVİSİ	
1-Tarihçe	128
2-İlaçlar	131
3-Diğer nonoperatif tedaviler	154
4-Operatif tedavi	158
III GEREÇ ve YÖNTEM	163
IV SONUÇLAR	179
V TARTIŞMA	210
VI ÖZET	233
VII KAYNAKLAR	235

ÖNSÖZ

Nörolojik bilimler ve cerrahide yetişmemi ve bu çalışma için gerekli koşullar ve ortamı sağlayan Prof.Dr.Erdem TUNÇBAY'a, çalışmaın her aşamasında büyük yardımlarını gördüğüm Doç.Dr.İzzet ÖVÜL'e, averajörlerini kullanmamıza izin veren Nöroloji Anabilim Dalı, Klinik Nörofizyoloji Laboratuarı yöneticilerine, deney hayvanlarının sağlanmasında ve bakımında yardımcı olan Deneysel Cerrahi Bilim Dalı yöneticilerine, patolojik preparatların değerlendirilmesinde yardımcı olan Prof.Dr.Nejat SABUNCU'ya, çalışmaya değişik aşamalarda yardımcı olan Dr.Tayfun DALBASTI, Dr.Serdar CANKO, Dr.Sertaç İŞLEKEL, Dr.Tufan HİÇDÖNMEZ, Stj.Dr.Görsev GÜLMEN'e, dizgi ve yazım için bilgisayar ve yazdırıcısını kullanmama izin veren Eln.Müh.M.Yaşar ORHAN'a teşekkürü bir borç bilişim.

Aralık 1985

Dr.Mehmet ZİLELİ

K I S A L T M A L A R

ATP	: Adenozin Trifosfat
ATPase	: Adenozin Trifosfataz
CA	: "Catecholamine"
cAMP	: Siklik adenozin monofosfat
DA	: Dopamin
DMSO	: "Dimethyl sulfoxide"
EEG	: Elektroansefalografi
EP	: "Evoked Potential", uyartılmış potansiyel
EvEMyeloG	: "Evoked Electromyelogram"
FES	: Fonksiyonel Elektriksel Stimulasyon
HN	: Hemorajik Nekroz
Hz	: Herz (frekans birimi)
MEP	: "Motor Evoked Potential"
MPD	: "Methylprednisolone"
mSEP	: median sinir uyarımıyla SEP
NE	: Norepinefrin
NKD	: Negatif Keskin Dalga
OKA	: Omurilik Kan Akımı
pSEP	: popliteal sinirlerin uyarımı ile SEP
SEP	: "Somatosensory Evoked Potential"
SKA	: Serebral Kan Akımı
SpEMyeloG	: "Spontan Electromyelogram"
SSEP	: "Short-latency Somatosensory Evoked Potential"
SSS	: Santral Sinir Sistemi
ZA	: Zemin Aktivitesi



I GIBIS ve ANAC

Yazılı tarihin olduğu 5000 yıldan beri, ve yazılı olmayan milyonlarca yıllık tarih öncesi dönemden beri omurilik yaralanmaları tamamen ümitsiz bir durum olarak kabul edilmiştir. Ancak 20. yüzyıla gelindiğinde omurilik yaralanmalı kişilerin birkaç hafta veya aydan fazla yaşaması mümkün olabilmiştir. Özellikle 2. dünya savaşıından sonra bu yönde büyük adımlar atılmıştır.^{54,89,114}

Ancak bu yaşam kurtarabilme özelliği, toplumun yeni ³⁴⁷ bir özürlü insanlar nüfusuna sahip olmasına yol açmıştır.

Omurilik travmalarından sonra, özellikle şiddetli travmada akut ³⁴⁷ dönem geçtikten sonra gelenen fonksiyonel düzey çökükla sabit kalmaktadır. Bu açıdan bakılınca omurilik yaralanmasının tedavisi henüz bulunamamıştır. Bu nedenle, tedavisi olmayan tüm hastalıklarda olduğu gibi, omurilik yaralanmaları ile ilgili çok sayıda çalışma yapılmış ve yapılmaktadır. Özellikle gelişmiş ülkelerde rehabilitasyona verilen önem sayesinde omurilik travmalı paraplegik ve kuadriplejik insanların sayısının artmasına paralel olarak, araştırmaların da sayısı artmaktadır.

Amerika Birleşik Devletlerindeki "Paralysis Cure Research Foundation" (Paralizi Şifa Araştırma Vakfı) adlı kurumun 19 Ağustos 1981 tarihli bildirisinde, omurilik yaralanmasında şifa getirecek bir yöntemi ilk geliştiren kişi, grup veya organizasyona 1 milyon dolarlık bir ödül verileceği duyurulmuş-²¹ tur. Şifanın olduğu, servikal düzeyde omurilik yaralanması bulunan 21 olguda duysal ve motor fonksiyonun restorasyonu ile kanıtlanmalıdır. Ödülle aday gösterilen birçok çalışma olmuş,³² ancak ödül alan olmamıştır.

Ancak yer yer spekulatif yayınlar yanında, çok uzak olmayan bir gelecekte konuya rasyonel bir çözüm veya çözümler bulunabileceğini düşündüren araştırmaların olduğu da bir gerçektir 10,23,27,34,41,67,116,143,192,337

Vücuttaki tüm dokular yaralandığında kendi kendilerini tamir ederlerken, merkezi sinir sistemi ve özellikle de omurilik, yaralandığında, kendisini progressif olarak destrükte etmektedir 89.

Birkaç saat içinde gelişebilen ve primer travmadan ayrı bir süreç olan bu sekonder hasarın önlenmesi, birçok tıbbi ve cerrahi tedavi önerisinin hedefi olmuştur. Omurilik yaralanmalarının patogenezi konusundaki tartışmalı görüşler şu şekilde özetlenebilir 54.

1-Sekonder hasar, omuriliğin travmaya reaksiyonundan gelişir.

2-Sekonder hasardan sorumlu birden çok mekanizma söz konusudur.

3-Omurilik kan akımındaki bozukluklar, mikrodolaşımındaki değişimler, sekonder hasardaki faktörlerden biri olabilir. Vazo-kontraksiyon, vazodilatasyon yapan, endotelyal hücre bütünlüğünde değişiklik yapan ve/veya trombosit agregasyonunu değiştiren ajanlar tek tek veya kombine olarak sekonder hasara katkıda bulunabilirler.

4-Hücre membranlarının biyokimyasal ve mekanik değişimi, sekonder hasardan sorumlu bir diğer faktördür. Olası biyokimyasal ajanların sayısı çoktur.

5-Ödem oluşumu, membranların ve liflerin mekanik olarak kopması ve yırtılmasına yol açabilmekte ise de, bu durum ikincil bir fenomen olarak görülmektedir.

Klinik dönemdeki fizyopatolojiye gelince, son yıllarda
deneysel çalışmalar, tam kesi olarak kabul edilen durumlarda
bile aksonal liflerin %10 una yakınıının sağlam kaldığını
307 göstermektedir . Bu liflerin fonksiyonel hale getirilmesi
mungkin olacak mıdır? Bu aşamada yapılması gereken, kronik yaralı
omuriliklerin morfolojisi ve nörofizyolojisinin kantitatif ana-
lizi olmalıdır.Bu bölgedeki kan akımı değişiklikleri, yaşayan
liflerin myelinizasyonu, membran destruksiyonuna neden olan
serbest radikallerin Özellikleri gibi bazı patolojik olayların
araştırılması gerekmektedir.

Bu fizyopatolojik bilgilerin ışığında omurilik yaralanmaları-
nın tedavisine bakarsak, uygun tedaviyi bulmaya yönelik araştır-
maların 3 boyutta yürütülmekte olduğunu söyleyebiliriz:

- 1-Akut omurilik yaralanmasının tedavisi.Tıbbi ve cerrahi teda-
vi ile fonksiyonun kaybedilmesini önlemeye önemlidir.
- 2-Nöral protezlerin geliştirilmesi.Kaybedilmiş olan fonksi-
yonun yerine konmasına çalışmaktadır.
- 3-Rejenerasyon.Kaybedilmiş olan fonksiyonun yeni sinir dokusu
ile restorasyonunu sağlamaktır.

Bu ana başlıklar altında tedavi yaklaşımlarını irdelemek ya-
rarı olacaktır:

- 1-**AKUT OMURİLİK YARALANMASININ TEDAVİSİ:** Deneysel çalışmalar
akut tedavinin mümkün olduğu sürenin, travma sonrası ilk 4-6 sa-
54,83,85,89
at olduğunu bildirmektedirler .Vertebral instabili-

te ve kompresyonu ortadan kaldırırmaya yönelik cerrahi girişimler yanında, biraz önce sözünü ettigimiz sekonder hasarı önleyici cerrahi yöntemler -myelotomi, rizotomi, dekompressif laminektomi gibi- önerilmiştir. C o l l i n s'e göre ideal ilaç antikoagulan, vazodilatator, antiödem özellikleri birlikte taşıyan ilaç olmalıdır. Deneysel çalışmalarda çeşitli araştıracılar tarafından hipotermi, hiperbarik oksijen, steroidler, üre, manitol, dimethylsulfoxide (DMSO), nörotransmitterleri etkileyen ajanlar, vazodilatörler, hemorajiyi önleyici antifibrinolitik ajanlar, enzimler, barbitüratlar, lokal anestetikler, naloxone, "tirotropin relesing hormon" (TRH), hatta elektromanyetik enerji tedavi amacı ile kullanılmıştır. İlaçların çoğu birçok laboratuvara denenmiştir. Ancak yararlı olduğunu bildiren çalışmalar yanında hemen hemen hepsi bir veya birkaç çalışmada etkisiz bulunmuştur. Doğal olarak bunun nedenlerinden birisi, deneysel koşulların ve sonuçları değerlendirme yöntemlerinin her laboratuvara farklı olmasıdır. Diğer taraftan deneysel koşullarda yararlı görülen bir yöntemin, insan omurilik travmasında da yararlı olması şart değildir. Bir diğer sorun, bu ilaçların etkilerini araştıranların genellikle tek bir ilaç, bir kontrol grubu ile karşılaştırmalarıdır. Birkac ilacın aynı çalışma koşulları içinde karşılaştırıldığı araştırmaların sayısı çok değildir.

Yukarıda sözünü ettigimiz ilaçlardan steroidler, antiödem ve membran stabilizasyonu etkileri ile, DMSO ise hem antiödem, hem

antienflamatuar hem de vazodilatator etkileri ile yararlı olduğu bildirilen ilaçlar olmuştur. Biz bu çalışma ile hızlı etkili bir steroid olan methylprednisolone (MPD), naloxone ve DMSO'nun etkilerini bir deneysel omurilik yaralanması modelinde araştırmak istedik. Literatürden bildığımız kadari ile çok araştırılmış ve bazı yazarlarca insan omurilik travmasında da kullanılmış ve kullanılmakta olan bu üç ilacın etkilerinin tek bir çalışma ile karşılaştırılması henüz yapılmamıştır.

2-NÖRAL PROTEZLER: Yaralı omuriliğin kaybolan fonksiyonlarının yerine konan bazı araçlarla restore edilmesi yeni bir yöntemdir. Burada yapılan işlem, kabaca fonksiyon görmeyen omurilik segmentinin atlanması "by-pass", fonksiyon gören üst segmentlerle alt segmentlerin ilişkisinin sağlanmasıdır. Bu ilişkinin yerine getirilmesi, teknolojideki son gelişmeler, özellikle de elektronik/bilgisayar mühendisliğindeki devrim ile sağlanabilmektedir.

Çalışmalar daha çok motor fonksiyonun restore edilmesine yönelik olmuştur. Duysal fonksiyon ve primatlarda, özellikle de insanda çok gelişmiş olan denge fonksiyonunun yerine konması üzerinde yeterince çalışmamıştır. Motor fonksiyonun sağlanması amacıyla kaslara veya sinirlere elektriksel stimülasyon veren ve bu stimülasyonu, kontrollü ekstremitete hareketi yaratacak şekilde planlayacak bilgisayar düzenegi bulunan aygıtlar yapılmıştır. Bilgisayara belli formlarda ve amplitüdde çalışma emri, kişinin sağlam ekstremiteleri, omuz hareketleri veya EEG dalga-

10,23,67,79

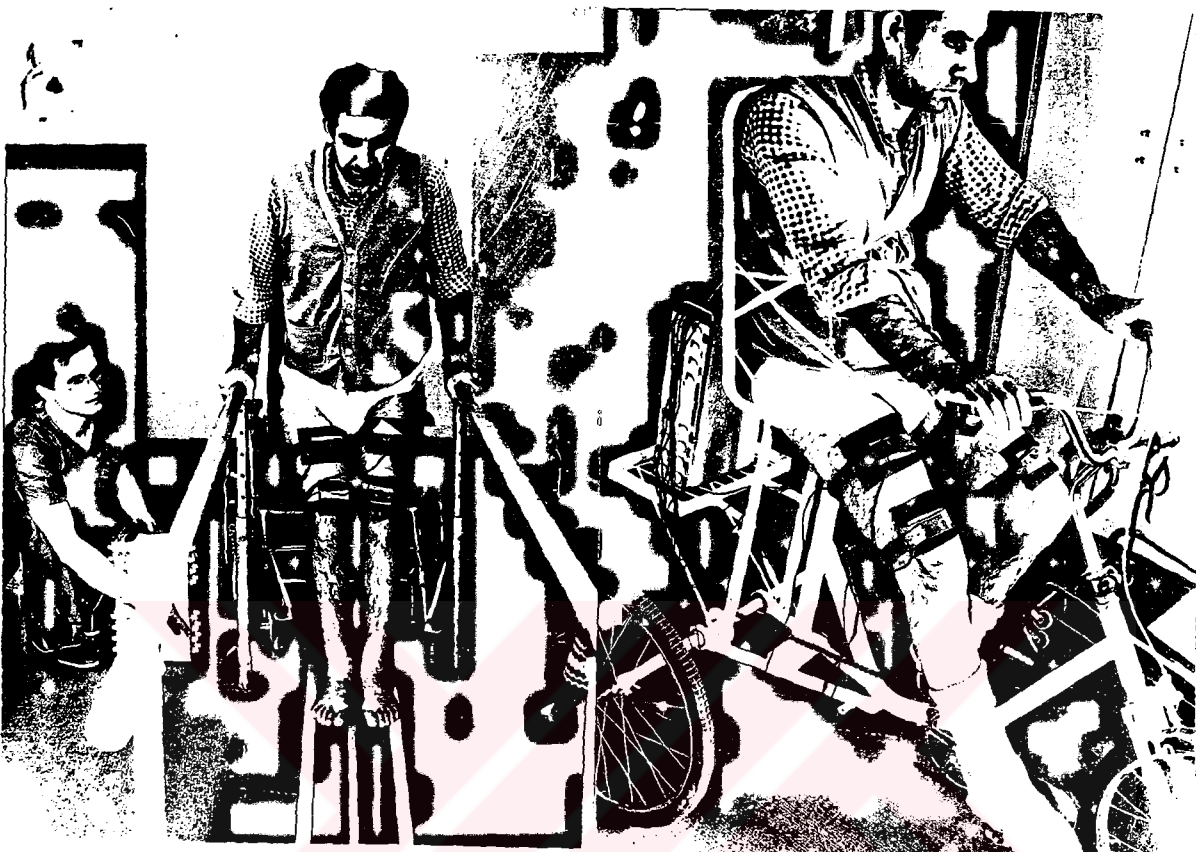
lari ile verilmeye çalışılmıştır .

Kısaca fonksiyonel elektriksel stimülasyon (FES) olarak adlandırabileceğimiz bu çalışmalar ile C5 kuadriplejiklerde parmak sıkmayı sağlayan el hareketleri , üst servikal kuadriplejiklerde frenik sinir uyarımı ile diafragmatik solunumun sağlanması , torakal paraplegiklerde alt ekstremité kaslarının stimülasyonu ile ayakta durma, kısa mesafelerde ve desteksiz olarak yürüme, üç tekerlekli bisikletleri kullanma mümkün olmuştur .

Biz de, torakal düzeyde paraplegik bir olguda alt ekstremité kaslarının kontrollü elektriksel stimülasyonu ile, uzun süre ayakta durma ve üç tekerlekli bisikleti kullanma gibi fonksiyonları sağlayabiliştik (Fotoğraf 1,2). Bunlara ilaveten praplegiklerdeki spastik mesane sorunu, FES ile çözüm- lenmek üzeredir.

FES çalışmalarında gelişmeyi engelleyen iki büyük sorun vardır: Birisi implante edilebilir elektrod ve cihazların geliştirilmesi , diğer ise denge fonksiyonunun sağlanmasıdır. Implante edilebilir stimülatörlerin geliştirilmesinde elektrodlar ve doku ilişkisinin daha iyi anlaşılması, doku hasarının minimalde kalması, toksisitenin olmaması ve elektriksel komponentlerin bozulmasının önlenmesi gerekmektedir .

Duysal fonksiyonları restorasyona yönelik çalışmalar da vardır. Dokunma duyusunun bazı bölgelerde sağlanabilmesi için suni transduserler geliştirilmektedir .



Fotoğraf 1

Fotoğraf 2

Fotoğraf 1- Fonksiyonel elektriksel stimülasyon uyguladığımız torakal 3 parapleyik bir hastanın destekli olarak ayaga kalkması (Dalbastı İzzili MÜÜÜL İlaç Ref.İ67).

Fotoğraf 2- Aynı hastanın 3 tekerlekli bisiklet kullanması.

3-REJENERASYON VE PLASTISITE: Omurilik rejenerasyonu çalışmalarının 10-15 yıllık bir geçmişi vardır. Geçmişte yalnızca 27,317,318 periferik aksonların rejenerere olduğu düşünülmekte idi.

Dysa günümüzde merkezi sinir sistemi aksonlarının da 141,317,318 rejenerasyonu olduğu bilinmektedir. Ancak yine de insanda, kesilen bir omurilik segmentinde fonksiyonel bir bütünlük sağlanamamaktadır. Primitif hayvanlarda, hatta bazı

34,120,141,143,286,

memelilerde olduğu bilinen bu rejenerasyonun

317,318

,insanda niçin olmadığı, henüz tam olarak bilinmemekte-
122,212,234

dir.Glia skar dokusunun,liflerin uzamasını engellemesi

fetal dokularda bulunan bazı sinir büyümeye faktörlerinin, erişkin
234,317,318

dokularında bulunmaması gibi nedenler öne sürülmektedir.

Bu konuda yapılan in vitro çalışmalar, yavaş yavaş in
vivo aşamaya dönüşmektedir. Yaralı omurilik segmentine periferik
28,143,337 27,28,254,317

sinir veya fetal nöronların implante edilmesi ile, hayvanlarda implantın yaşadığı ve aksonal
uzantılar verdiği, hatta kuşkulu da olsa bazı fonksiyonel

sonuçları olduğu gösterilmiştir. Buradan çıkararak, insanlarda da
kauda/konus travmalarında yaralı bölgeye periferik sinir graft'i
192

transplant etme çabasında olanlar vardır .

Şu anda, rejenerasyon çalışmalarında gelinen nokta, yaralı bölgeye uygun nöral doku ile birlikte, uygun trafik faktörlerin implant edilmesidir.Bu konuda çalışmalar devam etmektedir .

Gelecekte kronik paraplegiklerin tedavisinde getirilecek en uygun çözümün, biyolojik yöntemlerden, yani rejenerasyon ve plastisite çalışmalarından geleceğini düşünmek, yanlış olmaya-
caktır.

Diğer taraftan omurilik travmalarının erken tanısı ve tedavi
olanaklarının düzenlenmesi için yardımcı yöntemlere başvurmak
şarttır. Eskiden spinal travmalı hastalarda lomber ponksiyon
yapmak ve Q u e c k e n s t e d t testinin kapalı olması
durumunda acil laminektomi yapmak şeklindeki basit değerlendir-

melerin arzu edilen sonuçları vermediği görülmüştür . Klasik radyolojik incelemelere ilaveten, suda eriyen maddelerle ve immobilizasyona dikkat edilerek yapılan myelografik incelemelerin, kontrast ve nonkontrast bilgisayarlı tomografinin, insan omurilik travmalarının tanı ve tedavisine yaklaşımımızı büyük ölçüde değiştirdiği açıktır. Özellikle bilgisayarlı tomografi, kemik yapıdaki ve kısmen de nöral yapılardaki anatomo-patolojinin boyutlarını rahatça söyleyebil-
mektedir 54,114 . Fakat omuriliğin fizyolojisini anlamak, travma sonrası sağlam kalan aksonların ve nöronların sayısını, bunların tekrar fonksiyon görme potensini yani prognozu, rejenerere olup olmadıklarını söylemek için elektrofizyolojik yöntemlere gerek- sinim vardır. Bilgisayarlı tomografinin anatomik tanıda gelinebilecek en üst düzeye ulaşmış veya yaklaşılmış olduğunu, bundan sonraki gelişmelerin elektrofizyolojik ve moleküler biyo- lojik yöntemlerle olacağını söylemek yanlış olmayacağındır.

Omurilik yaralanmalarının ve omurilik cerrahisinin elektrofiz- yolojik yöntemlerle izlenmesi son yılların ilgi çeken konularından birisi olmuştur. Birçok merkez omurilik yaralanma- li hastaları gelişinden itibaren elektrofizyolojik yöntemlerle izleyip prognozu ve tedaviyi yönlendirici bilgileri çok erken 194,230,242,256,288,297,349, dönemde elde etmeye çalışmaktadır
355

. Omurilik ve vertebral cerrahisinde bu yöntemlerle perope-
ratuar izleme, yaygın olarak kullanılmaya başlanmıştır
227,229,250,268,296,330,336,355
. (Şekil 11).

Ancak değişik kayıt yöntemlerinin omurilik travması fizyopatolojisi ile ilişkisi henüz yeterince anlaşılmış değildir. En uygun yöntemin bulunup standardize edilmesi, insan omurilik travmasının izlenmesinde pratikleşmek mümkün olmamıştır.

Bu çalışmanın bir diğer amacı da omurilik elektrofizyolojik monitorizasyonuna, deneysel bir model ile yaklaşabilmektir. Spontan ve uyartılmış omurilik aktivitesine travmanın ve travma için uygulanan bazı tedavi yöntemlerinin etkisi araştırılmak istenmiştir.

İnsan omurilik travmasında bu yöntemlerin kullanılması olarak özetleyebileceğimiz diğer amacımıza, klinik içinde kullanabileceğimiz bir dijital averajör bilgisayarın olmaması nedeniyle ulaşamadık. Omurilik travmalı hastalara travmadan kısa süre sonra uyartılmış potansiyellerle izlemenin yapılması, tedavinin etkilerinin bu izlem ile anlaşılması, aynı olguların operasyonu sırasında da sürekli monitörlemenin yapılması ve böylece nöral dokuya cerrah ve anestezistlerin vermesi olası hasarın önlenmesi, bundan sonraki hedefimiz olacaktır.



**GESEL
BİLGİLER**

**A-OMURILIK ANATOMİSİ
ve FİZYOLÖJİSİ**

1-TARİHÇE:

Omuriliğin makroskopik olarak varlığı ilk kez 2. yüzyılda G a-
l e n (130-200) tarafından tanımlanmıştır. Daha sonra V e s a l-
i u s (1514-1564) ve S t e n o n (1638-1686) gibi bilim adamla-
rı da omurilik anatomisine ilgi göstermişlerdir. S t e n o n hay-
vanların abdominal aortasını bağladığında, bacaklarında paralizi
olduğunu gözlemiş ve bunu omurilik anoksisine bağlamıştır .
¹³⁵

Ancak 19. yüzyıla kadar omuriliğin mikroskopik anatomisi ve
fonksiyonu bilinmemekte idi.

B e l l ' i n 1811 de başlayan çalışmaları, omuriliğin anatomisi
ve fonksiyonu hakkında ilk bilgileri vermiştir. B e l l deney
hayvanlarında spinal ganglionun yalnızca dorsal köke tutunduğu-
nu, ventral kökün motor, dorsal kökün duysal fonksiyonu olduğunu,
omuriliğin traktuslarının bulunduğuunu bildirmiştir. Omurili-
ğın bir lateral yarısında 3 çeşit traktus olduğunu, birinin
istemli hareket, birinin duyu ve birinin de solunum fonksiyonu
için olduğunu varsayımıştır. B e l l ayrıca çoğu hayvanda solunum
ve lökomotor fonksiyon için serebral hemisferlerin gerekli olma-
dığını, bu işlevleri medulla oblongata ve omuriliğin yaptığıni
¹³⁵
bildirmiştir .

M a g e n d i e 1822 de omuriliğin giren ve çıkan sinirlerini
tanımlamıştır.

H a l l 1833 te hayvanlarda dekapitasyonun etkilerini incele-
miş ve spinal şoku tanımlamıştır.

C l a r k 1851 de ve S t i l l i n g 1857 de beyaz ve gri

cevherin dağılımını incelemişler, nöroanatominin, anatomiden özel bir dal olarak ayrılmasına öncülük etmişlerdir. Her iki çalismacı da kendi adları ile anılan nükleusları tanımlamışlardır.

135
dir .

Türck 1851 de beyaz cevherin fonksiyonel özelliğinin farklı olduğunu bildirmiştir. Bu amaçla hayvanlarda omuriliğe selektif lezyonlar yapmış, bunların sonuçlarını irdelemiş ve günümüzdeki kordotominin temellerini atmıştır.

Cajal 1895 te Golgi teknigi ile embriyonel omuriliğin histolojisini incelemiştir. Cajal'ın omurilik fonksiyonu hakkında tanımlamaları, halen geçerliliğini korumaktadır .

Sherington 1897 de başladığı çalışmaları ile omurilik refleksolojisine büyük katkılarda bulunmuştur. Kedi ve maymunlarda dorsal köklerin dermatomlarını incelemek için üst ve alttaki kökleri kesip, kalan kökün dermatomunu refleks yanıtlarından öğrenmiştir. Daha sonra refleks arkusun iletim hızının, sinir iletim hızından farklılığını, sumasyon, fasilitasyon, inhibisyon, yorulma, refrakter peryodon tanımını, refleksi değiştiren ilaçların, anestezinin, kan akımı ve O₂ değişiklerinin refleksi etkilediğini bulmuştur. Ayrıca fleksör refleksin bir posiseptif refleks olduğunu, ağrılı veya zararlı bir uyarıya korunma yanıtı olduğunu bildirmiştir .

Bikelas ve Frankel 1905 te hayvanlardaki motonöron gruplarını, Nissl'in retrograd dejenerasyon yöntemi ile araştırmışlardır.

D e Boer 1916 da bir dorsal kök ganglionu içine striknin enjekte ederek, bu köke ait dermatomu, maydana gelen hipersansitivite reaksiyonundan anlamıştır.

W i n d l e 1930 da reflekslerin embriyolardaki fizyolojik gelişimini incelemiştir.

F o e r s t e r 1936 da spastisite üzerine çalışırken, dorsal köklerin kesilmesinin, afferent uyarıları ve spastisiteyi azalttığını bulmuştur .
135

R e n s h a w 1946 da refleks arkusta inhibisyonun özel hücrelerle olduğunu, afferent liflerin inhibitor dalları ile olmadığını bulmuştur. Bu nedenle bu küçük hücrelere "Renshaw Hücreleri" adı verilmiştir.

L o y d 1950 de kaslardan gelen afferent liflerin çaplarını ölçmüştür ve çaplarına göre 3 grup halinde sınıflamıştır. Buna göre afferent liflerin %45 i ekstansör kaslardan gelen Grup I lifleri olup kalın çaplı, iletim hızı yüksek liflerdir. Grup I lifleri başlıca myotatik reflekste rol alırlar. Bunlar ayrıca Grup I/a ve I/b şeklinde, kas iğciklerinden ve tendon organlarından gelenler olmak üzere ikiye ayrılırlar. L o y d'a göre daha küçük çaplı Grup II ve Grup III lifleri, muskuler ağrı ile ilgiliidir .
135

H o f f m a n n 1952 de propriozeptif ve ekstrozeptif reflekslerin tanımını yapmış, kendi adıyla bilinen "Hoffmann refleksi" nin eksitabilité eğrisini çizdirmiştir.

R e x e d 1952 de kedi omuriliğini eskisinden daha ince kesitlerle (100 μ) incelemiştir, N i s s l e yöntemiyle boyamış ve

laminalara ayırmıştır. Buna göre omurilikte, serebral korteksteki laminasyona benzer şekilde kesin bir sitoarkitektonik organizasyon vardır. Rexed'in kendi adıyla tanınan bu laminalar 9 adettir. 9uncu lamina iskelet kaslarını innerven eden motonöronları barındırır.

Kuhn 1953 te maymunlarda tek tek dorsal kök ve filamanların elektriksel uyarımı ile dermatomların dağılımını incelemiştir.

Eccles 1954 te refleks çalışmalarında cam mikroelektrodları kullanmıştır.

O'Levy ve ark. 1955 te insanlarda ve maymunlarda, polyo sonucu olan değişiklikleri inceleyerek motor nöron eksitabilitesini araştırmışlardır .

2-BROS ANATOMİ

Omurilik, hacim olarak santral sinir sisteminin %2 sini teşkil eder. İnsanlarda foramen magnumdan 1. lomber vertebranın alt sinirine dek uzanır. Omuriliğin sonlandığı yere "conus medullaris" adı verilir. Buradan aşağı uzanan, pia materin yoğunlaşarak meydana getirdiği bağ ise, "filum terminale" adını alır. Filum, 2. sakral vertebra düzeyinde dura materi penetre eder, etrafı dura ile sarılır ve "coccygeal ligament" adını alarak, koksiksin posterior yüzüne yapışır.

Omurilik, segmentsiz bir yapıdır. Ancak omurilikten çıkan 31 çift sinir, bir eksternal segmentasyon yapar. Bu segmentasyona dayanarak, omuriliğin de 31 segmenttenoluştugu kabul edilebilir. Bunları 8 servikal, 12 torasik, 5 lomber, 5 sakral, 1 koksigeal olarak ayıralabiliriz.

Fetal yaşının 3. ayına dek omurilik, vertebral kanalın tamamını kaplar. Doğumda L3 düzeyinde olan konus, erişkinde L1 e dek çıkar. Erişkin spinal kanalının 2/3 ünü kaplar. Ancak spinal sinirlerin çıkış yerleri değişmez. Bu yüzden omurilik ile foramenler arası mesafeler değişir. Bu mesafe lomber ve sakral köklerde en fazladır, filum terminaleyi çevreleyen bu lumbosakral köklere "cauda equina" adı verilir.

Omuriliğin insanlardaki ağırlığı yaklaşık 35 gramdır. Erkeklerde 45 cm, kadınlarda 43 cm uzunluktadır. Vertebral kolonun uzunluğu ise 70 cm kadardır. Omuriliğin transvers çapı servikal bölgede 13-14 mm, torakal bölgede 10 mm, lomber bölgede 12 mm

kadardır. Sagittal çapı ise 8-9 mm arasında değişir.

Genel topografi : Meninkslerinden ayrıldığında, omurilik birkaç longitudinal fissür gösterir :

a) Anterior median fissür, omurilik içine 3 mm kadar penetre olur, ayrıca kendisiyle birlikte kan damarlarını da sokar.

b) Posterior median sulkus, bir oyuk şeklindedir. Bu oyuk 5 mm derinlikteki santral gri cevhere kadar posterior median septum ile uzanır.

c) Posterolateral sulkuslardan dorsal kökler girer.

d) Anterolateral sulkuslar daha zor ayırdedilir, buradan da ventral kökler çıkar.

e) Posterior intermedial sulkus, servikal ve üst torasik omurilikte yer alır.

Anterior median fissür ve posterior median sulkus, omuriliği ortadan ikiye ayırır, yalnız ortada küçük bir gri ve beyaz cevher komissürü kalır.

Omurilik bunun dışında başlıca nöron ve gliaların bulunduğu gri cevher, aksonların bulunduğu beyaz cevher olmak üzere ikiye ayrılabilir :

1-Gri cevher

a) Posterior boynuz, omurilik yüzeyine dek uzanır.

b) Anterior boynuz, yüzeye dek uzanmaz.

c) Lateal boynuz, torasik segmentlerde yer alır. Anterior boynuzun tabanının yanındadır.

d) Gri komissür, santral kanalın çevresindedir. Tam kanal çevresinde, başlıca nöroglialardan oluşan, "santral gelatinöz

"substans" adı verilen granuler bir alan vardır.

2-Beyaz cevher

a) Posterior funikulus, posterior boynuz ve posterior median septum arasında yer alır. En büyük funikulustur ve uzun assenden yollardan oluşur. Üst torasik ve servikal bölgelerde daha küçük bir septum, "posterior intermedial septum" bu funikulusu ikiye ayırır.

b) Lateral funikulus, dorsal kök giriş zonu ile ventral kökle-rin çıkış yeri arasında uzanır.

c) Anterior funikulus

d) Anterior beyaz komissür, çaprazlaşan liflerin geçtiği bir bölgedir.

Mikroskopik anatomi: Gri cevher, sinir hücreleri, dendritler ve myelinli/myelinsiz sinir lifi parçalarından oluşur. Bu lifler, gri cevher içindeki nöronlardan çıkan veya bu nöronlara gelen akson parçalarıdır. Nöronlar ve bunu çevreleyen dendritler "neuropil", gri cevherin konsantrasyonunu arttırmır.

Beyaz cevherde ise çok az nöron ve dendrit bulunur. Assenden ve dessenden myelinli ve myelinsiz liflerden oluşur. Astrositlerin çıktıları, bir yüzeyel glial membran oluşturur. Bu tabaka, pia materin derin tabakasına yapışmaktadır.

Servikal bölgede beyaz cevher oransal olarak en fazladır. Lumbosakral bölgede ise gri cevher en fazladır.

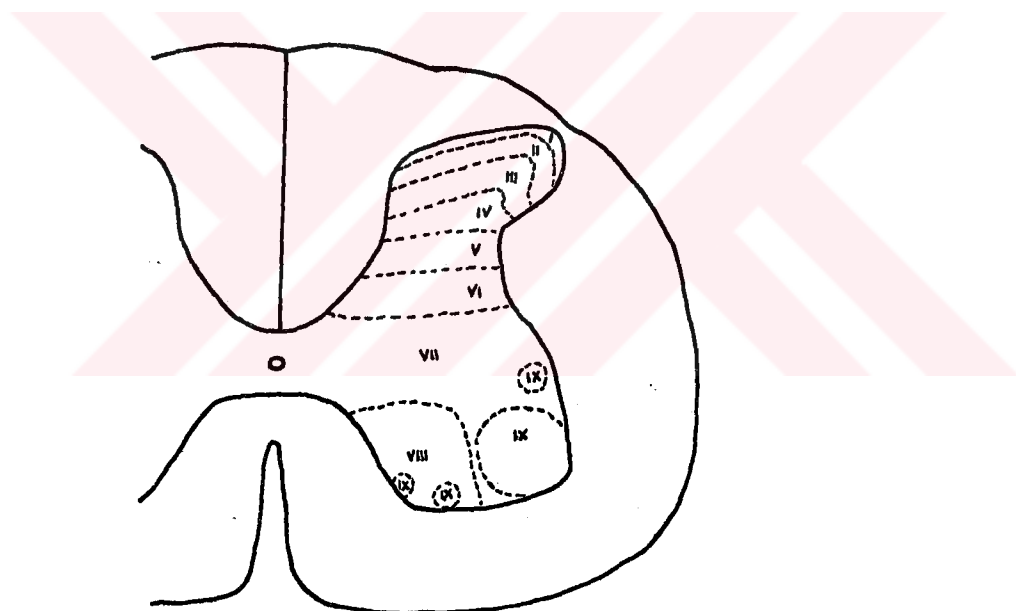
Hücresel mimari dizilim = Cyto-architectonic lamination: Kelebek şeklindeki gri cevher, değişik büyüklük ve yapıda çok

301

sayıda nörondan oluşmaktadır. Bu nöronlar da hücresel kolonlar şeklinde yerleşerek gruplar teşkil ederler. Bu kolonları sınıflamak için birçok girişim olmuştur. Bunlardan birisi, hücre büyülüğu ve görünümüne göre yapılan sınıflama (subst.gelatinosa vb.), bir başkası ise gri cevherdeki yerleşimine göre yapılan bir sınıflamadır (ön boynuzun motor nöronları vb.).

301

En doğru terminolojinin sinaptolojik temele dayanması gereklidine yani nöronları sinaptik bağlantılarına göre sınıflamanın gerekligine karar verilmistir. Rexed'in kedi omuriliğindeki 48 nöronların mimari düzenini sınıflaması da bu temele dayanır.



Şekil 1- Kedi omuriliğinin L5 segmentinde Rexed'in sitoarkitektonik laminasyonu (Szentagothai ve Reethely'den, ref.301).

R e x e d'in laminasyonuna göre 9 farklı hücresel lamina vardır ve bunlar roman rakamlarıyla isimlendirilirler (Şekil 1). X.alan ise santral gri cevherdir :

Lamina I, postmarginal nükleus bölgесine uyar, dorsal kök lifleri ile sinaps yapar.

Lamina II, eski literatürün "substantia gelatinosa" sına uyar, dorsal kök lifleri ile sinaps yapar.

Lamina III, eski literatürün "nucleus proprius cornu dorsalis" bölgесine uyar.

Lamina IV, dorsal kök lifleri ile sinaps yapar.

Lamina V, dorsal kök lifleri, bazı dessendant suprasegmental lifler (kortikospinal tr., rubrospinal tr.) ile sinaps yapar.

Lamina VI, fasikulus proprius sistemi ve lateral funikulusa katılan lifleri verir.

Lamina VII, zona intermedia'ya uyar. Clark e'in dorsal nukleusu, intermediolateral ve intermediomedial nukleuslar da burada yer alır. Daha çok ara nöronların bulunduğu bu bölge, çaprazlaşmamış posterior spinoserebellar tr., preganglionik sempatetik lifleri verir ve visseral motor nöronlarından afferentler alır.

Lamina VIII, vestibulospinal tr., MLF, pontin retikulospinal tr., tektospinal tr. ile ilişkilidir.

Lamina IX, somatik motor nöronları içerir. 30-70 μ çaplı bu

nöronların en büyükleri çizgili kasları innerve eder (alfa motor nöron), daha küçük olanları ise kas iğciğinin kontraktilemanlarının innervasyonunu sağlar (gama motor nöron).

Spinal refleksler: Çağrı spinal refleks için 5 esas eleman gereklidir:

- a) Periferal reseptörler
- b) Sensoryel nöronlar
- c) Ara nöronlar (internuncial neuron)
- d) Motor nöronlar
- e) Terminal effektörler

Myotatik refleks = Gerilme refleksi "=Stretch reflex", iki nörona bağlı bir monosinaptik reflektir. Gerilmeye duyarlı propriozeptif sonlanmalar kasta "kas iğciği", tendonda "golgi tendon organı" adını alır. Kas iğciğinin gerilmesi, annulospiral veya primer afferent liflerin (Grup Ia) uyarılmasına yol açar.

Kas iğciğine gama nöronlardan giden gama efferent lifler, bunun kontraktile kisimlarını (intrafüzal kas lifleri) uyarır. Böylece bu reseptörü spinal ve supraspinal etkiler altında bırakır.

Myotatik refleks, her kasın veya kas tendonunun kısa süreli perküsyonu ile elde edilebilir. Klinikten bildiğimiz derin tendon refleksleri, myotatik refleksin, kas tendonuna vurulması ile elde edilen şeklidir.

Bunun yanında Golgi tendon organlarından çıkan afferent lifler (Grup Ib), alfa motor nöronlar üzerinde disynaptik inhibitör et-

kiye sahiptirler. Sonucta kas tonusu azalır, kas iğciginden farklı olarak Golgi tendon organı, santral sinir sisteminden (SSS) lifler almaz.

Duysal ve motor nöronlar arasında bir veya daha çok ara nöron vardır. Bu ara nöronlar, ön boynuz motor nöronlarının fasilitasyonu ve inhibisyonuna neden olur. Böylece de bir agonist kas kasılırken, antagonistler gevşeyebilir (Şekil 12).

301

TÜRKİYE
BİLİMSEL ve TEKNİK
ARASTIRMA KURUMU
KUTUPHANE'SI

3-OMURİLİK TRAKTUSLARI:

Genel olarak uzun traktuslar periferde, kısa traktuslar medyalde yerleşme eğilimindedir.

A-Uzun assendan spinal traktusları: Bilinçli ve bilinçsiz duyuları taşırlar (Şekil 2).

İNEN LİFLER

Lat. corticospinal tr.

Rubrospinal tr.

Meduller reticulospinal tr.

Vestibulospinal tr.

Pontin reticulospinal tr.

Med. longit. fasciculus

Tectospinal tr.

Ant. corticospinal tr.

ÇIKAN LİFLER

Fasc. gracilis
Fasc. cuneatus

Post. spinocerebellar tr.

Ant. spinocerebellar tr.

Lat. spinothalamic tr.

Spinooliver tr.

Spinothalamic tr.

Ant. spinothalamic tr.

Şekil 2- Omurilikteki başlıca inen ve çıkan liflerin şematik görünümü (Carpentier'dan, ref 48).

1-Posterior kolumnalar = Fasciculus gracilis ve cuneatus: Arka köklerin medialinden giren kalın myelinli liflerin çoğu, sinaps yapmadan posterior kolumnaya katılır. Fasc.gracilis, sakral bölge ve alt 6 torasik kökten gelen lifleri taşır. Posterior intermedyer sulkus ile ayrılarak lateralde kalan fasc. cuneatus ise üst 6 torasik kök ile servikal köklerden gelen lifleri alır. Yani torakal 6 düzeyinin altında fasc. cuneatus bulunmaz. Posterior kolumnadaki assendan liflerin çoğu kısa liflerdir ve değişik düzeylerde posterior gri cevher nöronlarında sonlanırlar. Göreceli olarak az bir kısmı ise, ipsilateral bulbustaki nukleus gracilis ve cuneatusta sonlanır. Dorsal kök ganglionu 1. nöron ise, bu bulbus nukleusları da 2. nöron olurlar. Buradan çıkan lifler, "decussatio lemniscorum" ile çaprazlaşarak medial lemniskus adı ile pons ve mezensefalondan yukarı çıkarlar. Kontralateral talamusun ventral posterolateral (VPL) nukleusunda sonlanırlar. Buradaki nöronlar da 3. nöronu oluşturur. Bu nöronların aksonları, internal kapsülün posterior bacağınından, sensoryel kortekse çıkarlar.

Posterior kolumna lifleri, dokunma/basınç ve kinestezi (pozisyon ve hareket duyusu) liflerini taşır. Dokunma ile ilgili receptorslerin spasyal ve temporal ayrimı, iki nokta ayrimı gibi işlevleri bu lifler sağlar. Klinik bakıda kullanılan vibrasyon ve pozisyon duyularını taşırlar.

Posterior kolumnalar ayrıca Grup Ia kas içciği afferentlerini

de taşır. Bunların çoğu bir süre sonra posterior kolumnayı terk edip Clarke'in dorsal nukleusunda sonlanırlar. Az bir kısmı ise bulbusun alt kısmında "accesuar cuneat nukleus"ta sonlanır.

2-Anterior spinotalamik traktus: Rexed lamina VI, VII ve VIII den çıkan lifler, anterior beyaz cevherden çaprazlaşırlar ve anterior spinotalamik lifleri yaparlar. Buradaki lifler somatotopik yerleşim gösterirler. Kaudalden gelen lifler lateralde, rostralda gelenler medialde yer alırlar. Bulbusta lateral spinotalamik traktusla birleşip dorsolateral bölgede yer alırlar. Burada bazı lifler beyin sapı retiküler formasyonuna katılır. Yine talamustaki VPL nukleusunda sonlanırlar. Sonra da kortekse çıkarlar.

"Hafif dokunma" duyusunu taşır. Bir tüy veya pamukla dokunarak yapılan muayenede bu traktus incelenmiş olur. Derin ve ayrimlayıcı (diskriminatif) dokunma duyu arkaya kordonla taşındığından, bu traktusun lezyonu çok fazla dokunma duyu kaybına yol açmaz. Ancak parestetik duyular, bu bölgenin lezyonunda olabilir.

3-Lateral spinotalamik traktus: Rexed lamina VI, VII ve VIII deki küçük ve orta büyülüükteki dorsal kök nöronlarından çıkan lifler, anterior beyaz cevherden karşıya geçip bu traktusu yaparlar. Bu traktusta da somatotopik bir organizasyon vardır. En lateral ve posterior lifler, vücutun en alt kısımlarından gelen liflerdir. Bu traktus, ağrı ve ısı liflerini taşır. Ağrıyla ilgili lifler daha önde, ısıyla ilgili olanlar ise arkadadır. Bu traktusun da çoğu talamusta VPL nukleusunda

sonlanır. Kedilerde bu traktusun homoloğu "spinocervical traktus" tur.

4-Spinotectal traktus: Yine çaprazlaşan liflerden oluşur. Spinotalamik sistemle birlikte yukarı çıkar. Superior kollikulus ve mezensefalondaki santral gri cevherin lateral bölgelerinde sonlanır. Fonksiyonel önemi bilinmemektedir. Nosiseptif impulsları iletten multisınaptik bir yolun parçası olarak kabul edilmektedir.

5-Posterior spinocerebellar traktus: C8-L3 arasındaki C l a r k e kolonunun büyük hücrelerinden köken alır. Çaprazlaşma yapmaz. Bulbusta ipsilateral inferior serebellar pedunküle karışarak serebelluma girer, vermiste sonlanır. Yani iki nöron vardır. 1. nöron spinal ganglionda, 2. nöron C l a r k e nukleusunda bulunur. C l a r k e nukleusu, baş ve boyun dışında vücutun her yerinden gelen dorsal kök afferentlerini alır. Bu afferentler, kas iğciği (Grup Ia ve II) ve Golgi tendon organından (Grup Ib) gelmektedir. Bu nedenle, bu traktus tek tek kasların postür ve hareketinin ince koordinasyonundan sorumlu dur. Bilinç dışında çalışan bir traktustur.

6-Anterior spinoserebellar traktus: Anterior ve posterior boynuzlarının tabanındaki spinal sinir hücrelerinden köken alır. Anterior beyaz cevherden çaprazlaşan lifler bu traktusu yapar. Yine 1. nöronu spinal ganglionda, 2. nöronu sinir hücrelerindedir. Bulbusta çaprazlaşarak superior serebellar pedunkülden serebelluma girer, serebellumun anterior lobulunda sonlanır.

ipsilateral Grup Ia afferentleri ile ipsilateral ve kontrateral fleksör refleks afferentlerinden, polisinaptik eksitasyon ve inhibisyonu uğrarlar. Bu yüzden tek tek kaslar yerine tüm ekstremitelerin hareketi veya postürü ile ilgili bilgiyi taşırlar, biliçli bir duyu oluşturmazlar.

7-Cuneocerebellar traktus

8-Spinoretiküler lifler

9-Spinokortikal traktus

10-Spinooliver traktus

11-Spinovestibuler traktus

12-Spinopontin traktus

B-Uzun dessendant spinal traktuslar:

1-Kortikospinal traktus: %90 myelinli, 1-4 μ çaplı bu liflerin sayısı 10 civarındadır. 30.000-40.000 i ise Betz hücrelerinden köken alır ve çok kalın (10-22 μ çaplı) myelinli liflerdir. Brodmann'ın 4. (motor) ve 6. (premotor) alanlarından köken alırlar. Korona radiata, internal kapsül, krus serebri, pons ve medulla oblongatayı geçerler. Bulbus ve omurilik bileşkesinde %75-90 i çaprazlaşır "decussatio pyramidum". Çaprazlaşan lifler lateral kortikospinal traktus, çaprazlaşmayanlar anterior kortikospinal traktus ve anterolateral kortikospinal traktus adını alır. Anterior kortikospinal traktusun bir adı da Üçskem demeti'dir. Bu demet yalnızca üst torasik bölgeye dek iner. Omurilik içinde çaprazlaşarak ön boynuz hücresi ile ve ara (intermedyer)

bölgelerdeki hücrelerle sinaps yapar. Yalnız insanlarda ve maymunlarda bulunan bu demetin varyasyonları çok fazladır.

Çaprazlaşmış lateral kortikospinal traktusun lifleri, gri cevhre ara (intermedyer) bölgeden girer. İki kısma ayrılır. Dorsomedial kısım lamina IV, V ve VI ya, ventromedial kısım ise lamina VI ya ve ön boynuz motor nöronlarına sinaps yapar.

Tüm piramidal liflerin %55 i servikal omurilikte, %20 si torasik omurilikte, %25 i lumbosakral omurilikte sonlanır. Yani Üst ekstremiteler üzerindeki piramidal kontrol çok fazladır.

Bu traktusun 1.nöronu presentral girusta, 2.nöronu ise Ön boyunuzdadır.

2-Tectospinal traktus: Superior kollikulusun derin tabakalarından -optik rôle merkezi- köken alır. Ventral tegmental çaprazlaşma ile lifler karşı tarafa geçer. Çoğu Üst 4 servikal segmentte sonlanır, çok azı alt servikal segmentlere iner, lamina VIII, VII ve VI nin bir kısmında sonlanır.

Görsel ve belki de işitsel uyarılarla yapılan postüral hareketleri sağladığı sanılmaktadır.

3-Rubrospinal traktus: Mezensefalik tegmentumun merkezinde yer alan nükleus ruberden çıkar. Genellikle bu nükleusun kaudal 1/3 ünden köken alan lifler, ventral tegmental çaprazlaşmalarını yaparak sakral segmentlere dek inerler. Spinal gri cevhre yan dan girerler ve lamina V, VI ve VII de sinaps yaparlar.

Rubrospinal traktusun en önemli işlevi, fleksör kas gruplarında kas tonüsünün kontroludur. Bu traktusun uyarılması, kedilerde

bacakların fleksiyonuna yol açmaktadır.

4-Vestibulospinal traktus: 4. ventrikül tabanındaki 4 adet vestibüler nükleusun birinden, lateral vestibüler nükleustan çıkar. Omuriliğin lateral funikulusunun ön kısmında en alt düzeylere dek iner. Servikal ve lomber spinal segmentlere en çok lif verir. VIII. lamina ile VII. laminanın medial ve santral kısımlarında sonlanırlar. Hiçbirisi direkt olarak motor nöronlar üzerinde sonlanmaz.

Vestibulospinal traktusun, omuriliğin refleks aktivitesine, özellikle de kas tonusu ile ilgili spinal mekanizmalara fasilitatör etkili olduğu bilinmektedir. Lateral vestibüler nükleusun lezyonu, deserebre hayvanlardaki rigidite artışını azaltmış, uyarılması ise, yürümenin ayakta durma fazında ekstansör kas aktivitesini arttırmıştır. Bu fasilitatör etkilerin VII. ve VIII. laminadaki internöronlarla iletiliği düşünülmektedir.

5-Retikulospinal traktus: Pontin ve meduller retiküler formasyondan, omuriliğe traktuslar uzanır.

a)**Pontin retikulospinal traktus:** Medial pontin tegmentumdaki "nuclei reticularis pontis caudalis ve oralis" adı verilen hücrelerden köken alır. Ipsilateral olarak anterior funikulusun medial kısmından aşağı iner, lamina VIII ve VII nin bir kısmında sonlanır. Az bir kısmı anterior beyaz komissürden çaprazlaşır. Vestibulospinal ve tektospinal liflerin sinaps yaptığı hücrelerle sinaps yaparlar.

b)**Meduller retikulospinal traktus:** Meduller retikuler for-

masyonun medial 2/3 ünden köken alır. En fazla "nucleus reticularis giganto cellularis" adı verilen hücrelerden çıkarlar. Çoğu lamina VII deki hücrelerle sinaps yapar.

Bu iki traktusun gerçek fonksiyonları bilinmemektedir. Uyarılması ile, istemli hareket ve refleks aktivitenin fasilité olduğu, kas tonusunun etkilendiği, respirasyonun inspirasyon fazında etkilendiği, dolaşım sistemine etkileri olduğu, duysal impulsların santral iletiminde depresyon olduğu görülmüştür. Tendon refleksini de modifiye ettiği bulunmuştur.

6-Medial longitudinal fasciculus (MLF) : Medial vestibüler nükleus, retiküler formasyon, superior kollikulus ve C a j a l 'ın interstisyel nükleusundan köken alan lifler, spinal MLF'i oluştururlar. MLF lifleri en iyi servikal bölgede ayırdedilir. Daha aşağıda ayırdetmek güçtür. Ön boynuzun en medial kısmındaki ara nöronlarda sonlanırlar.

Medial vestibüler nükleustan gelen lifler, Üst servikal motor nöronlar üzerinde inhibitör etkiye sahiptirler. Bu yol, baş pozisyonlarının labirintin regülasyonunda rol oynar.

7-Olivospinal traktus: Bu traktusun anatomik ayrıntıları ve fonksiyonu bilinmemektedir.

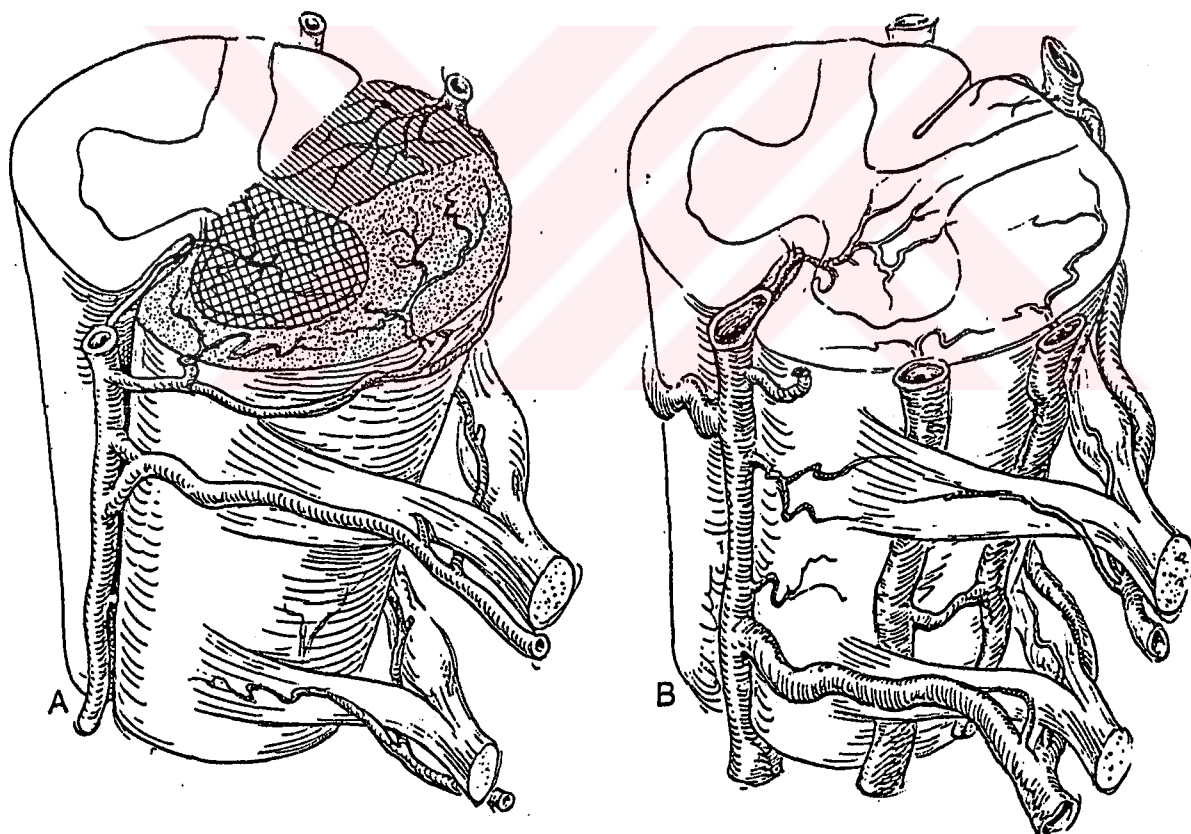
8-Dessendan otonomik yollar: Omurilikteki intermediolateral kolon ve diğer preganglionik otonomik hücre gruplarının innervasyonunu sağlayan en yüksek merkez hipotalamustur. Otonomik fonksiyonla ilgili diğer merkezler mezensefalon, pons ve medulla oblongatanın tegmentumudur. Bu lifler anterior ve

anterolateral omurilik kısımlarından inerler.

C-Fasciculus procerus = Spinospinal kolumna: Spinal refleks olaylarla ilgili assendan ve dessendan lifler fasc.propriustan inip çıkarlar. Bunlar anterior, posterior ve lateral olmak üzere tüm funikulslarda bulunur. Çoğu anterolateral funikulusta yer alırlar. Uzun lifler daha periferde, kısa lifler daha medialde yer alır.

4-OMURİLİK VASKULARİZASYONU VE KAN AKIMI

Anatomı: Omurilik, bir anterior ve iki posterior spinal arter ile beslenir .Bunlar da sayısı sabit olmayan anterior ve posterior radiküler arterlerden dallar alır. Posterior radiküler arterlerin sayısı 10-23 arasında değişir. Anterior radiküler arterlerin sayısı ise 6-10 arasındadır. Anterior spinal arter, değişik anterior radiküler arterler tarafından beslenen bir anastomotik kanal oluşturur ve omuriliğin tüm uzunluğu boyunca yer alır (Şekil 4). Omuriliğin vaskularizasyonu mikroangiografik çalışmalarla da incelenmiştir .Buna göre anterior spinal arter



Şekil 3- İnsan omuriliğinin vaskularizasyonu.(A) anterior ve posterior spinal arterler ve çizgili alanlarda bunların suladığı bölgeler. (B) venöz drenaj. (Ref.4B).

omuriliğin 2/3 ön kısmını besler. Omuriliğin 1/3 santral kısmını, anterior spinal arterden ayrılip omuriliği penetre eden santral dallar ile sulanır (Şekil 3). Pial arteriyel plexustan gelen dallar, omuriliğin dış kısmını sularken, santral ara (intermediate) zon, her iki sistemden dallar

48,80

alır . Santral terminal arterler

yaygın kapiller bir şebeke yaparlar.

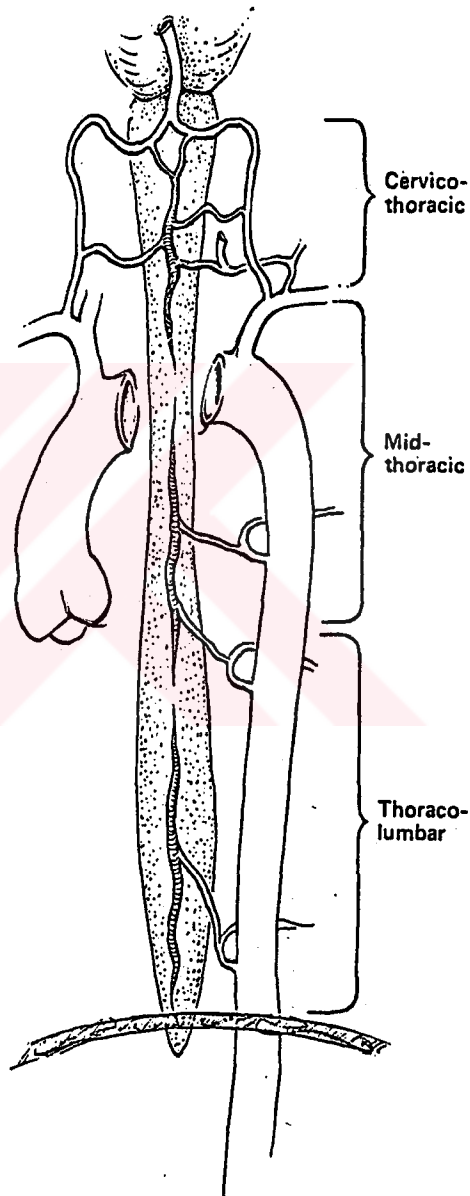
Bu şebeke gri cevherde, beyaz cevherden daha yoğundur .

Fizyoloji: Ağırlık temel alındığında, omurilik kan akımı (OKA), serebral kan akımının (SKA) yaklaşık %30-90 i kadardır . Ancak doku oksijen düzeyleri her iki organda da yaklaşık aynıdır. Duckett ve Perot, PO₂ yi beyinde 35 mmHg, omurilikte 39 mmHg olarak ölçmüştür .

Bu bulgular, omuriliğin kan akımının daha düşük kapasiteli olduğunu gösteriyor olabilir .

OKA regülasyonunda rol alan faktörleri kısaca şu şekilde sıralayabiliyoruz:

1-Perfüzyon basıncı değişiklikleri:



Şekil 4- Anterior spinal arterin radiküler beslenmesi (Ref.4B).

D u c k e r ve P e r o t OKA nin, SKA gibi çok geniş perfüzyon basıncı oynamalarını tolere ettiğini bildirmektedir . Genelde omuriliğin de beyin gibi bir vasküler otoregülasyonu olduğuna inanılmaktadır .
89
89,90,91,256

Normal omurilik mikrosirkülasyonu için, omurilik arteriyel sistemine interkostal arterlerin distal ucunda 30 mmHg dan daha yüksek basınçlar perfüze edilmelidir. Deneysel interkostal ligasyon ile distal interkostal arter basıncı 30 mmHg nin altına düşüğünde, daima parapleji olduğu saptanmıştır .Anastomotik kanalların sayısının da önemli olduğu vurgulanmaktadır .
89
89

Klinik olarak aort cerrahisinde, dissekan aort anevrizmalarında ve uzun süreli derin hipotansiyonda omurilik perfüzyonunun etkilendiğini ve omurilik disfonksiyonuna yol açtığını bilmekteyiz
89

2-PaCO₂ değişiklikleri: Fizyolojik durumlarda OKA, başlıca PaCO₂ ye yanıt vermekte, topikal ve intraarteriyel vazoaktif madde₂ delere kötü yanıt vermektedir .SKA nin yanıtına benzeyen bu yanıt, deneysel olarak kanıtlanmıştır .D u c k e r ve P e r o t, köpeklerde normal OKA 15.2 ml/100 gr/dakika iken, hiperkarbi ile 19.4 ml/100 gr/dakikaya, hipokarbi ile 11.1 ml/
89
100 mgr/dakikaya değiştğini saptamışlardır .

3-Sempatetik sinir sisteminin rolü: Bu konu tartışımalıdır. Paravertebral sempatetik sinirlerden gelen liflerin omuriliğe kan damarları boyunca girdiği ve damarlar üzerinde sinapslar 184,256,311 yaptığı bilinmektedir . SKA nin regülasyonunda sempatetik sinir sisteminin rolü de iyi bilinmektedir. Değişik

araştırcılar servikal sempatetik uyarı veya ablasyondan sonra SKA ni artmış, azalmış veya değişmemiş bulduklarını belirtmiş-
lerdir . SKA nin sempatetik regülasyonu ile ilgili çalışmalar
supratentorial yapıların heterojenliği ve beyinde vazoregülatuar
merkezlerin bulunması nedeniyle güç olmuştur. Bu santral vazore-
gülatuar merkezler, periferik sempatetik yapılara üstün gelebil-
mektedir. Oysa omurilikte periferik sempatetik ganglionlarca
segmental innervasyon vardır ve bu çeşit güçlükler yoktur.
Nitekim değişik sempatetik bölgelerin ablasyonu şeklinde yapılan
çalışmalar, paravertebral sempatektominin OKA ni artırdığını
göstermiştir .

Ancak bu görüş, O s t e r h o l m tarafından kabul
edilmemektedir. Yazar, hem omurilik damarlarında, hem de beyin
damarlarında bir kateşolamin (CA) lif sisteminin olduğunu, immü-
nofluoresans yöntemlerle bunu gösterdiklerini söylemektedir .
Bu sistemin beyin sapındaki bir CA merkezinden kontrol edilmesi-
nin olası olduğunu, çünkü hem beyin hem de omuriliğin aynı tip
vasküler otoregülasyonu olduğunu söylemektedir . Bu varsa-
yımsal beyin sapi CA merkezinin, beyne çıkan -assendan-,
omuriliğe inen -dessendan- lifleri olduğunu, bu liflerin nöro-
transmitterinin omurilik için yalnızca norepinefrin (NE), beyin
için hem NE hem de dopamin (DA) olduğunu iddia etmektedir .

Bunun dışında sempatetik sinir sisteminde bol miktarda endojen
opiatlar olduğu bilinmektedir. Sempatektomi, bunların azalmasına
yol açarak OKA ni etkiliyor olabilir. Nitekim naloxone da spesi-

fik opiat antagonisti olarak benzeri etkiyi -OKA da artma- göstereiyor olabilir .
344

İnsanlarda OKA ni ölçeceğin invaziv olmayan bir yöntem bilinmemektedir. Deneysel çalışmalararda OKA ve omurilik perfüzyonunu ölçmek için kullanılan yöntemlerden burada kısaca söz etmek istiyoruz:

41, 43, 49, 153, 156, 157, 204, 344

1-Hidrojen klirens yöntemi , ilk kez 1965 te A u k l a n d tarafından bulunmuştur. Önceleri SKA ölçümelerinde kullanılan bu sistem, F i c k ilkesi ile çalışmaktadır. Yani daha önceden inhale edilen gazın monoeksponansiyel doku desatürasyon eğrisi çizilerek kan akımı ölçülür. Bu yöntem-

3 204
le 0.5 mm ten küçük hacimlerdeki akım bile ölçülebilir . Önce 250 mikron çaplı elektrodlar, bir mikromanipülatör yardımı ile lateral beyaz cevhere 1.5 mm derinliğe kadar sokulur. Hayvana %7

lik H ve hava karışımı 3 dakika süreyle verilir. Daha sonra 2 204

elektroddan polarografik olarak H ölçülür .

14 2 29, 49, 82, 84, 86, 164, 165,
2-C antipyrine otoradyografi tekniği 272, 289, 290

hayvan öldürülmeden önce 1 dakika süreyle intravenöz 14

yoldan izotop madde ($100 \mu\text{Ci}/\text{kgr}$ C antipyrine) verildikten

sonra hayvanın blok olarak çıkarılan omuriliğinin otoradyografi-
si alınarak ölçülür. 20 μm lik kesitler halinde alınan parçalar

290 ısıtılarak özel fotoğraf kağıdına çekilir . Bu yöntemle gri ve
beyaz cevher kan akımı ayrıntılı olarak görülebilmektedir. Ancak

kan akımındaki anlık değişimleri görmek mümkün değildir. Hayvan 49

öldürülmeden sonuç alınamaz .

133

90,91,92,148

133

3-Xenon desatürasyon tekniği

intramedüller Xe

enjeksiyonu ile yapılır. Ancak güvenilir bir yöntem değildir.
Beyaz ve gri cevher ayırımı yapılamaz.

89

4-Argon desatürasyon tekniği

7

5-Kolloidal karbon perfüzyon tekniği mikroperfüzyonu ölçmek için kullanılan bir yöntemdir. Yani DKA'nın doğrudan ölçümü değildir. Yine de damarların dolmasındaki eksiklik, DKA'daki eksiklikle ilişkiliidir.

80,

6-Baryum mikropartikülleri enjeksiyonuyla mikroangiografi
108,123
omuriliğin mikrovasküler anatomisini anlamada yardımcı olmuştur.

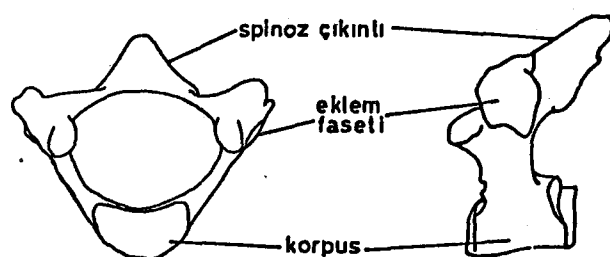
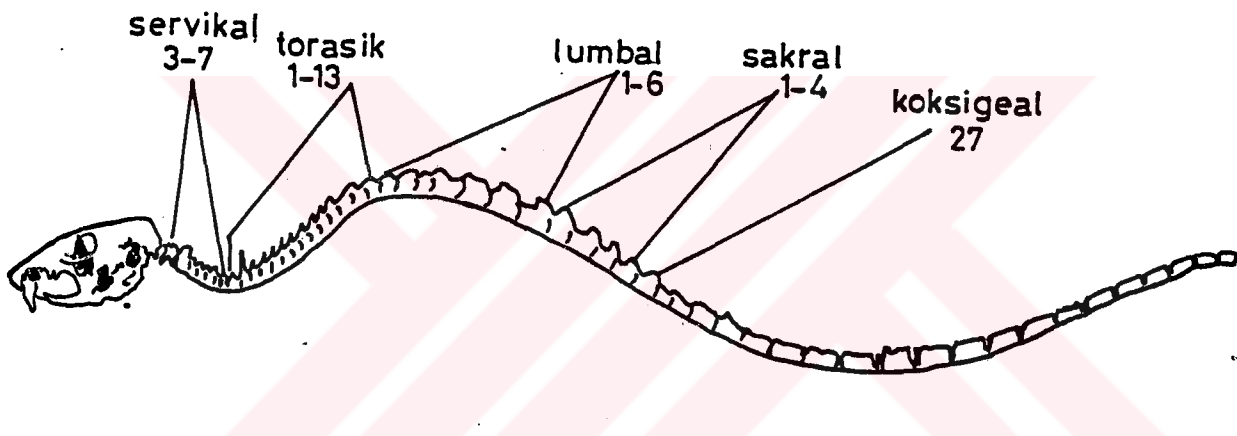
81,108

7-Thioflavin S enjeksiyonuyla mikroangiografi endotelle-
ri boyayan bir fluoresan boyalı thioflavini kullanır.

5-SİÇAN ANATOMİSİNİN ÖZELLİKLERİ

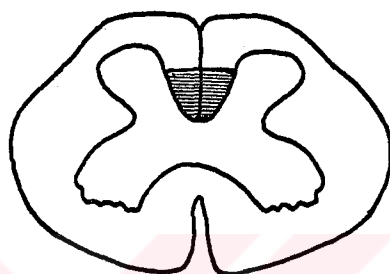
Sığan vertebral kolonunun ve omuriliğinin anatomisini Gar - n er ve ark.nın (1967) ve Z e m a n ve I n n e s 'in (1963)
126,346
çalışmalarından öğrenmektediyiz .

Sığan vertebral kolonunda 7 servikal, 13 torasik, 6 lumbal, 4 sakral ve 27-30 koksigeal vertebra vardır (Şekil 5). Birinci ve ikinci servikal vertebralalar, yani atlas ve aksis, geniş, kanatsı dorsal çıkıştıları ile tanınır . Ayrıca ikinci torakal vertebranın spinoz çıkışlığı çok uzun olduğundan, diğerlerinden kolaylıkla ayırdedilebilir .



Şekil 5- Üstte sıganın vertebral kolonu görülmektedir. 2.torakal vertebra şıkıntılidir. Altta sıganın bir torasik vertebreasının üstten ve yandan görünümü (C o o k ve G a r n e r'dan yararlanılarak, Ref 56, 126).

Omurilik traktuslarına gelince; tavşanda doğrudan bir kortikospinal bağlantı bulunmamaktadır. Korteks ile omuriliğin motor nöronlarının bağlantısı, traktus rubrospinalis aracılığı ile olmaktadır.¹²⁶ Ancak sıçanda traktus cortikospinalis bulunmaktadır ve alt medulla oblongatada piramidal çaprazlaşmasını yapıp karşı tarafa geçer, omurilikte dorsal beyaz çevherin ventral kısmında lokalize olur (Şekil 6). Diğer memelilerde "fasciculus



Şekil 6- Sıçan omuriliğinin enine kesitinde kortikospinal traktusun yerlesimi, taralı alanda gösterilmiştir (Zeman, dan, ref.346).

cuneatus ve gracilis" adı verilen funikulusların bir kısmını işgal eder. Piramidal traktusun, omuriliğin en alt kısmına kadar uzandığı saptanmıştır. Sıçanda kortikospinal traktus, fasc. gracilis ve kuneatustan küçük çaplı oluşları ve çögünün myelin-siz oluşu ile ayrılır. Myelin boyalı preparatlarda bu traktus zor boyanır. Rutin boyamalarda ise kompakt ve yoğun boyanma gösterir. Çaprazlaşmanın yukarıısında piramidal traktusu kesmek, ön ayaklarda belirgin olmak üzere, postür, yürüyüş ve yakalama işlevlerini bozar. Yani sıçanların kortikospinal traktusu olasılıkla ayakların, özellikle de parmak ve pençelerin fleksör hare-

ketlerinin regülasyonu ile ilgiliidir .

Traktus tektospinalis ise mezensefalonun anterior kollikulusundan çıkar, retikulospinal formasyonun ventral longitudinal demetinde aşağı doğru iner. Bunun kollateral ve terminalleri doğrudan veya dolaylı olarak aynı taraf motor nöronlarında sonlanır .

346

nır .

Sığanda ağrı ile ilgili spinotalamik traktus, periferik beyaz cevher içindedir. Bu yüzden travma sonrası sensoryel fonksiyon çabuk kazanılır. Oysa kortikospinal traktus çok santral yerleşimli olduğundan travmadan çabuk

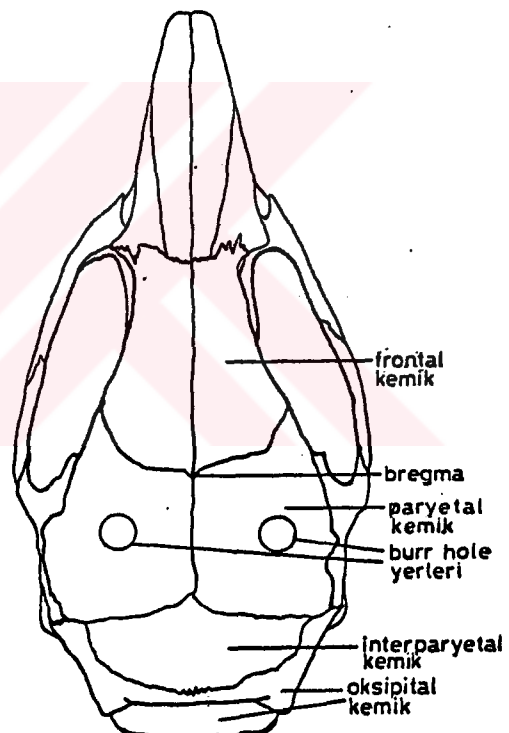
307

etkilenir .

Sığan omuriliğinde transeksiyon çalışmalarının bir özelliği, tam kesmenin her zaman iyi anlaşılama masıdır. Bu yüzden kesinin tam olarak yapıldığı, histolojik ve elektrofiziolojik testlerle kanıtlanmalıdır. Aksi halde özellikle rejenerasyon çalışmaları için yapılan transeksiyonlarda, omuriliğin %5-10'u kalsa bile, 1 ay sonra parapleji kalkar ve hayvan fonksiyonel olarak

154

düzelir .



Şekil 7- Sığan kranyumunun Üstten görünümü. SEP kaydı için paryetal kemikte açılan burrhole yerleri işaretlenmiştir (C o o k'tan yararlanılarak, ref 89).

**B-OMURİLİK
TRAVMALARI NT
FİZYOPATOLOJİSİ**

1-TARIHÇE

19. yüzyıl sonunda başlayan ilk deneysel omurilik travması çalışmaları, 20. yüzyılda çok sayıda travma modelinin gelişmesi ile ivmesi artarak devam etmiştir.

S c h a m u s 1890 da ilk deneysel omurilik çarpması travmasını yapmıştır . Watson'un 1891 de, Spiller'in 1899 da yaptığı travmalar, sabit travma şiddetini öngörmemiği için, değeri yoktur .
281
114,281

A l l e n 1911 de ilk kez dereceli, kontrollü omurilik travmasını geliştirerek, deneysel omurilik travmasındaki modern anlayışın babası olmuştur . Ayrıca yüksekten düşürdüğү ve gram X santimetre olarak derecelendirdiği travma ile parsiyel ve komplet travma ayırımını yapmış, omuriliğin santralinda olan olayları incelemiştir. Yazar, omuriliğin merkezinde hemorajik bir akıntıının olduğunu belirtmiş, bunu toksik maddelere bağlamış ve bu toksik maddeleri atmak için de myelotomiyi önermiştir .
3
3

M c V e i g h 1927 de omuriliği parmakları arasında sıkıştırarak yaptığı travmalarda, santral gri cevherin travmaya eşiği-
238 nin düşük olduğunu bulmuştur .

F e r r a r o 1927 de santral hemorajik değişiklikler ile
89 santral kavitasyonu incelemiştir .

F r e e m a n ve ark. 1953 te ödemli, hemorajik ve kontüzyone omuriliğin pial kılıf içinde sıkışarak oto-destrüksiyona gitti-
221 ğini söylemiştir . Bu yüzden myelotomi veya hipertonik solusyon tedavisini önermiştir.

Daha sonraki yıllarda, omurilik travmasında direkt çarpma ile başlatılan bir oto-destrüksiyon olayının geliştiği, bu oto-destrüksiyonu yaratan sekonder hasarın açıklanması ve önlenmesinin 54,88,89,121,203,302 gereği düşünülmüştür.

T a r l o v ve ark. 1953 te epidural balon kompresyonu yönemini geliştirerek yavaş ve hızlı kompresyonun omurilik iletimine ve histopatolojisine etkilerini incelemiştir. 302

A l b i n ve ark. 1968 de metabolizmayı azaltıp omuriliği sekonder hasardan korumayı planlamışlar ve hipotermi yapmışlardır. Ayrıca A l l e n'in yönteminde ilk modifikasyonu yapmıştır.

O s t e r h o l m ve M a t t h e w s 1972 de travma yerinde NE birikimi olduğunu, bunun da lokal vazokonstriksiyon ve endotel yırtılmasına yol açtığı teorisini ortaya atmıştır. 256 NE in omuriliğe gelişinin de bulbus taki bir CA merkezi ile idare edildiğini, afferent liflerin kesilmesi ile bu ilişkinin kesileceğini öne sürmüştür. O s t e r h o l m'un bu biyokimyasal açıklamaları, deneysel omurilik travmaları ile ilgili çalışmaların ivmesini birden arttırmıştır. Sonradan bu teorinin geçerli 2,167,168,248 olmadığı, değişik çalışmacılarca gösterilmiştir.

K o b r i n e 1975 te omurilik travması ile aniden gelişen parapleji ve aksonal iletim kaybının, membran destrüksiyonuna ya da hücreler ve aksonlar içine aniden Na⁺ girmesine bağlı olduğunu, bu yüzden hiperpolarizasyon olduğunu, sekonder hasar teorilerinin bir neden değil, sonuç olduğu varsayımini öne sürmüş-

203
tur .

R i v l i n ve T a t o r 1972-1977 yılları arasında, önce
303,304
maymunlarda çevresel kılıf ile , sonra sıçanlarda anevriz-
ma klibi ile 270,271,272,273,305,306,307 travma yöntemini geliş-
tirmiş, daha sonra bu yöntem başkalarınca da kullanılmıştır.

2-DENEYSEL TRAVMA YÖNTEMLERİ VE DEĞERLENDİRİLMESİ

Burada deneysel omurilik travması yapmak için bilinen yöntemlerden kısaca söz edecegiz:

1-Ağırlık düşürme travması: Yöntem, 1911 deki ilk uygulayıcısı olan A l l e n'in adıyla anılmaktadır. Bu modelde belli gram ve çapta ağırlıklar, ameliyatla açılmış olan omuriliğe bir çerçeve aracılığı ile ve belli yükseklikten düşürülürler. Travmanın büyüklüğü, gram ve santimetrenin çarpımı ile ve "gm-cm" kısaltması ile belirtilir. A l l e n'in gözlemlerine göre kedilerde 345 gm-cm travma orta dercede yaralanma, 420 gm-cm spastik paraparezi, 450 gm-cm sürekli parapleji yapar. A l l e n'in gözlemleri, büyük memeliler için halen geçerlidir. Ancak henüz açıklanamayan nedenlerle sığan ve tavşan gibi küçük memeliler, bunun $1/10$ u oranındaki değerlerde şiddetli bir şekilde yaralanırlar. Daha sonraki 70 yıl içinde A l l e n'in yöntemi, küçük değişikliklerle birçok laboratuvara kullanılmıştır.
9,10,11,12,13,19,22,69,72,86,103,115,117,137,256,
277,284,322,343,353

Burada belirtilen gm-cm ifadesinin, kuvveti değil, enerjiyi gösterdiğini vurgulamak gereklidir. Kuvvet ise, birim alana iletilen enerji olarak tanımlanır. Bu nedenle yaralanma sonuçlarını karşılaştırmak için, travmaya uğrayan omurilik alanı belirtilmeli dir. Örneğin aynı gm-cm formülü, geniş veya ince başlı ağırlıklarla uygulandığında değişik sonuçlara yol açmaktadır. Nitekim irreversibl parapleji düzeyi büyük memelilerde kimi ca-

86,115,256,343 3

lismacılarca 400 gm-cm , kimilerince 450 gm-cm ,
 1 103
 500 gm-cm veya 600 gm-cm olduğu belirtilmiştir. D o h r -
 man n ve ark. (1978) da gm-cm ölçüümünde çarpımı sabit tutacak
 şekilde gramı ve santimetreyi değiştirdiklerinde, lezyonlarda ve
 fonksiyonel sonuçlarda 5 kat fark olduğunu bulmuşlardır 256 . Özeti-
 le, yöntemin biyolojik hata sınırları oldukça genişir.

C o l l i n s, çarpma travmasının kullanılmamasında birçok sorunun olduğunu, sonuçları değerlendirdirken bunların göz önüne alınması gerektiğini söylemektedir .Bu sorunları başlıca 3 grup halinde toplayabiliriz:

1-Kan akımı ve metabolik değişiklikler, sonuçları etkilemektedir. Bu nedenle her travma modelinde vücut ısısı, arteriyel basınc, PO₂, PCO₂ ve kan PH'si gibi fizyolojik faktörlerin kontrol edilmesi gerektiğini söylemektedir.

2-Belli volümdeki bir travmanın nörolojik sonuçlarının umulan boyutlarda olabilmesi için travma/doz eğrisinin çizdirilmesi
54 gereklidir. Travma/doz eğrisini çizdirdiğimizde, eğrinin alt ucunda hemen tüm tedaviler ve zaman, nörolojik kaybın geri dönüşmesine yol açacaktır. Nörolojik kaybın geçici olduğu bu düzeyde, tedavinin değerlendirilmesi güçtür. Eğrinin üst ucunda ise tüm tedaviler sonucu değiştirmeyecektir. Çünkü liflerin fiziksel kesisi olmuştur. Bu düzeyde ancak rejenerasyon çalışması
54 yapılabılır. Burada "eşik travma" deyiminden söz etmek gereklidir. Eşik travma ile, eğrinin tepesine gelindiği nokta anlaşılmalıdır. Yani bir hayvanın en az 6 hafta paraplejik kalmışına

yetecek minimal travmaya eşik travma denir. Bu oran kedide 400
54

gm-cm iken, Ford'un kontrollü çalışmasında, yani omurilik
önüne destek konması ve konveksitesi dışarı doğru olan bir
ağırlik düşürülmesi ile 200 gm-cm olabilmektedir. Ayrıca hay-
vanların izleminin uzun süre yapılması da önemlidir. Çünkü
doz/yanıt eğrisinin plato haline gelişti, Dolan ve ark. na
göre (1980) sıçanlarda 4 hafta, maymunlarda 8 hafta sürmekte-
dir.
83

3-Ağırlik düşürme yönteminde hayvanın tipi, ağırlik cisminin
boyutları, çarpma yüzeyinin şekli, spinal kolon fiksasyonunun
tipi gibi değişkenler de sonuçları etkileyebilmektedir. Bu
yüzden Collins, her laboratuvarın kendi koşullarında bir
normalizasyona gitmesini önermektedir. Ayrıca çalışma süresince
de düzenli kontroller yapılmalıdır. Gözlenemeyen bir değişken,
çalışmanın herhangi bir aşamasında sonucu değiştirebilir.

Young ve ark. (1981) da ağırlik düşürme yönteminin sa-
kincalarını belirtmişler, hayvanların yaklaşık %10 unda arzu e-
dilen travmanın olamayacağını ve somatosensoryel uyarılmış po-
tansiyellerin (SEP) korunduğunu, hatta hayvanların yürüdügüünü
343 göstermişlerdir. Bu değişkenliğin, ne kadar büyük özen gös-
terilirse gösterilsin düzeltilemeyeceğini vurgulamaktadırlar.
Young ve ark. ile aynı görüşü paylaşan Ford (1983),
çarpma sırasında spinal kolonun stabil olmasının önemini
belirtmekte, stabilize edilmeyen vertebral kolon üzerine düşürü-
len ağırlığın, süspansiyon etkisi ile şiddetinin azaldığını

117
söylemektedir .

A n d e r s o n da (1985) kompresyon miktarı ile çarpma hızının birbirinden bağımsız olarak kontrol edilebileceği bir ağırlık düşürme yöntemi geliştirmiştir . Ferretlerde bir pnömatik silindiri spinal kolona adapte etmişler, kompresyonun hızını da hava basıncı ile ayarlamışlardır. Böylece kompresyon miktarını omurilik çapının yüzdesi olarak vermek mümkün olmuştur. 0.6, 3.0 ve 10.0 m/sn çarpma hızlarında, %25,50,75 kompresyon uygulamışlardır. Çalışmacılar sonuç olarak çarpma hızının önemi-
⁶ ni vurgulamaktadırlar .R u c k e r ve ark. da (1981) durayı açarak yaptıkları travmalarda, çarpan cismin düşme hızını, bir
²⁷⁷ fotoelektrik aygitla ölçmüştür .

Travmanın yapıldığı düzey de önemlidir. Üst ekstremitelerin sağlam kalması ve hayvanın uzun süre yaşatılabilmesi amacıyla genellikle torasik travma yapılmaktadır. Ancak torasik ve servikal omuriliğin travmaya direncinin farklı olduğu bulunmuştur. D ' A n g e l o ve ark. (1973) kedilerde torasik omuriliğe 300 gm-cm travma yapınca SEP ler kaybolurken, servikal omuriliğe
⁶⁹ aynı doz travma ile SEP ler kaybolmamıştır . Ancak yine aynı yazarlar, C5 vertebra korpusunu önden drill ile alarak, durayı açmadan anterior servikal travma yaptıklarında, önden ve arkadan yapılan travmaların gerek patoloji ve gerekse SEP sonuçlarını
⁶⁹ değiştirmedigini görmüşlerdir . Bu bulgular, M c V e i g h 'in (1923) görüşlerine uygundur. Yazarın gözlemlerine göre, omuriliğe çarpma nereden olursa olsun, yaralanma en az direnci olan

bölgelerde, yani santral kanalın dorsalindeki gri cevherde olmaktadır.
238
dir .

2-Ağırlık koyma yöntemi: Bu yöntemde ağırlık düşürülmez, dura
6,179,245,284
Üzerine yavaşça bırakılarak belli süre tutulur .
M o r r i s o n ve ark. (1975) kedilerde 30 cm uzunlukta ve 1
2
cm yüzeyi olan 38-58 gramlık çubukları dura üzerinde tut-
245
muşlardır . A n d e r s o n ve ark. da (1980) yine kedilerde
190 gramlık bir ağırlığı 5 dakika süreyle dura üzerinde bırak-
6
mışlar, bu kompresyonun en az 2 saat süren bir paraplejiye yol
açtığını saptamışlardır .

Ağırlık koyma yöntemi, statik bir yöntemdir. Daha çok tümörlerdeki kompresyona benzer bir mekanizmayı gösterir. Künt omurilik travmasındaki patolojik süreci vermeyebilir. Bunu anlamak amacıyla H u n g ve ark. (1982) kedilerde statik ağırlık koyma ile ağırlık düşürme yöntemlerini karşılaştırmışlar, omuriliğin 4 mm kompresse olmasının irreversibl hasara yol açtığını gözlemiş-
181
lerdir . N a c i m i e n t o ve ark. da (1985) elektro-
manyetik kontrollü bir metal çubuk ile kompresyon yapmışlar, kompresyonu kaç milimetre, hangi hızla ve ne kadar süreyle yapabileceklerini ayarladıkları bir düzenek geliştirmiştir .
Kedide 5 mm olan omurilik çapını 7 msn de ve 0.75 m/sn hızla 3 mm ye indiren ve 15 msn de geri dönen bir koşulda kompresyon süresini 50 msn, 0.5 sn ve 1.0 sn de tutup karşılaştırmışlardır. Patoloji ile süreler arasında lineer bir ilişki olmadığını bulmuşlardır. Yöntem, kare dalga benzeri bir kompresyon

sağladıgından ilgingçtir . Kompresyonu açılan lamina yerine
285
yerleştirdikleri bir vida ile yapanlar da vardır .

3-Cevresel kılıf ile kompresyon: 1956 da G e l f a n ve T a r-
1 o v kedilerde duranın ön ve arka kısmına koydukları plakların
arasını yumuşak, köpüklü bir plastik materyalle doldurmuş,
böylece uygulanan basının omuriliğin her yanına eşit olarak da-
130
ğılmasını sağlamışlardır . Bu şekilde 200 mmHg lik bir basınç
uygulamışlardır. 1973 te T a t o r ise, maymunlarda epidural
bölgeye çepeçevre yerleştirdikleri bir kılıf ile kompresyon
304
"circumferential sleeve compression" yapmışlardır . A n d e r-
s o n (1982) da bir pnömatik aygıtla kompresyonu denemiştir .
Biraz önce sözünü ettigimiz gibi, omuriliğin neresine travma
yapılırsa yapılsın, lezyon santral omurilikte olduğundan, bu güç
69,238
yöntemlerin tercih edimesine gerek yoktur .

4-Epidural balon kompresyon: İlk kez 1953 te T a r l o v'un
kullandığı bu yöntem, 3 veya 4 numaralı Fogerty embolektomi
kateterinin laminektomi yerinden epidural mesafede sağlam lamina
altına doğru ilerletilmesi, sonra da balonun 0.2-0.6 ml serum
148,206,233,
fizyolojik ile şişirilmesi şeklinde uygulanmaktadır
302

. T a r l o v, şişirme işlemini hızlı ve yavaş yaparak karşı-
302
laştırmıştır . K o b r i n e ve ark. (1979) maymunda balonu
şişirdikten sonra 1,3,5,7,15 dakika sürelerle tutmuşlar ve OKA
206
ni incelemiştir . Yazarlar, OKA değişikliklerinin hemen ol-
madığını vurgulamaktadır. G r i f f i t h s ve ark.(1979)
ise köpeklerde epidural balon kompresyonu yaparlerken, aynı

zamanda omuriliğin ön tarafına koydukları bir transduser ile ba-
148
sinci ölçümlerdir .

5-Epidural klip kompresyon: İlk kez R i v l i n ve T a t o r
271
'ın 1978 de sıçanlarda kullandığı bu yöntem , bir anevrizma
213
klibi ile -K e r r L o u g h e e d yaylı klipleri- belli
83,84,213,
sure için omuriliğin sıkıştırılması şeklinde uygulanır
271,305,306,307

.R i v l i n ve T a t o r 175 gram kapanma kuv-
271
veti olan bir klibi 1 dakika süreyle tutmaktadır . Aynı
yöntemi C r a c c o ve E v a n s (1978) kedilerde uygulamış-
61
tir .

6-Direkt servikal travma: Kafaya uygulanan dolaylı bir travma
ile hem spinal kolonun hem de omuriliğin yaralanmasıdır. Ancak
bu yöntemde travmanın omuriliğe olan şiddetini ayırtlamak
imkansızdır. G o s c h ve ark.maymunlarda kranyuma uyguladıkl-
ları akut fleksiyon, ekstansiyon, kompresyon travmaları ile
140
servikal omurilik yaralanması yapmışlardır .

7-Spinal traksiyon: İlk kez D o l a n ve ark. (1980) tarafından
hazırlanan bu sistemle kedi omuriliği 0.25 cm/10 dakika
82
hızla çekilmiş, OKA ve SEP ölçümleri yapılmıştır . Yöntemin
kompressif travmalardan önemli bir farkı, SEP lerin önce
kayıb olması, OKA da belirgin düşmenin bunu izlemesidir. Oysa
204
kompressif travmalarda durum tam tersinedir . Spinal distrak-
siyon, C u s i c k ve ark. tarafından (1982) maymunlarda ,
66
180
H u n g ve ark. (1981) tarafından da kedilerde incelen-
miştir.

8-Farmakolojik blokaj: SEP veya spinal uyartılmış potansiyelle-

ri incelemek için membran aktif maddelerin (ovabain, lidokain,
284
KC1) intramedüller enjeksiyonuyla yapılmıştır .

Deney hayvanlarında travmanın sonuçlarını değerlendirmek için en çok kullanılan yöntem, nörolojik bakıdır. Nörolojik baki ise, klasik olarak motor ve duysal baki olarak yapılabilir.

Deney hayvanlarında motor fonksiyonu değerlendirme konusunda tam bir görüş birliği yoktur. Pleji düzeyini değerlendirmenin maymunlarda kolay olduğu, ancak kedi, köpek, sincan gibi "spinal 270
yürüme" gösteren hayvanlarda güç olduğu belirtilmektedir .

Kedi, köpek ve sincanlarda klasik olarak bilinen ve kullanılan bir yöntem "Tarlov Sistemi" adını alır. Tarlov'un ilk olarak 302
köpeklerde uyguladığı sınıflama 5 maddeden oluşmaktadır :

1-Biraz kas tonusu var

2-Refleks ayakta durma

3-Defisitli yürüme

4-Defisitli yürüme, koşma

5-Normal, tam düzelse

72,73,88,103,302

Birçok yazar Tarlov skalasını veya onun
46,95,117,118,233,350,352,353
modifiye şekillerini kullanmıştır.

Tarlov sistemini modifiye eden Ford (1983), yürüme dışı motor fonksiyon bakilarının hatalı olacağını söylemekte ve bu yüzden kedilerde yalnızca yürümeye değerlendiren bir sistem 117 önermektedir : 0=yürüyemiyor, 1=yalnız birkaç adım yürüyor, 2=uzun süre zayıf yürüme, 3=hafif zorlukla yürüme, 4=sıçrayabiliyor, 5=normal yürüme ve koşma. Guth ve ark. (1980) ise spi-

nal yürümeyi ekarte etmek için aşağıdaki sorulara yanıt aramış-
154

tır :

- 1-Arka ayaklarını yürüken kullanma performansı
- 2-30° eğimli tel kafeste tırmanma performansı
- 3-Bir masanın kenarında düşmeden yürüyebilme
- 4-Düzelme refleksi "Righting Reflex" : Hayvan sırt üstü yatırılır, kaç dakikada düzeldiği ölçüülür.
- 5-Peroneal sinir fonksiyonunu ölçmek için kuyruğundan kaldırılıp parmaklarını açabiliyor mu?
- 6-Arka bacak kaslarında atrofi var mı diye palpasyon yapılır. Çalışmacılar daha sonra her soruya şu subjektif yanıtlardan birini vermiştir: 0 yok, ± kuşkulu, + hafif, ++ orta, +++ iyi, +++++ normal.

84, 270, 305, 306

Bunların dışında daha çok sıçanlarda ve ferret-
lerde dereceli olarak eğim verilebilen bir tabla ile hayvanın
ayakta durabildiği açı ölçümektedir. Eğimli tabla "inclined
table" yönteminde, hayvanın dengesindeki azalma derecelendiril-
miş olmaktadır. R i v l i n ve T a t o r (1977) myelektomi
yaptığı sıçanların 23° ye tırmandıklarını, Tarlov sistemi
ile 2. dereceyi yerine getirebildiklerini ve spinal yürüme
gösterdiklerini, normal hayvanların ise 80° ye tırmandıklarını
söylmektedirler . E i d e l b e r g ve ark. da ferretlerin
5 s 95 lik aralıklarla kaldırıldıkları tablada 5 saniye durabil-
melerini kriter olarak kabul etmiştir .

Lokomotor yeteneği değerlendirmek için hareketlerin filmini

çekmek, hareketli mil üzerinde yürütmemek, EMG yapmak gibi yöntem-
270
leri kullananlar da olmuştur .

Duysal fonksiyonu değerlendirmek için de girişimler olmuştur.
G u t h ve ark.(1980) sıçanların arka ayaklarını 5 ve 55
deki suya batırarak reaksiyon zamanlarını ölçmüştür . Ağrıya
yanıtlarını ise bir forsepsle ciltlerini sıkarak değerlendirmiştir,
hayvan başını israrla uyarı tarafına çevirirse, pozitif yanıt
olarak kabul edilmiştir. Ancak duysal fonksiyon bakısı, hataları
71,88,89,117,307
nedeniyle genelde kabul edilmeyen bir yöntemdir .

3-PATOLOJİ

Omurilik yaralanması, meninksleri, kan damarlarını ve sinir do-
kusunu içerir . Konumuz dışında olduğundan omurilik yaralanma-
larına sıkılıkla eşlik eden spinal kolon travmalarından burada
söz etmeyeceğiz. Travma sonrası omurilikteki değişiklikler 4
başlık altında toplanabilir :

1-Direkt morfolojik hasar: Sanıldığı kadar çok değildir. Şiddet-
li travmalarda bile dura mater ve araknoid sağlam kalmaktadır.

2-Kanama ve vasküler hasar: Çoğu travmada anterior ve posterior
spinal arterler korunur. Ancak küçük intramedüller damarlar
hasara uğrar ve hemoraji gelişir .Santral hemorajik nekroz
(HN) adı verilen bu süreç, histopatolojik değişiklikler başlığı
altında ele alınacaktır. OKA değişiklikleri de ileride söz
edilecektir. Seyrek olarak çarpmaların yerinde yüzeyel küçük
hemorajiler olur .Yüzeyel damarların görünümü, travmayla ve
omuriliğin düzelmeye yeteneği ile doğrudan ilişkilidir .Eğer
kötüleşme olursa arterlerde düzensizlikler ve venlerde travmatik
dilatasyonlar olur.

3-Beyaz ve gri cevherde yapısal değişiklikler: Santral gri
cevherde başlayan değişiklikler, gittikçe beyaz cevhere yayılır.
Gri cevher değişiklikleri önemli değildir. Ancak beyaz cevher
patolojisi tolere edilemez, çünkü inen ve çıkan liflerin iletim
fonksiyonu kaybolur. Beyaz cevherde ödemin de eşlik ettiği
patolojik süreç, kanamaların da eklenmesi ile yaygın beyaz
cevher destrüksiyonu ile sonlanır .Omurilik ödemi de ayrı

başlık altında incelenecaktır.

4-Biyokimyasal değişiklikler: Yukarıda sözünü ettigimiz patolojilere eşlik eden ve/veya onları başlatan biyokimyasal değişiklikler son yıllarda omurilik travmalarının fizyopatolojisini açıklama girişimlerine de öncülük etmektedir. Bu konu da ayrı başlık altında incelenecaktır.

Omurilik bir kez yaralandığında hızla dejener olmaya başlar. Bu "oto-destruksiyon" süreci, biraz sonra sözünü edeceğimiz biyokimyasal mekanizmalardan bir veya birkaç ile presipite olmaktadır.⁸⁹ Omurilik, saatler geçtiğinde, ilk düzeyinden daha kötü duruma gelir. ⁸⁹ Ducke r(1971) travma sonrası patolojik değişikliklerin bir logaritmik skalasını yapmıştır :

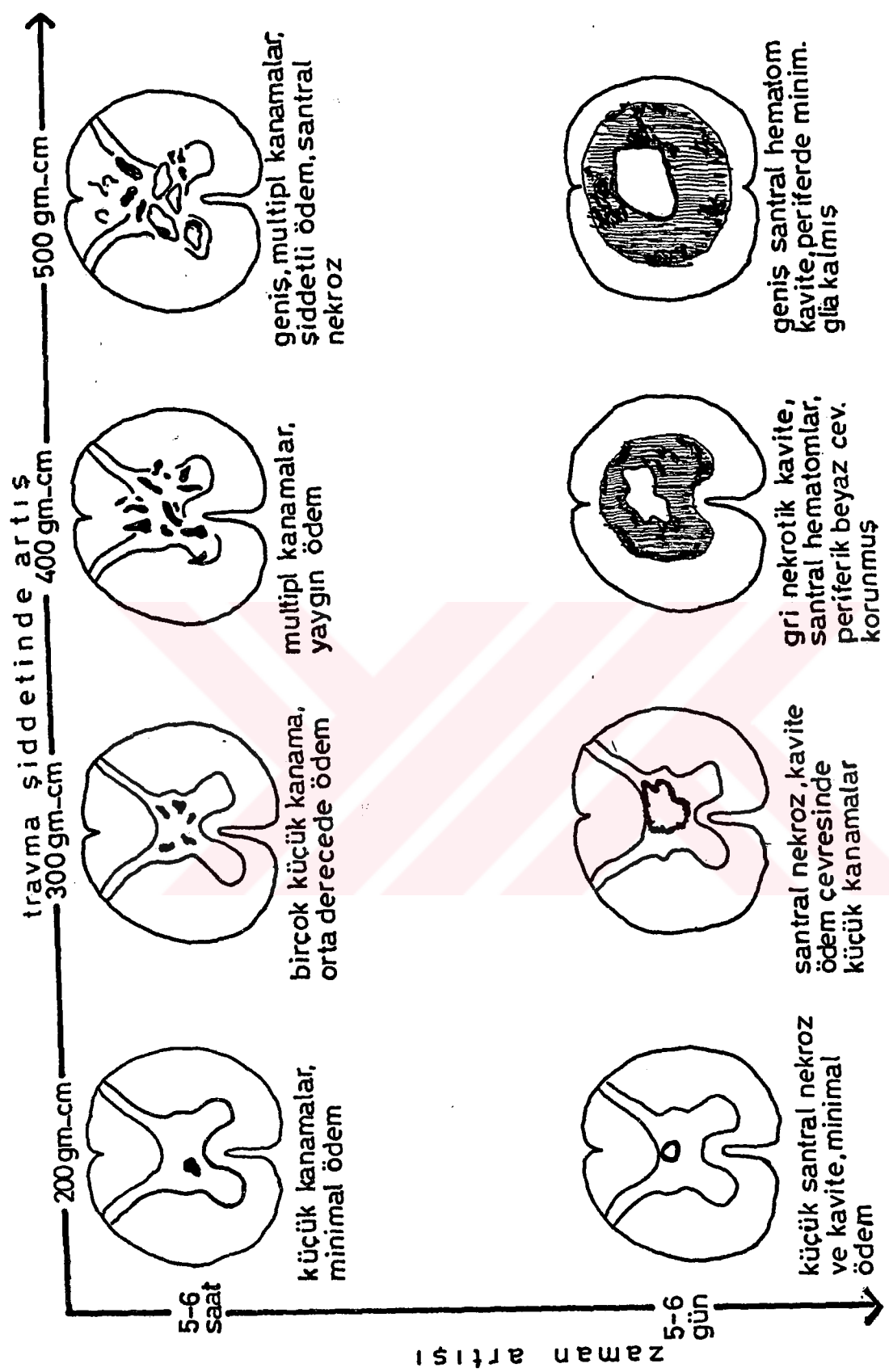
s	0	biyoelektriksel değişiklikler
a	1	biyokimyasal maddelerin salınması
a	2	kan akımındaki değişiklikler
t	3	doku perfüzyonu değişiklikleri
l	4	hücresel değişiklikler
e	5	
r		
(logarit-	7	doku nekrozu
mik		PNL infiltrasyonu
skala)	10	
	50	patolojik skar

HISTOPATOLOJİK DEĞİŞİKLİKLER: Omurilik yaralanmasından sonra saptanan histopatolojik değişiklikleri kronolojik sırayla inceleyeceğiz olursak (Şekil 8):

5 dakika sonra, santral gri cevher müsküler venüllerinde ^{80,89,256} görülmeye ⁸⁰ rilme ⁸⁹ görülür. Venüller eritrositlerle dolar ³²⁰. Ultrastrüktürel bakıda, endotel bileşkelerinde açılma ve endotelin ¹³⁷ bazal membranından ayrılması izlenir. Kısa süre içinde trombosit ⁸⁰ tıkaçları gelişir.

15 dakika sonra, gri cevherdeki kapiller ve venüllerin çevresi eritrositlerle dolar. "Perivenöz diapedezis" adını alan bu patoloji, ⁸⁹ ^{80,89, 320} Ducke'r'a göre reversibildir ve ilk görülen post-travmatik patolojidir. Perivenöz diapedezise ilaveten ¹³⁷ gri cevherde ödem olduğu da söylenebilir. Ultrastrüktürel incelemelerde nöronlarda sitoplazmik mikrovakuoller görülebilir ^{80,320}. Ayrıca yine elektron mikroskopik incelemelerde post-kapiller ve müsküler venüllerin endotelinin eritrositler tarafından penetre edildiği ve endotelde açıklıklar olduğu görülebilir ⁸⁰. Daha sonra bu açıklıklar gittikçe genişler.

30 dakika sonra, ince duvarlı damarların yırtılması ile ²⁵⁶ santral gri cevherde birkaç küçük hemoraji görülür. Peteşial kanamalar, santral kanal ve ön boynuzlara komşu santral gri cevher ile sınırlıdır. Posterior gri cevher sıkılıkla korunmuştur. Bu sırada damarlardan protein ekstravazasyonu sonucu beyaz cevher ödem de olur. Beyaz cevher aksonlarında dejeneratif değişiklikler başlar, periaksonal aralıklar ödem nedeniyle



Şekil 8- Kedilerdeki deneysel omurilik travmasınında histopatolojik olayların zamanla ve trauma şiddeti ile değişimi (Ducke er dan, ref.89).

80,89
genişler .

1 saat sonra, santral gri cevherde küçük hemorajiler belirgin-
89 leşir .Kapiller ve postkapiller endotelde iskemik hasar
olduğunu gösteren vakuolasyon ve endotelyal şişmeler izle-
80,89 nir .Beyaz cevherin elektron mikroskopik incelemesinde,
akson silindirlerinde terminal şişlikler olur. Bu şişlikler
42,256,320 "retraksiyon demetleri" adını alır .Beyaz cevherde ge-
lişigüzel görülen bu demetlerin, akson silindirlerinden koparak
aksoplazmanın bir ucta büzüşüp toplanmasına bağlı olduğu
320 söylemektedir .Ödemin ilerlediği, periaksonal aralıkların
genişlemesi ve aksonların şişmesi ile anlaşılır.

2 saat sonra, santral petesi genişlerken, polimorf hücreli
lökosit infiltrasyonu ve mikroglial reaksiyonlar başlar.Nöron-
lardaki değişiklikler sonucu "hayalet hücreleri" ortaya çıkar.
Hayalet hücreleri, nükleusları belirsiz, eozinofilik boyanma
gösteren, Nissl cisimcikleri kaybolmuş ve sitoplasmaları parça-
256 lanmış hücrelerdir . Kedilerde 500 gm-cm travmadan sonra
256 santral hemorajik nekroz yüzdesi 2. saatte %23.3 bulunmuştur .

4 saat sonra, santral iskemik ve hemorajik lezyonlar belirgin-
leşir. Artık santral gri cevher hemorajik nekrozu komşu beyaz
257 cevhere doğru yayılmıştır .Bu saatte omuriliğin %40ında nek-
roz vardır. Santral HN'un kıyısında PNL'ler venekrotik granüler
materyal görülür. Bu sırada yapılan elektron mikroskopik
incelemeler, gri cevherin tamamının kapiller ve postkapiller
venüllerindeki endotelde vakuolizasyon, şişme ve iskemik

endotelial değişikliklerin olduğunu göstermiştir . Beyaz cevherdeki ışık mikroskopu değişiklikleri en iyi bu saatte görülebilir . Özellikle santral kesimlerde olmak üzere beyaz cevher ödemsi artar. Nöron ve glialarda patolojik değişiklikler belirginleşir. Ultrastrüktürel olarak büyük nöronlarda kromatolizis, vakuolasyon ve sitoplazmik dansitede değişim belirginleşir . Liflerin ise 1/4 ünün myelin kılıfları kopmuş, aksonları da dejenerere olmuştur . Ayrıca gri cevher yakınındaki aksonlarda mitokondriaların, yoğunluğu yüksek korpusküllerin, veziküllerin sayısı artar. Bu birikim devam ederse akson şiser ve myelin kılıfının da distansiyonu ile parçalanması olur . Myelin kılıfindaki bu değişiklikler "retraksiyon korpuskülleri" adını 42,256 alır .

6 saat sonra, santral HN, beyaz cevherin de bir kısmını içine alarak genişlemiş, nekroz kıyısında PNL infiltrasyonu artmış, periferik beyaz cevher lakküler bal peteği görünümü almıştır . Soluk boyanan myelin kılıfları genişlemiş ve iyice parçalanmıştır. Ön boynuzdaki büyük motor nöronlar ya hiç görülmemekte ya da hayalet hücreleri şeklinde görülmektedir .

24 saat sonra, omurilikte başlıca amorf nekrotik doku ve birbirine yapışmış eritrositler ile çevrede küçük bir halka şeklinde beyaz cevher vardır.O s t e r h o l m, bu saatte nekroz alanının, kedilerde 500 gm-cm travmadan sonra %69.4 olduğunu bildirmektedir . Aksonal dejenerasyon ilerleyerek, distalde 42 Wallerian dejenerasyon başlar .10 hafta sonra yapılan 89 incelemede, iyi organize olmuş bir santral kavite görülür .

4-ÖDEM

Travma sonrası omurilikte ödemin oluş mekanizması ve traktusların işlevini bozmadaki katkısı yeterince bilinmemektedir.

Omurilik ödeminin miktarını ve dağılımını anlamak için şu yöntemler kullanılmaktadır:

1-Kuru ağırlık ölçümü; doku su içeriğini hesaplamak amacıyla
322
dır .

2-Fluoresan mikroskopisi teknikleri; travmadan 10 dakika önce
verilen fluoresan etiketli albumin veya dekstranın, travmadan
sonra hayvan öldürülüp alınan kesitlerde, fluoresan mikrosko-
144,322
punda incelenmesidir .

3-Evans mavisi etiketli albumin ile ölçüm .
148

Bu üç yöntemden kuru ağırlık ölçümü, büyük standart sapmalar
322
nedeniyle tercih edilmemektedir . Ayrıca travma yerinde
gözlenen doku sıvısı değişiklikleri, hemoraji ve nekrozun sıvı-
sını da vereceğinden gerçek ödem göstermez. Daha rostral ve
kaudal omurilikten yapılan kayıtların daha değerli olduğu
322
söylenebilir . Wagner ve Steward (1981) kedilerde
500 gm-cm travmadan sonra belirgin ödem gördüklerini, 260 gm-cm
travmanın ise travma bölgesinde bile ödem yaratmadığını
söylediştir. Yazarlara göre ödemin travma yerinin rostral ve
kaudaline yayılması için travmanın parapleji yaratacak şiddette
olmaması gereklidir. Fluoresan mikroskopisi tekniğinde ödemin baş-
langıçta beyaz cevher traktusları boyunca yayıldığı, rostral ve
kaudalde longitudinal olarak epey mesafe katettiği ve serebral

travmalardakine benzer şekilde beyaz cevher dağılımının olduğu
144,251,322 gösterilmiştir . Ödemin dağılımını değiştirmek isteyen
322 çabalar başarılı olmamıştır .

S h a p i r o ve ark. doku basınç gradientlerinin değişimi-
nin, Ödemin longitudinal yayılımına neden olduğunu iddia
256 etmektedirler . Bu değişim, travmadan 1-2 saat sonra olur.

Y a s h o n ve ark.na göre ise (1973) posttravmatik omurilik
340 Ödemi 5. dakikada başlar ve 15 gün sürer . 5.günde ise
maksimuma ulaşır (%7.4). Kuru ağırlık ölçümleri ile elde
ettikleri bu sonuçlara göre, Y a s h o n, omurilik Ödeminin tek
nedeninin iskemi olmadığını, antiödem tedavinin 3 hafta sürdü-
rülmesi gerektiğini söylemektedir.

5-OMURİLİK KAN AKIMI VE PERFÜZYON DEĞİŞİKLİKLERİ

Multipl radiküler arter ligasyonu ile yapılan omurilik iskemi-
sinde, travmada olana çok benzer santral HN olmaktadır .Bura-
dan çıkarak omurilikteki patolojik değişiklikleri tamamen
iskemiye bağlama eğilimi doğmuştur. Biz de bu nedenle, travma
sonrası omurilik kan akımı (OKA) değişiklikleri üzerine bilinen-
leri özetlemeye çalışacağız.

Deneysel çalışmalar, omurilik travması sonrası gri cevherde
7,89,123 veya tüm omurilikte kan akımının azaldığını göstermiştir
148,193,203,256,272

.Travmadan hemen sonra omurilik yüzeyindeki
damarlarda değişiklikler olur. Hemen gelişen staz yine hızla
düzelir. Eğer yüzeyel damarlarda rüptür olursa, bu rüptür
kapillerlerin venlere birleşme yerindedir. Yüzeyel damarlar akım
7
şekillerini en az 12-24 saat değiştirmezler .Daha sonra
özellikle venlerde olmak üzere, ilerleyici travmatik vazodila-
tasyon olur. Bu genişleme, omuriliğin dorsal yüzünde normalin 2-
4 katı oranında görülebilir. Ven, tonusunu ve normal rengini
kaybeder. Bu görünüm birkaç hafta sürer. Ancak bazı hayvanlarda
omurilikte irreversibl değişiklikler olmuşken, yüzeyel damarlar
89
normal olabilir .

Omurilik içindeki damarlardaki değişikliklere gelince,
travmadan 30-40 dakika sonra vasküler oto-regülasyon bozulur.
Lokal OKA azalır, ardından da sistemik TA düşer. Daha sonra OKA
289
artınca, sistemik TA de artar .Kobra ine ve arkının
(1975) H klirens yöntemi ile yaptıkları çalışmalarla, gri
2

cevherde 1.saatte akım azalmaya başlamakta ve 4.saatte dek azalma
204
sürmektedir .Daha sonra ise sürekli bu düşük düzeyde kalmaktadır. Lateral beyaz cevherde ise kan akımı hiçbir zaman azalmamakta, hatta artmaktadır. Yazalar 4.saatte lateral beyaz cevher kan akımının normalin iki katına çıktığını, 8-24.saatlerde ise normale döndüğünü bildirmektedir. Bu artışın, uygulanan kompressif travmaya bağlı olması olasıdır. Yazalar epidural basılon kompresyon ile yavaş bir basınç uygulamışlardır .K o b -r i n e, lateral beyaz cevherde kan akımı artışını, bası altındaki iskemik omuriliğin diğer yarısında artan metabolitlere bağlı bir vazodilatasyon olduğunu, bu vazodilatasyonun bir çeşit "lüks perfüzyon sendromu" olduğunu söylemektedir. Ancak kompressif hiperemi, tüm araştırmacılar tarafından kabul edilen bir
6,137
durum değildir .

133

Tüm OKA ni ölçen Xe desatürasyon tekniği, total kantitatif
89,148
azalmanın travmadan 2-3 saat sonra olduğunu göstermektedir

B i n g h a m ve ark.,K o b r i n e'in bulgularına uyari bazi
14
bulguları C antipyrine otoradyografi tekniği ile gözlemiştir
29
Bu kez beyaz cevherde 1.saatte OKA artmakta, sonra normale inmekte, normalin altına düşmekte, 4.saatte tekrar dereceli olarak artmaktadır. Yani 1-4.saatteki değerler dışında K o b -
29
r i n e'in bulgularına uymaktadır .Oysa koloidal karbon
7
perfüzyon tekniğini kullanan araştırmacılar travmadan 4 saat sonra gri cevherde perfüzyonun %78-83, beyaz cevherde ise %55-60 oranında azalduğunu bulmuşlardır. 8-24.saatlerde ise perfüzyon

gri cevherde %2, beyaz cevherde ise %8 e düşmektedir. Yazalar, travmadan 4-8 saat sonra oligeminin çok şiddetli boyutlara 7 ulaştığını vurgulamaktadır.

14

Yine C antipyrine otoradyografi tekniğini kullanan, fakat sıçanlarda ve klip kompresyonu ile travma yapan R i v l i n ve T a t o r ise OKA nin ilk 24 saatte gri cevherde %1 e, beyaz 272 cevherde %3 e dek düştüğünü belirtmektedir .

80,108

Mikroangiografik çalışmalar da 5-15.dakikalarda bir iske- mik faz olduğunu, bu iskeminin hem gri cevher hem de beyaz cevheri içine aldığı, kısa süre içinde gri cevherde hemorajiler gelişirken, beyaz cevher damarlarının hızla normale döndüğü- nü ve bazı olgularda normalden de geniş olduğunu göstermiştir. Bir süre sonra omuriliğin ortasında akım tamamen durmakta, çevresinde ise artmaktadır. Yani iskemi ve hiperemi alanları yan yana durmaktadır.Total OKA da 2-3.saate dek normal sınırlar 108 içinde kalabilmektedir .

Sonuç olarak, travmadan kısa süre sonra santral gri cevherde OKA nin azlığı ve bunun sürdüğü, beyaz cevherde ise belli dö- nemlerde kan akımının azlığı ve arttığı yargısına varabiliriz. Beyaz cevherde eğer bir vazodilatasyon oluyorsa, bunun mekaniz- ması, nedenleri ve süresi iyi bilinmemektedir.

Genel olarak OKA da meydana gelen bu azalmanın, vasküler oto- regülasyonun bozulması ile birlikte bulunması olasıdır. Travma sonrası bu hipotetik oto-regulasyon bozukluğunu, vasküler oto- regülasyonda rol aldığıni düşündüğümüz etkenlerle birlikte göz-

den geçirebiliyoruz:

1-Travma sonrası OKA/perfüzyon basıncı ilişkisi: Grif -
fith ve ark. (1979) BOS basıncını arttırap OKA'nın değişimi incelemişler, perfüzyon basıncı 65-70 mmHg ya, omurilik basıncı da 55-60 mmHg ya çıkışına dek OKA'nın değişmediğini bulmuşlardır. Bu oto-regülatoryar dönem, olasılıkla vasküler direncin azalması ile sağlanmaktadır. Oysa aynı anda dorsal kolondan alınan uyartılmış potansiyeller, omurilik basıncı 20-30 mmHg ya ininceye dek bozulmamaktadır.

2-Travma sonrası OKA/PaCO ilişkisi: Fizyolojik olarak mevcut olan bu ilişki, travma ile bozulur. Yaralı omurilikte PaCO² artışına yanıt alınmaz. İlginç olan, yaralanmamış distal omurilik segmentinde de PaCO² artışına vasküler yanıt alınamamasıdır. Fakat bir süre sonra spinal şok dönemi geçince bu yanıt döner.

3-Travma sonrası OKA/sempatetik sinir sistemi ilişkisi:

Youngh ve ark. (1982), cerrahi sempatektominin, OKA ve posttravmatik iskemi üzerine etkilerini araştırmışlardır. Lokal sempatetik ve adrenal etkilenmeleri ayırdetmek için, yalnız paravertebral sempatektomi, yalnız adrenalektomi, kombiné sempatektomi ve adrenalektomi yaptıkları hayvanlarda, OKA'ni ölçmüştür. Paravertebral sempatektomi yapılan hayvanlarda travmadan sonra OKA azalması olmamış ve 3 saat sonra SEP'ler geri dönmüştür. Bu bulgular, sempatetik ganglionların OKA otoregulasyonundaki rolünü, adrenalektominin ise etkisi olmadığını

göstermektedir. Yazarlar ayrıca omurilik yaralanmalarında sonuçları etkileyeceğinden hayvanlara asetil kolin blokerleri kullanılmamasını önermektedirler.³⁴⁴ Çünkü bu ilaçlar aynı zamanda sempatetik blokaj da yaptıklarından, posttravmatik OKA ni artırabileceklerdir.

OKA ile omurilik iletişimi ilişkisini, ileriki bölümlerde inceleyeceğiz.

6-BİYOKİMYASAL DEĞİŞİKLİKLER

Travma sonrası omurilikte bazı toksik maddelerin salgılandığı ve bunların omuriliğin oto-destrüksiyon sürecini başlattığı görüşü ilk kez Allen tarafından ortaya atılmıştır.³ Allen, bu toksik maddeleri dışarı atmak için myelotomiyi önermiştir. Daha sonraları birçok araştırmacı, ne olduğu bilinmeyen bu maddelerin, steroidler ve hipotermi ile inhibe edilmesi haliinde omurilik fonksiyonunun düzelleceğini iddia etmişlerdir.^{1,31,89} Yine bu toksik kimyasal maddelerin ortamdan atılması için omuriliğin hiperperfüzyonla yıklanması görüşü ortaya atılmıştır.³⁰⁴ 1970'lerden sonra omurilik travmasının biyokimyası üzerine yoğunlaşan çalışmalar, bazı yararlı bilgileri getirmiştir. Fakat biraz sonra tek tek üzerinde duracağımız biyokimyasal maddelerin hangisinin destrüktif bir fenomen sonucu olduğu, hangisinin olayın başlatıcısı olduğu ayırdedilememiştir:

1-Laktik asit: Lockett ve ark.⁽¹⁹⁷¹⁾ travma sonrası omurilikte laktat birikimi olduğunu göstermişlerdir.²⁵⁶ Laktik asidozisin, iskemik hipoksiye sekonder anaerobik glikolizis ile enerji tüketiminin bir yan ürünü olduğu söylenebilir.^{6,256}

2-Glikoz: Travma sonrası omurilik glikoz düzeyinin önce düşüğü, 1 saat sonra normale döndüğü, 8-24.saatlerde yükseldiği saptanmıştır.⁶

3-Katesolaminler (NE,DA): Osterholm ve Matthews (1972), travmadan 1-2 saat sonra gri cevherde anormal yüksek

düzeyde norepinefrin (NE) konsantrasyonu saptadılar. Yazarlar NE nin vazokonstriktif etkisinin, iskemiden sorumlu olduğunu iddia ettiler. Bir NE antagonisti olan alfa-methyl tirozin verince de hemorajik nekroz ve NE konsantrasyonunun azaldığını 256 bildirdiler .

Ancak daha sonra bu gözlemleri tekrarlamak isteyen laboratuvar-
29,167,213,248,319 lar aynı sonuçları elde edememişlerdir .H e d e
m a n n ve ark. (1973) dopaminin (DA) dokuda hızla yükseldiğini 167
NE nin ise normal düzeylerde bulunduğu , alfa-methyl tiro-
168 zinin de yararlı olmadığını bildirmiştir. Öte yandan alfa-
adrenerjik reseptör blokerleri ve dopaminerjik blokerlerin daha
168 yararlı olduğunu belirtmişlerdir .Daha sonra bazı araştırmacı-
cilar da travmatik dokuda NE i normal düzeylerde bulmuşlar-
29,248 dır. . Travma sonrası BOS'ta serotoninini (5-HT) yüksek bu-
43 lanlar da olmuştur .

K u r i h a r a (1985) ise NE, DA, 5-HT i düşük bulmuşlardır 213
K u r i h a r a, ayrıca NE salınmasının, nöronal hücre membra-
nını bozduğunu, bunun da lipid peroksidasyonunu artttırdığını id-
dia etmektedir. Çalışmacılar, NE antagonistleri 6-OHDA ve 5,7
DHT yi travmadan önce verdiklerinde adenosin- tri -fosfataz
(ATPase) aktivitesinde azalma olduğunu, lipid peroksid oluşumun-
da azalma olduğunu göstererek bu iddialarını desteklemektedir-
213 ler .

+
4-K konsantrasyonu: L e w i n ve ark.(1974), omurilik yara-
lanmasından sonra uzun süreli bir doku K kaybı olduğunu

saptamlardır . Ekstrasellüler kompartmanda biriken K⁺ un, iletim bloğundan sorumlu olacağı da söylemektedir. E i d e l - b e r g ve ark.(1975) hiperpotasemi ile olan iletim blokajını kanıtlamak için omuriliği 50-100 mEq/l K⁺ içeren sularla yıkamışlar ve SEP'lerde parsiyel blokaj olduğunu gözlemişlerdir . . Periferik sinir çevresinde 12 mEq/l K⁺ un iletim bloğu yapmasına rağmen, omurilik çevresinde 20 mEq/l K⁺ blokaj yapmaktadır. Yazalar aradaki farkın, BOS/omurilik bariyerine bağlı olduğunu düşünmüşlerdir. Ayrıca omurilik yaralanması ile çevre BOS içine bol K⁺ geçtiği de saptanmıştır .

"Potasyum bloğu", deneysel omurilik yaralanmasından hemen sonra gelişen bir biyokimyasal süreçtir ve akut iletim bloğunu açıklamak isteyen bir teoridir.

++

5-Ca²⁺ konsantrasyonu: Omurilik yaralanmasını izleyen en erken olaylardan birisi, ekstrasellüler Ca²⁺ konsantrasyonunun dramatik olarak azalması, intrasellüler Ca²⁺ un ise artmasıdır 345 . Intrasellüler Ca²⁺ un artması da şunlara neden olur:

a-Fosfolipaz A₂ ve daha sonra araşidonik asit metabolizması aktive olur.

b-Vasküler düz kasların kasılabilirliği artar ve vazoaktif nörotransmitterler salınır. Bunun sonucunda da vazospazm ve DKA azalması olur.

c-Nöronlardaki mitokondrialarda solunumsal aktivite bozulur. Ayrıca Ca²⁺ ile aktive olan proteaz, nöroflamanların proteinlerinin parçalanmasına yol açar.

6-Lipid peroksidasyon ürünlerini, serbest radikaller, cGMP:
Nöron, glia ve endotel membranlarının ve myelin kılıfının yapısında bulunan fosfolipidler içinde travma sonrası serbest radikal konsantrasyonu artar. Bu artış, fosfolipidlerin peroksidasyonuna yol açar. Travmadan 1 saat sonra omurilik dokusu içinde serbest radikallerin ^{40,76,156,274} ve lipid peroksidasyon ürünlerinin ^{76,156} arttığı saptanmıştır. Ayrıca travma sonrası serbest radikal konsantrasyonunun yeni bir göstergesi olan "cyclic guanosine 3',5' monofosfat" (cGMP) de belirgin yüksek ¹⁵⁶ bulunmuştur.

Membrandaki fosfolipidlerin serbest radikaller ile peroksidasyonu, membrana bağlı kilit enzimlerin ⁺-(Na +K)ATPase- katalize olmasına yol açar. Nöronal transmembran potansiyelinin sürdürülmesinde önemli rol oynayan bu enzim yıkılınca, "sodyum pompası" bozulur, hücre içine aşırı Na girer. Aksonlar ile nöronlar ⁷⁶ hiperpolarize olarak sinir iletiyi durur.

7-Yüksek enerjili fosfatlar (ATP, ADP ve yan ürünleri), (Na +K)ATPase enzimi: ATPase enzimi, fosfolipidlere bağımlı bir membran enzimi olup, serbest radikal reaksiyonlarına ve ²⁷⁵ lipid peroksidasyonuna çok duyarlıdır. Bu enzimin travmadan 5 ^{76,156} dakika sonra belirgin düşüğü saptanmıştır. Ayrıca travma sonrası 24 saat boyunca ATP, fosfokreatinler ve total adenilatların (=ATP+ADP+AMP) belirgin şekilde düşük olduğu bildirilmiş ⁶ tir.

8-Lizozomal enzimler: Travma sonrası lizozom membranının

parçalanması ile hücre içine dökülen lizozomal enzimler, proteolitik etki ile hücrenin parçalanmasına ve omurilik ödemine yol
256
açmaktadır.

7-OMURİLİK TRAVMASI SONRASI İLETİM KAYBININ FİZYOPATOLOJİSİ

Omurilik travmalarının en kötü sonucu, inici ve çıkışıcı yollar-
daki iletimin kaybolmasıdır. inici yollardaki iletim kaybının
sonucu, kabaca analjezi ve derin duyu kaybıdır. Biraz önce
sözünü ettigimiz makroskopik ve mikroskopik patolojiler, vaskü-
ller ve biyokimyasal değişimlerden hangilerinin ve hangi sırayla
omurilik iletimini bozduğu yeterince bilinmemektedir. Hatta bu
gözlemlerin birçoğunuun, omurilik fonksiyonunun kaybolmasının bir
nedeni değil, sonucu olduğu da söylenmektedir. Patolojik görünüm
ile işlevsel durum arasında iyi bir korelasyon olmadığı da
11,158,167,204,320,322,343
genelde kabul edilen bir görüstür.

Wagner ve ark.(1971) klinik düzelse olurken, patolojik
lezyonların artabildiğini söylemektedir. Örneğin klinik olarak
Brown-Sequard sendromu bulunan hayvanların histolojik inceleme-
322
lerinde yine santral tipte HN görülmektedir. Bu nedenle omuri-
lik travması sonrası iletim kaybını açıklamaya çalışan şu
teoriler vardır:

1-Sekonder basarın iletim blokajına yol açması: Biraz önce
sözünü ettigimiz gibi santral HN a yol açan iskemi, hipoksi,
ödem, nörokimyasal maddelerin salınması gibi nedenler tek tek
veya birlikte omurilik fonksiyon kaybindan sorumlu tutulmuşlar-
dır.

a)Vasküler değişiklikler sonucu ilerleyici iskemi: Travma
sonrası SEP lerin kaybını, omurilik iskemisi ile açıklamak
108
isteyenler olmuştur. Ancak varlığı kesinlikle bilinen bu pa-

tolojik süreç, travma ile aniden ortaya çıkan iletim kaybını
148,203,247 açıklayamaz . Çünkü iskemi, travmadan 30-60 dakika
89,256 sonra ortaya çıkmaktadır .

Ancak burada yavaş kompresyon ile kontüzyona yol açan dinamik kompresyonun OKA ni ve iletimini birbirinden farklı etkilediğini vurgulamamız gereklidir. Anderson (1985) yavaş ve dinamik kompresyonun, omurilik iletimine etkilerini incelemiştir :

* Epidural balon sıkıştırılarak uygulanan yavaş kompresyon, bölgedeki kan akımını bloke edecek düzeylere gelince, nöronal 9 iletim bloke olmaktadır . Nitekim klinik gözlemler de omurilik iletiminin yavaş kompresyona dirençli olduğunu göstermektedir. Ekstramedüller tümörlerin çıkarılması ile sağlanan dekompreşyon, nörolojik defisitleri hızla kaldırmaktadır. Kobrine, OKA nin sıfır değerine ulaştığı andan 5-10 dakika sonra EP lerin 203 depresso olduğunu göstermiştir . Griffith ve ark. da (1979) epidural balon kompresyonu sırasında dorsal kolondan alınan uyartılmış potansiyelleri ve omurilik perfüzyon basıncını incelemiştir, kompresyon vasküler oto-regülasyon düzeyini aşmadan 148 önce uyartılmış potansiyellerin kaybolduğunu saptamışlardır . Omurilik perfüzyon basıncı 55-60 mmHg olunca OKA düşerken, perfüzyon basıncı ancak 20-30 mmHg ya indiğinde uyartılmış potansiyeller küçülmeye başlamıştır. Bu gözlemler, yavaş kompresyonda omurilik iletiminin iskemi ile çok direkt ilişkisi olmadığını göstermektedir. Ayrıca yavaş kompresyon sırasında 148 olan iletim kaybının reversibl olma olasılığı da yüksektir .

Hatta K o b r i n e yavaş kompresyon sırasında lateral beyaz cevherde OKA ni artmış, ancak uyartılmış potansiyellerin kaybol-
207
muş olabileceğini bile söylemektedir .

2* Dysa dinamik kompresyon, yani ağırlık düşürme veya hızlı balon şişirme travması farklı sonuçlara yol açmaktadır. Yavaş kompresyonda hiç etkili olmayan düzeylere hızlı kompresyon ile varıldığından, ani bir iletim bloğu olmaktadır . A n d e r s o n , orta derecede bile olsa yüksek hızda yapılan bir çarpmadan, nöronal iletimi ani olarak yok ettiğini belirtmektedir. Yani iletim azlığı, kompresyon miktarı ile değil, çarpmalar hızı ile doğrudan orantılıdır. %75 lik kompresyon yavaş uygulandığında omurilik iletimini bozmaz iken, çok hızlı uygulanan yine %75 lik kompresyon iletimi geri dönmez şekilde depresse etmektedir . A n d e r s o n dinamik kompresyonda iletim kaybının birincil nedeninin mekanik hasar, ikincil nedeninin ise lokal iskemi ve
9
hipoksi olduğunu söylemektedir .

Dysa histopatolojik değişiklikler travmadan en erken 5 dakika sonra başlamakta, ancak parapleji ve SEP kaybı anında yerleşmek-
89,203
tedir .

b) Hipoksinin iletim bloğajına yol açması: Hipoksiyi, travma
90,164
sonrası SEP lerin kaybolmasından sorumlu tutanlar olmuştur
Bu nedenle de hiperbarik oksijen gibi hipoksiyi önleyici tedaviler önerilmiştir. Ancak iskemiye sekonder bir olay olması olasılığı çok yüksek olan omurilik hipoksisinin, çok hızlı gelişen bir süreç olmadığı düşünülmektedir.

c) Ödemin iletim blokajına yol açması: Wagner ve Ste-
322
war'd tarafından öne sürülmüştür .

d) Membranlardaki yapısal değişikliklerin iletim kaybına yol açması: Travmadan 5-15 dakika sonra yapılan ultrastrüktürel incelemeler, mitokondria, plazma membranı ve lizozomların membrana bağlı enzimlerinin inaktive olduğunu göstermiştir. Bu inaktivasyon, 137 membranda serbest radikal birikimine yol açmaktadır . Serbest radikal birikimi dışında membran destrüksyonuna yol açabilecek olası mekanizmalar arasında, fosfolipaz aktivasyonu, serbest yağ asidi liberasyonu, membran üzerinde deterjan etkileri, prostoglandin reaksiyonları, intrasellüler PH da düşme sayılabilir. Bu olaylar her ne kadar hızlı olaylar ise de membran destrüksyonu yapabilmesi için 5-15 dakikalık bir süre gereklidir.

2-Primer nöronal disfonksiyon teorisi: Bu teoriyi ilk kez ortaya atan Kobrine, santral patolojik olayların bir epi-fenomen olduğunu, bir neden değil sonuç olduğunu iddia etmektedir . Santral patolojik süreç, bazı biyokimyasal madde-lerin salınması ile yaratılmakta, fakat nöral disfonksiyonla bir ilişkisi bulunmamaktadır.

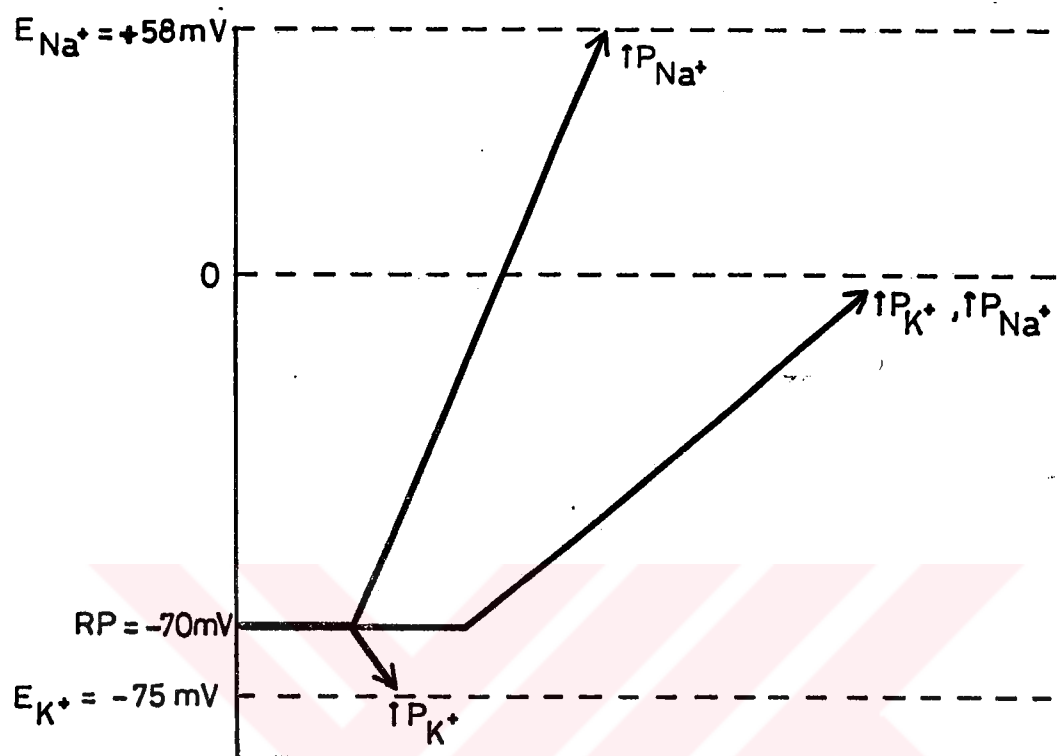
Bu hipoteze göre ilk travma, beyaz cevherdeki aksonal hücre membranının fonksiyonunu aniden ve kalıcı olarak bozmaktadır. + + Bunu ise büyük olasılıkla nöron ve akson membranının Na⁺ ve K⁺ a 203 selektif geçirgenliğini etkileyerek yapmaktadır . Eidel- 94 345 b erg ve ark. ile Young ve ark. nın gözlemleri de

+
travmadan sonra belirgin K⁺ birikimi olduğu. bunun iletim bloğuna yol açtığı şeklindedir.

Biliñdiñi gibi tüm memeli hücreleri, yüklü iyonların hücre membranı boyunca belli konsantrasyon farklarında sürdürülmesi ile varlığını devam ettiren bir "istirahat hücre membranı potansiyeli" ne sahiptir. Ancak yalnız kas ve sinir dokusunun membranı eksite edilebilir. Yani bu dokuların hücre membranları ardışık olarak depolarize ve repolarize olarak, bir "aksiyon potansiyeli" iletebilme yeteneğine sahiptir. Bu özellik, membranın moleküler yapısının istirahatte Na⁺ permeabilitesini sınırlaması, fakat bir aksiyon potansiyeli sırasında aniden değiştir-
203
mesine bağlıdır .

+
Membran potansiyeli, Na⁺ sürekli olarak dışarı atan "sodyum pompaşı" veya (Na⁺ +K⁺)ATPase sistemi ile sağlanır. Membrana bir uyarı geldiñinde Na⁺ içeri girer ve depolarizasyon olur. Bunun nasıl olduğu yeterince bilinmemektedir. Bir görüşe göre membranda bulunan ve Ca²⁺ iyonlarıyla dolu olan porlar, Na⁺ içeri almak için ortamdan çekilmektedir. Sodyum pompaşı enerji gerektirken, potasyumun içeri alınması (repolarizasyon) enerji gerektirmez.

+
Travma ile Na⁺ un içeri girmesini önleyen hücre membranı moleküler düzenegi bozulur (Şekil 9). Hücre membranının potansiyeli, ENa⁺ düzeyine (Sodyum eşitliği) ulaşır . Bu düzeyde akson membranı yeni bir Na⁺ iyonunun içeri girmesine uygun değildir. Çünkü hücrenin içi Na⁺ iyonları ile doludur. Artık membran



Şekil 9- Nöronal ve aksonal istirahat potansiyelini etkileyen faktörler:

- a) Yalnızca Na^+ un permeabilitesi artarsa ($\uparrow P_{\text{Na}^+}$), K^+ impermeabl olursa, istirahat potansiyeli $+58 \text{ mV}$ a ulaşır (E_{Na^+}).
- b) Yalnızca K^+ un permeabilitesi artarsa ($\uparrow P_{\text{K}^+}$), Na^+ impermeabl olursa, istirahat potansiyeli -75 mV a iner (E_{K^+}).
- c) Hem Na^+ hem de K^+ un permeabilitesi artarsa ($\uparrow P_{\text{Na}^+}, \uparrow P_{\text{K}^+}$), istirahat potansiyeli sıfıra ulaşır (Köbrin'e'den, ref 203).

eksite olabilecek bir membran değildir, yeni bir aksiyon potansiyeli gösteremez. Membranın bu "hiperpolarize" durumu, deneySEL gözlemlerle de uygunluk göstermektedir. Şiddetli travmadan sonra hayvanların ayaklarında meydana gelen masif kas kontraksiyonlarının nedeninin hiperpolarizasyon sonucu aksonların sürekli deşarjı olduğu söylənmektedir. Ayrıca Braugher ve

H a l l (1982) mikroelektrod ile spinal motor nöronlara girerek yaptıkları kayıtlarda, travma sonrası hiperpolarizasyon olduğunu
37 göstermişlerdir . Yakın zamandaki bazı biyokimyasal gözlemler,
travma bölgesinde ATP, ADP ve ürünleri ile $(\text{Na}^+ + \text{K}^+)$ ATPase en-
6,37,156 ziminin azaldığını göstermiş + + ve bu teoriyi destekler
nitelik kazanmıştır.

**C - OMURILIK
TRAVMAT ABDININ
ELİNE PEROFİZYOLÖJİSİ**

1-TARIHÇE

Omuriliğin elektriksel aktivitesini anlama çabaları 1930 larda 135
S h e r r i n g t o n'un ilk hayvan deneyleri ile başlamıştır .
C a t o n'un 1877 de tavşan beyninden ilk kez bir elektriksel aktivite kaydetmesinden sonra H a n s B e r g e r 1929 da elektronik amplifikasyonun gelişmesiyle kafatası üzerinden beynin elektriksel aktivitesini (EEG) kaydetmiştir.

B a s s e r ve G r a h a m 1933 te omurilikten ilk kez uyar- 127
tılmış potansiyel kaydetmiştir .

C a m p b e l l 1945 te omuriliğin derinliklerine çok sayıda mikroelektrod sokarak kendi deyimiyle "elektroarkitektonik haric-talar" çizmiştir. Ayrıca dorsal kolon ve ventral boynuz potansiyellerini tanımlamıştır. Dorsal kolon ve ventral boynuz arasındaki elektroddan elde edilen potansiyellere de "negatif 135 intermedyer potansiyel" adını vermiştir .

D a w s o n 1947 de ilk kez kortikal somatosensoryel uyartılı- 70
mış potansiyel kaydı yapmıştır . D a w s o n tek bir periferik sinir şoku ile kortikal duysal alan üzerinde görülebilir bir uyartılmış potansiyel yaratamamış, ancak 1 Hz lik ardışık sinir şokları verdiğinde ve 20 kortikal kaydı Üst Üste yaptığında SEP'in belirdiğini görmüştür.

1960 li yıllarda elektronik sanayiindeki gelişmeler "signal averager" adı verilen özel amaçlı bilgisayarların imal edilmesine yol açmıştır.

L i b e r s o n ve K i m 1963 te vertebral kolon üzerindeki

ciltten omurilik uyarılmış potansiyellerinin kaydedileceğini göstermiştir . Çalışmacılar duysal uyarı ile boynun arka kısmındaki ciltten uyarılmış potansiyeller kaydetmişler ve modern averajlama tekniklerini kullanmışlardır.

Halliday ve Wakefield 1962 de, Brown-Sequard sendromunda pozisyon duyusu kaybının bulunduğu taraftan uyarı, karşı somatosensoryel korteksten kayıt koşullarında SEP alınamadığını bildirmiştir .

Giblin 1964 te arka kordon tutuluşu olan 7 hastada yaptığı kayıt sonuçlarını yayımlamıştır . Bu olgularda SEP alınamamasını, omurilikteki SEP yolunun arka kordon beyaz cevherinde olmasına bağlamıştır.

Tsumoto ve ark. 1972 de ilk kez alt ekstremité uyarıını ile SEP elde etmiştir . Daha önceleri yalnızca üst ekstremité uyarıını ile SEP elde edilmekte idi.

Donaghy ve Numoto 1969 da ilk kez SEP lerini deneysel omurilik yaralanmasında kullanmıştır . Yazarlar, travmadan 4 saat sonra SEP ler halen dönmedi ise прогнозun kötü olacağını vurgulamışlardır. Daha sonra insan omurilik travmalarında da SEP ler kullanılmaya başlanmıştır.

Perot 1973 te SEP lerini insan omurilik travmalarının izleminde ilk kez kullanan çalışmacı olmuştur . 47 hastada yaptığı inclemelerle SEP lerin, omurilik travmasının tanısı ve tedavisini yönlendirici olduğunu vurgulamıştır .

SEP ler çeşitli nörolojik hastalıklarda kullanıldıktan sonra

1978 lerde başlayarak, önceleri yalnızca skolyoz cerrahisi 151, sırasında olmak üzere ameliyat sırasında kullanımına girmiştir 227,229,268,296,336

. Diğer uyarılmış potansiyeller (EP) gibi kısa ve uzun latanslı SEP ler çeşitli nöroşirürjikal girişimler 4,151,268,295 sırasında peroperatuar kullanılmaya başlanmıştır 300,355

. Böylece nasıl kalbin elektriksel aktivitesini izlemek için EKG kullanılıyorsa, normal dokuların aktivitesini izlemek için de EP ler kullanılır olmuştur.

Omuriliğin spontan aktivitesine gelince;

B r e m e r 1940 ta kedilerde ilk kez omurilik spontan aktivitesini kaydetmiştir . 278

P o o l 1945 te ilk kez bir paraplejik hastadan spontan omurilik aktivitesini kaydetmiştir . İzole omurilik segmentinden yaptıkları intramedüller kayıtlar sırasında, olasılıkla refleks fleksör spazma bağlı spontan deşarjlar almış ve bunlara "kord konvulsyonları" ya da "spinal epilepsi" adını vermiştir . 262 308

Daha sonraki yıllarda 1947 de T e n C a t e ve ark. , 1948 de H o r s t e n , 1953 te M a r k ve G a s t e i g e r , 278 232 1958 de V i s s e r ve ark. , 1964 te B r u s t C a r m o n a ve G a s t e i g e r tarafından yapılan göreceli olarak 45

az sayıdaki hayvan çalışması, omurilikte düzensiz ve sürekli bir aktivitenin bulunduğu göstermiştir. 1960 li yıllardan sonraki çalışmalarla da hayvanlarda spontan omurilik aktivitesinin özelliklerini belirlenmiş, kedilerde biri zemin aktivitesi (ZA), diğerİ negatif keskin dalga (NKD) adı verilen iki çeşit

spontan aktivite örneği olduğu gösterilmiştir.

İnsanlarda spontan omurilik aktivitesini inceleme çabaları,
262
P o o l'dan sonra da sürdürmüştür. 1947 de S a w a elde ettiği
yanıtları tamamen omurilik anatomisi ile açıklamaya çalışmış-
280
tır . Daha sonraları 1967 de P u l e t t i ve B l o m q-
265,266 223
v i s t , 1967 de L o e s e r ve W a r d , 1969 da
171
H i t c h c o c k ve L e w i n , 1976 da F u j i t a ve
124
C o o p e r tarafından nöroşirürjikal ameliyatlar sırasında
spontan omurilik aktivitesi kayıtları yapılmıştır. Daha sonra
293 97,98,99,100,101
ise sağlam gönüllülerde epidural , intratekal
102
kayıtlar denenmiştir. E r t e k i n ve ark. 1982 de normal
101
insanlarda ve periferik sinir, radiks, omurilik patolojisi
102
olan hastalarda spontan omurilik aktivitesinin özelliklerini
saptamışlar ve standartlaştırmışlardır.

2-SPONTAN OMURİLİK AKTİVİTESİ

Omurilikten elde edilen spontan aktiviteye "elektrospinogram"
262 232 101,102,278
, "spinal elektrogram" , "elektromyelogram"
36,308,309 36
"elektrokordogram" ve "spinal ossilogram" gibi adlar
verilmiştir. Biz burada spontan elektromyelogram (SpEMyeloG)
adını kullanacağız.

A-Deneysel Çalışmalarla SpEMyeloG'in Özellikleri: Hayvanlarda
SpEMyeloG kayıtları genellikle spinalize ve deserebre hayvan-
34,45,124,131,183,217
larda ve genel anestezi altında yapılmıştır
232,278,308,309

.Uyanık ve kronik olarak elektrod yerleştirilmiş
195
hayvanlarda ise çok ender olarak incelenmiştir .Deney hayvanı
45,124,131,183,195,217,232,241
olarak genellikle kedi kullanılmış
242,245,278 183 308,309 36
,ancak köpek , kurbağa ve sıçan kullanan-
lar da olmuştur. Mikroelektrod teknigi ile yapılan intrasellüler
16,37,119
kayıtlamalardan burada söz etmeyeceğiz.

1960 li yıllarda sonra yapılan deneysel çalışmalar, kedilerde
45,195,217
SpEMyeloG'ın 3 komponentten oluştuğunu göstermiştir
278
:

1-Zemin aktivitesi (ZA): Pozitif-negatif veya negatif-pozitif
difazik aksiyon potansiyelleridir. $25\pm10 \mu V$ amplitüdde, daima $50 \mu V$ dan küçük, $10\pm5 msn$ süreli, 15-50 Hz frekanslı düzensiz dal-
galardır. Genellikle omuriliğin arka kısmından elde edilen bu
278
dalgaların periferden gelen inputlara bağlı olduğu belir-
lenmiştir.Yani periferik afferent uyarı ile ZA fasilité olmaktadır.
Nitekim bilateral siyatik sinir kesisi,ZA nin belirgin

45,195,308,309

azalmasına, hatta kaybolmasına yol açmaktadır . Bu
düzensiz, düşük volajlı aktivitenin, arka boynuzun gri cevheri-
45,195,241,242,
nin internöronlarından köken aldığı söylemiştir
245,278

. Yalnızca V i s s e r ve ark. bu aktivitenin aynı zaman-
278
da motor nöronlardan kaynaklandığını iddia etmektedir . İnsan-
larda da afferent sinyallerin girişini engelleyen hastalıklarda
102
ZA de belirgin azalma olduğu gösterilmiştir .

2-Negatif keskin dalga (NKD): 50 μ V dan küçük amplitüdü
(125±50 μ V), bazen 200 μ V a dek varan, 40±10 msn süreli, negatif
fazı yüksek, takibeden pozitif fazı düşük amplitüdde, gelişigü-
195
zel ortaya çıkan dalgalarıdır. Uyanık kedilerde ve insanlar-
101
da görülmeyen bu aktivite, spinalizasyonla artmaktadır
278

olup gerçek kaynağı bilinmemektedir. Brusst-Carmona
ve ark. (1968), N KD ların omuriliğin otokton aktivitesi
olduğunu, periferik aktivasyona bağlı olmadığını iddia etmekte-
45
dirler . Kasprzak ve Gasteyer de piramidal
etkilerin N KD ları inhibe ettiğini, bunların duysal
enformasyonun integrasyonunda rol alan bir komponent olabile-
195
ceğini söylemişlerdir . Sarica ve ark. (1983) 16 kediden
yalnızca 3 ünde ve yalnız platin uçlu elektrodlarla yaptıkları
kayıtlarda N KD ları elde etmişlerdir. İğneyi anterior boynuza
278
doğru ilerletince N KD lar kaybomuştur .

Sonuç olarak santral ve periferik sinir sistemlerinin integrasyonu tam ise, N KD ları hem insanda hem de hayvanda görmek ola-
101,102,278
naksızdır denebilir .

3-Pozitif dalga (PD): $50-200 \mu V$ amplitüdde, 3-5 Hz frekanslı bu pozitif dalgaların, ön köklerin deşarjları ile ilgili olduğu söylemiş, deserebrasyonda ve striknin uygulamasında özellikle ortaya çıktığı görülmüştür . Omuriliğin daha çok ön yarısından kaydedilen bu dalgalar lateral kolonun ventral kısmını kestikten sonra kaybolmuştur. B a l d i s s e r a ve ark. PD ların dorsoventral yerleşimli internöronlardan kaynaklandığını ve primer afferent depolarizasyon mekanizmasıyla ilişkili olarak ortaya çıktığını söylemektedirler .

Omuriliği arkadan öne doğru kateden bir elektrodun, negatif dalgalarдан pozitif dalgalara geçisi göstermesi, birçok çalışmacı tarafından bildirilmiştir . Aynı polarite değişimi, insan omuriliğinde de ve uyartılmış omurilik potansiyellerinde de kaydedilmiştir .

B-İnsanlarda SpEMyeloG'in Özellikleri: İnsan omuriliğinin spontan aktivitesi ilk kez P o o l (1946) ve S a w a (1947) tarafından omurilik içinden yapılan kayıtlarla gösterilmiştir . Daha sonraki çalışmalar, nöroşirürjik ameliyatlar- daki tek tek olguların gözlemleridir . Fonksiyonel cerrahide, ağrıyi durdurmak için yapılan perkütan servikal kordotomide hedefe yaklaşan elektrodun yerini anlamada SpEMyeloG in endikasyonu olduğu bildirilmiştir . Son yıllarda önce epidural kaytlama ile , daha sonra intratekal kaytlama ile insan spontan omurilik aktivitesinin özellikleri bildirilmiştir.

Ertekin ve ark.nın (1983) çalışmaları, insan spontan omurilik aktivitesinin kedilerdekine çok benzediğini, onlardan en büyük farkının normal ve patolojik koşullarda NKD ların ^{101,102} bulunmaması olduğunu göstermiştir. Patolojik koşullarda yaptıkları kayıtların sonunda insan SpEMyelogram'ının posterior boy-nuzlardaki internöronlardan köken aldığına inandıklarını, bunların periferal afferent inputlarla fasilité olduğunu ve suprasegmental dessenden yollarla, özellikle piramidal traktusla ¹⁰² inhibe olduğunu vurgulamışlardır.

1-Zemin aktivitesi (ZA): 5-30 μ V amplitüdü, 3-8 msn süreli, düzensiz olarak 5-50 Hz frekansta dalgalanmalar gösteren negatif-pozitif difazik dalgalarıdır.

2-Pozitif monofazik veya pozitif-negatif difazik dalgalar: 10-50 μ V amplitüdü, 4-10 msn süreli, 15-35 Hz frekanslı daha büyük dalgalarıdır.

Polinöropati, ön boynuz hastalığı, kauda ekuina sendromu gibi afferent grup hastalığı olan insanlarda, hem segmental uyartılmış elektromyelogram (EvEMyelogram), hem de SpEMyelogram da belirgin depresyon saptanmıştır. Piramidal traktus tutuluşu olan, omurilik basısı, omurilik travması, multipl skleroz, progressif paraparezi gibi efferent grup hastalıklarında ise ZA nin frekans ¹⁰² ve amplitüdünün arttığı görülmüştür. Buradan çıkararak kortikospinal traktus ve diğer dessenden yolların, SpEMyelogram üzerine inhibitör etkisi olduğu söylenebilir. Bu bulgunun, piramidal traktusun, posterior boy-nuz nöronlarındaki presinaptik inhibisyonu artttığı görüşünü desteklediği söylenebilir.

Lewitan ve ark. kas tonusundaki artışın, SpEMyeloG'in
217
frekans ve amplitüdünü artırdığını iddia etmiştir. Ancak
245 242
deneysel omurilik kompresyonu ve omurilik transeksiyonu
sonrasında olan ve kas tonusu artışı olmaksızın ZA de meydana
gelen artış, bunu desteklememektedir.

Friedrich ataksisi, tabes dorsalis, subakut kombine dejenerasyon
gibi diffüz posterior funikulus tutuluşu olan hastalarda,
uzun süreli pozitif dalgalar görülmüştür. Bunun bir açıklaması
102
yapılamamıştır.

"EK"

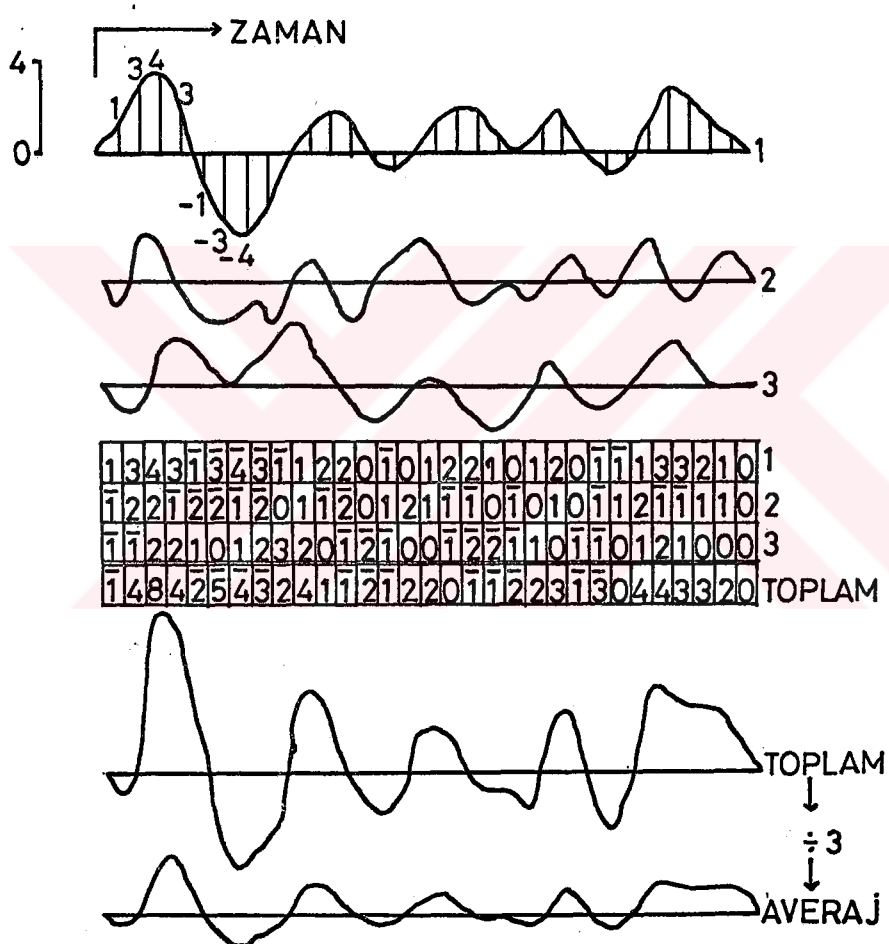
UYARTILMIŞ POTANSİYELLERLE İLGİLİ GENEL BİLGİLER

1-Tanımlaması: Elektroenzfalografi (EEG), beynin spontan aktivitesini yansıtırken, uyartılmış potansiyeller (Evoked Potentials = EP) merkezi sinir sisteminin belli duysal uyarınlara yanıtını gösterir. Yani biri spontan, diğeri uyartılmış aktivitedir. Pratikte EP'ler görsele (ışık flaşı, değişici dama tahtası ışığı), işitsel (klik, ton, patlama), somestetik (elektriksel uyarı, mekanik uyarı) gibi başlıca 3 çeşit duysal uyarı ile elde edilmektedirler.¹⁴⁷ Görsel uyartılmış potansiyellere VEP (=Visual Evoked Potential), işitsel uyartılmış potansiyellere AEP (=Auditory Evoked Potential), somestetik uyartılmış potansiyellere SEP (=Somatosensory Evoked Potential) kısaltmaları kullanılmaktadır. Ayrıca koku, tad, propriosepsiyon gibi uyarılar ve istemli hareketlerin başlamasından önce harekete bağlı (event related) potansiyeller de henüz pratikte yaygın olarak¹³² kullanılmayan EP şekilleri arasında sayılabilir.

2-Sinyal averajlaması: EP'ler cilt üzerindeki elektrodlardan sinyal averajlaması olmadan kayıtlamak kolay değildir. Çünkü EP'lerin amplitüdü, EEG amplitüdünden küçüktür ve ortalama 1/3 ü kadardır.¹⁴⁷ Zemin aktivitesi içinde EEG dışında kas aktivitesi ve diğer dış kaynaklı gürültüler vardır. EP'lerin bu zemin gürültüsü arasından seçimi gereklidir. Günümüzde bu işi yapmak için ticari piyasaya sürülmüş "digital sinyal averajör" olarak

adlandırılan özel amaçlı bilgisayarlar bulunmaktadır. Bu aygıtlar, EEG ve EMG aygıtlarından sonra klinik nörofizyoloji laboratuuarlarının demirbaş eşyaları arasına girmiştir.

Bir stimülator aracılığı ile verilen uyarı (görsel, işitsel veya duysal sinir uyarımı için elektriksel stimülüs olabilir) verildiği anda bir yükselticinin büyütüğü biyoelektriksel yanıt



Şekil 10-Üç uyartılmış aktivite örneğinin toplanması ve averajlanması. Üstteki trasede amplitüdlerin düzenli aralıklarla -binary formda- örnekleşmesi görülmekte. Daha sonra 3 trasenin örnekleşen amplitüdleri depolanmış ve toplanmıştır. En alttaki traseler, toplanmış ve averajlanmış traselerdir (C o o p e r'dan, ref. 59).

dijital averajöre ulaştırılır. Uyarı tetiklemesi ile eş zamanlı "time-locked" tetiklenen averajör, gelen biyoelektriksel aktiviteyi önce bir analog/dijital çevirici ile "A/D convertor" sayısal "digital" dile çevirir. Bu dilde mikroişlemcinin belleğinde saklanan dalga formu, daha sonra genellikle 2^n sayısında ($2, 4, \dots, 64, 128, 256, 512, \dots$) verilen uyaruya alınan yanıtların da çevrilmesi ile üst üste toplanır "summation" ve yanıt sayısına bölünür "averaging". Eş zamanlı alınan yanıtlar arasında eğer gelişigüzel "random" bir aktivite var ise, bunlar averajlama sırasında nötrlenir. Çünkü bu gelişigüzel aktivitenin pozitif ve negatif komponentleri averajlama işlemi sırasında birbirini götürür. Eğer hep aynı gecikme "latans" ile gelen yanıtlar var ise, bunlar toplama işlemi sırasında büyür, averajlama işlemi sırasında ise belli bir boyuta ulaşır. Sonuçta elektronik gürültü ve EEG silinip, stimülüsun yarattığı uyartılmış biyoelektriksel aktivite kaydedilir (Şekil 10). Averajör daha sonra averajlanmış veriyi bir digital/analog çevirici "D/A convertor" ile dalga formuna çevirir, görüntüyü dondurup saklar, kağıda yazdırır veya bir FM teyp kaydediciye ileter.

3-EP'lerin elektriksel kökeni: EP'lerin yaratıcısı, iki çeşit nöro-elektriksel potansiyeldir:

1* Aksiyon potansiyelleri

2* Postsinaptik potansiyeller

Aksiyon potansiyeli, nöronal depolarizasyonun yarattığı, hep/veya/hiç ilkesi ile işleyen bir transmembran potansiyeli-

¹⁴⁷ dir. Kayıt elektroduna yaklaşan bir aksiyon potansiyeli pozitif (=ölü-sun etki, killed-end effect), uzaklaşan bir aksiyon potansiyeli ise negatif bir dalga yaratır. Bir elektroda yaklaşır uzaklaşan bir aksiyon potansiyeli ise trifazik bir dalga yaratır.

Dereceli postsinaptik potansiyeller ise hep/veya/hiç kanunu ile çalışmaz. İki çeşit postsinaptik potansiyel vardır:

1-Eksitatör postsinaptik potansiyel=EPSP

2-Inhibitör postsinaptik potansiyel=IPSP

EPSP, nöronal ateşleme eşığının yanına getirirken, IPSP nöronu hiperpolarize ederek ateşleme eşliğini düşürür. Nöronal membranların dereceli polarizasyonları, olasılıkla çok yaygın olan dendritik ağaçtan köken almaktadır.

4-Volum iletkenliği (Volume conduction): Kafa derisinden kaydedilen EP ler olasılıkla beyin sapı ve/veya hemisferik aksyonların aksiyon potansiyelleri ile subkortikal ve kortikal nöronların postsinaptik potansiyellerinden köken almaktadır. Aynı durum, vertebral kolon Üzerindeki kayıtlarda da söz konusudur. Intrakranyal yapıların ve omurilik Üzerindeki BOS, dura, lamina, paraspinal kasların iletkenlik özelliği, bu potansiyellerin deri Üzerinden kaydedilebilmesini sağlar.

Volum iletkenliği, bir aktif nöronun direkt olarak Üzerinden yapılan bir kayıt ile, iletken bir ortamda daha uzağa yerleştirilmiş bir diğer elektroddan yapılan kayıt arasındaki elektriksel potansiyel farkını tanımlar.

5-Uzak alan ve yakın alan potansiyelleri: Kayıt elektroduna yakın bir kaynaktan dağılan potansiyellere yakın alan potansiyeli, bir volüm ileticisi "volum conductor" aracılığı ile kaynaktan uzaktan alınan potansiyellere ise uzak alan potansiyeli adı verilir.¹⁴⁷ Yani uzak alan potansiyellerinde volüm iletkenliği çoktur.

Kafa derisi üzerinde yapılan kayıtlardaki geç latanslı dalgalar korteks ve subkortikal kökenli olup, yakın alan potansiyeli olarak kabul edilmektedir. Öysa ilk 10-15 ms'n içinde oluşan kısa latanslı dalgalar, beyin sapi yapılarından köken aldığından uzak alan potansiyeli olarak kabul edilir. Bunların işitsel uyarı ile elde edilenlerine, beyin sapi işi tsel uyartılmış potansiyeli (=Brain-Stem Auditory Evoked Potential=BSAEP), somestetik uyarı ile elde edilenlerine, somatosensoryel beyin sapi uyartılmış potansiyeli (=Somatosensorial Brain-Stem Evoked Potential=SBEP) ya da kısa latanslı somatomotoriyel uyartılmış potansiyeli (=Short Latency Somatosensory Evoked Potential=SSEP) adı verilir. Sonuncu yanıtlarında pleksuslardan ve omurilikten gelen komponentler de olduğundan SSEP olarak adlandırılmak daha doğrudur.

Uzak alan potansiyellerinin oluşumunda daha çok aksonlardaki aksiyon potansiyelleri, yakın alan potansiyellerinin oluşumunda ise daha çok kortikal ve subkortikal nöronların postsinaptik potansiyelleri sorumludur.¹⁴⁷

Kortikal yanıtlar ikiye ayrılarak incelenir:

1-Primer kortikal yanıt : İşitsel, görsel ve somestetik uyarı-

lar için farklı farklıdır. Primer kortikal somestetik yanıtın, postsantral girusun parietal nöronlarından köken aldığı ve medyan sinir stimülasyonunu izleyen 20. msn de ortaya çıktığı söylenebilir. Sekonder kortikal yanıtılara göre oldukça sabit bir yapıya sahiptir.

2-Sekonder kortikal yanıtları : Daha çok assosiyasyon korteksinden doğar. Retiküler aktive edici sistemin ve nonspesifik talamik nukleuslardan gelen yaygın kortikal projeksiyonlarının da rolü vardır. Psikolojik olaylar ve kavrama işleminin araştırılması için 100 msn den uzun latanslı dalgaların incelenmesi gereklidir.

6-EP dalga komponentlerinin klinik önemi : Aynı kayıt ve uyarı koşullarında aynı EP ler elde edilir. EP dalgalarının uyarıdan milisaniye olarak uzaklığına Latans (gecikme). İki dalga tepesi arası uzaklığa interpeak latans (tepeler arası latans), iki dalga tepesi arasında ölçülen yüksekliğe ise amplitüd adı verilir. EP ler incelenirken, daha stabil olan latans ve interpeak latansların incelenmesiyle yetinilir.

Bir EP dalgasının latansı, hastanın vücut uzunluğu, uyarıının uygulandığı yerde vücutun pozisyonu, aksonların iletim hızı, sistemdeki sinapsların sayısı, nöral jeneratörlerin yerleşimi, SSS nin patolojisine göre değişir.

Bir dalga tepesinin pozitif olması durumunda "P", negatif olması durumunda "N" harfi ile adlandırıma yapılır. Bunun yanına da dalganın milisaniye olarak latansı rakamsal olarak yazılır.

(P15 dalgası, N20 dalgası vb). Dalga sözcüğü de latans rakamının tepesine çekilen çizgi ile anlaşılır (P15, N20 vb).

7-EP dalgalarını değiştiren patolojiler: Metabolik ve anatomik patolojilerin, EP dalga latans ve amplitüdlerini değiştirdiği bilinmektedir. Örneğin anestezik maddeler, kan gazı değişiklikleri, PH değişiklikleri, ısı gibi faktörler aksonal ve sinaptik 147, 149 iletimi, dolayısıyla da EP lerini değiştirmektedir.

Bir EP dalgasının değiştirilmesi için en az 3 yol olduğu 147 söylenebilir

1* EP jeneratörünün kendisi direkt olarak patolojik olay tarafından etkilenmiştir.

2* Jeneratörün proksimalindeki nöral yol, patolojik bölge içinden geçer.

3* Jeneratörün distalinde, jeneratörü modüle eden bir diğer yapı harap olmuştur.

Özellikle serebral patolojileri araştırırken, birden fazla nöral yolun incelenmesi doğru olacaktır. Bu nedenle birden fazla uyarı şekli ile EP lerin, yanı çok modaliteli uyartılmış potansiyellerin (=Multimodality Evoked Potentials=MMEP) araştırılması gerekecektir. Nitekim komalarda, kafa travmalarında, multipi sklerozda MMEP lerin (=SEP+VEP+AEP) daha fazla bilgi verdiği görülmüştür.

8-Peroperatuar EP monitorizasyonu: Çeşitli nörolojik hastalıklarda, özellikle multipi sklerozda ve omurilik hastalıklarında nörolojik bilimlere büyük katkısı olan EP

incelemeleri, son yıllarda ameliyathaneye de girmiştir. Aşağıda
151
siraladığımız durumlarda peroperatuar kullanılmaktadır :

A* SEP İer

a) SSEP (kısa latanslı SEP İer)

- Periferik sinir ve pleksus lezyonlarının cerrahisi
- Omurilik basılarının cerrahisi
- Skolyoz veya diğer omurilik deformitelerinin düzeltilmesi
- Posterior fossa cerrahisi

b) SEP (orta ve uzun latanslı SEP İer)

- Stereotaksik talemik girişimler
- Rolandik fissürün ayırdedilmesi
- Epilepsi cerrahisi
- Paryetal lezyonların rezeksiyonu

B* AEP İer

BSAEP (kısa latanslı beyin sapi işitsel uyartılış potans.)

- Akustik nöroma rezeksiyonu
- Posterior fossa cerrahisi

C* VEP İer

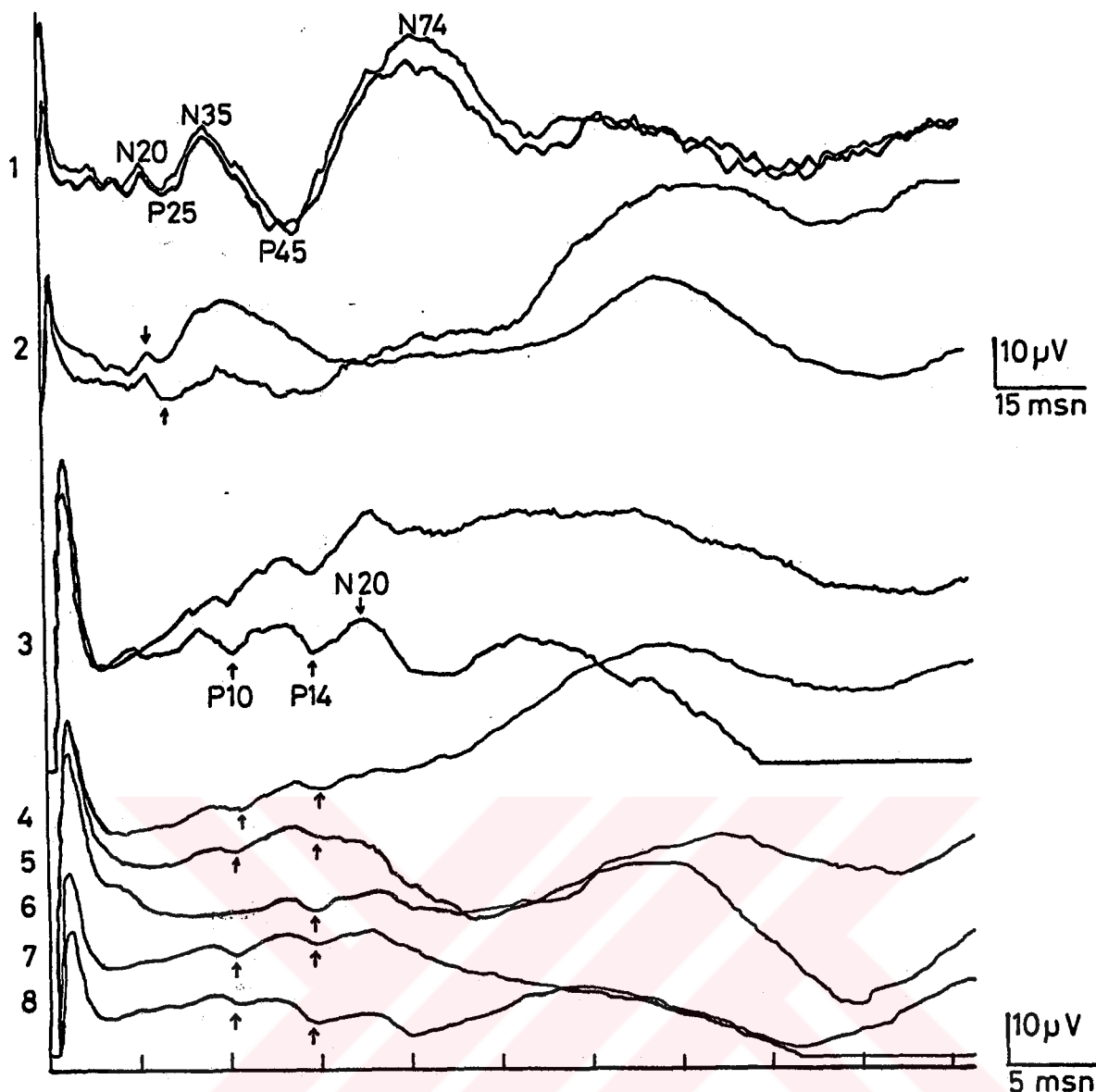
- Hipofizektomi
- Retroorbital lezyonların rezeksiyonu
- Oksipital korteks cerrahisi
- Epilepsi cerrahisi

4,151,216
Peroperatuar SEP monitorizasyonu, kafa derisi üzerinden
268,296,300
veya spinal kolon üzerinden epi/intradural mesafe-
227,229,300,336
den yapılmaktadır. Skolyoz cerrahisi ile başlayan

Son yıllarda spinal angiografi ve spinal AVM lerin tedavi amacıyla
24
embolizasyonu sırasında SEP leri kullananlar da vardır.
Spinal arterlerin içine kontrast madde enjeksiyonu sırasında SEP
lerin amplitüdü düşmektedir. Embolizasyondan önce damar, balonla
geçici olarak tıkanmaktadır, SEP kaybolursa embolizasyon yapılma-
maktadır. Bernstein ve ark. embolizasyon yaptıkları
olgularda geçici nörolojik bozuklukların %20 olguda çıktığını,
24
SEP ile izlemenin daha duyarlı olduğunu vurgulamaktadır.

Raudzen s 173 nöroşirürjik ameliyatı yaptığı EP izlemesi
nin güvenilirliğini, yanlış pozitif ve yanlış negatif yanıtları
268 araştırmışlardır . BSAEP monitörlemesinin %100, SSEP moni-
törlemesinin %75 güvenilirliği olduğunu, VEP lerin ise büyük
varyasyonlar gösterdiğini söylemiştir.

9-EP haritaları : Son yıllarda bilgisayar teknolojisindeki gelişmeler, EP lerin serebral korteks üzerindeki dağılımını çizdirmeyi başarmıştır. Saçlı deri üzerine yerleştirilen çok sayıda elektroddan yapılan multipl kayıtlamalarda, tek bir modda verilen uyarı ile çok sayıda EP elde etmek olasıdır. Bu EP lerin belli latanslarındaki dalgaların, tüm kafa derisi üzerindeki



Şekil 11- Travmaya bağlı servikal 3-4 dislokasyon nedeniyle anterior füzyon (Cloward operasyonu) yapılan bir olguda, ameliyat sırasında elde edilen SEP ve SSEP kayıtları. Stimulasyon sol median sinirden yüzeyel elektrodlarla yapılmış, kayıt için C4' ve A1 e aktif, Cz ye referans iğne elektrodlar yerleştirilmiştir. Uzun latanslı SEP lerde stimülasyon 2.7 Hz, tarama süresi 150 msn, kayıt sayısı 200 olarak seçilmiştir. Kısa latanslı kayıtlar için ise (SSEP) 5 Hz stimülasyon, 50 msn tarama süresi kullanılmış ve 500 kayıt averajlanmıştır. Tüm kayıtlarda amplifikatörün alt ve üst geçirgen filtreleri 1 Hz ve 500 Hz arasında seçilmiş, duyarlılığı 100 mikrovoltta tutulmuştur. Kayıtlardan önce elektrodlardan elde edilen deri dirençleri 5 kiloohm'un altında tutulmuştur.

Anestezi verilmeden önce alınan (1) kayıtlarda geç komponentler de ayırdedilirken, anestezi verildiğinde (2) geç komponentler bozulmuştur. Ancak N20 dalgası ve daha önceki dalgaların latansları ve amplitüdleri değişmemiştir. Kısa latanslı SEP lerde (SSEP) P10, P14 ve N20 dalgaları görülmektedir. Operasyonun riskli dönemlerinde yapılan sürekli kayıtlarda aynı dalgalar korunmuştur. C3-4 aralığına burrhole açılması (4,5), epidural kemik parçalarının temizlenmesi (6), kemik graft'in çakılması (7), operasyon sahasının kapatılması (8) sırasında yapılan kayıtlar alt alta görülmektedir. Epidural kemik parçalarının temizlenmesi sırasında (6) dorsal kök giriş zonuna ve arka kordona ait olduğu düşünülen P10 dalgası kaybolmuş, cerrahın uyarılmasından ve işlemin kesilmesinden sonra yapılan kayıtlarda (7,8) bu dalga tekrar dönmüştür. (E.Ü.Tıp Fak.Nöroşirürji Kliniği olgusu).

amplitüdlerinin dağılımı renk kodları ile bir kranyum grafiği üzerine çizilmektedir. Böylece daha anlamlı lateralizasyon 14,312 olanağı çıkmaktadır. Beyin elektriksel aktivite haritası (=Brain Electrical Activity Mapping=BEAM) adı verilen bu yöntem, özellikle geç kortikal yanıtların araştırılmasında, şizofreni, disleksi, mutizm, epilepsi, serebrovasküler hastalıkların araştırılmasında yararlı olacağının umulmaktadır. Bu amacıyla güçlü bellek kapasiteli ve bilgisayar programlı BEAM aygıtları, yeni yeni ticari piyasaya sürülmektedir.

Ancak EP haritalarının uzak alan potansiyelleri için kullanılma olanakları henüz araştırılmış değildir. BSAEP için veya spinal kolon üzerindeki ciltten elde edilecek spinal SEP ler için EP haritalarının çizilmesi henüz mümkün olmamıştır.

3-UYARTILMIŞ OMURİLİK POTANSİYELLERİ

Spontan omurilik aktivitesi, afferent impulslarla tonik olarak beslenen, segmental nöron havuzunun bir aktivitesidir. Bu yüzden özgünlüğü olmayan bu aktivite, çok sayıda dış kaynaklı ve supraspinal uyararlara da duyarlı olduğundan, uyartılmış omurilik aktivitesinin daha üstün bir tanı ve прогноз değeri ol-
⁶⁴
duğunu düşünlülmüştür.

A-OMURİLİK İÇİNDEN, ÜSTÜNDEN VE EPİDURAL BÖLGEDEN ELDE EDİLEN UYARTILMIŞ POTANSİYELLER: 1930 ve 1940 lardaki klasik çalışmalar, omurilik yüzeyine veya dorsal ve ventral kökler üzerine konan büyük elektrodlardan yapılan kayıtlarla omurilik elektrofiziolojisi üzerine değerli bilgiler getirmiştir^{25,26,127}. Sonraları kullanılan mikroelektroollar^{37,57}, hücresel düzeydeki değişiklikleri, büyük motonöronların ve internöronların aktivitesini, eksitatör ve inhibitör postsinaptik potansiyelleri anla-
²¹⁵
mamıza yol açmıştır. Renshaw'ın 1940 lardaki çalışmaları ile, internöronların en önemli farkının, deşarj frekanslarının çok yüksek olması, ayrıca motor nöronları ateşleme için çok zayıf gelen uyarılara yanıt verebilmeleri olduğu anlaşılmıştır. Dysa yavaş hareket eden kasları innerve eden ön boynuz hücreleri, düşük frekanslarda çalışmaktadır^{127,215}.

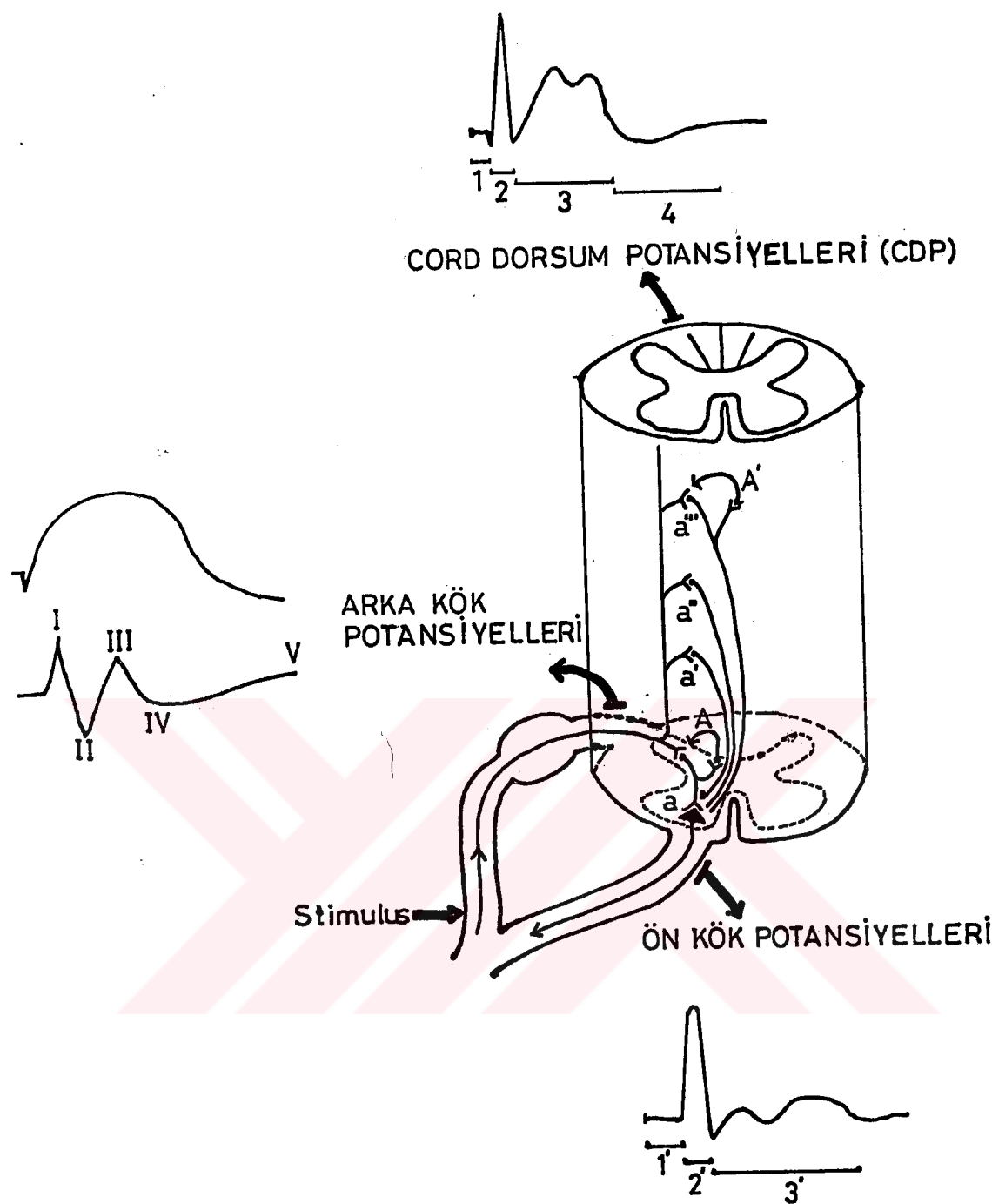
1-Ön kök potansiyelleri : Kayıt elektrodları dışarıdan bir ön kök üzerine konursa, aynı segmentteki bir dorsal kök stimülasyonuna yanıt, uzunca bir sinaptik gecikmeden sonra büyük bir negatif diken (spayk) şeklindedir. Bu dikenin düzensiz negatif dalgalar izler^{93,177} (Şekil 12).

Buradaki diken, iki nöron arkusundan oluşan monosinaptik refleks yanıdır. Daha sonraki düzensiz dalgalar ise, internöronlarda oyalanarak motor nörona geç ulaşan potansiyellerdir. Bu yanıtın fizyolojik karşılığı da "myotatik refleks veya gerilme refleksi"dir, ya da tendon refleksidir. İnsanlarda bu derinlikte elektrod yerleştirmek mümkün olmadığından, doğrudan ön kök içinden kayıt yapılamamıştır (Şekil 12).

2-Kord dorsum potansiyelleri (CDP): Gasser ve Graham (1933), bir dorsal kök uyarılıp omuriliğin dorsal yüzeyinden kayıt yapıldığında, bir diken dalga ile bunu izleyen yavaş düzensiz negatif dalgalar alındığını belirtmiştir. Bu yanıt, uyarılan segmentin ötesinde de kaydedilebilir
127, 138, 175
177, 324

Burada alınan diken dalga, dorsal kökten yukarıya doğru dorsal klonalı çıkan aksonların aksiyon potansiyelidir. Tüm aksiyon potansiyelleri gibi trifazik komponentte ve 0.5 msn süreli bir diken dalgasıdır.

Bu büyük dalgayı izleyen yavaş negatif dalgalara, Gasser "Intermedyer Kord Potansiyelleri" adını vermiştir. Bunların dorsal santral gri cevher ara nöronlarının deşarjını gösterdiği ya da dorsal kök liflerinin persistan depolarizasyonunun bir sonucu olduğu iddia edilmiştir. Negatif intermedyer kord potansiyellerinin bir diğer adı da "N dalgası" olup, başlıca N1 ve N2 komponentlerinden oluştuğu söylmektedir
15, 25, 26, 177
. N1 ve N2 dalgalarının, bir veya daha çok sinaptik röleden sonra deri afferentleri ile eksite olan dorsal



Şekil 12- Omurilikteki gecikme yolları ve self-reactivasyon şebekeleri. Dorsal kökten gelen bir uyarı, a, a', a'' ve a''' internöronlarında oyalanıp motor nörona gelir. Bu gecikmeler, geç negatif yavaş yanıtları yaratır. İki adet self reaktivasyon şebekesi de A ve A' ile gösterilmiştir.

Ayrıca bir dorsal kök stimülasyonuna kord dorsumdan, arka kökten ve ön kökten alınan yanıtlar ayrı ayrı gösterilmiştir. (1) küçük gecikme, (2) spinal ganglion ve dorsal kök uzun aksonlarından gelen aksiyon potansiyeli, (3) intermedyer kord potansiyelleri, (4) uzun süreli pozitif son dalga, I, II, III, IV omurilikten arka köke dönen elektrotonik yayılım, V postsinaptik kökenli dorsal kök elektrotonusu, (1') büyük postsinaptik gecikme, (2') diken dalga, iki nöron arkusunun monosinaptik refleksi, (3') intermedyer nöronlardan gelen düzensiz yavaş potansiyeller. (Brazier'den yararlanarak, ref. 97, 135)

15,25,26,138,
boynuz nöronlarının aktivitesi olduğuna inanılır
333

Bir elektrod omuriliğe dorsal bölgeden sokulduğunda, önce ortaya N dalgası çıkar, gittikçe büyür, dorsal boynuz içinde maksimuma ulaşır. Elektrod ilerletilmeye devam edilince, potansiyel küçülür, tersine döner ve ön boynuzda pozitif karakter alır .

Omuriliğin arka kısmında genelde bir negativitenin olması, dorsal boynuz nöronlarının aktivasyonu sırasında uzaklaşan akımlardan, ön kısmında pozitivitenin olması ise hücrelerin aksonları boyunca yayılan akım kaynaklarından dolayıdır

15,57,
113

Willis ve ark. (1973), mikroelektrod ile omuriliğin çeşitli derinliklerinden kayıtlar yaparak "Omurilik Alan Potansiyelleri"'ni incelemiştir. Mikroelektrod arkadan sokulduğunda, dalga dorsal boynuz civarında negatif iken, Rexed lamina VI civarında difazik özellik kazanmış, ventral boynuzda ise pozitif olmuştur . Bu şekilde sokulan mikroelektrodlardan yaptıkları kayıtları bir bilgisayar yardımı ile değerlendirmiştir, izole potansiyel konturlu dalgaların dağılımını omurilik üzerinde haritalar şeklinde çizdirmiştir. Bu şekliyle "omurilik alan potansiyelleri" adı verilen bu çizimlerde negativitenin ana kaynağının, dorsal boynuzun Rexed lamina IV ve V inci bölgeleri civarı olduğunu görmüşlerdir. Ayrıca farklı periferik duysal sinirler için bu alan potansiyellerinin küçük farklarla değiştiği gözlenmiştir^{333,341.}

Kord dorsum potansiyelleri insanda da epidural 44, 99, 291, 292,
339 97, 98, 99, 100, 291, 339
ve intradural elektrodlardan kaydedil-
miştir. Daha sonraları insanda deri üzerinden yapılan kayıtlarda
da bu potansiyelin sinonimleri elde edilmiştir
293 50, 78, 146, 199, 235

İnsanlarda ağrı cerrahisi amacıyla uygulanan dorsal kök giriş
bölgesi (=Dorsal Root Entry Zone=DREZ) lezyonları sırasında da
intraoperatif kord dorsum potansiyelleri kaydedilmiştir 250.
Nashold ve ark. (1985). lateral kordona girerken iletim
hızlarını ölçmüşler ve lokalizasyonun ayırcı tanısını böyle
yapmışlardır. Dorsal kolon iletim hızını 30m/sn, dorsolateral
kolonun iletim hızını 50 m/sn olarak ölçmüşlerdir. Dorsolateral
kolonun iletim hızının daha fazla olmasını da buradan daha büyük
çaplı liflerin geçmesine bağlamışlardır 250.

3-Arka kök potansiyelleri : Yüzeyden yapılan kayıtlarda, büyük
ve geniş negatif bir potansiyel olarak alınır. Arka kök içine
girilerek yapılan kayıtlarda ise trifazik aksiyon potansiyeli
93 şeklindedir .(Şekil 12)

B-VERTEBRAL KOLON ÜZERİNDEKİ CİLTEN VE CİLT ALTINDAN ELDE EDİLEN UYARTIILMIS POTANSİYELLER (Spinal SEP) :

Biraz önce saydığımız invaziv yöntemleri kullanmamak için
insanlarda spinal kolon üzerindeki ciltten kayıtlar yapılmıştır.
Önceleri median sinir uyarımı ile Erb noktası ve servikal spinoz
çıkıntıları üzerinden elde edilen bu EP ler 17, 52, 60, 78, 96, 109, 146
188, 199, 214, 235, 293, 339

, K i m u r a tarafından "discal SEP"

olarak da adlandırılmıştır¹⁹⁹. Çok daha güç elde edildiğinden, alt ekstremité sinirlerinin uyarımı ile alınan spinal SEP ler, 51,52,191,227,269,282 ancak 1980 lerden sonra araştırılmıştır

Rostral omuriliği araştırmak için median sinir uyarımı ile spinal SEP lerin kaydedilmesi, kauda ekuina ve kaudal omuriliği araştırmak için ise alt ekstremité uyarımı ile spinal SEP lerin 74,96,100 kaydedilmesi gereklidir. Çünkü alt ekstremité uyarımı ile servikal bölgeden alınan kayıtların amplitüdü çok küçüktür ve yanlış negatif sonuç alma olasılığı fazladır.

Spinal SEP kaydı için kullanılan uyarı ve kayıt koşullarının, kafa derisinden elde edilenlerden küçük farkları vardır. C r a c c o, 9 Hz uyarı frekansı kullanmış, 1000-4000 yanıtı averajlamış, tarama süresini de 20-30 msn arasında tutmuştur. Yeterli kas gevşemesi sağlamak için hastalara sedatifler vermiştir. Kayıt yeri olarak sırasıyla tüm spinal çıkışlıklar üzerine bir aktif elektrod konabilir. Referans elektrod genellikle kafa derisi, sakrum, krista iliyaka vb. bir yere konabileceği gibi, C r a c c o'nun yönteminde olduğu gibi birbirini izleyen iki 60,78,133 spinoz çıkıştı üzerine de konabilir.

Kural olarak spinal SEP ler rostrale gittikçe küçülür. Kaudalde büyük amplitüdü, sinir aksiyon potansiyeline benzer trifazik bir dalga elde edilirken, rostralde küçük negatif dalgalar alınırlar.

Median sinir uyarımı ile Erb noktasından elde edilen oldukça büyük amplitüdü N^o 9, brakial pleksus kökenli bir dalgadır. Ser-

vikal spinoz çıkıştılar üzerinde ise Jones'un N₉, N₁₁, N₁₃, N₁₄ adını verdiği küçük çentikler görülür. N₁₁, dorsal boynuzda-ki segmental gri cevhere ait bir dalga, N₁₃ dorsal funikulustan çıkan yollar ve dorsal kolon çekirdekleri (pons, bulbus), N₁₄ medial lemniskus ve talamus ilişkisi ile ilgili komponentler 60,78,199,293 olarak düşünülmüştür. Bu dalgaların kafa derisinden elde edilen kısa latanslı SEP lerdeki (SSEP) sinonimleri ise N₉ için P₁₀, N₁₁ için P₁₂, N₁₃ için P₁₄, N₁₄ için P₁₆ dir. (Şekil 13).

Popliteal bölgeden posterior tibial sinir veya fibüler sinir uyarımı ile T₁₂ veya L₃ spinoz çıkışlığı Üzerinden N₁₀ elde edilir. Bu dalganın kauda ekuina aktivitesini yan-

74, sittığına inanılır 100
.C7 spinoz çıkışlığı

Üzerinden ise N₁₈, büyük-
çe bir dalga şeklinde
elde edilir ve beyin sa-
pi lemniskal sisteminin
iletimini yansittığına



SSEP
(C3'-Fz)



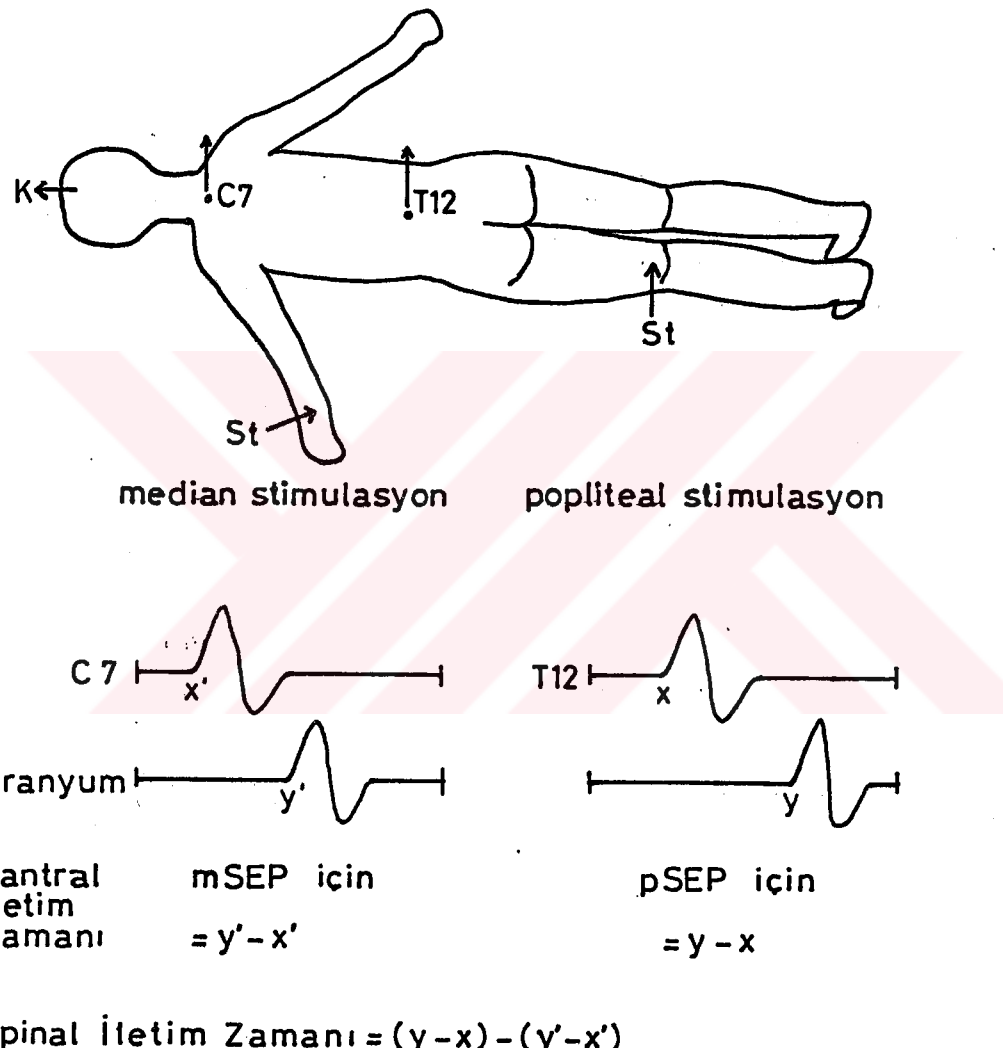
spinal SEP
(servikal 7-Fz)

Şekil 13- Median sinir stimülasyonu ile sağlam deriden (SSEP) ve servikal 7 spinoz çıkışlığı Üzerinden (Spinal SEP) elde edilen kısa latanslı uyartılmış potansiyeller. SSEP deki pozitif dalgalar, spinal SEP teki negatif dalgalarla aynı kökenlidir. Kısa latanslı SEP lerin olası kaynaklarına gelince; N₉ ve P₁₀ un brakial pleksustan, N₁₁ ve P₁₂ nin spi-
nal kökler veya dorsal funikulustan, N₁₄ ve P₁₄ ün beyin sapi medial lem-
niskus ve talamustan köken aldığı düşünülmektedir. (De'smedt, Gre-
en, Greenberg, Grunley ve Kimura'dan yararlanılarak
ref.78,146,151,199).

60,133,293
inanılır.

Servikal bölgeden kaydedilen N₁ ve N₁₃ ün, kord dorsumdan 235,293 kaydedilen N₁ ve N₂ nin sinonimi olduğu düşünülmektedir.

Schramm, alt ekstremité sinirlerinin uyarımı ile alınan EP lerin iletim hızlarının, lumbosakral bölgede 66.9 m/sn, servi-



Şekil 14- İnsanlarda spinal kolon üzerindeki ciltten ve kafa derisinden elde edilen SEP'lerden santral iletim zamanı ve spinal iletim zamanının hesaplanması (Kimura ve Yamada'dan yararlanılarak, ref.199)

kotorasik bölgede 34.9 m/sn olduğunu hesaplamıştır .

"Spinal İletim Zamanı" terimi ise K i m u r a ve ark. tarafının
199
 dan ortaya atılmıştır . Median sinir uyarımı ile C7 ve kafa derisinden elde edilen yanıtlar arasındaki fark olan "Santral İletim Zamanı"'ndan, popliteal uyarım ile T12 spinoz çıkıştı
 ve kafa derisinden alınan yanıtlar arasındaki fark olan santral iletim zamanını çıkarttığımızda, "spinal iletim zamanı"nı
199
 bulabiliyoruz (Şekil 14).

"Santral İletim Zamanı" ile, bir uyarının omuriliğe girmesinden primer duysal kortekse ulaşmasına kadar geçen süre anlaşılır. Median sinir uyarımı ile bu süre, C7 deki N13 latansını, C3 veya C4' deki N20 nin latansından çıkarmakla elde edilir. Yaklaşık 7.05 msn olan bu sürenin 8 msn den büyük olması durumda patolojiden söz edilir .(Şekil 14).

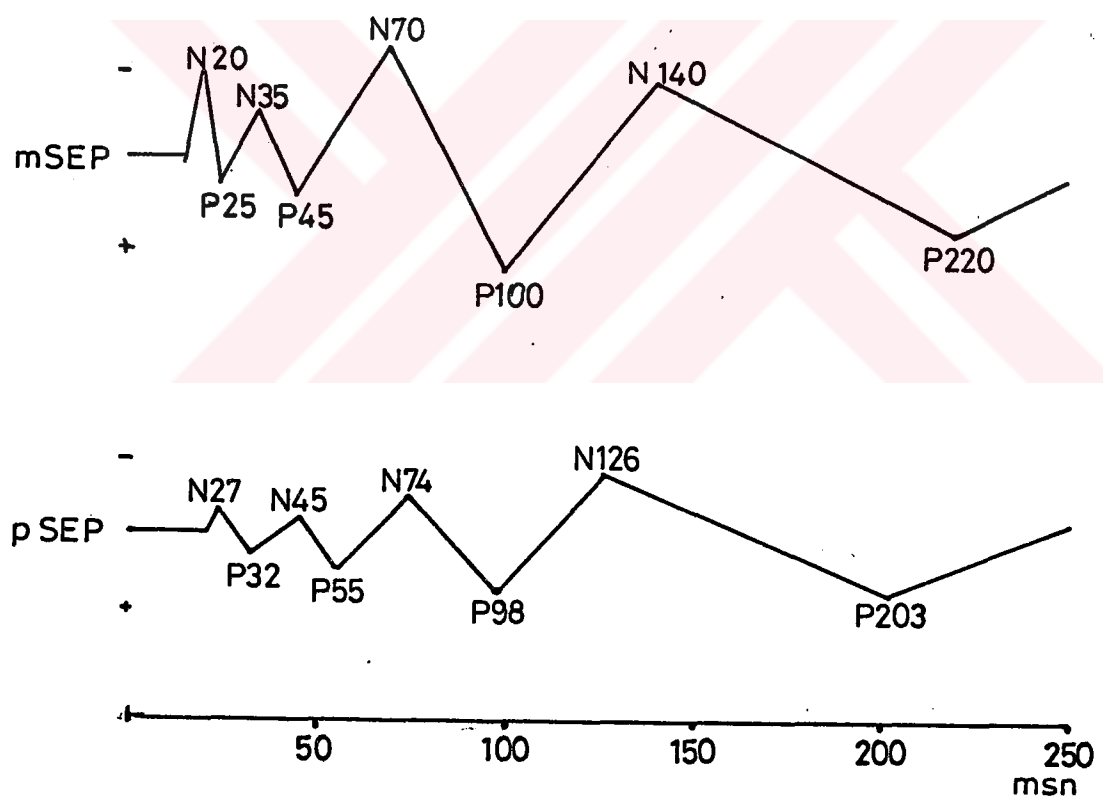
C-KAFA DERİSİNDEN ELDE EDİLEN SOMATOSENSORYEL UYARTILMIŞ POTANSİYELLER (EP veya SSEP) :

Bir periferik duysal sinirin uyarımı ile kafa derisinden elde edilen ve 100 msn ve üzerinde tarama süresiyle kaydedilen uyartılmış potansiyellere, somatosensoryel uyartılmış potansiyel (=Somatosensory Evoked Potential=SEP), 50 msn ve altında tarama süresi ile kaydedilen uyartılmış potansiyellere, kısa latanslı somatosensoryel uyartılmış potansiyel (=Short-latency Somatosensory Evoked Potential=SSEP) adı verilir. Biz burada SEP veya SSEP kısaltmalarını kullanacağız.(Şekil 11,13,15)

1-Uyarı : SEP veya SSEP elde etmek için başlıca 3 çeşit uyarı

kullanılır (Bak Tablo 1) :

a) Elektriksel uyarı : Genellikle büyük miks sinir gövdelerinin,
133 bipolar yüzeyel elektriksel uyarımı yapılır .Seyrek olarak saf
duysal sinir veya deri uyarımı yapılır. Uyarı genellikle 0.1-0.2
msn süreli kare dalgalar şeklinde verilir. Bipolar stimülasyon
tercih edilir. Katod daha proksimale konur. Uyarı artefaktını
engellemek için de uyarım yerinin proksimalinde ekstremiteye bir
toprak elektrod yerleştirilir. Genellikle üst ekstremitede
median sinir (median SEP=mSEP), alt ekstremitede ise popliteal



Şekil 15- İnsanlarda median sinir ve popliteal uyarımıyla elde edilen SEP'lerdeki belli başlı dalgalar (G i b l i n'den değiştirilerek, ref.133).

fossada posterior tibial sinir veya fibüler sinir (pooliteal
59,133,222,235,258,259,260
SEP=pSEP) tercih edilir .

Uyarı şiddeti konusunda tam bir görüş birliği yoktur. Uyarı şiddetinin arttırılmasının dalganın latansını değiştirmediği,
293 fakat amplitüdünü arttırdığı saptanmıştır . Uyarı şiddetini
235 duysal eşiğin 3 katına kadar çıkanlar , kas kontraksiyonu
60,61 görülenceye kadar uyarı yapanlar veya supramaksimal uyarı
97,98,99,100,246 yapanlar vardır.

Stimulus frekansı SEP ler için 1 Hz (pSEP) veya 2 Hz (mSEP)
78,133,159,258 olarak seçilirken , SSEP ler için 2-5 Hz arasında
60,78,235,293 seçilmektedir .

b) Mekanik uyarı : Uyarı şiddetini ayarlamak güç olduğundan ve
özel mekanik aygıtlar gerektiğinden, bu yöntem yalnızca araştır-
ma amacıyla kullanılmış, yaygınlık kazanmamıştır .
133,159

2-Kayıt yeri : EP ler için, EEG de kullanılan gümüş disk elektrodlarını kullananlar olduğu gibi , deri direncini azaltmak
70 için subkutan iğne elektrodları kullananlar da vardır .
78,349,350

Kafa derisine elektrod yerleştirilirken, EEG deki 10-20 sistemi
kullanılır. mSEP için, elin postsantral alandaki yerleşimi göz
önüne alınarak C3' veya C4' noktası (orta hattan 7-8 cm lateral-
de, Cz den 2.5 cm arkada) aktif elektrod olarak seçilir .
78,133

Bu noktalar, primer kortikal yanıtın en büyük amplitüdü olarak
alındığı noktalardır. Referans elektrod ise kafada bir noktaya
(kulak memesi, Fz, çene, alın vb.) veya vücutta bir noktaya
(sırt derisi, ekstremiteler vb.) konabilir. SSEP için referans

	SEP		SSEP	
	"Somatosensoryel Evoked Potential"		"Short Latency Somatosen- toryel Evoked Potential"	
	median	popliteal	median	popliteal
Uyarı frek.	1-2 Hz		2-5 Hz	
Tarama sür. (msn)	100-200	200-500	20-50	50-100
Averajlama	64-128		512-2048	
Başlıca dalgalar	N ¹⁹ P ²⁵ N ³⁵ P ⁴⁵ N ⁷⁰ P ¹⁰⁰ N ¹⁴⁰ P ²²⁰	N ²⁷ P ³² N ⁴⁵ P ⁵⁵ N ⁷⁴ P ⁹⁸ N ¹²⁶ P ²⁰³	P ¹⁰ P ¹² P ¹⁴ N ¹⁹ P ²³ N ³⁰	N ²⁷ P ³²
Kayıt yeri	C3'-Fz (C4')	Cz'-Fz	C3'-non- sefalik	Cz'-non- sefalik

Tablo 1- Median sinir ve popliteal bölgesinde tibial sinir uyarımı ile elde edilen uzun latanslı (SEP) ve kısa latanslı (SSEP) uyartılmış somatosensoryel potansiyellerin kayıt koşulları ve belli başlı dalgaları. Median stimülasyonla N¹⁹, popliteal stimülasyonla N²⁷ talamokortikal projeksiyonlara ait olup en stabil dalgalarıdır.

133

elektrodun ekstremitelere konması önerilmektedir (Tablo 1).

3-Amplifikasyon : SEP lerin amplitüdü, genellikle 5-10 μ V olduğundan, 10.000-100.000 kez büyütme gerekmektedir. Amplifikatörün frekans sınırları ise aranan yanıtların niteliğine göre 1-2 Hz den, 1000 veya 3000 Hz e kadar değişmektedir. Burada averajörün duyarlılığı (rezolüzyonu) da önemli olmaktadır.

Genellikle 256-1024 nokta tarayabilen veya 5-10 bine/msn tarama
133
Özelliği olan averajörler gerekmektedir .

4-SEP lerin değerlendirilmesi : İnsan ve hayvan çalışmalarında SEP lerin tepe latansları ile tepeler arası latanslarını veren bir çok çalışma vardır. Ancak bunların hepsi de değişik uyarı, kayıt ve averajlama yöntemleri kullanmışlardır. Hatta bazı yazarlar, kişinin boyu ve bacak uzunluğu gibi değişkenleri, bu
78 normal verilere eklemiştir . Amplitüdlerdeki varyasyonlar çok fazla olduğundan, pozitif veya negatif dalgalardan incelenmesi istenenlerin ve genellikle en stabil olanlarının
9,147,152 latanslarını ölçmek en çok kullanılan yöntem olmuştur .
Ancak latanslardaki oynamalar, özellikle omurilik travmasından sonra çok olabildiğinden ve bunlara dalga formu, amplitüd varyasyonları da eklendiğinden daha basit değerlendirme
50,345 yöntemlerinin kullanılması istenmiştir . Y o u n g(1981) SEP in olup olmamasını değerlendirmiştir, bu amaçla şu kriterleri
343 getirmiştir :

- a)Üst Üste yapılan 3 trasede de 17-22 msn latansında kesin bir dalga olması
- b)Bu dalganın tepesinin, uyaransız trasenin gürültü düzeyinden daha yüksek amplitüdünün olması
- c)Bu erken pozitivitenin averajlama işlemi sırasında sürekli büyümesi durumunda "SEP pozitifliği"nden söz edilmelidir.

Bu yöntemle yazarlar travma sonrası SEP(+) hayvanların
115,343 yüzdesini travmayı değerlendirme kriteri olarak almıştır .

Öte yandan insan omurilik travmalarında SEP lerle izleme yapan F l a m m ve ark. (1985) ise subjektif bir skor sistemi geliş-
116 tirmiştir :

0 hiç yanıt yok

1 kuşkulu yanıt (amplitüdü, kontrol uyaransız trasenin zemin aktivitesinin hemen üzerinde olan yanıt)

2 kesin fakat küçük yanıt

3 dalga formu veya latansı anormal olan yanıt

4 normal yanıt

5 normalden büyük yanıt

5-SEP in afferent iletimi : Kortikal SEP lerin hangi yollardan geçerek kortekse ulaştığı konusunda halen tam bir görüş birliği yoktur. Uzun tarama süreli bir kayıttta, ilk komponentin daha direkt yolların, başlıca arka kordonun iletimini gösterdiğine, ikinci yanıtın değişik miktarlardaki ara talamik bağlantılardan kaynaklandığına, büyük pozitif son dalganın ise kortikal assosiyasyon bağlantıları ve bunların total kortikal nöronal havuza etkileri sonucu meydana geldiğine inanılır ,

SEP lerin ilk komponentinin sorumlusunun dorsal kolon-medial 77,110,133,152
lemniskus sistemi olduğunu söyleyenler olduğu gibi
263

lateral funikulusun da SEP lerden sorumlu olduğunu söyleyen-
65,244,250,263,279,284
ler olmuştur. Eğer lateral funikulus SEP
lerin oluşmasında rol oynuyorsa, motor fonksiyon/SEP ilişkisi
artacaktır. Nitekim, S c h n e i d e r ve ark. maymundada dorsal
kolon dışında da propriozeptif liflerin bulunduğuunu bildirmiş-

133
lerdir . İnsanda da dorsal kolon myelotomisinden sonra nörolojik anormallik olmadığı bildirildi ise de, bu lezyonlar postmortem kanıtlanmadığından kesin yargılara varmak doğru olmaz. Bizim için SEP'in ilk komponentlerinin kaynağı önemli olduğundan, bu konuda insanlarda ve deney hayvanlarında yapılan çalışmalara ve tartışmalara kısaca değinmek istiyoruz:

a) İnsanlarda izole dissosiyel duyu kaybı olan hastaların histopatolojik bulguları, SEP'in dorsal kolonlardan iletiliği-
133, 159
ni düşündürmüştür . Wall, deri duyusu analizi için dorsal kolonun gerekli olmadığını, dorsal kolonun yalnızca aktivite gereklilikinde duyu ayırımı (diskriminasyon) için 324
gereğini belirtmektedir . Ayrıca spinotalamik traktotomi yapılan hastalarda, hiçbir SEP değişikliği olmadığı gösterilmiş-
147
tir . Anterior omurilik sendromlarında da SEP'lerin korunduğu
349
bilinmektedir .

b) Maymun gibi diğer primatlarda SEP'in kaynağını araştıranlar
65, 110, 294
olmuştur . Cusick ve ark. (1979) maymunlarda üst torasik ve orta servikal bölgelerde selektif segmental dorsal kolon lezyonları yapmışlar, omurilikten ve korteksten ayrı ayrı yapılan kayıtların hemen hemen tamamen kaybolduğunu izlemiştir-
65
dir . Oysa intralaminer talamik nükleuslardan yapılan kayıtlar, dorsal kolon kesisi ile kaybolmamış, bilateral ventral kolon ablasyonu ile kaybolmuştur. Yazalar bu bulgulara dayanarak maymunda SEP'in hem dorsal kolon hem de spinotalamik traktusla
65
iletiliğini söylemektedirler . Nashold ve ark. (1985)

da hem dorsal hem de dorsolateral kolonun maymunda SEP lerin
250
iletiminden sorumlu olduğunu söylemektedirler . Ancak C u
s i c k ve ark. nın gözlemleri, kortikal bölgeden kaydedilen SEP
lerin dorsal kolon kökenli olduğunu göstermektedir. Spinotalamik
traktusu incelemek için derin talamik bölgeye elektrod
65
implantasyonu gereklidir .

c)Kedide, lateral servikal traktus destrüksiyonu sonrası SEP
lerin formunda değişme olmadığı, ancak latansının uzadığı görülmüştür. Dysa dorsal kolon ablasyonu, yanıtların kaybına neden
olmuştur. Bu bulgular, kedilerde SEP lerin hem dorsal kolonlarla
hem de spinoservikal traktusla 147
iletildiğini düşündürmektedir . Diğer çalışmalar da kedide SEP lere dorsal kolon dışındaki
214,279
liflerin katkısı olduğunu belirtmektedirler . Torasik bölgede dorsal kolon rezeksiyonu yapan L e B l a n c ve ark. %50
214
yi aşmayan bir amplitüd düşmesi olduğunu saptamışlardır . P o-
w e r s ve ark. (1982), laser ile dorsal kolon ablasyonu
yaptığı kedilerde motor esığın 20 katı şiddette stimülasyonun,
c lifleri ile iletildiğini, omuriliğin ipsilateral dorsal kolonu,
ipsilateral spinoserebellar traktusu ve kontralateral spinotalamik
traktusunun, bu şekilde alınan SEP lerden sorumlu olduğunu
263
söylediştir .

Sonuç olarak büyük miks sinirlerin uyarılması ile ortaya çıkan
SEP lerin geniş liflerle taşındığı,dorsal kök ganglionundaki nöronların ilk nöronları olduğu,bunların santral uzantılarının ipsilateral posterior funikulustan yukarı çıktıığı, burada ikinci

nöron olarak dorsal kolon nükleusları ile (Goll ve Burdach) sinaps yaptığı, bunların hemen bu düzeyde çapraz yaptıktan sonra medial lemniskus sistemi ile talamusa çıktığı, talamusta yer alan 3. nörondan çıkan projeksiyonların frontoparyetal sensoryel kortekse ulaştığı söylenebilir.

Liflerdeki anatomik ve fizyolojik varyasyonların da SEP'leri etkilediği bilinmektedir²³⁷. Schramm ve ark. normal iletim hızındaki değişiklikleri şunlara bağlamaktadır^{284,285}: Lif çapını azaltacak şekilde liflerin dallanması, tek başına lif çapının daralması, lif spektrumundaki değişiklikler. Örneğin daha rostral segmentlerde daha az alfa 1 lifi vardır. Ayrıca omurilik takı multisinaptik bağlantıların yaptığı sinyal oluşumu, kodlama ve modifikasyon gibi değişiklikler, zayıf bir afferent sinyalin büyümeye yol açabilmektedir. Yazarlar bu nedenle doğrudan omurilik üzerinden yapılacak kayıtların, travma sonrası omurilik iletişimi hakkında daha çok bilgi vereceğini, kortikal veya yüksek serebral merkezlerden kayıtlarda bu "zayıf sinyalin potensiyalizasyonu" olayı nedeniyle yanlış bilgiler alınabileceğini iddia etmektedirler²⁸⁴.

OMURİLİK TRAVMASI SONRASI EP DEĞİŞİKLİKLERİ

A-OMURİLİK İÇİNDEN, ÜSTUNDEN ve EPİDURAL BÖLGEDEN ELDE EDİLEN UYARTILIMIS POTANSİYELLER

1-Negatif intermedyer potansiyel kaybı : Travmadan sonra görülen ilk patoloji, bu dalganın kaybıdır. Santral gri cevher internöronlarından köken alan bu potansiyel, omurilik travması sonrası santral gri cevherde başlayan histopatolojilerle uyumlu 284 olarak erkenden kaybolur .

2-Omurilik uyartılımıs yaralanma potansiyeli (=spinal cord evoked injury potential) : Normalde bir periferik sinir veya dorsal kök uyarısına omurilik dorsalinden trifazik, negatif egenmenlikli bir yanıt alınırken, travma ile büyük pozitif bir yanıt 130,142 alınır ."Ölü.son potansiyel=Killed-end_potential", Son potansiyel=Final_potential gibi adlar da verilen bu büyük 284 pozitivitenin özellikleri şöyle sıralanabilir : Bu pozitif dalgaların boyu, normal spinal SEP'lerden %50 daha büyüktür (85 μ V civarında). Bunun nedeni, lezyon yerinde bulunan yaralı aksonların transmembran dirençlerinin düşük olması ve bu yüzden 224 daha büyük akım yoğunlukları yaratmalarıdır . Bu pozitif dalganın amplitüdü, travma yerinden rostrale gittikçe küçülür, fakat latansı değişmez. Bu pozitif dalgalar travma yerine yaklaşan, fakat onu geçemeyen aksiyon potansiyellerini yansıtırlar . Omurilik boyunca yapılan kayıtlarda trifazik komponentten birden monofazik komponente geçildiğinde, burası travma

bölgesidir denebilir.

Schramm ve ark. yukarıdaki bilgilerden, liflerin gerçekten de ölmeyiğini veya bu aktiviteyi yansitan liflerin ÖLÜ lifler olmadığını inandıklarından, ÖLÜ son potansiyel terimini 224 tercih etmemektedirler . Yazarlar, travma yerinin kesin lokalizasyonunun, multipl epidural elektroldardan yapılan uyartılmış potansiyel çalışmaları sırasında, bu büyük pozitif 224 dalgaların görülmesi ile yapılabileceğini belirtmektedir . Ayrıca bu patolojinin kortikal SEP lerden daha önce oluştuğunu, çünkü SSS nin periferik impulsların büyütülmesi için değişik kodlama ve amplifikasyon yöntemlerini uyguladığını vurgulamaktadırlar. Bu yüzden, kayıt yeri travma yerine ne kadar yakınsa, bu büyume o kadar az olacaktır.

3-Distal izole omurilikte EP lerin değişmesi : Bazı yazarlar travma veya transeksiyon sonrası izole omurilik segmentinde EP 61,110,284 lerde bir değişiklik olmadığını söyleylerken , çoğu araştırmacı 45,242 yanıtların amplitüdünün arttığını bildirmektedir 245,279

. Benzeck ve ark. bu artışın %225 oranında olduğunu söylemektedir . Distal omurilik segmentindeki posttravmatik fasilitasyonun nedeni, internöronların suprasegmental 22 inhibisyonunun ortadan kalkması olduğu söylemiştir .

B-VERTEBRAL KOLON ÜZERİNDEKİ CİLTEN ve KAFA DERİSİNDEN ELDE EDİLEN UYARTILMIŞ POTANSİYELLER

Omurilik travmalarında SEP ler kedilerde 22,46,115,142,156,233, 343,345 72,73,85,277 154,350,352,353 65 , köpeklerde , sığcanda , maymunda

66,89,207,208

incelenmiştir. İnsan omurilik travmalarında SEP
252

leri ilk inceleyen ise P e r o t(1973) olmuştur .

Omurilik travmasında SEP leri izlemin amacı, öncelikle prognozu belirlemek olmuş, sonraları sürekli SEP kaydı ile tedavinin etkinliğini, ameliyat sırasında SEP kaydı ile ameliyatın olası risklerini önlemek amaçlanmıştır
194,246,276,288,293
297

SEP lerin prognozu belirlemeye yararlı olacağı ilk önce deneysel çalışmalarla saptanmıştır.D o n a g h y ve N u m o t o (1969) köpeklerde omurilik travmasından 4 saat sonra SEP ler alınamıyorsa, prognozun kötü olacağını söylemiştir . Daha sonra C a m p b e l l ve ark. ve d e l a T o r r e,travmadan 3 saat sonra SEP ler alınıyorsa, hayvanların motor fonksiyonları-
46,72
nin düzeyeceğini söylemişlerdir . SEP leriyle prognozun ilişkisi daha sonra birçok çalışma tarafından da kabul 50,62,194,209,233,258,276,294,297,327
edilmiştir .Ancak bu ilişkisinin niteliği iyi aydınlatılabilmiş değildir.

Şiddetli omurilik travmasından sonra yaralanan segmentte elektriksel iletim hemen durmaktadır. D u c k e r, deneysel omurilik travmalarından sonra olan SEP değişikliklerini şu başlıklar
89
lar altında toplamıştır :

- 1*SEP ler kaybolur, hayvan paraplezik olur, bir daha düzelmey
- 2*SEP ler tamamen kaybolmaz, hayvanda tam parapleji olmaz, genellikle travma şiddeti azdır.
- 3*Seyrek olarak travmadan sonra SEP ler iyi iken zamanla

kötüleşir. Bu gözlem, travma sonrası omurilik patolojisini ilerleyici olduğu tezini desteklemektedir.

4*Seyrek olarak SEP ler birkaç saat için kaybolur, daha sonra geri döner ve tamamen normalleşir, hayvan da iyileşir.

5*Seyrek olarak hayvan ileri paraparetik olmasına rağmen SEP ler normaldir.

Young ve ark.ının (1982) gözlemleri, 3.maddedeki koşullara uymaktadır. ³⁴³ Yazarlar kedilerde travmadan sonra SEP(+) hayvanların yüzdesini 1.saatte %0, 2.saatte %40, 3.saatte %20, 4.saatte %0 olarak vermektedir.

İnsan omurilik travmalarında SEP lerini kullanan çalışmacılardan farklı sonuçlar gelmektedir. Perrot ve ark., travma sonrası SEP lerin dönmesinin iyi prognozu gösterdiğini vurgulamaktadır-²⁵⁸ lar. Ancak SEP lerin bulunmasının her zaman motor fonksiyon düzelmesi ile birlikte olmayacağı da bilinmektedir. ³⁴⁹ Rowed ve ark da SEP lerin korunması veya travmadan sonraki ilk hafta içinde dönmesinin iyi prognozu gösterdiğini söylemektedir.²⁷⁶

Martin ve Bloedel (1973) prognozu etkileyen en önemli bulgunun, yalnızca SEP lerin travma sonrası dönmesi değil, aynı zamanda travmadan sonraki ilk birkaç gün boyunca ²³³ ısrar etmesi olduğunu vurgulamaktadır. Spiehlholz, 120 omurilik yaralanmalı hastada SEP lerini incelemiş, total omurilik lezyonlarında SEP lerini alamazken, incomplet omurilik lezyonlarının %85 inde almışlardır. Ancak bu %85 lik gruptaki düzelmeye miktarı ile kalan %15 lik gruptaki düzelmeye miktarını farklı bulma-

mışlardır .

Burada SEP lerin yanlış pozitif ve yanlış negatif sonuç verme olasılıklarını tartışmak gereklidir. SEP kaydı, bazı teknolojik koşulların yerine getirilmesini gerektirmekte, ayrıca özellikle duysal fonksiyonu ve arka kordonun bütünlüğünü gösteren bu testin, motor fonksiyon ile eşdeğermiş gibi alınması bu hataları yaratmaktadır. Daha çok peroperatuar SEP monitorlemesi sırasında belirginleşen yanlış-pozitif SEP kaybı, ve yanlış-negatif SEP lerin korunması, Önemli bir sorun olabilmektedir:

a# Yanlış-pozitif SEP kaybı, bir motor ve/veya duysal defisit olmaksızın SEP lerin alınamamasıdır. Ameliyat sırasında sık olarak görülebilir ve genellikle teknik sorunlara ve çevresel etmenlere bağlıdır. Aygıtın çalışmaması, elektrodun çıkması, TA ve kan gazı değişiklikleri, anestezi derinliği, vücut ısısı 134 değişikliği bunlar arasında sayılabilir .

b# Yanlış-negatif SEP korunması ise çok enderdir. Uyarı için çok şiddetli elektrik pulslarının kullanılması sonucu, fizyolojik doğada olmayan -volüm iletişimli- dalgalar, SEP olarak kaydedilebilir. Ayrıca omuriliğin yalnızca ön kısmını etkileyen olay- 134,349 larda da SEP ler korunabilir .

Ayrıca SEP lerdeki küçük amplitüd ve süre değişikliklerinin değil, SEP in olup olmamasının prognozu belirlediği söylemiş- 50,89,233,343 tir .

Daha çok insanlardaki SEP çalışmalarında karşılaştığımız bu sorunlar, insan omurilik travmalarının şiddetinin, patoloji

miktarının bilinmemesinden ve travmadan kısa süre sonra değerlendirmeye yapamamızdan ileri geliyor olabilir. Bu yüzden hayvanlardaki deneysel omurilik travmalarının değişik özellikleri ile SEP lerin ilişkisini gözden geçireceğiz:

1-Travma şiddeti-SEP ilişkisi: SEP lerle travma şiddeti arasında bir pozitif ilişki olduğu genellikle kabul edilen bir 65,69,89,284,313 görüşür . Çarpma şiddetini birimlerine ayırdığımızda farklı sonuçlar çıkmaktadır. Çarpma hızı ile SEP ilişkisini araştıran Anderson ve ark., çarpma hızı arttırıldığında küçük, fakat istatistik olarak anlamsız bir SEP latans artışı olduğunu belirlemiştir . Dysa kompresyon miktarı latans ile doğrudan ilişkili bulunmuş, kompresyon %25 ten %50 ye çıkarıldığında, latanslarda anlamlı bir artış olmuştur .

Bu örnekler, kontüzyon yapan travmanın SEP lerdeki etkisini belirlemektedir. Tümörlerde olduğu gibi yavaş kompressif travmalarda ise durum farklıdır. Epidural balon kompresyon ile maymunlarda travma yapan Kobrine ve ark. (1970), bu yöntemle SEP lerin hemen kaybolmadığını, balon söndürüldükten 1 saat 206 sonra da döndüğünü göstermişlerdir .

2-Travmanın yeri-SEP ilişkisi : Torasik ve servikal omuriliğe eşit miktarlarda (300 gm-cm) travma yapan D'Angelo ve ark. (1973), torasik travmadan sonra SEP lerin kaybolduğunu, servikal travmadan sonra ise kaybolmadığını bulmuşlardır . Bunun nedeni, torasik omuriliğin küçüklüğü veya kollateral dolaşımının azlığı olabilir. Bu sonuç, diğer yazarlarca da des-

46,294
teklendiştir .

Travmanın omuriliğin önünden veya arkasından olmasının ise bir farkı olmamaktadır. Servikal omuriliğe önden ve arkadan yapılan travmalar, SEP lerini aynı şekilde etkilemiştir . Bu gözlem, M c 69
V e i g h'in (1923) gözlemine uymaktadır . Buna göre omuri-
lige çarpma nereden olursa olsun, yaralanma en az direnci olan
bölgеде, yani santral kanalın dorsalindeki gri cevherde olmaktadır-
238
dir .

3-Travma histopatolojisi-SEP ilişkisi : SEP lerle histopatolo-
jinin ilişkisi, SEP lerle klinik tablonun ilişkisinden
9,233
azdır . Ancak yine de ikisi arasında bir pozitif korelas-
89
yonun olduğu söylenebilir . D ' A n g e l o (1973) patoloji ile
EP lerin ilişkisini araştırdıklarında şu genellemeleri yapmış-
69
lardır :

a# Yalnızca gri cevher peteşial kanamaları olanlarda EP ler he-
men dönmektedir.

b# Gri cevher çevresinde ve beyaz cevherde kanamaları olanlarda
EP ler 1 saat sonra dönmektedir.

c# Santral kavitasyon ve posterior kordonda fragmantasyon olan-
69,233
larda EP ler dönmemektedir .

A n d e r s o n da subakut fazda hemorajik nekroz ile nöronal
9
iletim arasında bir dissosiyasyon olduğunu göstermiştir .

4-Omurilik kan akımı-SEP ilişkisi : OKA ile SEP lerin ilişkisi-
148,204,313
ni inceleyenler, ilginç sonuçlar elde etmişlerdir .

Beyinde EEG ve SEP değişiklikleri, SKA normal değerinden %70

oranında azaldığında (normal 55 ml/dak/100 gr dan, 15 ml/dak/100 gr a düştüğünde) olmaktadır. Oysa omurilikte kan akımı Ø olunca
204
SEP ler kaybolmaktadır .

Epidural kompresyon yaptığı hayvanlarda hem OKA ni -H klirens
2
yöntemi ile- hem de EvMyeloG'ı inceleyen K o b r i n e (1978),
OKA sıfır değerine geldiğinden 10-15 dakika sonra SEP lerin
204
kaybolduğunu saptamıştır . Ayrıca 20 hayvandan 4 ünde kom-
presyon sırasında SEP ler devam etmiş, OKA ise artmıştır. Yazar
bunga dayanarak SEP inhibisyonunun iskemi ile doğrudan ilişkili
olmadığını, nöronal inhibisyon ile ilişkili olduğunu iddia
etmektedir. Ancak spinal AVM lerin terapötik embolizasyonu sıra-
sında, bir iskemi olursa SEP lerin 1 dakika içinde kaybolduğu
24
bildirilmiştir .

Ancak burada serebral kan akımındaki azalma ile SEP lerin iliş-
kisi, OKA daki azalma ile SEP lerin ilişkisi aynı koşullarda
tartışılmamalıdır. Çünkü serebral iskemi, deneysel çalışmalarda
genellikle karotid oklüzyonu ile sağlanmakta, fokal beyin kom-
presyonu ile sağlanmamaktadır. Ayrıca kortikal SEP lerde
multisinaptik bir organizasyon söz konusudur. Sinapsların da is-
kemiye, aksonal iletimdem daha fazla duyarlı olduğu bilinmekte-
dir. K o b r i n e, burada bir genelleme yapmakta, periferik
sinirlerin iskemiye direncinin omurilikten fazla olduğunu,
omurilikteki liflerin direncinin de serebral liflerden fazla ol-
204
duğunu söylemektedir .

Kompresyondan 1 saat sonra SEP lerin düzelmesi, hem membran

potansiyellerinin düzelmesinden, hem de iskemi sonucu oluşan metabolitlerin ortadan kalkmasından olabilir.

D-SPİNOTALAMİK TRAKTUSUN DEĞERLENDİRİLMESİ : Bu amaçla periferik sinirlerin C liflerinin uyarılması önerilmiştir

5,133,263

Ağrı duyusunu taşıyan bu liflerin deneysel çalışmalarda uyarılması ile iyi sonuçlar alınmış, insanlarda ise çok şiddetli ağrı yarattığından uyarılması her koşulda mümkün olmamıştır. Bu amaçla ya kısa süreli laser pulsları kullanmak , ya da anestezî altındaki uygulamalar sırasında motor eşinin 20 katına dek şiddetli elektrik pulsları vermek önerilmiştir . Ancak anestezî sırasında ağrı duyusunun depresyonu yanıtları küçültügünden, bu yöntemde kendi içinde sakıncalarını taşımaktadır. Powers ve ark. (1982) kedilerde bu şekilde stimülasyon yaparak kaydettikleri SEP lerin, omuriliğin değişik bölgelerinin ablasyonu ile değişip değişmediğini araştırmışlardır . Yazarlar ipsilateral dorsal kolon ve spinoserebellar traktus yanında, kontralateral ventrolateral traktusun da bu ağrılı uyarıları taşıdığını göstermişlerdir. Ameliyat sırasında SEP monitorizasyonunda bu şekildeki bir uyarı modifikasyonunun, omuriliğin bir den çok traktusunun işlevini göstereceğinden daha yararlı olacağını söylemektedirler .

E-VESTİBULOSPİNAL TRAKTUSUN DEĞERLENDİRİLMESİ : 8. kranyal sinirin kalorik veya elektriksel uyarısının, distal kaslardaki tonik motor aktiviteyi etkilediği, böylece averajlanmış EMG yanıtını değiştirdiği gösterilmiştir

71,75,131,267,342,354

. Bizler

de 10 normal gönüllü denekte, averajlanmış patella refleksi integre yanıtlarının, mastoid çıkıştı üzerine koyduğumuz bir plaka elektrodun galvanik elektriksel stimülasyonu ile değişimi- ni inceledik. 4 olguda yanıtın amplitüdünün belirgin büyüğünü, 354 3 ünde ise değişmediğini gördük . Bu durumda, vestibulospinal traktusun omurilik travması ile lezyonu olduğunda EMG yanıtının değişmesi beklenecaktır. Nitekim Raffensperger (1984), kalorik uyarı ile H refleksinin büyüğünü, ancak 267 omurilik travmali hastalarda değişmediğini bildirmiştir .

F-MOTOR UYARTILMIŞ POTANSİYELLER (=Motor Evoked Potential=MEP)
Şu ana dek sözünü ettigimiz SEP ler, duysal yolların bütünlüğünü göstermektedir. Daha önemli olan motor fonksyonun bütünlüğü- 62,182,218 nü anlamak için başka yöntemler geliştirilmektedir 219,220

Croft ve ark. ilk kez 1972 deki yayınları ile motor uyartılmış potansiyelleri (=Motor Evoked Potentials=MEP) 62 incelemiştir . Deney hayvanlarının serebral pedunküllerine stereotaksik olarak yerleştirdikleri elektrodları stimüle ederek omurilikten MEP lerini kaydetmişlerdir. Aynı anda SEP te kaydeden çalışmalar, travma sonrası her iki testin de -SEP ve MEP- aynı anda kaybolduğunu görmüşlerdir. Bu bulgu, SEP lerin 62 prognozdaki önemini göstermektedir .

Levy ve ark. (1984) ise aynı uyarıyi omurilik içinde yapmışlar, uyarı elektrodunu intermediolateral sulcus ve dentat 218 ligaman arasına sokmuşlardır . Ablasyon çalışmaları, bu stimülasyon ile iletilen yanıtın aynı bölgedeki piramidal

traktus ile gittiğini göstermiştir. Araştırmacılar daha sonra noninvaziv bir yöntem bulmaya çalışmışlardır. Önce C1 ve C2 bölgelerine özofagustan fluoroskopik kontrolla yerleştirdikleri elektrodları uyararak MEP elde etmişler, ancak yöntemin 219 güclüklerinden ötürü vazgeçmişlerdir. Son olarak uyguladıkları transkranyal stimülasyon, uyarının korteksten aşağı yönlendirilmesi, kafa derisi ve kranyum arasında şantlanmaması için değişik bir elektrod yerleşimi getirmektedir. Bir plaka elektrod motor korteks üzerinde saçılı deriye, diğeri de ağız içinde sert damağa yerleştirilmektedir. Stimülüs süresi 750 μ sn, şiddeti 10- 219, 220 20 mA, frekansı 5-20 Hz olarak seçilmektedir.

Levy ve ark. bu sinyalin, kontralateral periferik sinirlerden ve EMG den alınabildiğini ve ekstremitelerde bazı hareketler yaratabildiğini göstermişlerdir. 219 Kayıtlarını, hem spinal çıkışlıklar üzerine koydukları disk elektroldardan, hem epidural mesafeden, hem de ameliyat sırasında omurilik üzerinden yapmışlardır. Doğal olarak omurilik üzerinden ve epidural mesafeden yaptıkları kayıtlar daha belirgin olmuştur. Çalışmacılar bu yöntemin, motor ve duysal traktus bozukluğu olanlarda SEP 219 lerden daha yararlı olacağını iddia etmektedirler.

4-OMURİLİK REFLEKSOLOJİSİ

A-H REFLEKSİ : Gri cevher içindeki aktiviteyi incelemek için 215,256 kullanılması önerilmiştir . Bilindiği gibi posttravmatik 89,256 değişiklikler öncelikle santral gri cevherde başlamaktadır

Singer ve ark. (1970) şiddetli servikal travmadan 24 saat sonra, SEP lerin döndüğü hayvanlarda, retiküler formasyon içindeki aktivitenin 6 hafta boyunca dänmediğini belirtmişlerdir . Van Gilder (1972) bu segmental refleksin yokluğunun, santral bağlayıcı havuzun parçalanmasını gösterdiğini 215,256 söylemektedir . Yalnızca travma segmentindeki patolojiyi gösterdiğinden, daha sonraki bir tarihte proksimal ve distalde omurilik iletimi normale dönse bile, H refleksi dönmeyebilir.

B-POLİSİNAPTIK FLEKSÖR REFLEKS : Travma bölgesindeki gri cevher sinaptik fonksiyonunu, polisinaptik fleksör yollardaki motonöronal deşarjları monitörleyerek öğrenebiliriz. Travma bölgesindeki motor fonksiyonu anlamak için kullanılan bu fleksör refleks yol, internöronları da içine aldığından polisinaptik bir organizasyona sahiptir . Nacimato ve ark. (1985) deneysel çalışmalarında, tibial siniri 400 Hz frekanslı, 0.5 msn süreli 4 lü elektrik pulsları ile uyarmış ve derin peroneal sinirden kayıtlar yapmıştır. Bu şekilde grup II ve III afferent lifleri uyarılmıştır. Omurilik kompresyonu yaptıkları hayvanlarda aynı zamanda SEP kaydı da yapmışlar, aksonal iletimde değişme olmadan çok daha önce polisinaptik fleksör refleks deşarjlarının büyüklüğünün azalmaya başladığını gözlemişlerdir . Gelfan ve

T a r l o v (1956) ise myelinsiz küçük çaplı liflerle taşınan bu polisinaptik refleksin, kalın myelinli liflerle taşınan monosinaptik refleksten daha dirençli olduğunu bildirmiştir .
Çünkü bu lifler mekanik basınca çok dirençlidir.

C-F DALGASI : Antidromik olarak uyarılmış motor nöron aktivitesini gösteren bu refleks yanıt, kas yanıtından (M yanıtı) bir süre sonra ortaya çıkmaktadır . K i m u r a , F dalgası ölçü-
münün, omurilik iletiminin göstergesi olduğunu söylemektedir .
Omurilik periferik latansını ise $\frac{F-M-1}{2}$ formülü ile hesaplamak-
tadır. Burada F, F dalgasının latansını, M kas yanıtının latan-
sını, 1 ise motor aksonlarının refrakter peryodu için kabul edilen
1 msn yi göstermektedir .

**D — OMURBOLIK
TRAVMALAPIONON
TEHDÄVISTI**

1-TARIHÇE

1.dünya savaşı sırasında İngiliz ve A.B.D. li askerlerin omurilik travmalarını inceleyen T h o m p s o n - W a l k e r , F r a z i e r ve A l l e n , hastaların %80inin enfeksiyonlar, yatak yaraları ve kateterizasyon sorunları nedeniyle öldüğünü bildirmiştir¹¹⁴. 2.dünya savaşında ise modern tedavi çağının başlamış, 1943 te M u n r o'nun üriner kateterizasyonu geliştirmesi, G u t t m a n n'ın travmali hastalara antibiyotik ve aktif rehabilitasyon uygulaması, prognозu iyi yönde değiştirmiştir¹¹⁴.

Omurilik travmalarında deneysel tedavi yöntemlerinin gelişimi ise travmanın fizyopatolojisini anlamanın gelişmesine paralellik göstermektedir. Öte yandan, biraz sonra sıralayacağımız tedavi önerilerinin çokluğu, henüz uygun tedavinin bulunamamasına, yanı çaresizliğe bağlanabilir.

İlk deneysel tedavi girişimi myelotomidir. A l l e n , 1911 de omuriliğin santralindeki basıncı azaltmak ve toksik maddeleri atmak amacıyla önce hayvanlarda, sonra insanlarda myelotomi yapmıştır³.

F r e e m a n ve ark. 1953 te myelotomiye ilaveten hipertonus solüsyonlar verilmesini uygun bulmuş, hipertonus solüsyonlarla tedavinin ödem azaltıcı etkiyle yararlı olduğunu söylemişlerdir¹²².

J o y n e s ve F r e e m a n (1963) te omurilik travmasında üre kullanmanın yararını bildirmiştir¹⁸⁹.

A l b i n ve ark. 1968 de yaralanmadan sonra birkaç saat

süreyle uygulanacak hipoterminin koruyucu etkisi olacağını söylemiştir.¹ Yazarlar metabolizmayı azaltmanın, omuriliği sekonder hasardan koruduğunu iddia etmişlerdir.

Ancak myelotomi, lokal hipotermi ve diüretiklerin insanlarda kullanımı ile ilgili çalışmalar bu gözlemleri desteklememiştir.

O s t e r h o l m 1972 de travma yerinde NE birikimini engelleyecek ilaçları kullanmıştır.²⁵⁶ Bunlardan özellikle alfa mathyl tirozinin santral HN u azalttığını göstermiştir. Ancak daha sonraları bu teorinin geçerli olmadığını ve anti-NE ilaçların etkisinin olmadığı gösterilmiştir.^{2,167,168,248}

Fakat O s t e r h o l m'un bu öncü çalışmasından sonra, 1970-1980 döneminde deneysel omurilik travmasında ilaç kullanımı ile ilgili makaleler, nöroşirürji literatürüni doldurmuştur.

Omurilik kan akımının, santral HN daki önemi anlaşıldığından,^{84,228,290} kan akımını artıracı hipertansif ajanlar^{158,187,256,272,273,314}, vazodilatörler⁴⁷ önerilmiştir. Yine omurilik dolasımını restore etmek için antifibrinolitik ve antiagregan^{136,290} ilaçları, Ca kanal blokerlerini önerenler de olmuştur. Travmada DKA azalmasını önleyici tedaviyi arama çabaları sürdürmektedir.

Bunun yanında metabolizmayı azaltıcı barbitüratlar^{87,255}, glial skarı önleyerek rejenerasyonu kolaylaştıracığı söylenen^{112,122,154,231,234,261}, enzimler^{34,200,201,205}, elektriksel alan uygulaması⁵¹ gibi öneriler, son 15 yıllık dönemde popüler olup tekrar ilginin kaybolduğu çalışmalar olmuştur.

1950 li yıllarda beri klasik olarak kullanılan osmotik diüretiklerin ve kortizonun bazı laboratuarlarda etkisiz olduğu
35,106,277 bildirildikten sonra bu konudaki görüşler tekrar gözden geçirilmiştir. 1980 li yıllarda itibaren kortizonun daha yüksek dozlarda kullanılması ve etki şekillerinin araştırılması
7,37,39,40,157,247,345 için çalışmalar başlatılmıştır .1983-1985 yılları arasında, başta Brugheser ve Hall olmak
38,39,40,145,156,157 üzere birçok çalışmacı nöronal ve aksonal membran destrüksiyonunun, travma sonrası iletim kaybının birincil sorumlusu olduğunu ve başta kortizon olmak üzere DMSO, naloxone, "thyrotropine releasing hormon", lokal anestetikler gibi ilaçların etkisinin, membran destrüksyonunu önlemelerine bağlı olduğunu iddia etmişlerdir.

2-İLAÇLAR

1-ANTIÖDEM İLAÇLAR : Deneysel çalışmalarında ürenin , ^{68,189}
mannitolun ^{19,68,340} ve düşük moleküllü dekstranın ^{168,277} yarar-
lı olduğu bildirilmiştir. Ancak bu ilaçların insan omurilik travmalarında yararını gösteren bir çalışma yoktur. Etki şekli, travmadan sonra oluşan ödemini azaltmaktadır.

2-HİPERTANSİFLER : Santor ve Venes, ilk kez sistemik kan basıncını arttırmayan travma sonrası nörolojik ²⁸⁹ düzelmeyi artırdığını göstermiştir . Bunun üzerine hipertansif ajanlarla ilgili çalışmalar başlamıştır. Şiddetli omurilik yaralanması sonrası sistemik hipotansiyonun ve omurilik iskemi-
sinin olması, bu iki olayı birlikte düşünmeye ve sistemik hipertansiyon yaratma girişimlerine yol açmıştır. Travma sonrası sistemik hipertansiyonun, sonuçları olumlu yönde etkilediğini bil-
^{84,290} direnler olmuştur . Ancak hipertansiyon, OKA ni artırsa ⁸⁴ bile, bu artışın vazojenik ödemle zararlı olması da olasıdır . Sistemik arter basıncını artırmak için kullanılan ilaçlar ve ⁸⁴ ²⁹⁰ yöntemler şunlardır : Kan transfüzyonu ve aramine'in OKA ni artırdığı bulunmuştur. Dopamine ise OKA na çok az etkili bulun-
²⁹⁰ mustur . Aynı zamanda anestetik bir ajan olan ve beyin ödeminin gelişmesine karşı koruyucu etkisi olduğu iddia edilen ²²⁸ gamma hydroxybutyric asit ise hipoksik beyinde yararlı olduğu ⁸⁴ halde, omurilik travması sonrası yararlı bulunmamıştır .

3-VAZODILATATÖRLER : Omurilik travması sonrası gelişen vazo-
konstriksyonu önlemek için kullanılmıştır.Papaverin vasküler

düz kaslar üzerine etkilidir. Travmadan 15 dakika sonra ve duratomi yapılmış omurilik üzerine lokal olarak uygulayanlar
273 olmuş, ancak yararlı bulunmamıştır . Nitroprusside yine bir düz kas gevşeticisidir. SAK ve anevrizma cerrahisinden sonra etkili olduğu söylenmektedir. Omurilik travmasından sonra
273 intravenöz uygulama yapanlar etkisiz bulmuşlardır . Methysergide bir serotonin antagonistidir. Vazokonstriktif etkili bir nörotransmitter olan serotoninin omurilik travması bölgesindende
272 arttığı gözlemine uyarak kullanılmış, ancak yararlı bulun-
256 mamıştır . Nitekim serotoninin travma bölgesinde artmadığını
256 314 söyleyenler de vardır . Ayrıca nitroglycerin , prostaglan-
158 314 187 314 dinlerden PGI2 , PGE1 , PGF , prostacyclin ve
158 indomethacin önerenler olmuş, bu maddelerin omurilik iske-
158,314 misini azalttığını bildirmiştir .

4-KATEŞOLAMIN ANTAGONİSTLERİ : NE nin santral gri cevher HN
unda önemli bir rol oynadığı şeklindeki inanışa dayanılarak O s
256 t e r h o l m tarafından önerilmiştir . Kateşolaminlerin etki
şekli başlıca iki teori ile açıklanmaktadır:

a* NE nin travma sonrası afferent liflerden gelerek vasküler spazm yaptığı, bunun da santral HN dan sorumlu olduğu şeklindeki teoriye göre NE antagonistleri vazospazmı ve santral HN u
256 önlerler .

b* K u r i h a r a (1985) ise konuyu yeniden gözden geçirmiştir, NE salınmasının santral HN oluşumundan çok, membran destrüksiyonuna yol açtığını iddia etmiştir . Yazar, travmadan önce

verdiği farklı iki NE antagonistinin, travma sonrası lipid peroksidasyonunu azalttığını, bunun bir göstergesi olan thiobarbitürk asidin artmadığını. ATPase enziminin azalmadığını
213 ve cGMP nin artmadığını bulmuşlardır .

Osterholm ve diğer bazı araştırmacılar, bilinen 18 adet NE antagonistinden aşağıda isimlerini saydığımız 11 ini kullanmıştır : Alfa methyl thyrosine (200 mgr/kgr), rezerpin (2.5-5 mgr/kgr), levadopa (75 mgr/kgr), alpha methyl dopa=AMD (40-800 mgr/kgr), phenoxybenzamine (20 mgr/kgr), disulphuram (7.2 mgr/kgr), 6-hydroxydopamine (10-50 mgr/kgr), fusoric asit, ELA-63, guanethidine, bretylum. Tüm bu ilaçların santral HN u belirgin şekilde azalttığı, bir kısmının da fonksiyonel
2,31,213,256,338 düzelmeye yol açtığı bildirilmiştir . Ancak daha sonra başka laboratuarlarda alfa methyl tirozini araştıran diğer
2,73,167,168,248 277 çalışmalar ve rezerpini araştıranlar yararsız bulmuşlardır.

5-ACETAZOLAMİDE : Bir karbonik anhidraz enzim inhibitörü olan acetazolamide, doku PCO sini arttırrarak kan akımını artırır
54 2 denmektedir .

6-HEPARİN : Mikrovasküler trombozu önleyip DKA ni arttırması
158,314 için verilmiş, ancak yararsız bulunmuştur .

7-ANTİFİBRİNOLİTİK İLAÇLAR : Subaraknoid kanamadan sonra rekürren kanamayı önlediği söylenen epsilon amino-caproic asit=EACA, antifibrinolitik etkisi nedeniyle omurilik travmalarında da kullanılmıştır. Aktif fibrinolizis nedeniyle olan

kanama bozukluklarında da kullanılan EACA, fibrin pihtısını stabilize etmektedir. Omurilik travmasında da bu etkiyle santral HN'u önlemesi amaçlanmıştır. Kısaca etki mekanizmalarını şu maddeler altında toplayabiliriz:

- a* Antifibrinolitik etki : Proteolitik enzimlerin çok etkili bir inhibitörü olan EACA, bu şekilde fibrin oluşumunu engeller.
- b* Antikollagenaz etki : Rüptüre olmuş kapillerlerin rüptüre yerlerini yamamaya çalışan kollajen fibrillerinin korunmasını sağlar. Çünkü travma ile lizozomların parçalanarak açığa çıkarttığı kollajenazlar, bu tıkaçları parçalar.
- c* Antiödem etki : Yine proteolitik enzim inhibisyonu ile olur. Campbell ve ark. EACA ve methyl prednisolone kombinasyonunu kullanmışlar, bu kombinasyonun posttravmatik omurilik 47 ödemini ve HN'u azalttığını gözlemişlerdir .

B-ANTIAGGREGAN İLAÇLAR : Trombosit aggregasyonunu inhibe eden aminofilin ve izoproteronolun mikrosirkülasyonu açlığı söylemiştir . Antiaggregan ilaçların etki şekillerini şu şekilde özetleyebiliriz:

- a* Trombosit aggregasyonunu önleyerek omurilik mikrodolaşımını 136 açarlar
- b* Trombosit aggregasyonunun olmaması, buradan vazoaktif maddelerin (5-HT, NE vb) salınmasını önleyerek vazospazmı engelleyecektir.
- c* Bu maddeler fosfodiesteraz enzimini inhibe ederler. cAMP yi 5'AMP ye çeviren bu enzimin inhibisyonu, intrasellüler cAMP dü-

++
zeyini arttırır. Bu da intraselüler CA' u azaltarak damarın
290 konstriksyonunu önler .

9-KALSIYUM KANAL BLOKERLERİ :Amaç, travma sonrası hücre içi
++
Ca artışını önleyerek vazokonstriksyonu engellemektir. Bir
++ Ca kanal blokeri olan nimodipine'in SKA'nı artırdığı
gösterilmiştir. Bu yüzden serebrovasküler olaylarda, migrende,
SAK sonrası vazospazmda kullanılması önerilmektedir . Omurilik
travmalarında ise Guha ve ark.ının yaptığı bir çalışmada
(1985), nimodipine ile travma sonrası OKA'nın arttığı gösteril-
153
miştir .

10-LOKAL ANESTETİKLER : intravenöz verilen lidocaine'in intra-
kranyal basıncı azalttığını ve serebral hava embolisine eşlik eden
208
nörolojik bozuklukları önlediği gösterilmiştir . Travmadan 15
dakika sonra IV lidocaine veren Kobreine ve ark. (1984)
208
SEP lerde ve santral HN'da düzelmeye olduğunu göstermişlerdir .
Ancak tetracaine'i travmadan 30 dakika sonra veren Ford ve
118
Mallm (1984) etkisiz bulmuştur . Lokal anestetiklerin etki
mekanizmasının iki açıklaması vardır:

a* Bunlar lokal anestetik etkisi yapmak için nöral membran-
lardan Na+ girişini engellemektedirler. Yani aksiyon potansiyeli
fazında Na+ geçirgenliği olmayan bir membran yaratmaktadır.
Omurilik travmasında istirahat membran potansiyeli, Na+un içeri
girmesi ile bozulmaktadır. Lidocaine ise membranı stabilize edip
istirahat membran potansiyelini normale döndürmekte, böylece de
208
sinir hücresinin eksitabilitesini sağlamaktadır . Nitekim

lidokainin izole sinirlerde K^+ un dışarı çıkışını, Na^+ un içeri girmesini önlediği gösterilmiştir. Aslında bu durumda da sinirde depolarizasyon olamadığından iletim yine sağlanamaz, ancak hiperpolarizasyonun yaptığı hücre içi hasar olmaz. Lidokainin serebral metabolizmaya, hipotermideki gibi etkisi olduğu gösterilmiştir .
208

b* Lidokain, trombus oluşumunu önlemektedir. Lökosit ve trombositlerin damar endoteline yapışmasını önleyerek kan akımını düzeltmektedir .
208

11-BARBITÜRATLAR : Serebral olaylarda barbitüratların metabolizmayı yavaşlatıcı, hızlanan metabolizmanın zararlı etkilerini azaltıcı etkisinin gösterilmesinden, kafa travması, serebrovasküler olay gibi durumlarda barbitürat komanın uygulanmasından sonra, omurilik travmasında da kullanılması önerilmiştir . Barbitüratların, hipotermide olduğu gibi metabolizmayı bloke eden ajanların membran destrüksiyonunu engellediği varsayımlına göre etkili olduğu düşünülmektedir .
87

O l d f i e l d ve ark. (1982) geçici aort ligasyonu ile omurilik iskemisi yaptığı hayvanların bir kısmına thiopental vermiş, kontrol grubunda %100 parapleji olurken, barbitürat verilenlerde %40 parapleji olduğunu bildirmiştir . Barbitürat uygulaması sonrası kompressif omurilik travmasının histolojik 87,255 87 görünümünde ve SEP lerde de düzelleme olduğu bildirilmiştir.

12-ENZİMLER : Omurilik travması sonrası santral aksonların

uzayamaması, oluşan skara bağlanmak istenmiştir. Eğer skar dokusu aksonların uzamasını engelliyorsa, skarı önleyici veya parçalayıcı ilaçların kullanılması, rejenerasyon için ilk koşul olacaktır. Bu amacıyla W i n d l e ve ark 1956 da steroidleri ve piromen adlı bakteriyel kökenli pirojenik bir polisakkaridi kullanmıştır. Omurilik kesisinden sonra verilen piromenin bağ dokusu ve glial skarı engellediğini histolojik olarak göstermiş, elektrofizyolojik olarak ta impuls geçisi olduğunu belirtmiş, ancak hayvanların nörolojik tablosunda bir değişiklik 154
olmamıştır .

Daha sonraki yıllarda skar dokusunu azaltmak amacıyla intratekal 122,234,261 234 veya travma yerine perkütan olarak verilen tryesine, hyaluronidase, elastase gibi enzimlerin kollajen 122,261 skarın yoğunluğunu azalttığı , hayvanların motor fonksiyonunu, SEP leri ve histolojik görünümlerini düzelttiği söylenmiştir. Özellikle Sovyetler Birliği'nden gelen bu bildiriler, Sovyetler'e A.B.D.'den büyük bir hasta akımının olmasına ve çalışmaların diğer bazı laboratuarlarda da tekrarlanması yol açmıştır. G u t h ve ark. (1980) aynı enzimleri 92 siccanda topikal olarak ve 15 gün süreyle kullanmış, ancak hiçbirisinin patolojik, elektrofizyolojik ve motor fonksiyon sonuçlarını 154 değiştirmedigini bulmuştur . Aynı olumsuz sonuç başka araştırmacılar tarafından da bildirilmiştir . G u t h ve ark. daha önce bildirilen sonuçların, siccanda yapılan kesilerde sıkça rastlanabilen incomplet kesixe bağlı olduğunu iddia

154
etmektedir .

13-THYROTROPINE RELEASING HORMONE (=TRH) : Fetal ve yeni doğan SSS nin gelişmesinde gerekli olduğu söylenen tiroid hormonlarının, ayrıca yaralı aksonların rejenerasyonunda da rol aldığı 163,197,249,264,305,306 söylemiştir

Tiroid hormonlarının ve özellikle TRH nin omurilik travmasında etkisi şu iki mekanizmaya bağlanmaktadır:

a* SSS rejenerasyonunu arttırmaları. Kiernan'a göre (1979) tiroid hormonları gelişmekte olan SSS de protein sentezini artırır . Daha sonra herhangi bir şekilde dejener olup ta rejener olacak olan bir akson, immatür metabolik düzeye geri döner ve yeniden tiroid hormonlarına yanıt verir bir duruma 197,326 gelir .

b* Holladay ve ark.na göre (1978) TRH bir parsiyel opiat antagonistidir. Ancak naloxone gibi ağrıyi artırıcı etkisi yoktur . Endojen ve eksojen opiatların birçok otonomik ve davranışsal etkisini düzeltir. Bu yüzden psikiyatrik hastalıklarda, özellikle depresyonda kullanılmasını önerenler olmuştur . Ayrıca TRH in endotoksik ve hipovolemik şokta naloxone gibi 103 etkili olduğu görülmüştür . Hipofizdeki tirotropin sekresyonunu düzenleyen bir tripeptid olan TRH nin etkisinin, SSS de bu hormonal etki dışında bir yolla olduğu genellikle kabul edilmektedir .

Nöronal rejenerasyonu arttırmasından ötürü ilk kez Harvey ve Slobinik (1967) L-thyroxine'in sıçan omurilik travması

aksonal rejenerasyonuna etkisini araştırmış ve olumlu etkisini
163 bulmuştur . Ancak daha sonra T a t o r ve ark. I₃ ve I₄ ün
305 deneysel omurilik travmasına etkisinin olmadığını . ancak TRH
305 in yararlı olduğunu bulmuşlardır' . Farklı grup hayvanlarda
TRH, antioksidan ilaçlar, dexamethasone ve naloxone'un
etkilerini araştıran F a d e n ve ark., 2 mgr/kgr İV bolus ve 6
saat süreyle 2 mgr/kgr infüzyon şeklinde TRH verdikleri grubun,
106 tüm diğer gruptardan daha çok iyileştiğini görmüşlerdir .
Ayrıca TRH travma sonrası oluşan hipotansiyonu da engellemiştir.
103
tir .

TRH in insanlardaki yan etkileri sık idrara çıkma ve vücutta
kızarıklıktır. Büyüük yan etkileri olmadığından insan omurilik
106,316 travmasında da kullanılması için çalışmalar vardır .

14-KORTİKOSTEROİDLER : Kortizonun insanlardaki kafa travma-
larında ve omurilik travmalarında kullanılmasının iki nedeni
41
vardır :

1* Kortizonun beyin tümörlerindeki ödemeye yararlı etkisi göste-
225
rilmüştür .

2* Kortizonun SSS travmalarında yararlı olduğuna ait birçok
deneysel çalışma vardır. Ancak insan SSS travmalarında karşılaş-
tılmalı çalışmaların sayısı azdır ve kortizonun insanlardaki
kranyospinal travmalarda yararı herkes tarafından kabul edilen
bir durum değildir. C o o p e r ve ark (1979) insan kafa
travmalarında yaptıkları çift kör bir çalışmada plasebo ve
58 deksamethazon arasında bir fark bulamamıştır .

Hayvanlardaki omurilik travmalarında kortizonun fonksiyonel
31,88,145,239
düzelmeyi sağladığı , omurilik iletimini düzeltti-
247,345 7,157,345
gi , DKA ni arttırdığı , omurilik biyokimyasını
7,37,39,40,157,345
düzelttiği bildirilmiştir. Kortizonu omurilik
yaralanmalarında yararlı bulan çalışmacılar, bunu şu nedenlere
bağlamışlardır:

a* Omurilik Ödemini azaltması : Bunu sodyumun idrardan atılımını
sağlayarak diürez ile veya hücresel elemanların yapısal bütünlü-
+
ğünü koruyarak yapar. Böylece hücre içine su ve Na girişi
önlerek hücre şişmesi engellenir. Ayrıca mikrovasküler
46,47,88,340
büyünlüğü koruyarak da vazojenik ödem önlenir .
221
Omurilik Ödemini etkilemediğini söyleyenler de vardır .

b* Kateşolamin metabolizmasını etkilemesi : Osterholm,
kortizonun travma bölgesindeki NE konsantrasyonunu azalttığını
bulmuştur. Ancak HN u fazla etkilememiştir .
256
106,173

c* Pituiter endorfin salınımını inhibe etmesi .
7,157,345

d* DKA ni arttırması

340

e* Lizozom ve mitokondriaları hipoksik hasara karşı koruması

+

f* Elektrolit dengesizliğini önlemesi : Yaralı omurilikten K
221 ++
kaybını azalttığını , Ca metabolizmasını da düzelttiği-
39,40,345
ni söyleyenler olmuştur. Kobrine de kortizonun
yararlı etkisinin, elektrolit dengesizliğini önlemesinden geldi-
203
ğini söylemektedir .

g* Yaralanmanın açığa çıkarttığı serbest radikal reaksiyonları-
ni azaltması : Yaralı omurilikte damar dışına çıkan kanın

parçalanması ile hematin bileşikleri oluşur. Hematin bileşiklerinin katalizatör etkisi ve iskemi sonucunda serbest radikaller oluşur. Bunlar da membranı parçalayan olaylar zincirini başlatırlar. Kortizonun bu serbest radikalleri inhibe ettiğini söyleyenler olmuştur . Nitekim megadoz methylprednisolone (MPD) nin (30 mgr/kgr) serbest radikallerin yol açtığı membran lipidlerinin peroksidasyonunu inhibe ettiği, sinaptosomal $(Na^+ + K^+)$ ATPase aktivitesini artttırdığı, istirahat hiperpolaryasyonunu azalttığını ve omurilik motor nöronlarının antidromik aksiyon potansiyeli latanslarını kısalttığını saptanmıştır .^{76,24B,37,40,41,156}

İnsan ve hayvan SSS travmalarında kortizondan farklı sonuçlar alınmasının nedeni, şu iki soruya yanıt vermekle anlaşılabilecektir :

1# Kortizonun klinik olarak başarısız olmasına yol açan insan ve hayvan travmaları arasında ne gibi farklar vardır?

2# Kortizonun klinik olarak başarısız olmasına yol açan insan ve hayvanlardaki kullanım farklılıklarını nelerdir?

Deneysel çalışmalarda çok farklı travma yöntemleri uygulandığından ilk soruya yanıt, "peki büyük fark olmamalıdır" olacaktır. İkinci soru ise iki aşamada incelenebilir :

a) Dozaj : Bilindiği gibi deksamethazon/MPD oranı 1/5 şeklidedir. Deneysel çalışmalarda deksamethazon 0.7-6 mgr/kgr, MPD ise 0.6-30 mgr/kgr dozlarda kullanılmıştır. Burada üç çeşit dozdan söz edebiliriz:

Düşük doz kortizon 0.6-5 mgr/kgr MPD

Yüksek doz kortizon 15 mgr/kgr MPD

Megadoz kortizon 30 mgr/kgr MPD

Kortizonu intravenöz, intramuskuler uygulayanlar yanında
88
intratekal uygulamayı önerenler de olmuştur .

Deneysel çalışmalarında ve insanlarda düşük dozun yararlı
31,46,88,160,221 47,73,145
olduğunu , yüksek dozun yararlı olduğunu
247,340 38,39,40,41,156,157,239
, megadozun yararlı olduğunu

söyleyenler vardır . Diğer taraftan düşük doz ve yüksek doz kortizonun hiçbir yararı olmadığını söyleyenler de vardır
35,106,277

Hatta Faden ve ark. (1973) kortizonu zararlı bulduklarını,
kortizon verilen hayvanların genellikle ilk hafta içinde ve
106
pulmoner ödem sonucunda öldüklerini söylemektedir .

İnsan omurilik travmalarında şu ana dek yapılmış en iyi
karşılaştırmalı çalışma, Bracken ve ark. (1985) tara-
35
findan yayınlanmıştır . Yazarlar 1.4 mgr/kgr (yaklaşık 100 mgr)
MPD ile 14 mgr/kgr (yaklaşık 1000 mgr) MPD yi hasta geldiğinde
hemen İV bolus enjeksiyon şeklinde vermiş, daha sonra 10 gün
sureyle her gün aynı dozdan birer kez İM yapmışlardır. Bu düşük
ve yüksek doz grupları arasında fonksiyonel sonuç olarak bir
fark bulamayan çalışmalar, yalnızca yüksek doz kortizon veri-
35
lenlerde yara iyileşmesinin uzun sürdüğünü saptamışlardır .

Braughler ve Hall (1985) deneysel çalışmalarındaki
gözlemlerine dayanarak, kortizonun megadoz (30 mgr/kgr MPD, 6
mgr/kgr deksamethazon) dışındaki dozlarda verilmesinin iyi sonuç

38,39,40,145,156,157
vermeyeceğini , 15 mgr/kgr MPD vermekle, 0.7
mgr/kgr MPD vermek arasında bir fark olmayacağı iddia
etmektedirler .
41

Yani SSS travmalarında kortizonun etkisi doza bağlıdır. Diğer taraftan 30 mgr/kgr dan yüksek dozdaki MPD (60-90 mgr/kgr) paradoxal olarak omurilik biyokimyası ve kan akımını kötülestirir
41,157
denmektedir . Örneğin 90 mgr/kgr MPD nin, lipid perok-
157
sidasyonunu artttirdiği gösterilmiştir .

b) Süre : Hayvan çalışmalarında kortizon uygulaması, genellikle ilk 1 saat içinde başlatılmaktadır. İnsanlarda bu kadar kısa süre içinde uygulama genellikle mümkün olmamaktadır. Ancak insan omurilik travmalarında da kaza yerinde kortizon başlayanlar
41
vardır .

Kortizonun başlama zamanı dışında ne kadar süredürüleceği konu-
340 35,145
sunda da tam bir görüş birliği yoktur. 21 gün , 7-14 gün
239,329 277 41,156 106
, 5 gün , 24-48 saat , yalnızca 4-6 saat
kullanılmasını önerenler olmuştur. Faden ve ark. omurilik
iskemisi 4-6 saat süredüğünden 4 saat vermenin yeterli olacağını
106
iddia etmektedirler .

İnsanda MPD nin plazma yarı ömrü 2.4 saat, deksamethazonun yarı ömrü ise 3.3 saattir. MPD nin deney hayvanlarında doku konsan-
trasyonlarının ölçülmesi ile yarı ömrünün 3 saat olduğu belir-
41
lenmiştir . Braughler ve Hall, MPD nin doz eğrisini şu şekilde çizmektedir : ilaç 30 dakika sonra bir tepe yapmakta, 2 saat sonra bu tepe değerinin yarısına düşmektedir.

Ancak MPD nin deksamethazondan büyük üstünlüğü olduğuna dair bir
145 çalışma yoktur . MPD nin tercih edilmesinin nedeni, etki süresinin daha çabuk olmasıdır. Yukarıda belirtilen yarılanma süresine bakarak, kortizonun 2 saat sonra tekrarlanması öneril-
41 mektedir . Br a u g h l e r ve H a l l (1985) bu bulgulara dayanarak aşağıdaki şemayı önermektedir:

Başlangıçta İV olarak 30 mgr/kgr MPD veya 6-15 mgr/kgr deksamethazon. 2 saat sonra 15 mgr/kgr MPD. Daha sonra her 6 saatte bir 15 mgr/kgr MPD. Bu uygulama 24-48 saatte kesilecektir.

Bu doz şemasını uygulayan çalışmalar, travma sonrası fonksiyonel sonuçlarda, impuls iletiminde, motor nöron hipereksitabilitesinde, DKA da, Ca metabolizmasında düzelleme olduğunu sapt-
41,157,239,247,345 müşlardır .

Diğer taraftan kortizonun immünosupresyon, peptik ulkus oluşumu, kanama, glikoz ve azot metabolizmasını bozma gibi yan etkileri, daima uzun süreli kullanımında görülmektedir. Yani kortizonun yan etkileri, ilacın süresiyle ilgilidir, yüksek ya
41 da alçak dozda verilmesiyle ilgili değildir . N o v a k ve ark. yan etkilerin, tek doz İV MPD verilmesiyle daha az olduğunu bildirmiştirlerdir . G r e e n ve ark. ise omurilik yaralanması sonrası görülen gastrointestinal sistem kanamasının, steroid vermekten çok doğrudan yaralanmaya bağlı olduğunu iddia
145 etmektedir .

15-DIMETHYL SULFOXİDE (=DMSO) : DMSO kağıt hammaddesinin bir türevidir. Odunun hücrelerini birbirine bağlayan "lignin" in bir

derivesidir. Bu nedenle üretime kolay ve ucuzdur. İlk olarak bir endüstriyel solvent olarak kullanılmıştır. Deriye sürüldüğünde hücrelere hasar vermeden hızla penetre olarak dolaşma katılırlar
²¹ ve saniyeler sonra dilde tadı duyulur .

1960 li yıllarda harika ilaç olarak tanıtılmış, yanıklar, arthritler, ağrı tedavisinde, tırnak batmasından, vasküler baş ağrısına dek birçok hastalıkta önerilmiştir. 1964-1965 yıllarında A.B.D. de 100.000 den çok hasta değişik nedenlerle DMSO kullanmıştır²¹. Ancak sonraları yapılan deneysel ve klinik çalışmalar, bu maddeyi harika ilaç olmaktan çıkarmış, sınırlı kullanım alanı olduğu belirlenmiştir. Bunda, çok ucuz olan DMSO nun çoğu ilaç firmasınca üretilmesinin ve satılmasının istenmemesi de rol oynamıştır²¹.

Günümüzde daha çok, dokuları düşük ısında saklarken donmasını önleyici -kriyoprotektif- olarak kullanılan ve hücre membranını çok kolay penetre edebilen DMSO nun etkilerini şöylede sıralayabiliriz:

a* Diüretik ve antiödem etki : Kan/beyin bariyerini ve dokuları kolayca geçerek hiperosmotik yapısı nedeniyle dehidratasyon yapmaktadır. Böylece beyin ve omuriliğin ödemini azalttığı söylenmiştir. Ancak bu hiperosmotik özelliğin zararlı olabileceği de
^{21,190} söylenmiştir . DMSO nun bir kez sinir dokusuna geçerse orada kalacağı, su çekici özelliği ile de daha fazla ödeme yol açacağı varsayımlı öne sürülmüştür. Ancak de la Torre, DMSO nun bariyeri aşıp SSS ne girdiğinde su çektiğten sonra sis-

72

temden uzaklaştığını göstermiştir . Yine aynı araştırmacı, omurilik travması sonrası DMSO verildiğinde, beyaz cevherde sıvı 72
birikiminin azaldığını göstermiştir . DMSO nun diüretik etkisi-
ni gösterenler, bunun hem Na hem de K ekskresyonu ile yapıl-
128,185,186,190
dığını söylemektedirler .

b* Vazodilatatör etki : Bir deri ve iskelet kası vazodilatatörü olan DMSO nun bu etkisinin, histamin benzeri bir etki olduğu 185
söyledenmiştir . Kafa travmasında, serebrovasküler oksijen-
lara bağlı infarktlarda ve omurilik travmasından sonra kan 72
akışını artttığı gözlenmiştir . DMSO ayrıca vazodilatatör 185
etkili bir prostoglandinin salınmasını da uyarmaktadır .

c* Antiaggregan etki : DMSO nun %40 lık konsantrasyonda pihtı oluşumunu durdurduğu veya geciktirdiği, kan damarlarında trombosit adezyonu, aggregasyonu ve trombus oluşumunu azalttığı 185
söyledenmiştir .

d* Antienflamatuar etki : DMSO, travma alanında lökosit 139,170
infiltrasyonunu ve doku granülasyonunu azaltmaktadır .

e* Antihipoksik etki : DMSO nun, oksijenin doku içine diffuzyonunu artttığı söylenmistir. Ya da dokunun oksijen tüketimini azaltmaktadır. Deneysel kardiak iskeminin, %10 luk DMSO ile azaldığı, hipoksik bırakılan sincanların DMSO verildiğinde daha 72
çok yaşadıkları gösterilmiştir .

f* Membran stabilizasyonu etkisi : DMSO, hücreleri mekanik hasardan korumaktadır. Bir in vitro çalışmada, glial hücre kültürlerine sonik vibrasyon verilerek yaratılmış kronik travma-

nın, DMSO verilen grupta hücre membranlarını parçalamadığı gösterilmistir. Hücre membranı parçalanması, omurilik yaralanmasındaki santral HN'un evrelerinden biridir. Ancak DMSO'nun bu etkisinin yaralı dokuda oluşup oluşmadığı bilinmemektedir

137, 170

325

g* Lizozomal enzim stabilizasyonu

Omurilik travmasında yararlı olabilecek bu etkileri dışında, yan etkileri de vardır. Goodnough (1980) DMSO'nun santral HN'u ve sitokrom oksidaz enziminin azalmasını engelleyemeyeceğini söylemiştir¹³⁷. Yazار, aşağıdaki etkileriyle, DMSO'nun omurilik travmasında zararlı olabileceğini söylemektedir:

a* Hemorajide artış

+ +

b* (Na +K)ATPase enzimi aktivitesini azaltmak

c* Glikoz kullanımında artış ve laktik asit birikimine yol açmak

d* Enerji rezervlerini azaltmak

Dela Torre ve ark. DMSO'nun deneysel omurilik travmasında SEP'lere ve motor fonksiyona yararlı olduğunu, ayrıca histolojik olarak myelinli liflerde aksonal büzüşmeyi ve periaksonal genişlemeyi azalttığını göstermiştir⁷³. Kısacası DMSO beyaz cevheri koruyucu etkilidir. Rucker ve ark. ve Kajihara ve ark. da DMSO'yı omurilik travmasında yararlı bulduklarını bildirmiştir^{277, 290}.

DMSO'nun omurilik travmasındaki dozuna gelince; Rucker ve ark. travmadan 60 dakika sonra 0.623 gr/kgr, daha sonra 2 gün süreyle günde bir kez (1.gün 0.495, 2.gün 0.385 gr/kgr) vermek-

tedir . Kontrollu bir çalışma ile insan omurilik travmasında DMSO kullanan J a c o b (1982), kişisel görüşmemizde insanlarda ilk 1 saat içinde %40 lik solusyondan 2 gr/kgr IV bolus enjeksiyonu önermektedir . Daha sonra %10 luk solusyonda ve 6 saatte bir 1 gr/kgr olmak üzere 3 gün süreyle infüzyonun sürdürülmesini önermektedir. Çalışmacı insanlarda sık görülebilecek DMSO komplikasyonunun hemoliz olduğunu ve idrarın kırmızı renkte 186 çıkabileceğini bildirmektedir .

16-NALOXONE : Naloxone, bir opiat reseptör blokeridir. Vücut içindeki morfin analoğu olarak bilinen endorfinlerin ve morfinin 226 spesifik bir antagonistidir . Bu nedenle ve öncelikle narkotik bağımlılığının tedavisinde ve tanısında kullanılır . Ayrıca 18 nalorfin, pentazosin gibi ilaçların depressan ve disfonksiyonel etkilerini önler. Alkol, barbitürat, benzodiazepin entoksikasyonlarında da kısmen yararlı olur .

Naloxone'un SSS ne etkileri başlıca iki grup altında incelenebilir:

a* Nöronal fasilitatör etki : Naloxone, aynı zamanda bir GABA antagonistidir. Endorfinlerin epileptik deşarj yapma potenslerinin naloxone ile önlediği söylenmiştir. Kısacası, endorfinler nöronal aktiviteyi inhibe ederken, naloxone bunların etkisini 210 antagonize eder . Koma ve omurilik disfonksiyonu gibi nöronal inhibisyonun bulunduğu durumlarda, bu inhibisyonun endorfinlerle 298 olduğu ve naloxone tarafından engelleneneceği iddia edilmiştir Sonuçta, anestezistler nasıl narkotiklerin etkisini ortadan

kaldırmak için naloxone kullanıyorsa, biz de koma, stroke ve omurilik travmasında endorfinlerin etkisini ortadan kaldırmak
18,63,125,298,334
için naloxone kullanmalıyız diyenler vardır .

Şizofrenlerde ve manik depressiflerde BOS ta endorfinler yüksek bulunmuştur. Bu amaçla naloxone verilen şizofrenlerde, halusinasyonlarda %25-30 azalma olmuştur. Ancak bazı araştırmacılar buna karşı çıkmakta, bir endojen nöroleptik denebilecek olan gamma endorfinin daha yararlı olduğunu iddia etmektedirler. Nitekim naloxone'un normal kişilerde de halüsinosyonlar yaptığı bildirilmiştir 125,226

Naloxone'un ağrıyi arttırma özelliği vardır. Bir görüşe göre akupunktur, endorfin salgılama, endorfinler de ağrıyi azaltmaktadır .

b* SSS de vazodilatatör etkisi : Naloxone'un SSS damarlarında vazodilatasyon yaptığı birçok araştırmacı tarafından bildirilmiştir 18,53,166 . Ayrıca endorfinlerin düz kas reseptörleri üzerindeki etkileri, sığan vaz deferensi ve domuz ileumunda gösterilmiştir . Eroinmanlarda, eroin enjeksiyonlarından sonra karotid sifonunda anjiografik olarak daralma olduğu gösterilmiştir. Başka hiçbir neden olmaksızın hemipleji gelişen 9, paraplegi gelişen 1 eroinman tanımlanmıştır. Naloxone'un bu hastalarda kesin endikasyonu olduğu bildirilmiştir 125 .

Vazodilatasyon yapmasından dolayı naloxone tıkeyici serebrovasküler olaylarda , kafa travmalarında , omurilik yaralanmalarında 11,104,105,106,107,115,116,173,176,315,343 kullanılır .

mış, olumlu ve olumsuz sonuçlar alınmıştır.

c* Kardiovasküler sisteme etkileri : Endorfinler kardiovasküler sistemde delta reseptörleri ile etkili olmakta, naloxone da bu etkiyi antagonize etmektedir. Naloxone'un pozitif inotrop etkiyle kardiak veriyi artırdığı, ayrıca her türlü şokta yararı-
63,173
lı olduğu bildirilmiştir . Yani naloxone, sistemik arter basıncını artırmakta, hatta bazen hipertansif krizler yarata-
18,63,106,173,226
bilmektedir . Kardiak veriyi artırmاسının, omurilik travması sonrası gelişen ve sistemik hipotansiyonun eşlik ettiği iskemiyi önlemede yararlı olacağının iddia edilmiş-
105,173
tir .

d* Hormonal etkileri : Naloxone'un plazma LH, FSH, ACTH, kortisol düzeylerini artırdığı, plazma prolaktinini düşürdüğü iddia
210,226
edilmiştir .

Naloxone'un omurilik travmalarında kullanımına gelince; A t w e h
ve K u h a r'ın (1977) sıçan omurilik ve medulla oblongatasında opiat reseptörleri olduğunu otoradyografik olarak göstermesinden
13
sonra , deneysel omurilik yaralanmalarında naloxone kullanımı
104,105
1979 da F a d e n ve ark. tarafından başlatılmış , etki mekanizması ve dozaj konusundaki tartışmalar sürerken, ilk kez 1985 yılında F l a m m ve ark. tarafından insan omurilik trav-
116
malarında kullanılmıştır .

Omurilik yaralanmalarında naloxone'un yararı, şu mekanizmalar-
dan biri veya birkaçı ile olmaktadır:

a# OKA ni artırması : Omurilik travması ile endorfinlerin

salgılanlığı, bunların da hem sistemik hipotansiyon, hem de ^{104,105,106} santral vazokonstriksiyon yaptığı iddia edilmiştir.

Sempatektomi yapıldığında OKA'nın arttığını söyleyen bazı yazarlar ise, sempatetik ganglionların endorfinlerden zengin olduğunu, sempatektomi ile endorfin salınmasının durduğunu vurgulamaktadırlar. Omurilik travması sonrası oluşan OKA azalmasının, naloxone ile önlediği, SEP'lerin de düzeldiği gösteril-^{105,106,343} miştir.

Atweh ve Kuhar'ın gözlemleri, omurilikteki Rexed lamina I ve V'te met-enkephalin ve leu-enkephalin'lerin yüksek ¹³ konsantrasyonlarda bulunduğu şeklindedir. Bilindiği gibi bu laminalar, travma sonrası gelişen santral gri cevher hemorajisinin hemen yanındadır. Yaralanmanın bu bölgedeki endorfinleri doku içine dökmesi olasıdır. Nitekim servikal omurilik yaralanmasından sonra serum beta endorfin immünonoreaktivitesinin arttığı ¹⁰⁵ bulunmuştur. Enkefalinlerin salınmasını provoke eden faktörler olduğu gibi, bunlardan birisinin NE gibi nörotransmitterler ⁺ ¹⁰⁵ veya ekstrasellüler K artışı olduğu iddia edilmiştir.

Ancak omurilik yaralanması sonrası OKA artışının ikincil bir fenomen olduğunu söyleyenler de vardır. Eğer travma ile endorfinlerin lokal konsantrasyonu artarsa, naloxone bu etkiyi inhibe edecek, nöronal iletim ve aktiviteyi artıracaktır. Metabolik ¹⁰⁵ gereksinimler artınca OKA artacaktır.

b# Lizozomal enzim stabilizasyonu : Hemorajik şokta görülen bu ⁶³ etkinin, omurilik travması sonrası da olduğu, böylece lizo-

zomların parçalanması ile olan proteolizisin, naloxone ile
210 engellendiği iddia edilmiştir . Naloxone, bu stabilitatif etkiyi, serbest radikallerin meydana getirdiği lipid peroksidasyonunu inhibe ederek yapmaktadır.

c# Nöronal inhibisyonu antagonize etmek : Omurilik travması sonrası salgılanan endorfinlerin yaptığı nöronal inhibisyonu an-
tagonize eder . Bu durumda naloxone'un kronik omurilik ya-
ralanmasında da etkili olması gereklidir. Winter bu nedenle
naloxone ve hiperbarik oksijeni birlikte kullanmış, kronik
omurilik yaralanmalı insanlarda spastisite gibi semptomlarda
334 daha belirgin olmak üzere yararlı bulduğunu söylemiştir .

Naloxone'un dozuna gelince; morfin zehirlenmesinde ve şokta,
insanlara 0.4 mgr ($6\mu\text{gr}/\text{kgr}$) gibi küçük dozlarda verilmektedir. Naloxone'un
omurilik travmasında yüksek dozlarda önerilmektedir. Naloxone'un
serum yarılanma süresi 60 dakikadan küçüktür. Bu nedenle İV
bolus enjeksiyondan sonra infüzyonun sürdürülmesinin uygun ola-
343 cağı söylenmektedir . Deneysel omurilik travmalarında 1,2,10
mgr/kgr dozlarda, intravenöz, intraperitoneal olarak kullananlar
105,115 olmuş, 10 mgr/kgr dozun daha etkili olduğu söylemiştir
343

. Diğer taraftan 10 mgr/kgr lık doz, endorfinlerin etkisini
bloke etmek için bilinen opiat reseptörlerinden mü reseptörünü
etkilemeye yetecek dozun çok üstündedir. Bu nedenle omurilik
travması ile ilgili reseptörün delta reseptörü veya kappa re-
105 septörü olabileceği söylemiştir. Ya da naloxone'un omurilik
travmasındaki etkisi, anti-endorfin etkisi dışında bir yolla ol-

maktadır.

İnsan omurilik travmali 29 hastada naloxone kullanan F l a m m ve ark. (1985), 20 hastaya 0.14-1.43 mgr/kgr, 9 hastaya ise 2,7-5.4 mgr/kgr lik başlangıç dozları uygulamış, daha sonraki 48 saat içinde başlangıç dozunun %20 si kadar infüzyon dozlarını 6 saatte bir vermiştir . Yazarlar daha yüksek doz ilaç uygulanan hastalarda daha iyi sonuç alınma olasılığının fazla olduğunu söylemektedirler. Ancak sonuçları, naloxone'un insan omurilik travmasında kesin yararlı olduğunu söylemeye yetecek kadar istatistik değer taşımamaktadır .

Naloxone'un yan etkilerine gelince; En iyi bilinen ve kabul edilen yan etkisi, ağrı duyusunu artttırmasıdır . Bunun dışında C o h e n ve ark., 4 mgr/kgr in üzerinde naloxone verilen normal gönüllülerin %10 unda hipertansiyon ve solunum hızında artış saptamışlardır . Ayrıca tek doz naloxone'un bellek yeteneğinde geçici bir azalma yaptığını da söylemişlerdir . Ancak F l a m m ve ark. 29 omurilik travmali hastaya verdiği düşük ve yüksek doz naloxone'un önemli bir yan etkisi olmadığını, yalnızca 4 olguda uygulama sırasında ağrıda artış olduğunu bildirmiştir .

3-DİĞER NONOPERATİF TEDAVİLER

1-HİPERBARİK OKSİJEN : Omurilik travmasından birkaç saat sonra
164,165
gelişen şiddetli doku hipoksisini önlemek amacıyla oksijen tedavisi önerilmiştir. Ancak yüksek basınçlarda verilen oksijenin, omurilik dokusuna penetre olabileceği gösterilmiştir. Bu yüzden 2-3 atmosfer basınçta %100 konsantrasyonda O₂ in 128,169,256,299 174,299
deney hayvanlarındaki ve insanlardaki omurilik travmasına yararlı olduğu bildirilmiştir. Hiperbarik oksijen tedavisinin akut yaralananmalar dışında kronik olgularda 174,334
da yararlı olacağını söyleyenler olmuştur . Holbach ve ark. (1977) kronik omurilik yaralanmalı 13 hastaya 1.5 atmosfer basınçta saf oksijeni 40 dakika süreyle ve 10-15 kür halinde uygulamış, 6 sonda özellikle motor fonksiyonlarda olmak 174
üzere düzelleme olduğunu bildirmiştir .

Yüksek atmosferde oksijen verilmesi dışında, suni kan olarak tanıtılan "oksijenlendirilmiş fluorokarbon solusyonu" (Fluorosol DA %20) çok yüksek miktarlarda oksijen taşıyabilme kapasitesi olduğundan travma yerini irrige etmek şeklinde 161,257
kullanılmıştır .

2-HİPOTERMİ : Omurilik travmasının yaptığı metabolizma artışını azaltmak savıyla uygulanan lokal hipoterminin, deneysel 1,46,88,256,303,310
çalışmalarda yararlı olduğu 31,256 veya etkisi olmadığı, hatta zararlı olduğu şeklinde çelişkili yayınlar vardır. Albin ve ark. (1968) 7°C ile -20°C arasında lokal hipotermi uygulamış, 100-500 ml/dakika yıkama hızları ve 2-3

saat yıkama süresinde çok iyi sonuçlar elde ettiğini bildirmiştir.
1

Yaralanmadan 6 saat gibi uzun süre sonra ve dura açılmak-
310
sızın yapılan hipoterminin de yararlı olduğu bildirilmiştir.

İnsan omurilik travmasında da hipotermiyi kullananlar olmuştur.

White ve ark. (1969) hipotermi uyguladığı 5 omurilik trav-
328

malı hastadan 3 ünün işleminden yarar gördüğünü bildirmiştir.

Hanssabout insan omurilik travmalarında lokal hipotermi
uygulaması için bir düzenek geliştirmiştir. 15 hastada travmadan

ortalama 8 saat sonra 6°C de serum fizyolojik 4 saat süreyle ve-
160

rilmiş, 10 hastada yararlı sonuç elde edilmiştir.

Hipotermının nöronal enzimatik olayları -lizozomların saldığı
enzimler, toksik serbest radikaller vb- ve hücresel metabolizma-
1,88,160,303

1 yi yavaşlatlığı , 0 gereksinimini azalttığı , NE
2 256

birikimini ve sonuçta santral HN oluşumunu azalttığı söyle-
miştir. Diğer taraftan hipoterminin nöronal dokuyu büzüştürerek
ve kan damarlarına vazokonstriksyon yaptıarak ödem azaltlığı-
88
ni iddia edenler de olmuştur . Ancak uzun süreli hipotermi kan
akımını çok fazla azaltabilir ve iskemi gelişebilir.

3-PERFÜZYON : Travma sonrası gelişen hipotetik toksik maddele-
rin uzaklaştırılması için omuriliğin yıklanması önerilmiştir
303,304,310

.Ancak omurilik perfüzyonunun hiç bir yararı olmadı-
277

ğını bildirenler de olmuştur . Tator ve Deecke travma uyguladıkları maymun omuriliğini hem soğuk hem de normal
ısında "Elliot's B solüsyonu" ile perfüze etmiş, normotermik per-
füzyonun, hipotermik perfüzyondan daha iyi olduğunu, ancak

perfüzyon yapılan her iki grubun da kontrollardan daha iyi olduğunu bildirmiştir . Rucker ve ark. ise (1981) köpeklerde 1.5 mm çapındaki bir kateteri subaraknoidal mesafede 10 cm rostrale ve kaudale sokmuş, Harvard tipi bir pompa ile %25 lik dekstrozu 4 ml/dakika hızla ve 1 saat sürede vermiştir. Çalışmacılar bu uygulamanın bir yararı olmadığını bildirmişlerdir .
277

4-ELEKTRİKSEL ALAN UYGULAMASI ve ELEKTRİKSEL STİMÜLASYON :
Elektriksel alanın sinir rejenerasyonundaki etkisi, 20.yüzeyin başından beri araştırılmaktadır. Teknolojinin gelişmesi ile yaşayan tüm doku ve hücrelerde, ölçülebilen bir elektrik voltaj farkı olduğu anlaşılmıştır. Bu voltajlardaki değişiklikler, değişik fizyolojik olaylarla ilişkili olabilmektedir. Yaşayan hücrelerde akımın elektronlarla değil, elektrolitlerle iletildiğini biliyoruz. Ayrıca fetal dönemde ya da daha sonra büyüyen sinirlerin uçlarına bir doğru akımın girdiğini ve bu akımın başlıca Ca^{++} iyonları ile taşındığını da biliyoruz . Kesilen sinirlerde nasıl bir elektriksel değişim olduğunu inceleyen Borgens, kesik sinir uçlarında da yeni oluşan sinir uçlarındaki akımların bulunduğu ve bunun uzun süre devam ettiğini bulmuştur. Daha sonra bu akımın arttırılmasının, rejenerasyonu aynı fetal dönemde olduğu gibi sağlayacağı düşünü-
lerek elektriksel alan uygulamasına girişilmiştir .
34

Borgens, lampreylerde elektriksel alan uygulaması ile rejenerasyon olduğunu gözlemiştir. SSS çok az sayıda nörondan

oluşan, omuriliği de bu tek tek nöronların uzantısı şeklinde olan ve kan akımı olmayan bir ilkel vertebralı olan lampreylerde, omurilik kesisi yapmışlar, daha sonra rostralde (+), kaudalde (-) kutuplar olacak şekilde kesik bölge çevresinde bir elektriksel alan uygulamışlardır. Bu koşullarda çoğu kesik aksonun rejenerere olduğunu göstermişlerdir. Yöntemin diğer kemir-
34
genlere ve memelilere uygulanması için çalışmalar sürdürmektedir

Ayrıca elektriksel veya elektromanyetik stimülasyonun da sinir rejenerasyonunda etkili olabileceği yolunda gözlemler vardır
200
201, 205

Kobrine ve ark. (1978) siyatik sinir stimülasyonu ile bölgesel OKA'nın arttığını göstermişlerdir.
205
Yazarlar, kan akımı artışını, nöronal ve internöronal gölcüklerdeki sinaptik sistemlerin metabolik gereksinimlerinin artmasına bağlamaktadırlar. Pulse eden elektromanyetik enerjinin de rejenerasyonu artırdığı bildirilmiştir.
201

4-OPERATİF TEDAVİ

1-DEKOMPRESSİF CERRAHİ : Omurilik travması sonrası dekomprssif cerrahinin uygulanması yeni değildir. Hatta omurilik travmalarına ilk tedavi girişimlerinden birinin dekompressif laminektomi olduğunu söylemek te yanlış olmayacağındır. Ancak dekompressif girişimlere bilimsel yaklaşım daha sonra gelmiş, dekompreşyon ile nörolojik düzelmeyin ilişkisi ancak son 15 yıl içinde araştırılmıştır. Yani dekompressif laminektomi yıllarca yapılmış, bu konudaki deneysel çalışmalar daha sonra yapılmıştır.

Yıllar sonra deneysel çalışmaların başlamasının nedenlerinden biri, laminektominin yararı konusunda kuşkuların doğmasıdır. 1956 da Comarr ve Kaufman, 858 omurilik travmali hastada laminektomi olan ve olmayanların sonuçlarını karşılaştırmıştır. Laminektomi yapılanların %16'sının, yapılmayanların 55 %29'unun düzeldiğini bildirmiştirlerdir. Benzeri sonuçlar başka 243,323 kaynaklardan da gelmiştir. Bu nedenle, daha sonraki 114 yıllarda laminektomi endikasyonları sınırlandırılmıştır.

Bir genellemeye yapılacak olursa, günümüzde insan omurilik travmalarında İngiltere'den Guttmann'ın başlattığı tutucu tedavi/kapalı redüksiyon akımı ile, A.B.D. den Frankel'in başlattığı acil cerrahi girişimle dekompreşyon ve stabilizasyon 54 sağlanması şeklinde iki büyük akım vardır. Dekompreşyonun iskelet traksiyonu, önden° girişim ve arkadan girişim yollarından 114 hangisi ile yapılacağı da tartışılmalıdır. Diğer taraftan kronik paraplezik ve quadripleziklere geç dekompreşyon yapan ve

iyi sonuç aldığıını söyleyenler de vardır . Burada amaç, omuriliğe bası yapan ve mikrovasküler iskemiye yol açan küçük kemik
fragmanlarının ve disk parçalarının çıkarılmasıdır .

İnsan omurilik travmalarında, özellikle inkomplet omurilik lezyonlarında kompresyon olup olmadığı konusunda daha titiz bir araştırmmanın yapılması ve elden geldiğince erken dekomprsyona -traksiyon, anterior dekompresyon ve posterior dekompresyon yöntemlerinden biri ile- gidilmesinin uygun olacağı görüşü yaygınlaşmaktadır.

Biz burada bazı deneysel yaklaşımlardan kısaca söz etmek istiyoruz. D o l l a n ve ark. (1980) deneysel klip kompresyonu yaparak dekompresyonun yararını incelemiştir . Kompresyon kuvvetinin ve süresinin nörolojik sonucu etkilediğini, ancak sürenin daha belirleyici olduğunu bulmuşlardır. Laminektominin 155,172 OKA ni attırdığı da gösterilmiştir . Genel kanı, direkt çarpma -kontüzyon- travması sonucu olan membran destrüksiyonu ve bunu izleyen sekonder patolojik süreci dekompresyonun etkileyemeyeceği, ancak tümörlerde olduğu gibi yavaş kompresyonların kaldırılmasının özellikle OKA da düzelse ve daha sonra impuls 203 iletiminde düzelse şeklinde yararı olacağı şeklindedir .

2-MYELOTOMİ : A l l e n, 1911 de ilk ağırlık düşürme deneysel travmasını yaptığı hayvanlara myelotomi de yapmıştır . 540 gm-cm travma yapılan 5 köpekt en 5 inin de myelotomiden yararlandığını bildirmiştir. A l l e n bunun ardından 1914 te omurilik travmali 3 insana da myelotomi yapmış, 2 sinde iyi sonuç aldığıni

bildirmiştir.

Daha sonra 1923 te M c V e i g h, 1953 te F r e e m a n ve W r i g h t deneysel omurilik travmalarında myelotomi yapmış ve olumlu sonuçlar almıştır . A l l e n'in ilk olumlu sonuçlarından çok önce C u s h i n g 1905 lerde insanlarda myelotomiyi önermiştir. Bunun Üzerine insan omurilik travmasında myelotomiyi kullananlar olmuştur . B e n e s, 1968 deki bildirisinde 20 hastaya myelotomi yaptığını, çoğunun düzeldiğini söylemiştir .

Myelotominin nereye ve hangi derinlige dek yapılmasınıın uygun olacağı da tartışmalıdır. O s t e r h o l m, travma düzeyinin 4 segment üstünde myelotomi yapmış, bu durumda bile santral HN un azaldığını bildirmiştir. Yazar bu etkiyi CA lerin omurilik santralinden atılmasına bağlamıştır .R i v l i n ve T a t o r (1979) bir grup hayvanda santral kanala dek, yanı yarı derinlikte myelotomi yapmış, bir gruba ise tam derinlikte myelotomi yapmıştır. İkinci grubun daha fazla yarar gördüğünü bildirmiştir .

Myelotominin yararlı etkisi, artmış intramedüller basıncın azalmasına , zararlı maddelerin , kan ve bakır elemanlarının , veya vazoaktif aminlerin atılmasına, açılan yüzeysinde oksijenle ilişkinin artmasına , aksonlar için zararlı olan santral kavitasyonun önlenmesine bağlanmıştır. Tüm bu görüşlere karşı çıkanlar, insize edilen omurilikten debride doku ile birlikte destrükte olmamış ve ileride işlev görebilecek

nöronal dokunun da çıkacağını ve myelotominin zararlı olacağını
302 söylemektedirler .

3-RİZOTOMİ : Arka kök/arka kordon sisteminin, travmatik HN dan sorumlu afferent arkus olduğunu söyleyen O s t e r h o l m travmadan önce, travma düzeyinde bilateral rizotomi yapmış ve 256 bunun santral HN u azalttığını gözlemiştir . Ancak travmadan sonra rizotomi yapan yoktur.

4-LASER UYGULAMASI : Parçalanmış sinir ve omurilik parçalarını, özellikle transekte omuriliği laserle yapıştırma tekniği, G r e- e n tarafından kullanılmıştır. 10.6 mikronluk CO₂ laserinin dokuları yapıştırdığını bildiren çalışmacı, fonksiyonel sonuçları 145 bildirmemektedir .

5-ANASTOMOZ ve TRANSPLANTASYON : Omurilik yaralanmasında, yaralı bölgenin proksimal ve distalindeki periferik sinirleri 211 anastomoz etme girişimleri olmuştur . Burada amaç frenik sinir gibi fonksiyonel Önemi olan bir sinirin kurtarılması veya travma bölgesinin distalindeki sinire antidromik olarak, proksimaldeki periferik sinirden girilerek aksonal rejenerasyonun sağlanması olmuştur. Bu girişimlerden olumlu sonuç elde edildiğini söylemek güçtür.

Ayrıca travma yerine sinir dokusu implantasyonu girişimleri de vardır. Travma yerine veya omurilik transeksiyonu bölgesine 337 periferik sinir , rejenerasyon potensi yüksek olan embriyonik 26,27,254 -fetal- nöronları implante edenler ve bu dokuların yaralı omurilik içinde yaşadığını, nöronların da aksonal

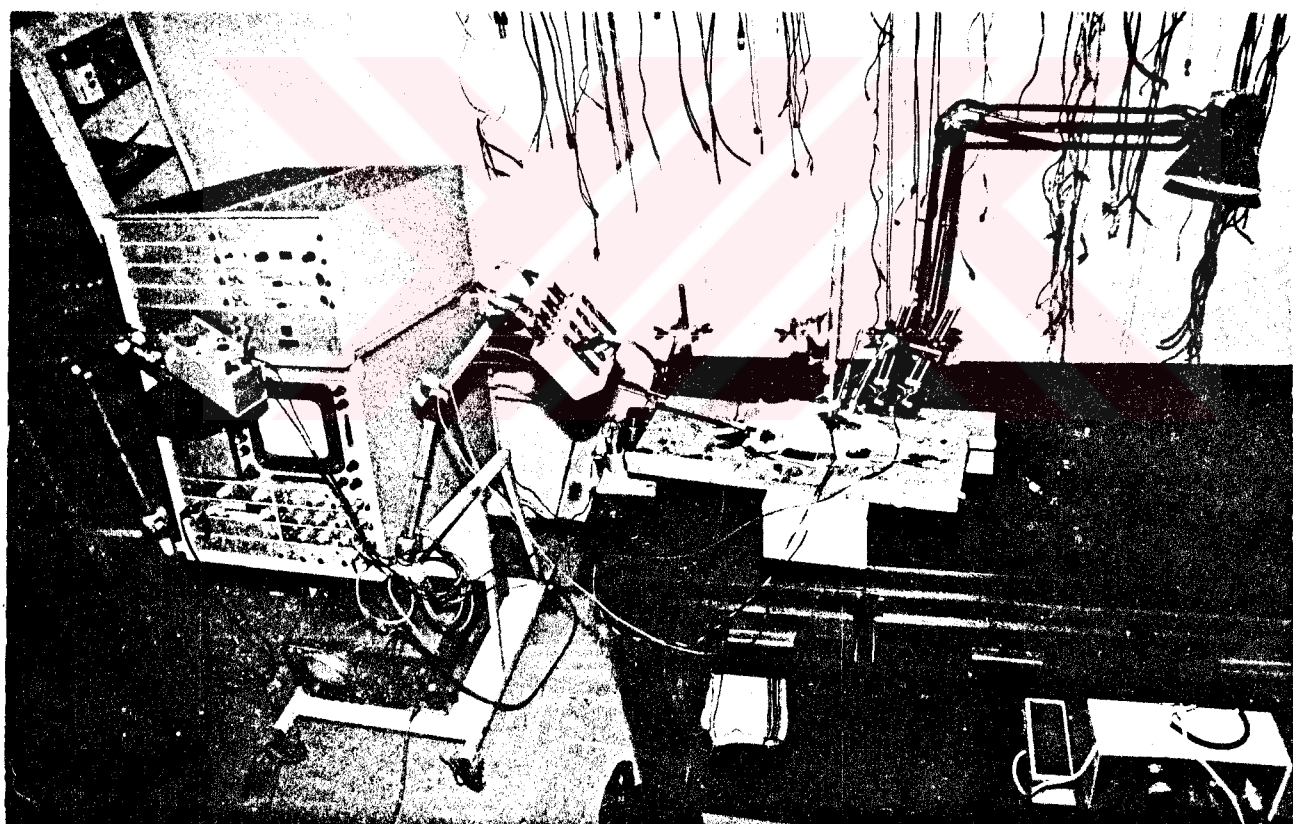
uzantıları verdiğini gösterenler olmuştur. Ancak elektrofiziolojik olarak ve fonksiyonel olarak tatmin edici sonuç alan olmamıştır. Kao, son yıllarda torakal 12 düzeyi altında travma geçirmiş kauda-konus lezyonlu insanları opere ederek periferik sinir graft'leri implante etmekte ve iyi fonksiyonel sonuçlar 192 aldığıını bildirmektedir .



İİ GEREÇ ve YÖNTEM

Çalışma E.Ü.Tıp Fakültesi Nöroşirürji Ana Bilim Dalı Nörofizyoloji Laboratuarında gerçekleştirılmıştır. Deney hayvanı olarak ağırlıkları 150-250 gram arasında değişen 56 adet beyaz sıçan "ratus albus" kullanılmıştır.

Sıçanlara 30 mgr/kgr sodyum pentobarbital (Nembutal) intraperitoneal olarak enjekte edilerek anestezi sağlanmıştır. İşlemin uzaması halinde hayvan uyandığında 2-3 mgr lik rapel enjeksiyonlar yapılmıştır. Hayvanlar anestezi döneminde bir seyyar masa lambası ile ısıtılmış, uzun süren spontan omurilik aktivitesi kayıtlamalarında bir rektal probe ile (Yellow Springs Instr.Co.)



Fotoğraf 3- Deney düzeneğimizin genel görünümü.

vücut sıcaklığı ve üst ekstremitelere bağlanan elektrodlar ile EKG kaydedilmiş ve solunum sayısı yazdırılmıştır. 10 dakikada bir yapılan ölçümle rektal ısı 37 ± 1 C, solunum hızı 80 ± 10 /dakika, EKG de kalp hızı 340 ± 20 /dakika arasında tutulmaya çalışılmıştır. Yine aynı grup hayvanlar sıçan disseksiyon tablasına yatırılarak sağ servikal bölgede operasyon mikroskopu yardımı ile (Zeiss OpMi 6) juguler ven disseke edilmiş ve 2 mm çaplı bir silikon kateter yerleştirilmiştir. Bu kateterden işlem boyunca serum fizyolojik infüzyonu yapılmıştır.

Daha sonra hayvan yüzüstü yatırılarak üst dorsal bölgede orta hat cilt insizyonu yapılmıştır. Operasyon mikroskopu kontrolunda paraspinal kaslar separe edilmiş ve 3 düzeyde spinoz çıkışlıklar ve laminalar alınarak 11-16 mm lik bir dura segmenti görülmüşdür. Bu aşamada durayı zedelememek için magnifikasyon arttırmış, daha sonra laminektomi sahası sıvı parafinle kapatılmıştır. (Fotoğraf 3 ve 4).

1-TRAVMA YÖNTEMİNİN GELİŞTİRİLMESİ : Önce epidural balon kompresyonu yapılmak istenmiş, ancak bulunabilen en ince Fogerty kateteri, sıçanın epidural bölgesine giremeyecek kadar kalın olduğundan vazgeçilmiştir. Daha sonra uçları konkavlaştırılan bir anevrizma klibi ile kompresyon yapılmak istenmiş, ancak elinizdeki anevrizma kliplerinin kompresyon kuvveti yüksek olduğundan omuriliği lasere etmiştir. Ayrıca klibin, kompresyon kuvvetini, omuriliğin her tarafına eşit olarak dağıtmama gibi bir sakıncası olmaktadır.

Adlandırma	Açıklama	Travma	Kayıt	İlaç	Denek sayısı
Tr 1,2	travma yönteminin geliştirilmesi spontan aktivitenin incelenmesi	değişik	yapılmadı	-	2
Sp 1,2,3		10 gm-cm	SpEMyelog	-	3
Sp 4,5		25 gm-cm	SpEMyelog	-	2
Sp 6		30 gm-cm	SpEMyelog	-	1
Sp 7		transek.	SpEMyelog	-	1
K 1..4	kontrol SEP	80 gm-cm	SEP cilt altı	izotonik	4
N 1..5	naloxone+SEP	80 gm-cm	SEP cilt altı	NAL.2mgr/kgr	5
K 1..10	kontrol SEP	80 gm-cm	SEP epidural	izotonik	10
M 1..10	MPD+SEP	80 gm-cm	SEP epidural	MPD 15 mgr/kgr	10
N 1..9	naloxone+SEP	80 gm-cm	SEP epidural	NAL.10 mgr/kgr	9
D 1..9	DMSO+SEP	80 gm-cm	SEP epidural	DMSO 2 gr/kgr	9
					TOPLAM
					56

Tablo 2- Çalışmada kullanılan hayvanların kısaltma isimleri ve üzette uygulanan işlemler.

3

Bunun üzerine A 11 e n'in klasik ağırlık düşürme yöntemi kullanılmaya karar verilmiştir. Yöntem, tarafımızdan imal edilen basit bir düzenekle uygulanmıştır. 50 cm uzunlukta ve iç çapı 3 mm olan sert plastikten bir tüp ve 2.7 mm çapında, 11 mm uzunlukta 1 gr ağırlıkta bir metal ağırlık ile 22 mm uzunlukta 2 gr ağırlıkta bir başka metal ağırlık kullanılmıştır. Silindirik ağırlıklar, tüp üzerinde açılmış olan 1 er cm lik mesafelerdeki deliklere sokulan küçük toplu iğnelerin çekilmesi ile düşürülmüştür. Ağırlık, dura üzerine 90° dik yerleştirilen, 3X3 mm boyutlarında ve 0.5 mm kalınlığında, omuriliğe uygun hafif konka-

vitesi olan çelik bir plaka üzerine düşürülmüştür. Hayvan bu sırada sıçan stereotaksi aygitina (Pharmaceutical Res.& Dev.Co.) bağlanmıştır. Ağırlık düşürme tüpü de bu aygitin fiksatifine monte edilerek laminektomi sahasına uzaklıği ve açısı ayarlanmıştır. (Fotoğraf 3 ve 4).

Travma yapıldıktan sonra spontan omurilik aktivitesi kaydedilecek olan hayvanların laminektomi sahasına sıvı parafin konmuş, SEP uygulanacak hayvanların ise sırt derileri sütüre edilmiştir. Sp1,2,3 numaralı hayvanlara 10 cm yükseklikten 1 gramlık ağırlık düşürülmüş (10 gm-cm), Sp4,5 e 25 cm yükseklikten 1 gramlık ağırlık düşürülmüş (25 gm-cm), Sp6 ya 30 cm yükseklikten 1 gramlık ağırlık düşürülmüş (30 gm-cm), diğer tüm hayvanlara 40 cm yükseklikten 2 gramlık ağırlık düşürülmüştür (80 gm-cm). (Tablo 2).

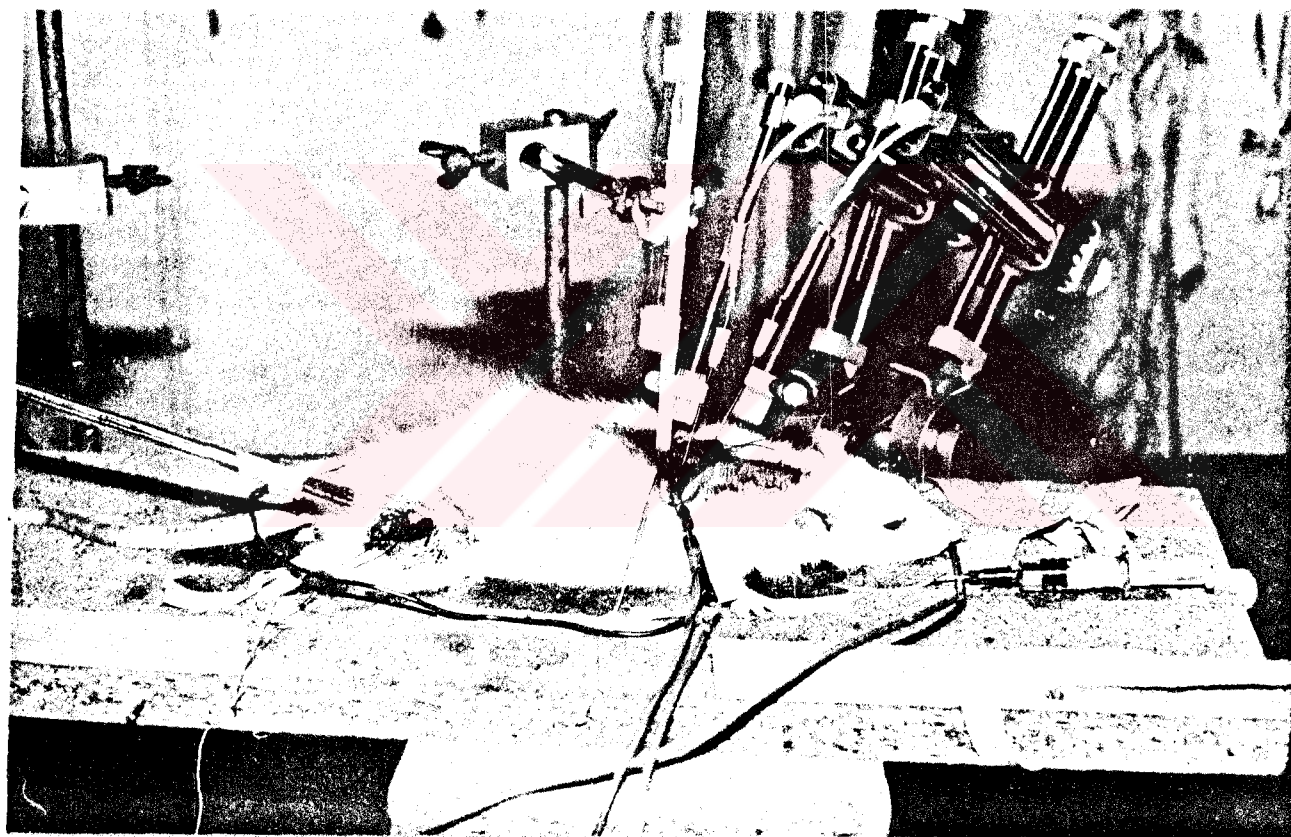
2-SPONTAN ELEKTROMYELOGRAM KAYIT KOŞULLARI : 6 sıçanda travma öncesi ve sonrası spontan omurilik aktivitesi incelenmiştir. 1 hayvanda ise omurilik kesisinden önce ve sonra SpEMyeloG elde edilmiştir.

Kayıtlar için Medelec MS 6 EMG aygıti kullanılmıştır. Uç açılığı 0.5 mm olan teflon kaplı çelik monopolar iğne elektrodlar, sıçan stereotaksi aygitinin yanına monte edilen mikromani-pülatorler yardımı ile milimetrenin 1/10 u basamaklarında ve durayı delerek omuriliğe sokulmuştur (Fotoğraf 4). Biri travma yerinin 1 cm proksimalinde, biri 1 cm distalinde olmak üzere iki adet aktif elektrod kullanılmıştır. Laminektomi mesafesinin he-

men rostralindeki interspinoz aralığa bir başka iğne elektrod sokularak referans elektrodu olarak kullanılmıştır. Sistem ve hayvanlar ayrı ayrı topraklanmıştır. (Şekil 16).

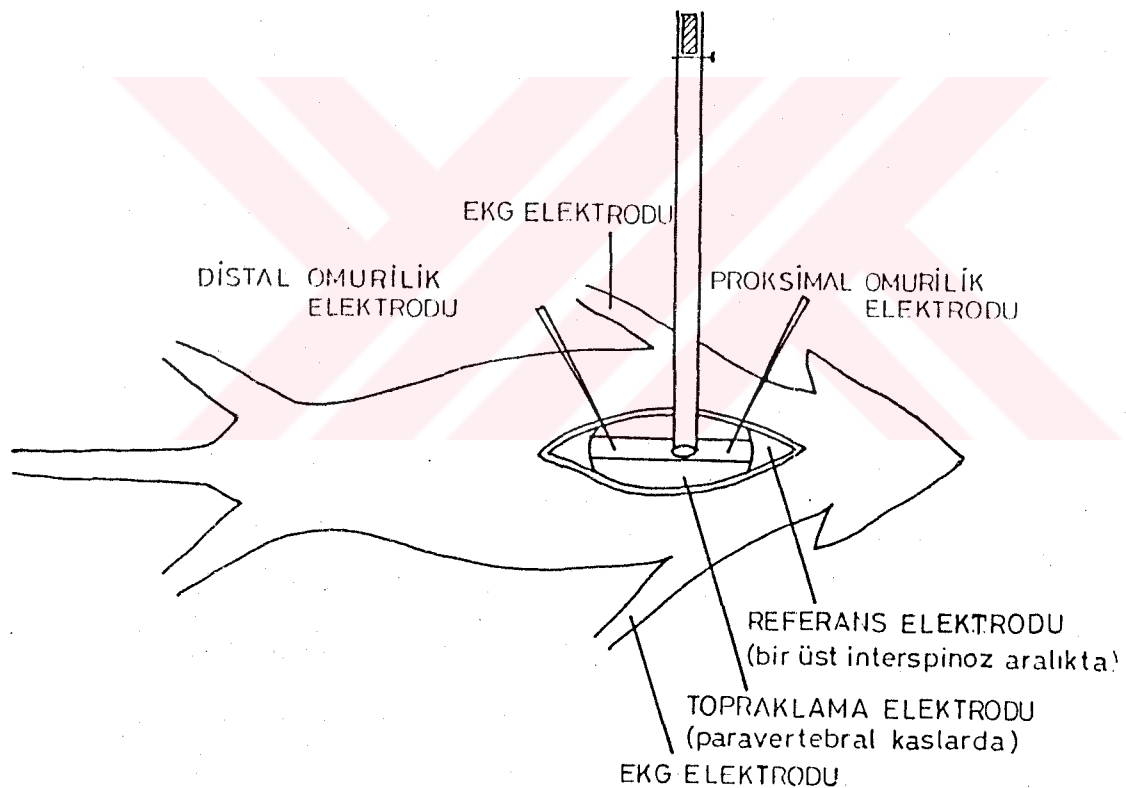
Tüm hayvanlarda omurilik içinde 1.5 mm derinlikte 15 dakika beklendikten sonra kayıtlar yazdırılmıştır. Bir hayvanda ise (Sp7) omurilik içinde 0.5 mm aralıklarla derinleşilerek yapılan kayıtlar incelenmiştir.

SpEMyeloG kayıtlarında EMG amplifikatörünün filtre değerleri



Fotoğraf 4- Spontan omurilik aktivitesi elde etmek için elektrodiların ve travma sisteminin yerleştirilmiş şeklini görüyorsunuz. Sağdaki enjektör, jugular ven kateterine bağlıdır. Sağ sıvıtik sinir ekspoze edilmiş ve EvEMyelog için bipolar stimülasyona hazırlanmıştır.

alt sınır 50 Hz, üst sınır 800-1600 Hz arasında olacak şekilde seçilmiştir. Sürekli kayıtlar yanısıra 50 ve 100 msın tarama süreli tek tek kayıtlar da yapılmıştır. Tüm kayıtlamalarda eş zamanlı olarak zaman kalibrasyon skaları ve EKG de yazdırılmıştır. (Şekil 19). Ancak kayıtların fotoğraf kağıdına yapılması, banyo edilmelerini gerektirmekte, bu da değerlendirmenin anında yapılmasını olanaksız kılmakta idi. Travmadan önce ve sonra kayıtlar tekrarlandıktan sonra insizyon yeri kapatılmıştır. Hayvan anesteziden çıktıktan sonra alt ekstremité motor fonksiyon



Şekil 16- SpEMyeloG kayıt koşulları.

skalaları değerlendirilmiştir. Travmadan 6 saat sonra ise juguler venden KCl enjekte edilerek sıçanlar öldürülmüştür. Daha sonra travma uygulanan omurilik segmentleri mikrodisseksyonla 4-5 cm lik bir parça halinde çıkarılmıştır. Parçalar histolojik inceleme için, 8/0 ipekle işaretlenmiş travma yerinden ve bunun 0.5 cm proksimal ve distalinden 2 şer adet kesit alınarak hematoksilen eozin ve demir oksit boyaları ile boyanmıştır. (Fotoğraf 9,10,11,12). Kesitlerde santral hemorajik nekroz yüzdesi, mikroskop altında, mikroskopun okülerine konan noktalar yardımı ile hesaplanmıştır.(Tablo 3). Santral HN yüzdesi ile travma şiddetinin ilişkisi, bir non-parametrik test olan "Wilcoxon signed-rank testi" ile araştırılmıştır .

3-SOMATOSENSORYEL UYARTILMIŞ POTANSİYEL (SEP) KAYIT KOŞULLARI :
48 sıçanda travma öncesi ve sonrası SEP kaydedilmiştir. SEP kaydı için DISA 1500 digital EMG aygıtı ile DISA 15 G 06 digital averajörü kullanılmıştır.

Tüm hayvanlarda stimülasyon bir alt ekstremitede, cilt altına siyatik sinir yakınına sokulan iki igne elektrod ile yapılmıştır. Topraklama için sırt derisi içine sokulan bir igne elektrod kullanılmıştır.(Fotoğraf 8).

9 hayvanda kayıt yeri olarak kafa derisi altı kullanılmıştır. Vertekste, orta hatta birbirinden 3 cm mesafede 2 igne elektrod cilt altına sokılmış, bunlardan burna yakın olan elektrod aktif, diğer referans elektrodu olarak seçilmiştir. Bu grup içerisinde tarama süresi 200 ms'n seçilmiş ve stimülasyon 2 Hz frekansta,



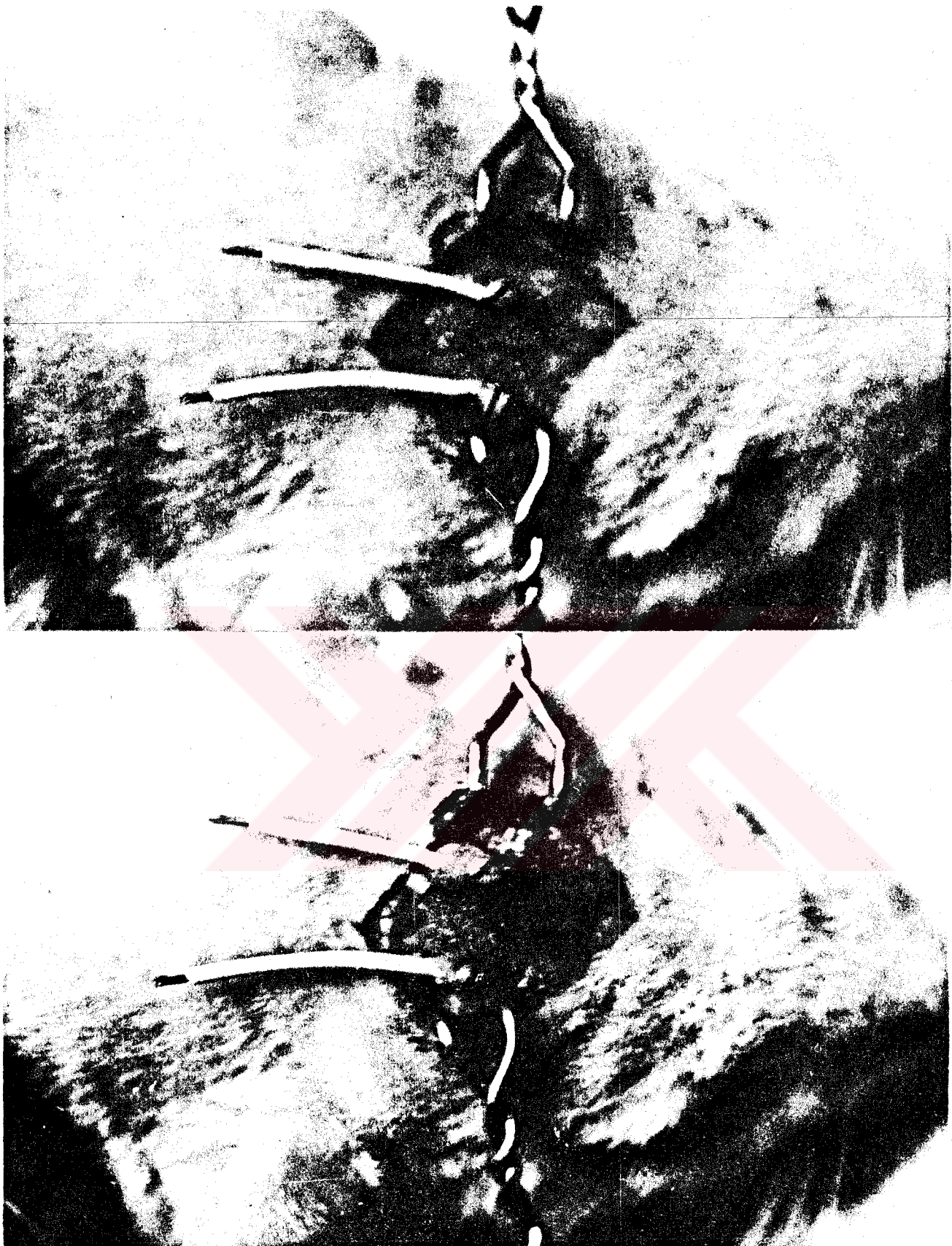
Fotoğraf 5-üst/alt- Kranyuma epidural elektrod yerleştirmek için insizyonun yerini ve burr hole'un açılışını görüyorsunuz.Orta hat cilt insizyonu ile bregma ve paryetal kemikler görünür hale getirilir (Üstte), sonra paryetal kemigi dicci turu ile 1 mm çapında burr-hole açılır (altta).

0.1 mm lik kare dalgalar şeklinde, motor eşiğin alt sınırı derinde yapılmıştır. (Şekil 27, 28).

Diger 38 hayvanda kayıt yeri olarak paryetal epidural mesafe seçilmiştir. Bu hayvanlara anestezi verildikten sonra kafa traşlanıp iyot-alkol ile temizlenerek hazırlanmış, glabella hizasından başlayıp oksipitale dek uzayan midsagittal 2 cm lik bir cilt insizyonu yapılmıştır. Periost elevatörü ile periost

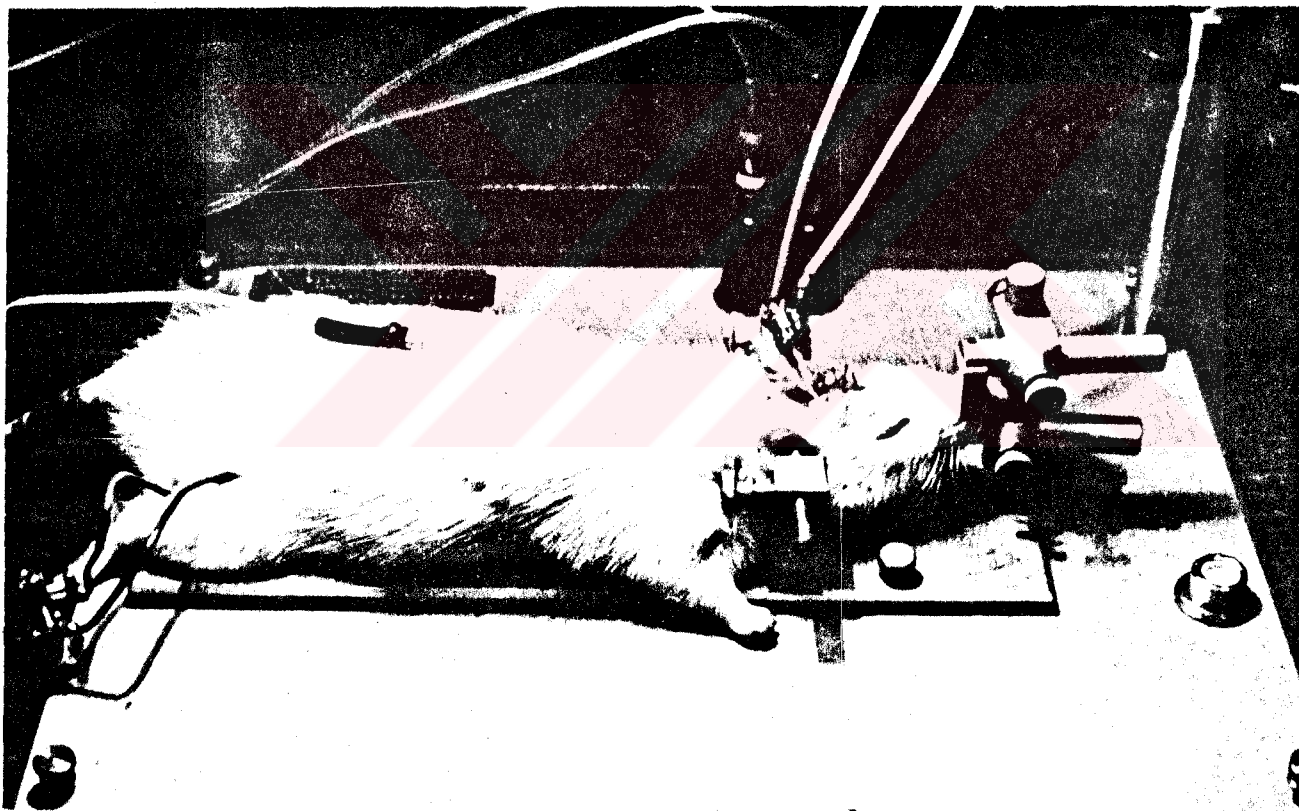


Fotoğraf 6- Her iki paryetal kemiğe burrhole'ler açılmıştır. Sagittal ve koronal sütürler orta hatta birbirini çaprazlıyor.

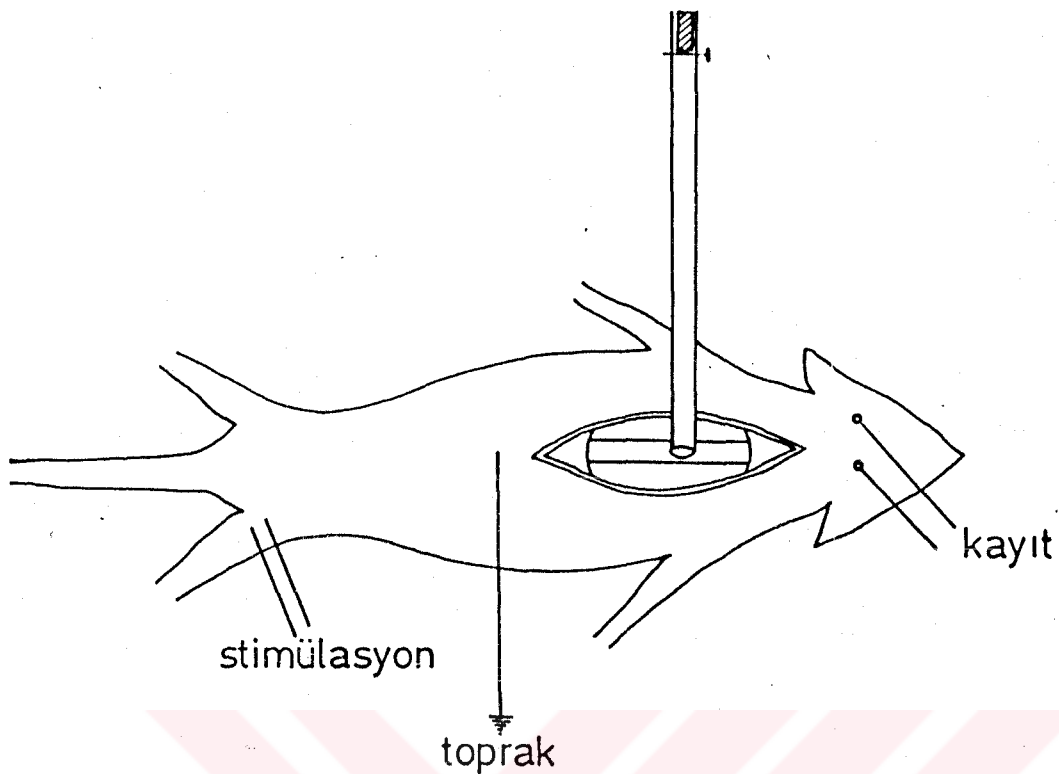


Fotoğraf 7-üst/alt- Uçlarına izole teller monte edilmiş çelik vidalar burr-hole yerlerine vidalanır (Üstte) ve Üzerleri akrilik macunu ile kaplanır (altta).

ekarte edilerek bregma ve paryetal kemikler görünür hale getirilmiştir. (Fotoğraf 5). Daha sonra hayvanın başı stabilize edilerek dış hekimliğinde kullanılan 3000 devir/dakika süratindeki bir tur ile (Emesco), bregmanın 3-4 mm kadar kaudalinde, orta hattan 4 mm kadar lateralde, sağ ve solda 1 mm çapta iki adet burr hole açılmıştır. (Fotoğraf 5,6). Bu işlem sırasında duranın zedelenmemesine özen gösterilmiştir. 1 mm çaplı, 7 mm uzunluktaki çelik vidaların baş kısmına 3 cm uzunluğunda izole teller monte edilmiştir. Daha sonra tel monte edilmiş bu vidalar



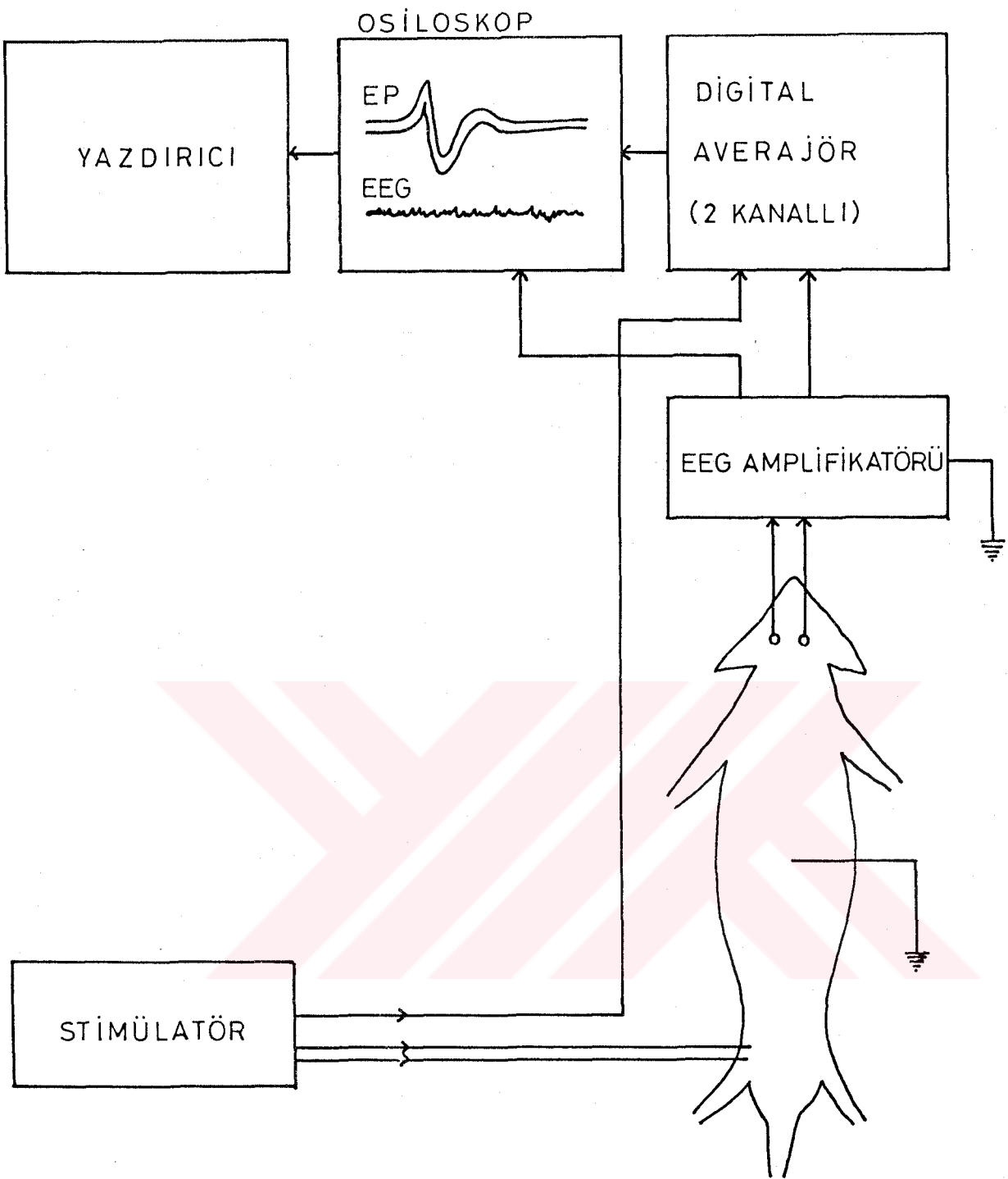
Fotoğraf 8- Stereotaksiğ apereye monte edilen sığandan SEP kaydı yapılıyor. Sağ bacakta siyatik sinir trasesinde bipolar yüzeyel stimülasyon elektrodiarı, sırt derisi altında iğne topraklama elektroodu, kranyumdaki vidaların ucundaki izole telleri kavrayan timsah ağızı elektrodlar görülmüyor.



Şekil 17- SEP kayıt koşulları.

açılan burr hole'lere vidalanmıştır. Vidaların çevresi sıvı akrilik ile kaplanmış ve tellerin uçları dışarıda bırakılarak cilt sütüre edilmiştir. (Fotoğraf 7). Daha sonra bu hayvanlar her SEP kaydı için alındığında, iki adet timsah ağızı klip, kafa derisinden dışarıda bırakılan bu izole tellerin açık uçlarına tutturularak önce EEG, sonra EP ler elde edilmiştir. (Fotoğraf 8) Bu 38 hayvanda tarama süresi 50 msn olarak seçilmiş ve stimülasyon 4 Hz frekansta verilmiştir. (Şekil 28,29,30).

Tüm hayvanlarda EMG aygıtının amplifikatörü 50 μ V/divizyon (toplam 500.000 kez büyütme), frekans sınırları 50-2000 Hz



Şekil 18- SEP kayıt düzeneği.

arasında tutulmuştur. 256-512 yanıt averajlanmıştır. Her kayıt 2 kez tekrarlanarak aygıtın yazdırıcısı ile aynı anda yazıdırılmıştır. (Şekil 17,18).

Travmadan önce tek bacak stimülasyonu ile tek koşulda kayıt yapılarken, travma sonrası sırasıyla sağ ve sol bacak stimülasyonu ile iki ayrı koşulda kayıtlar yapılmıştır. (Şekil 30).

Her 2 kez kayıtta birbirine uygunluk gösteren dalgaların latans ve amplitüdleri ölçülmüş, travma öncesi değerlerin ortalamaları, standart desiyonları ile ortalama hataları hesaplanmıştır. (Tablo 4). İlk 9 hayvanda travma sonrası SEP latans gecikmeleri hesaplanmış ve travma öncesi değer 100 kabul edilerek normalizasyona gidilmiş, daha sonra tüm hayvanların SEP latans değişimleri grafiklere geçirilmiştir. (Şekil 32). Daha sonraki 38 hayvanda SEP ler için iki çeşit değerlendirme yöntemi kullanılmıştır. Bunlardan birisi SEP in bulunup bulunmamasıdır. Travma sonrası sağ ve sol bacak uyarıları ile ikişer kez tekrarlanarak alınan kayıtlarda, zemin aktivitesinin belirgin üstüne çıkan yaklaşık 15-18 msn latanslı büyük pozitif dalganın olup olmaması dikkate alınmış, var ise SEP(+) olarak nitelendirilmiştir. Travma sonrası 12. saat ve 14. gündeki SEP(+) hayvanlarının sayısı grafiklere geçirilmiştir. (Şekil 36). Ayrıca SEP(+) hayvanların ilaçlarla anlamlı ilişkisinin olup olmadığını anlamak için Cochran Q testi kullanılmıştır.

SEP ler için kullandığımız diğer değerlendirme yönteminde subjektif bir skorlamaya gidilmiş; hiç yanıt yok ise 0, kuşkulu bir yanıt var ise, yani amplitüdü zemin aktivitesinin hemen üzerinde olan bir yanıt var ise 1, kesin, fakat küçük bir yanıt

var ise 2, dalga formu veya latansı anormal olan bir yanıt var ise 4, normalden büyük yanıt var ise 5 numara verilmiştir. Bu skorlamaya göre ilaçların 12.saat ve 14.günde kontrol grubundan farklılaşma gösterip göstermediğini değerlendirmek için W i 1 - c o x o n signed-rank testi uygulanmıştır. Ayrıca tüm hayvanların sayısal SEP değerleri ve ortalamaları grafiklere geçirilmiştir .(Şekil 37)

4-SEP İLE BAZI İLAÇLARIN ETKİLERİNİN MONİTORİZASYONU : 47 hayvanda ilaçların omurilik travmasına etkileri incelenmiştir. (Tablo 1) Yukarıda tanımlanan yöntemle 80 gm-cm ağırlık düşürme travması yapıldıktan 45 dakika sonra intraperitoneal bolus enjeksiyon şeklinde ilaçlar verilmiştir.

14 kontrol olgusuna 2 ml izotonik NaCl enjekte edilmiş, 5 deneğe 2 mgr/kgr naloxone, 9 deneğe 10 mgr/kgr naloxone, 10 deneğe 15 mgr/kgr methylprednisolone, 9 deneğe %40 lık solüsyon içinde 2 gr/kgr dimethyl sulfoxide verilmiştir.

Travmadan 12 saat ve 14 gün sonra SEP'ler yinelenmiştir. Travma sonrası SEP ler sırasıyla her iki siyatik sinirin stimülasyonu ile elde edilmişlerdir. Daha sonra elde edilen SEP ler biraz önce sözünü ettigimiz iki yöntemle değerlendirilmiştir ve istatistiksel olarak incelenmiştir.

SEP lere ilaveten günlük alt ekstremité motor fonksiyon değerlendirmeleri yapılmıştır. Bu amaçla bir sayısal skala kullanılmış, her iki arka ayagın total paralizisinde 1, orta derecede parezisinde 2, hafif parezisinde 3 numara verilmiştir. Motor

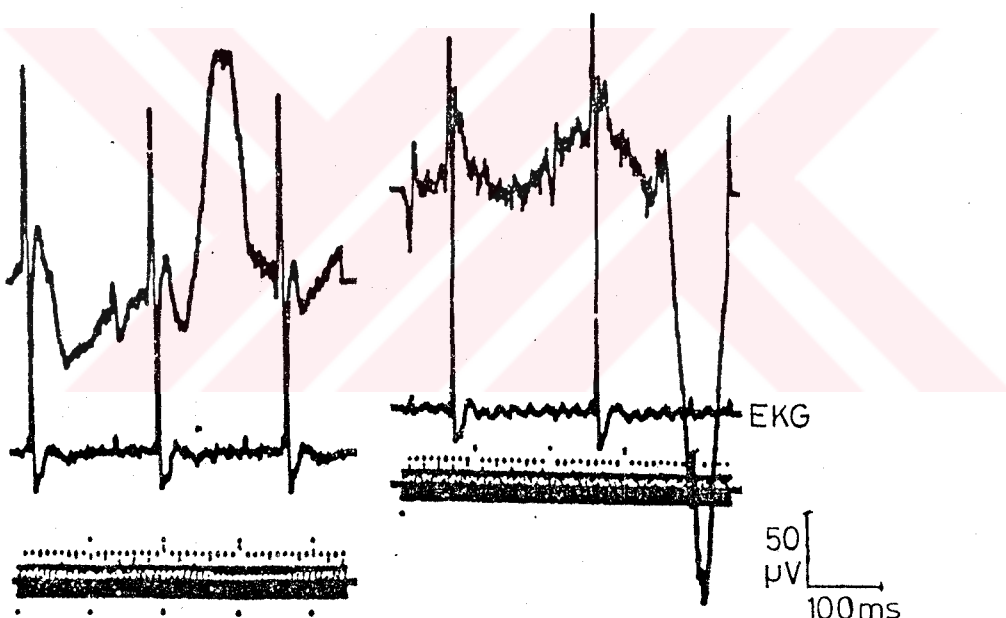
fonksiyon skalalarının ortalamalarının, kontrol grubundan farkını araştırmak için Wilcoxon rank-sum testi uygulanmış-
331 tır . Ayrıca her günün motor fonksiyon skaları değerlerinin grup ortalamaları ile (Şekil 35, 42), ilk günkü skaldan farkları (Şekil 32,33,37,38,39,40) grafiklere geçirilmiştir.



TU SONUELAIR

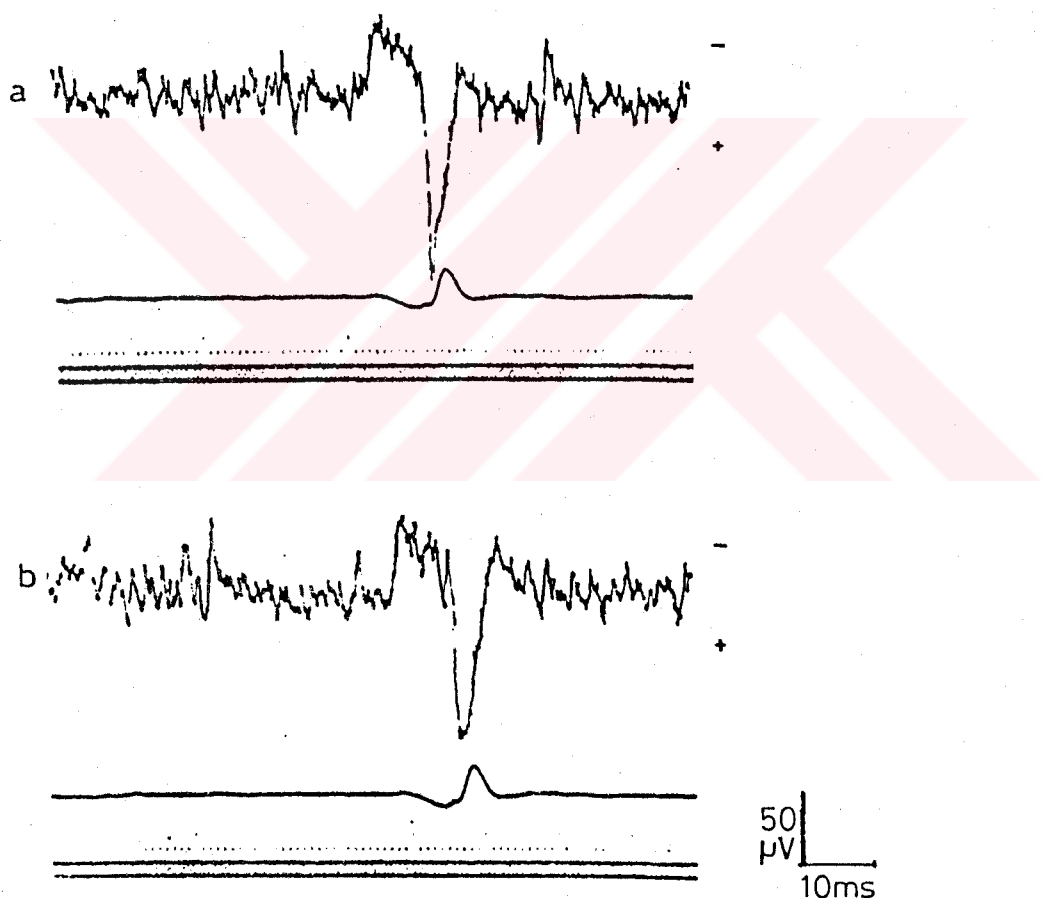
1-BEYAZ SİCANLARDA SpEMyeloG'IN ÖZELLİKLERİ VE TRAVMA İLE DEĞİŞİMİ

Sp1 numaralı hayvanda solunum ve EKG artefaktı, omurilik aktivitesini engellemekteydi. Kağıt hızının yavaş tutulması ile bu artefaktlar belirginleşmekte idi. (Şekil 19). Bunu önlemek için Sp2 ve Sp3 te kağıt hızı arttırılmış, frekans sınırları 50-800 Hz arasında seçilmiştir. Bu 3 hayvanda da 10 gm-cm şiddetinde travma uygulanmış, ancak hayvanlar paraplejik olmadıkları gibi SpEMyeloG'larda da travma ile bir fark olmamıştır. (Şekil 19). Bunun üzerine travma şiddeti artırılmıştır.



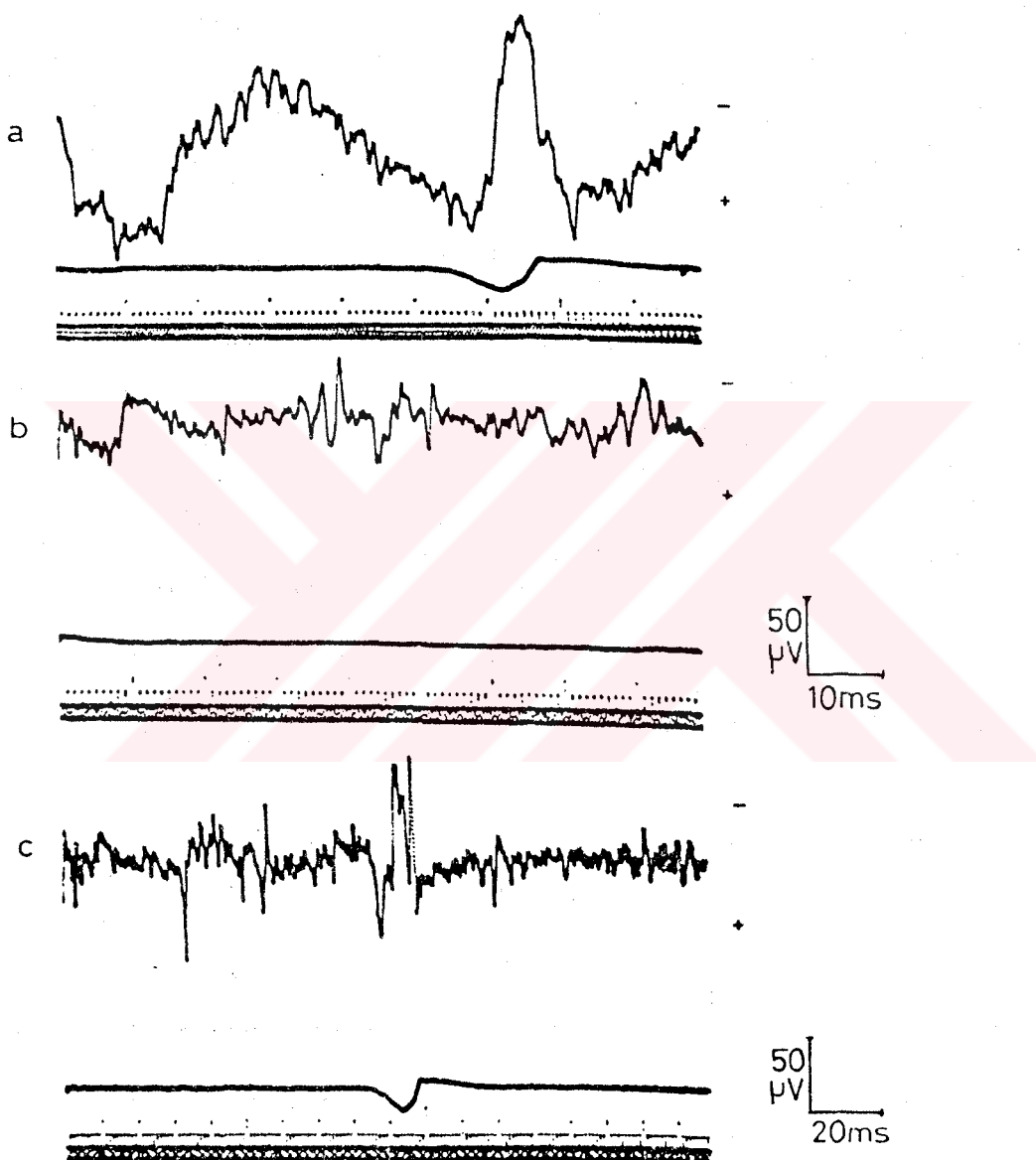
Şekil 19- Sp1 den elde edilen spontan kayıtlarda EKG ve solunum artefaktları görülmüyor. En altta zaman skaliası, ortada EKG, en Üstte SpEMyeloG.

Sp4 ve Sp5 te 25 gm-cm, Sp6 da 30 gm-cm şiddetinde travma yapılmıştır. Bu hayvanlardan Sp4 te 1.5 mm derinlikten yapılan kayıtlarda travma öncesi yalnızca ZA görülürken, travmadan 15 dakika sonra distal elektroddan, amplitüdü sabit kalan ZA arasında yüksek amplitünlü pozitif-negatif difazik dalgalar belirmiştir. (Şekil 21). Travmanın 3.saatinde distal omurilikteki ZA nin amplitüdü artmıştır. Ayrıca 15.dakikada görülen pozitif-negatif dalgalar yanında çok sayıda negatif-pozitif difazik

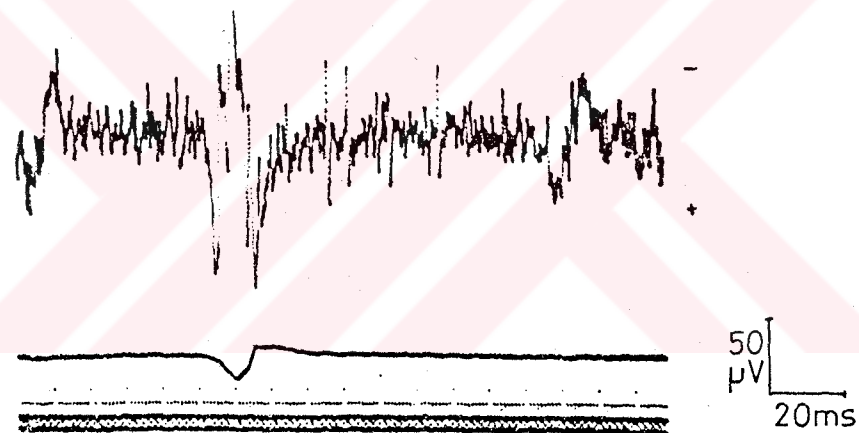
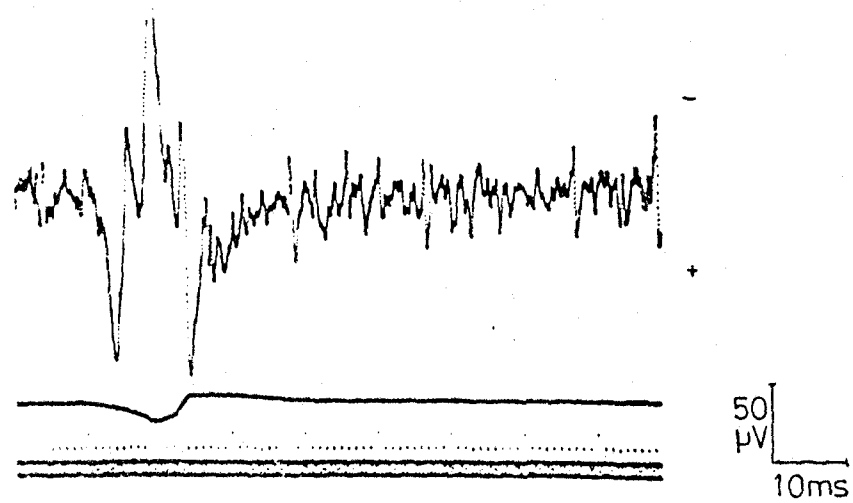


Şekil 20- 10 gm-cm travma uygulanan Sp3 ten elde edilen spontan kayıtlarda travma öncesi (a) ve sonrası (b) ZA de bir fark olmadığı görülüyor.

dalgalar çıkmıştır. (Şekil 22). Sp5 ve Sp6 da da travma sonrası distal elektroddan alınan kayıtlarda ZA belirgin yüksek bulunmuştur. Ancak bu hayvanlarda Sp4 te görülen bifazik dalgalar görülmemiştir. (Şekil 23,24).

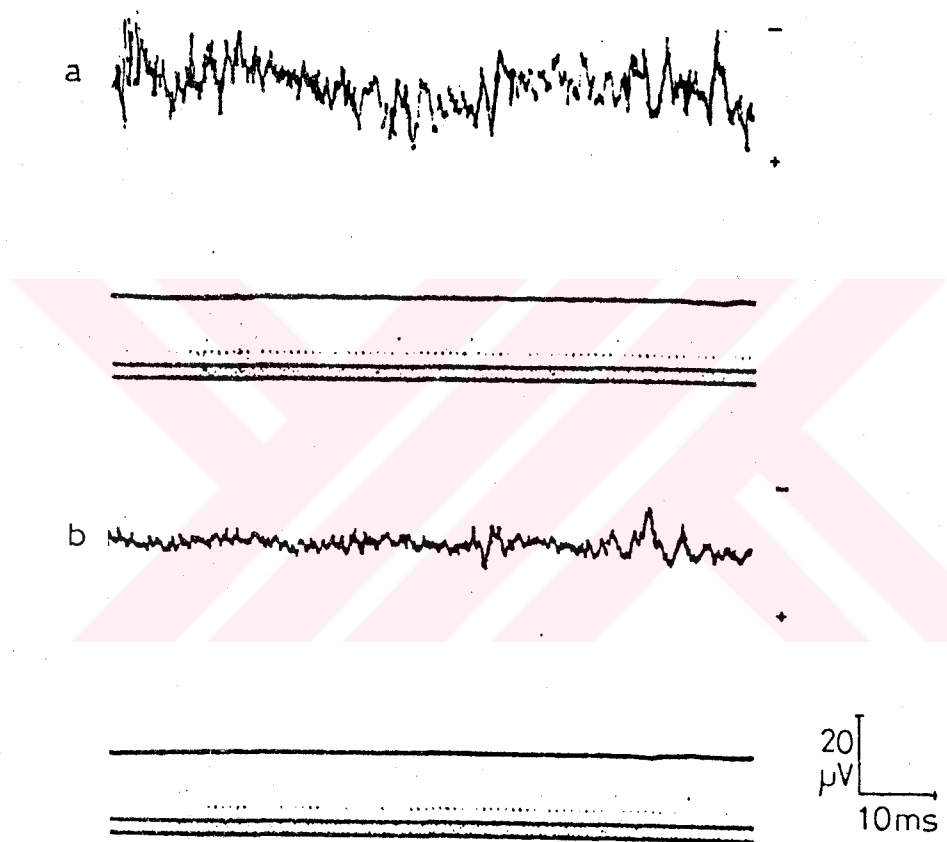


Şekil 21- 25 gm-cm travma uygulanan Sp4 ten elde edilen kayıtlar. Travma öncesi (a) ve travmadan 15 dakika sonra (b,c) alınan kayıtlarda SpEMyelogram görülmektedir. Travma sonrasında ZA de pozitif/negatif bifazik dalgalar belirmiştir. Filtre değerleri 50-800 Hz. En alt trasede kağıt hızı yarı yarıya azaltılmıştır.



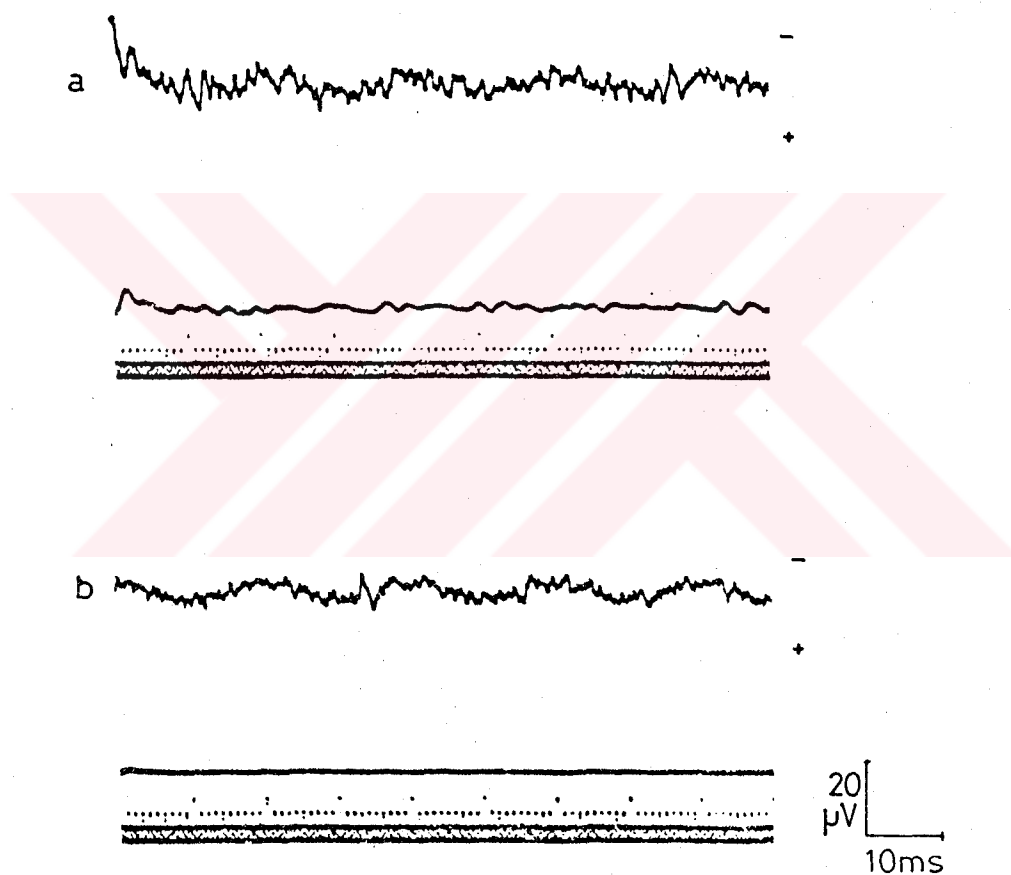
Şekil 22- Yine Sp4 ten travma sonrası 3. saatte distal elektroddan alınan kayıtlar. ZA'nın amplitüdü belirgin artmış, pozitif/negatif dalgalar yanında çok sayıda negatif/pozitif dalga ortaya çıkmıştır. Alttaiki trasede kağıt hızı yarı yarıya azaltılmıştır.

Sp7 de total omurilik lezyonu, yani en şiddetli omurilik travmasının SpEMyeloG üzerindeki etkisini incelemek amacıyla omurilik transeksiyonu yaptı. Transeksiyondan 3 ve 15 dakika sonra, distal omuriliğe orta hattın hemen lateralinden sokulan elektrod

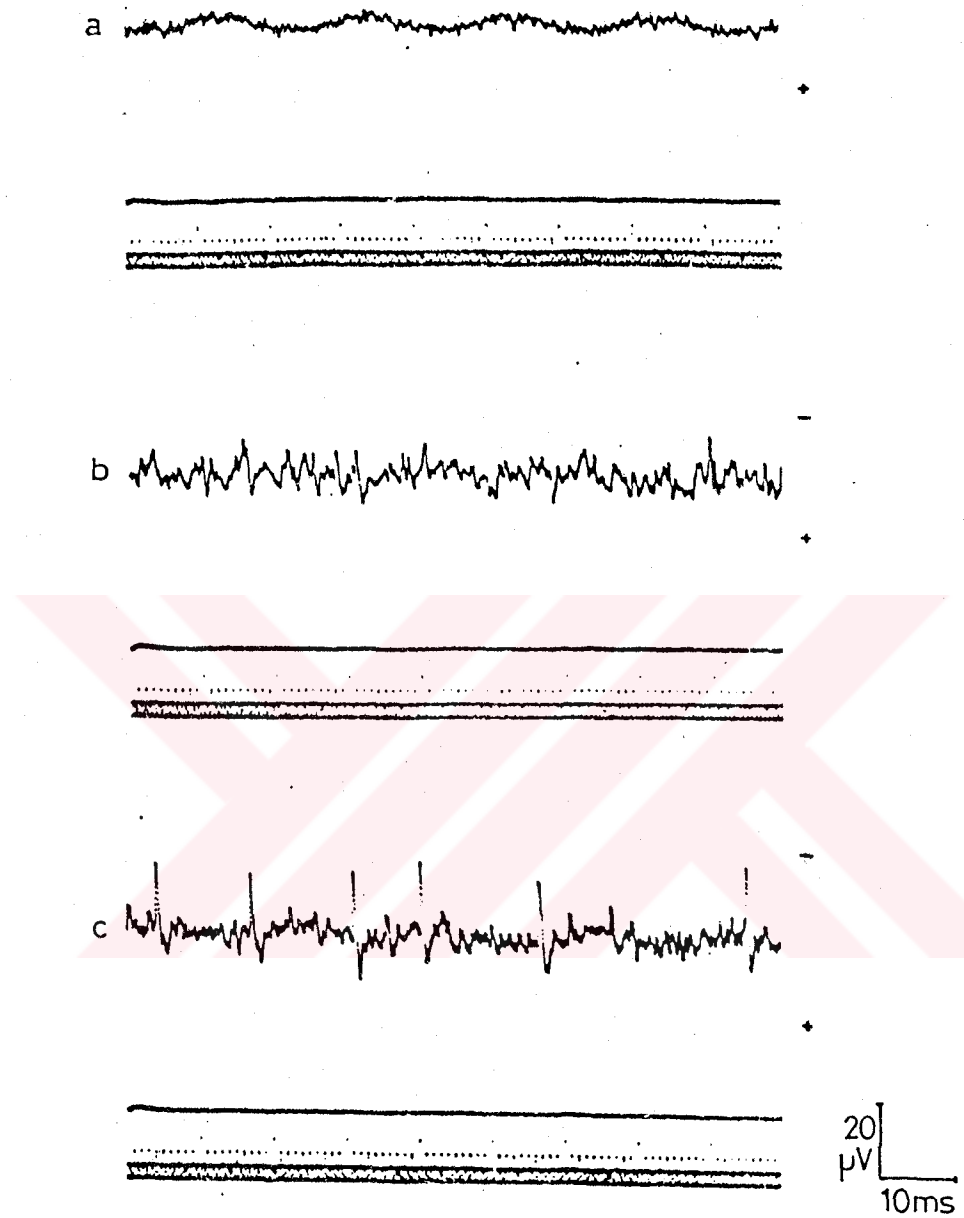


Şekil 23- 25 g m-cm travma uygulanan Sp5 ten elde edilen kayıtlar. Travma sonrası distal elektroddaki (a) ZA amplitüdü, rostralden (b) yüksektir. Filtre değerleri 50-1600 Hz.

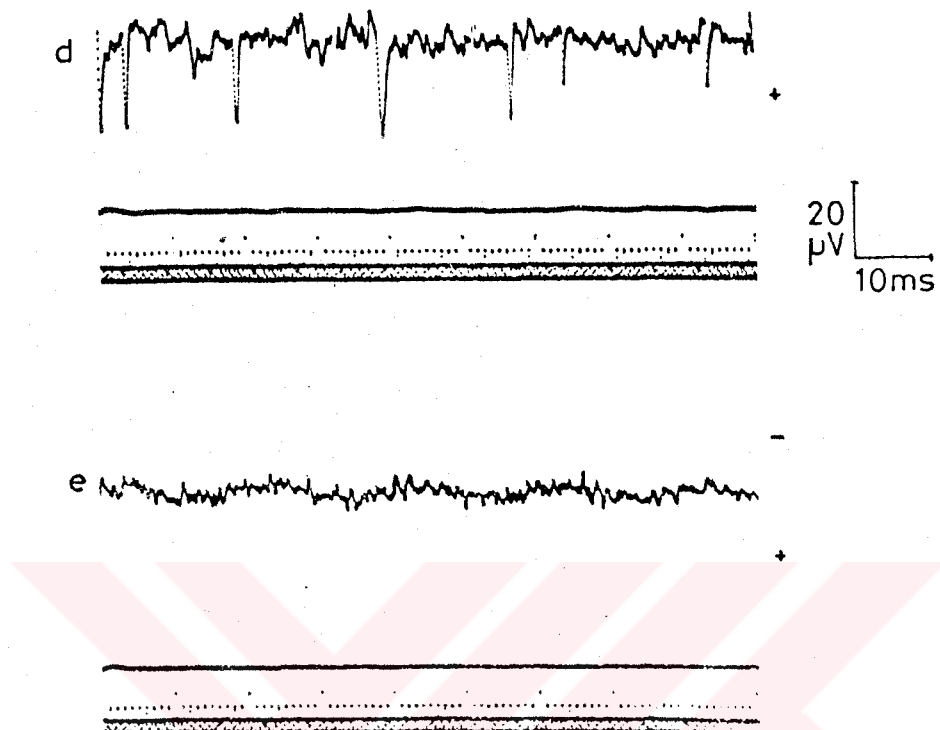
0.1 mm aralıklarla derinleştirilerek seri kayıtlar yapılmıştır. (Şekil 25, 26). ZA epidural mesafede çok düşük iken (Şekil 25/a) posterior funikulus civarında yüksek amplitünlü bir karakter kazanmış (Şekil 25/b), elektrod derinleştirildikçe önce negatif-pozitif dalgalar (Şekil 25/c), sonra pozitif dalgalar ortaya çıkmıştır (Şekil 25/d). 3 mm kadar derinleşince olasılıkla ante-



Şekil 24- 30 gm-cm travma uygulanan Sp6 dan elde edilen kayıtlar. Travma sonrası distal elektroddaki (a) ZA amplitüdü, rostraldden (b) yüksektir. Travma sonrası bifazik dalgalar görülmüyor. Filtre değerleri 50-1600 Hz.



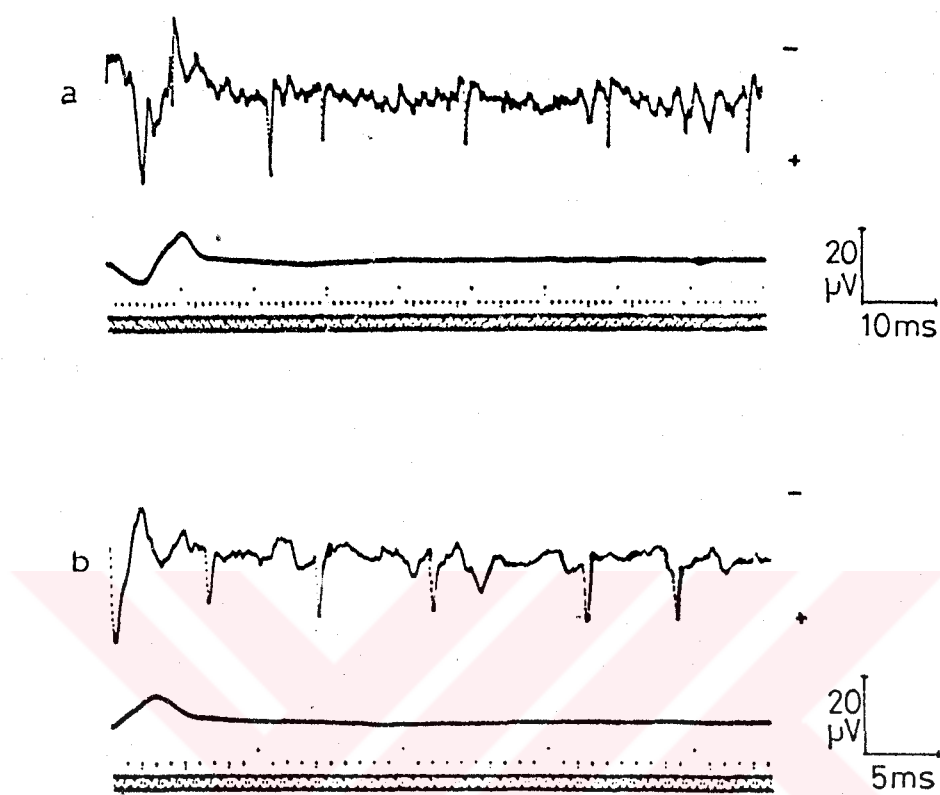
Şekil 25 a,b,c- Omurilik transeksiyonu yapılan Sp7'de paramedian sokulan distal omurilik elektrodeninden çeşitli derinliklerde yapılan kayıtlar. Epidural mesafeden (a), 1 mm derinlikte tahminen posterior funikulustan (b), 1.5 mm derinlikten (c) yapılan kayıtlar. Filtre değerleri 50-1600 Hz.



Şekil 25 d,e- Aynı hayvandan distal elektrod 2-2.5 mm derinlikte (d) ve 3 mm derinlikte (e) iken yapılan kayıtlar. Son kayıt, posterior epidural kayıda çok benzemekte, muhtemelen elektrod omuriliği katedip, anterior duradan çıkmıştır.

rior epidural mesafeye gelindiği için, yine küçük amplitüslü bir ZA ortaya çıkmıştır (Şekil 25/e).

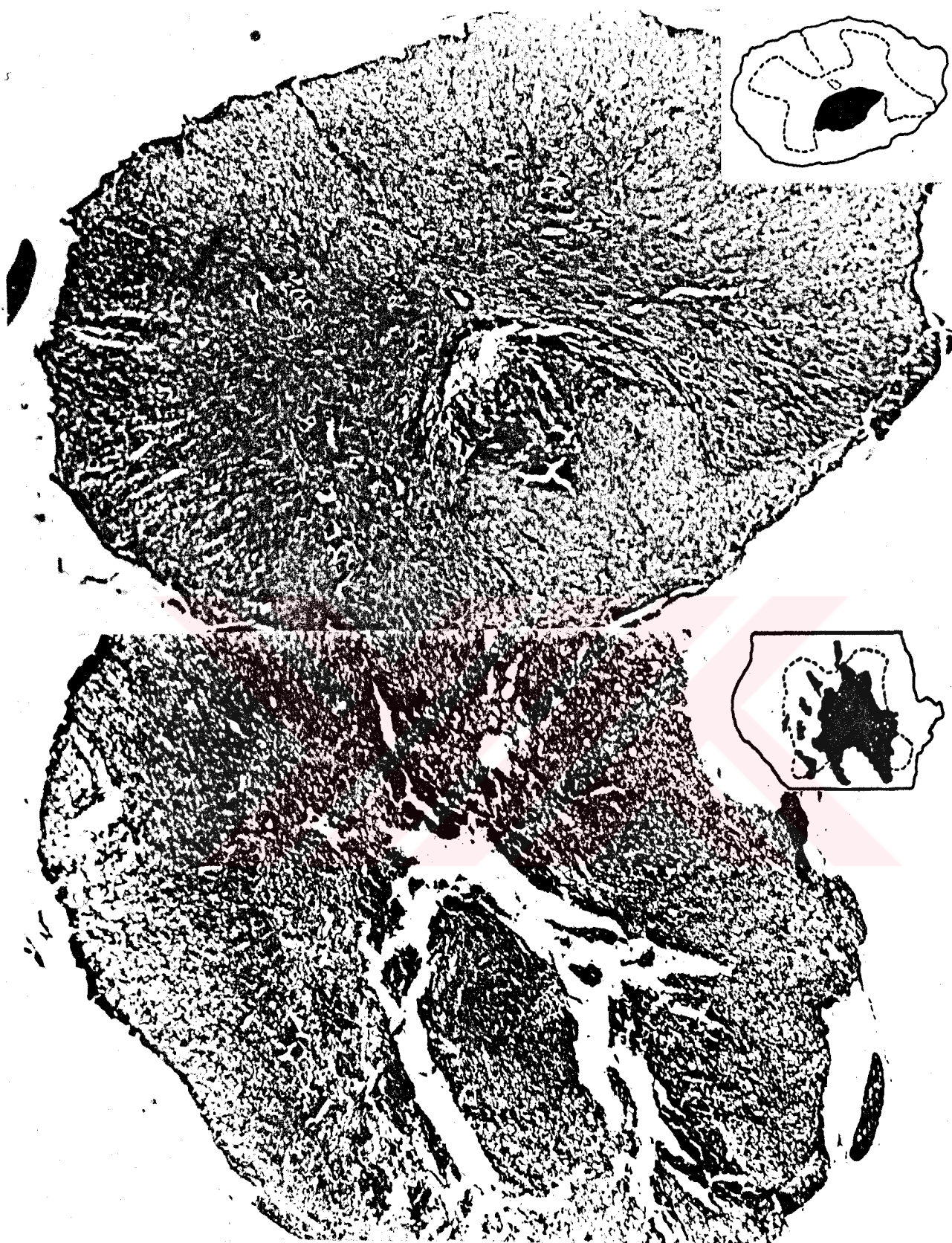
Bu grupta histopatolojik inceleme yapılan 6 hayvanda 6. saatte yapılan kesitlerdeki santral-dorsal gri cevherde egemen hemoraji ve nekrozlar, bunların periferik beyaz cevhere doğru yayılması, ayrıca beyaz cevherde işinsal tarzda ödem görülmüştür. (Fotoğraf 9,10,11,12). Santral hemorajik nekrozun, omuriliğin %8-58 ini



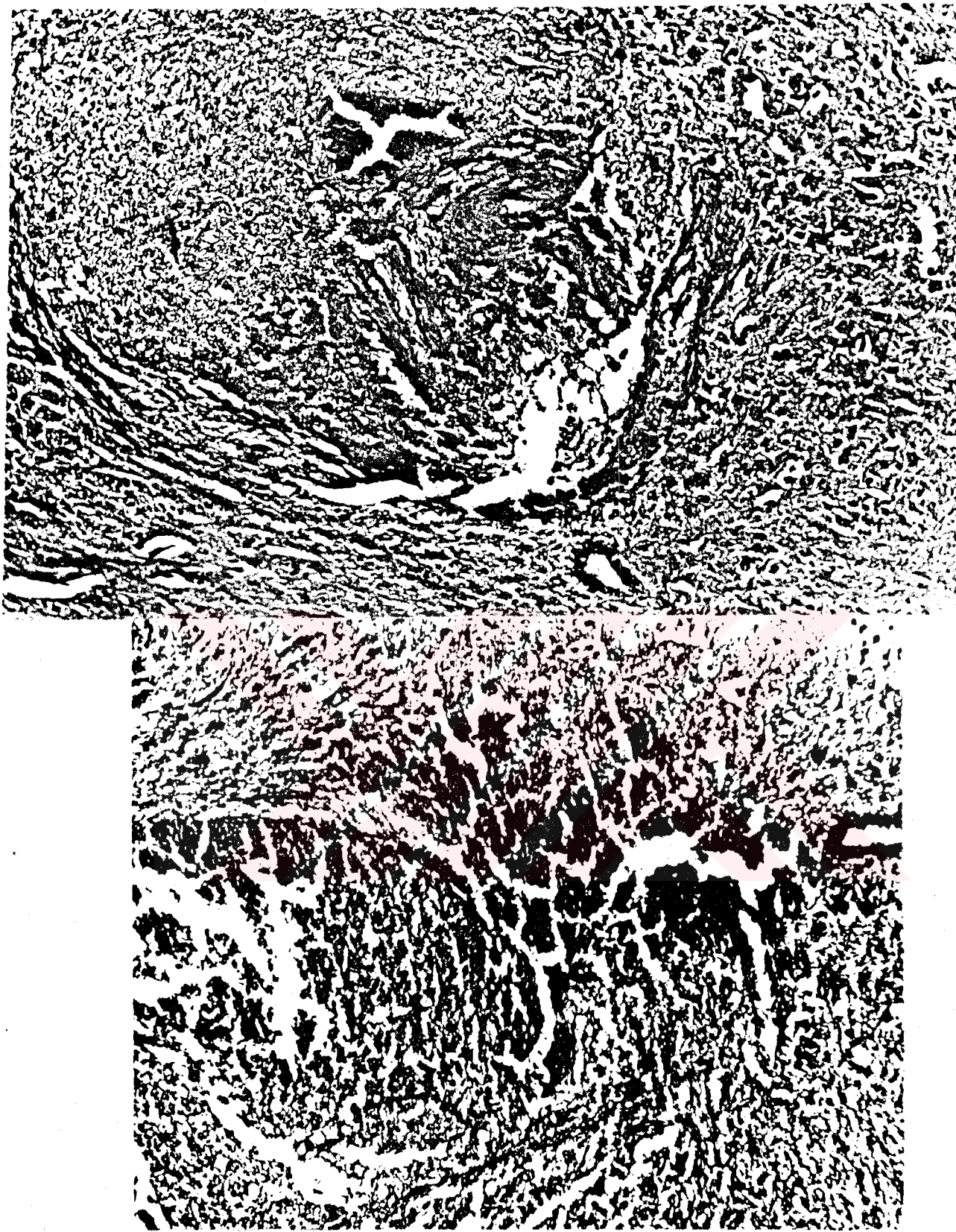
Şekil 26- Sp7 de 2-2.5 mm derinlikten kaydedilen pozitif dalgalar yavaş (a) ve hızlı (b) çekimlerde daha iyi izlenmektedir.

kapsadığı hesaplanmıştır. (Tablo 3).

Bu hayvanların 10 gm-cm şiddetine travma yapılan ilk 3 ü ile, 25-30 gm-cm şiddetine travma yapılan diğerlerini iki gruba ayırarak incelediğimizde, daha şiddetli travma yapılanlarda santral hemorajik nekroz yüzdelerinde anlamlı farklılık görülmüştür.
331
(Wilcoxon signed rank testi ne göre, $P<0.005$)



Fotoğraf 9-Üst/alt- Travmadan 6 saat sonra yapılan kesitlerde santral HN küçük büyütme ile görülüyor. Üstte küçük, altta büyük nekroz alanı olan değişik hayvanlardan alınan kesitler. (Hematoksilen Eozin boyası, 10X)



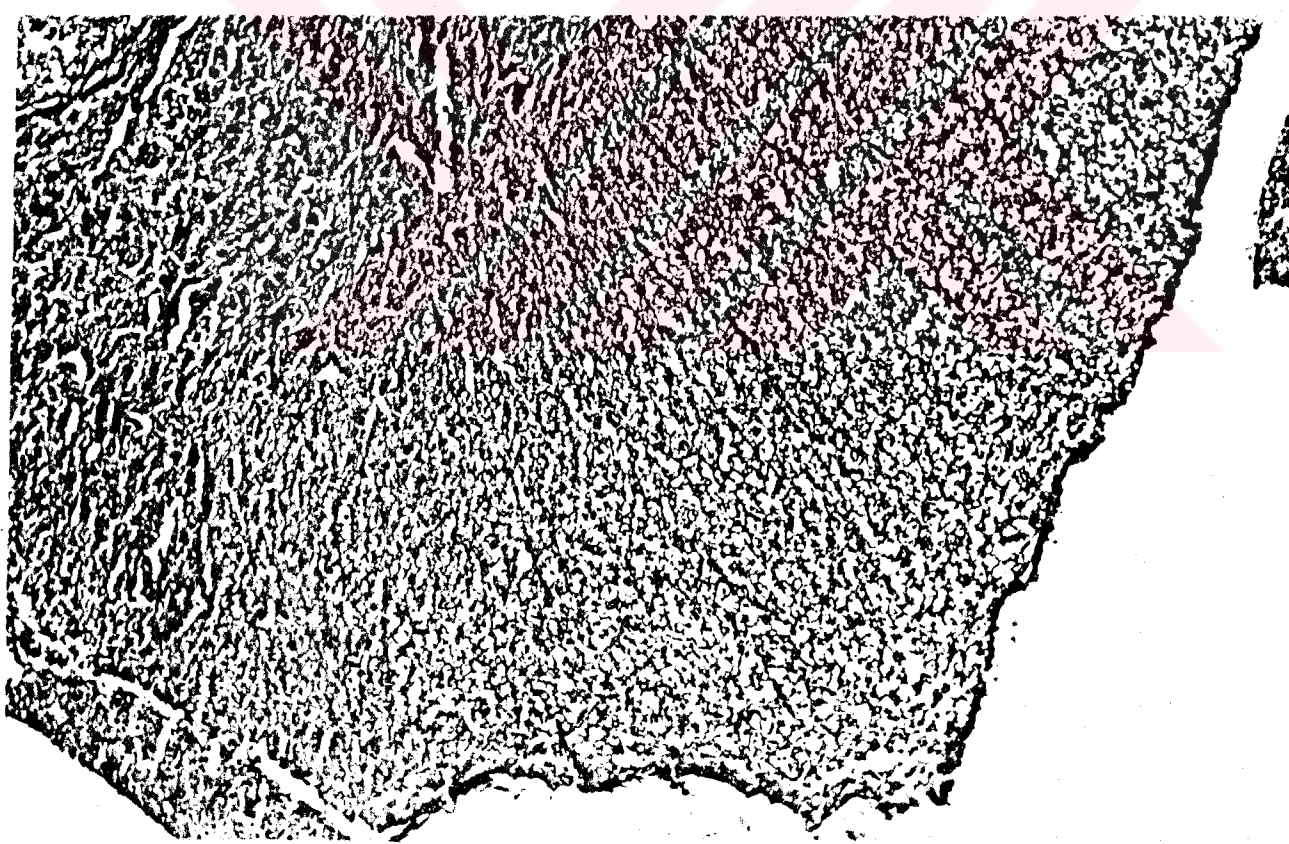
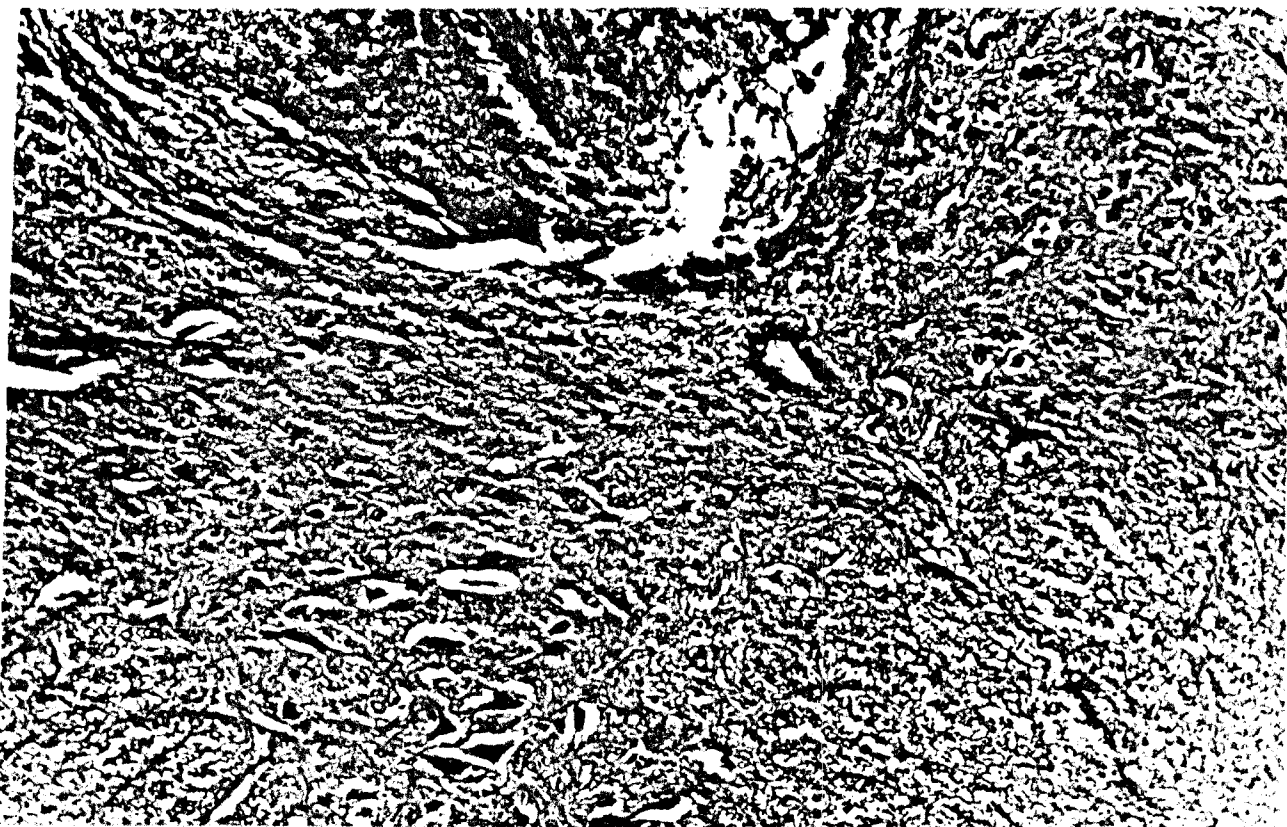
Fotoğraf 10-üst/alt- Santral HN'un büyük büyütme ile görünümü. Farklı hayvanlardan alınmış her iki kesitte de ependimle çevrili kanalis santralis görülmektedir. Bunun dorsalindeki bir bölümde eritrosit kümeleri ile nekrotik değişiklikler izlenmektedir.

Hayvan No :	Travma şiddeti gm-cm	Santral hemorajik nekroz yüzdesi		
		Travma duzeyi	Rostral omurilik	Kaudal omurilik
Sp 1	10	25	18	20
Sp 2	10	28	18	28
Sp 3	10	28	22	22
Sp 4	25	30	26	20
Sp 5	25	34	22	58
Sp 6	30	32	14	8

Tablo 3- Spontan EMyeloG kaydı yapılan hayvanların histopatolojik incelemelerinde santral hemorajik nekroz yüzdeleri.



Fotoğraf 11- Beyaz cevher içine doğru yayılan santral dejeneratif değişiklikler. Ayrıca beyaz cevher ödemii izlenmektedir. (Hematoksiilen Eozin boyası, 40X)



Fotoğraf 12-Üst/alt- Santral gri cevherde başlayan ve periferik beyaz cevhere doğru işinsal yayılım gösteren emurilik Ödemi .(Hematoksiilen Boyin boyası, 40X)

**2-BEYAZ SİCANLARDA SEP'in ÖZELLİKLERİ ve TRAVMA İLE DEĞİŞİMİ
SEP'leri iki grup denekte inceledik:**

1.grup K 1-4 ve N 1-5 olarak adlandırılan 9 hayvandan meydana gelmiş olup, $\textcircled{1}$ $\textcircled{2}$ 200 msn tarama süresi kullanılmış ve kayıtlar kafa derisi altına sokulan iğne elektrodlar ile yapılmıştır. Uyarı 2 Hz frekansta verilmiştir.

2.grup diğer 38 hayvandan meydana gelmiştir. 50 msn tarama süresi kullanılmış ve kayıtlar epidural çelik vidalardan yapılmıştır. Uyarı 4 Hz frekansta verilmiş ve 50 msn tarama süresi kullanılmıştır.

Her iki grupta da 80 gm-cm travmadan 12 saat ve 14 gün sonra kayıtlar tekrarlanmıştır. Posttravmatik kayıtlarda sırasıyla sağ ve sol bacak stimülasyonu yapılmıştır.

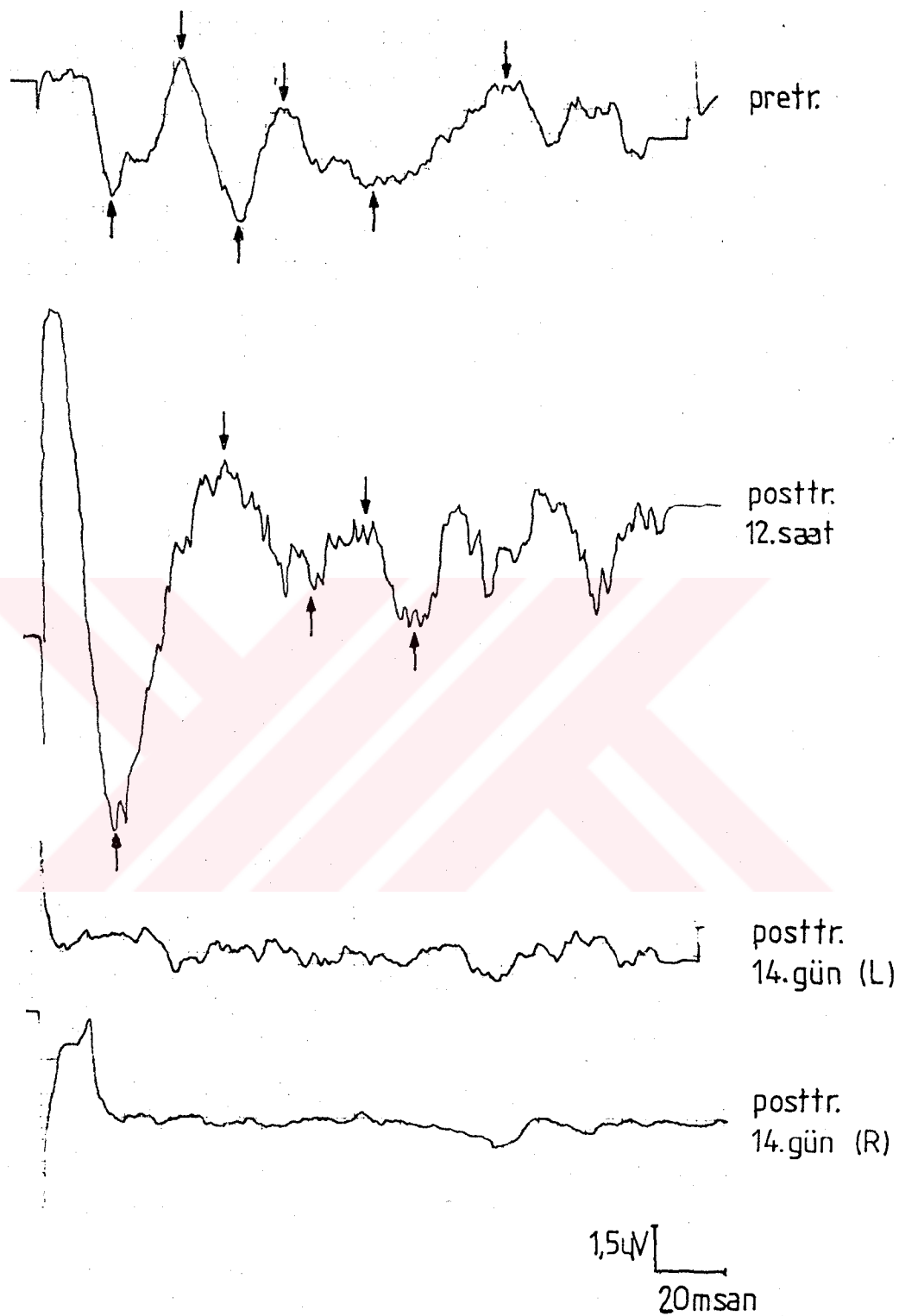
1.gruptaki hayvanların SEP komponentlerinin latansları ve interpeak amplitüdlerinin ortalamaları ve ortalama hataları (DH) tablo 4 te gösterilmiştir. Bu gruptaki hayvanlarda postoperatif

LATANS msn	P1	N1	P2	N2	P3	N3	P4
ortalama	16.7	23.6	41.9	67.8	117.4	155.3	167.2
DH ±	1.3	1.3	2.2	3.9	6.5	4.0	15.8

AMPLİTUD μ V	P1-N1	N1-P2	P2-N2	N2-P3	P3-N3	N3-P4
ortalama	4.4	4.7	4.4	3.8	3.8	3.5
DH ±	0.8	0.8	0.8	0.6	0.6	0.5

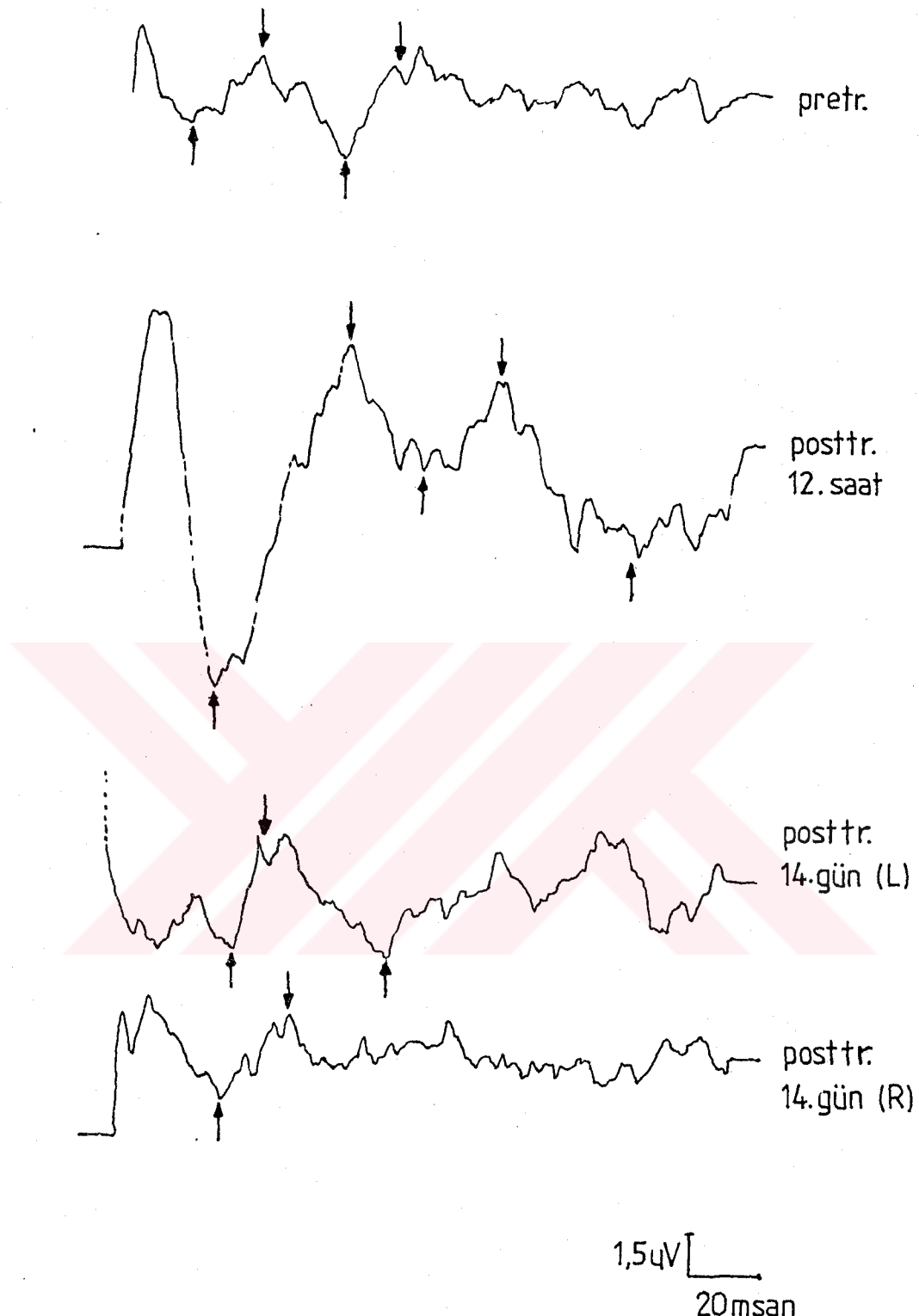
Tablo 4- Kafa derisi altındaki iğne elektroldardan ve 200 msn tarama süresi ile yapılan SEP kayıtlarında, dalgaların latans ve interpeak amplitüdlerinin ortalamaları ve ortalama hataları (DH=1/SD).

K02

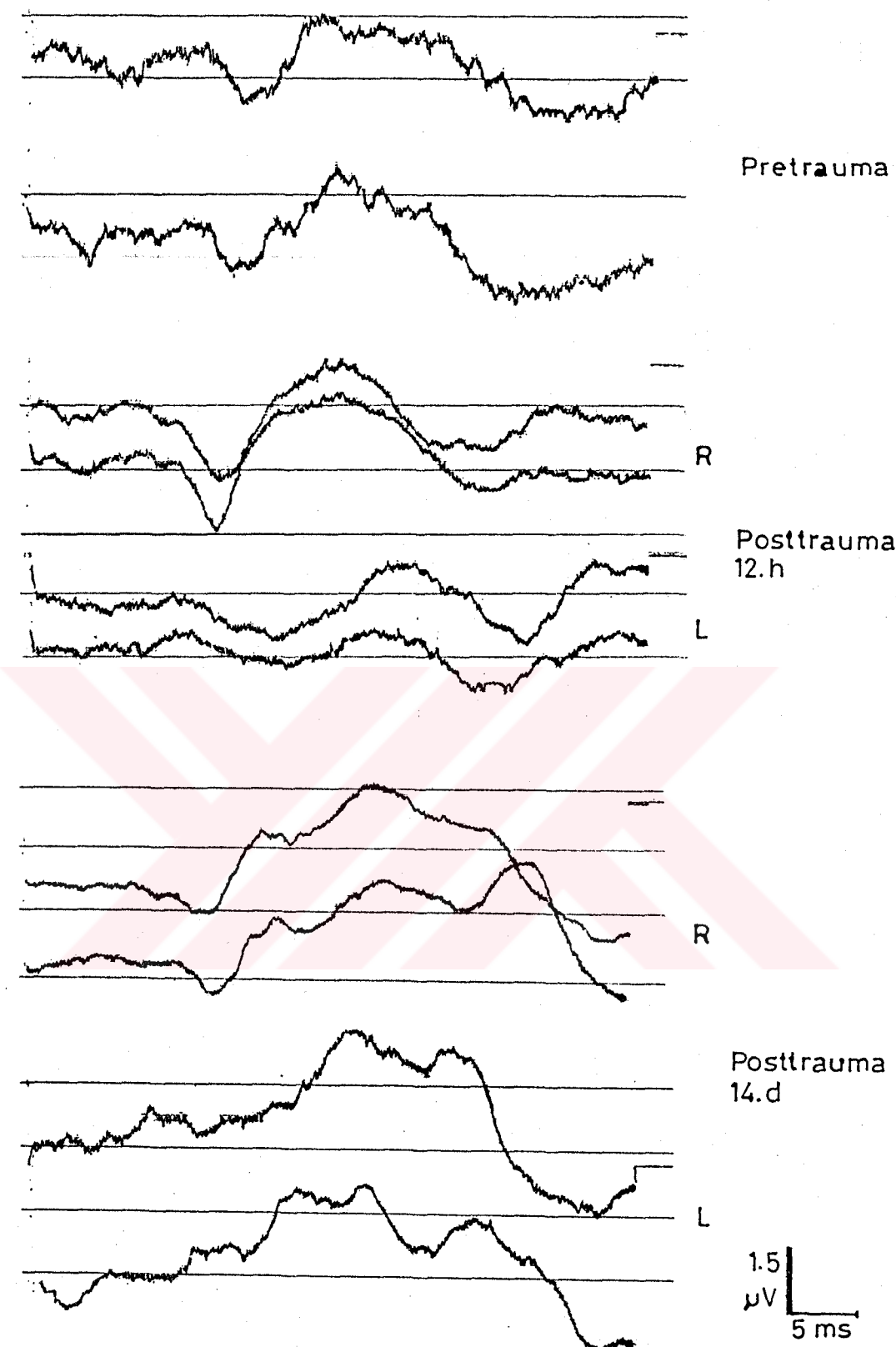


Şekil 27- Kafa derisi altından kayıt yapılan bir hayvanda (Ko2) travma öncesi, travmadan 12 saat ve 14 gün sonra yapılan SEP lerin karşılaştırılması. Travmadan 12 saat sonra latansıarda bir miktar uzama olmuş, 14. günde ise tamamen kaybolmuştur. (Tarama süresi 200 msn, 128 kez averajlama)

N01

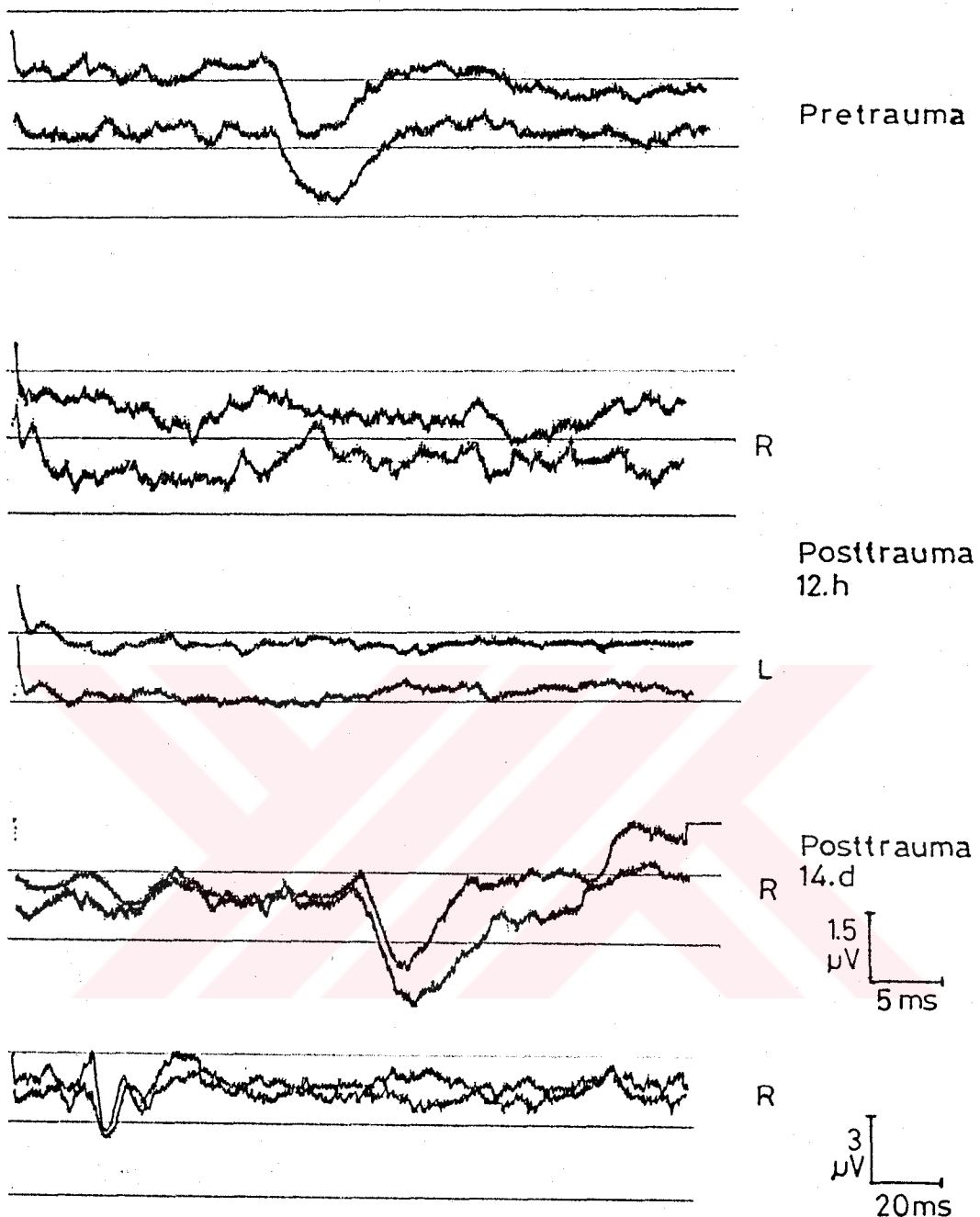


Şekil 28- Kafa derisi altından iğne-elektrodlarla yapılan ve 2 mgr/kg naloxone verilen bir hayvanda (N01) SEP lerin değişimi. 12.saatte latanslarda bir miktar uzama olmuş, 14.günde de bu uzama sürdürmüştür, ancak SEP ler tamamen kaybolmamıştır.



Sekil 29- Epidural vida elektrodilardan kayıt yapılan ve 10 mgr/kgr naloxone verilen bir hayvanda (N3) SEP lerin değişimi. Travma öncesi, travmadan 12 saat sonra sağ (R) ve sol (L), travmadan 14 gün sonra sağ (R) ve sol (L) siyatik sinir stimülasyonu ile elde edilen kayıtlar. 12.saatte soldan SEP alınamazken, 14.günde alınmıştır. (Travma süresi 50 min, 256 averagesi).

D1

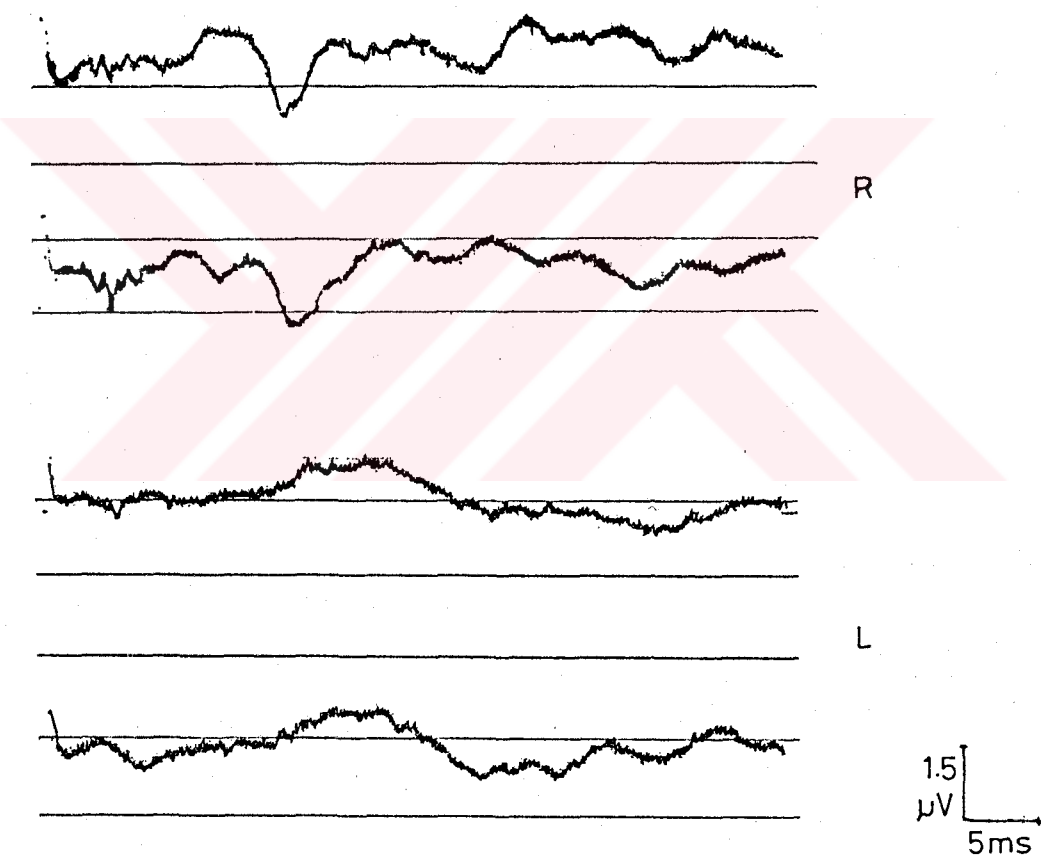


Şekil 30- Epidurál vido elektrodlardan kayıt yapılan ve 2 gr/kgr X40 lik DMSO verilen bir hayvandı (D1) elde edilen SEP lerin değişimi. 12.saatte SEP ler kaybolmuşken, 14.günde düzelmıştır. Ancak bir miktar latans gecikmesi söz konusudur. En alttaki kayıtta tarama süresi 200 msn, diğerlerinde 50 msn dir.

SEP latanslarındaki değişiklikler normalizasyona gidilerek değerlendirilmiştir. (Şekil 27,28).

200 msn tarama süresi ve 2 Hz stimülasyon frekansı işlemi uzatıldığından, daha sonra 2.gruptaki koşullara geçilmiş, kafa derisi altına konan iğne elektrodlar ile boyun kaslarından gelen artefaktı önlemek ve somatosensoryel kortekse yakınlaşmak için de epidural kayıtlama yöntemi seçilmiştir.

2.gruptaki hayvanların ilk pozitif dalgalarının (P1) latansının ortalaması ve standart deviasyonu 16.75 ± 0.92 msn bulunmuş-



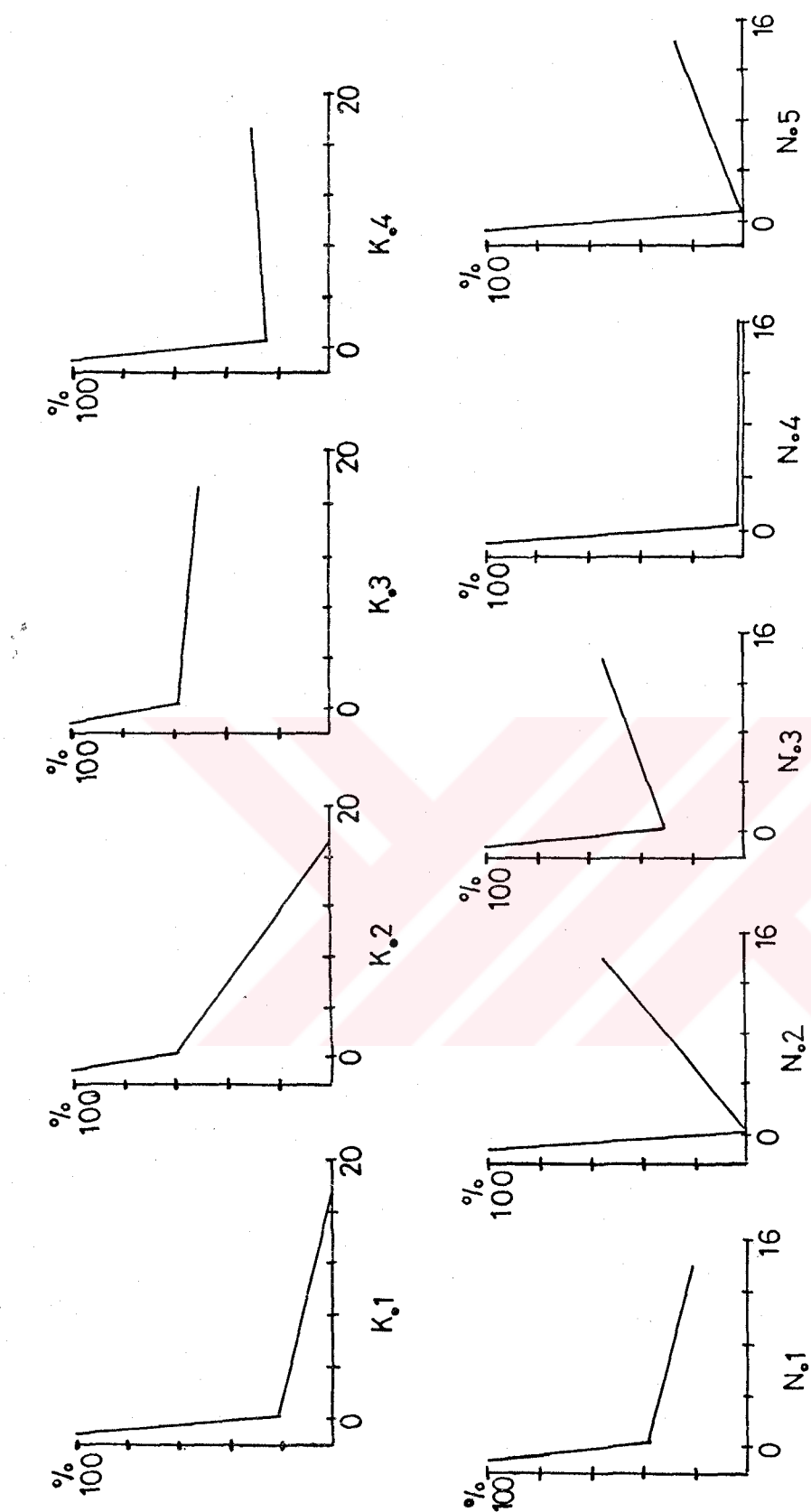
Şekil 31- Epidural vida elektrodilarından kayıt yapılan bir hayvanda travmadan 14 gün sonra elde edilen SEP ler. Sağ siyatik sinirin uyarılması ile SEP elde edilirken (R), soldan uyarılma (L) SEP yok. Travma sonrası bilateral stimülasyonun önemi görülmektedir.

tur. Bu grupta 15-18 msn ler arasında bir pozitif dalga görüldüğünde "SEP pozitif" olarak kabul edilmiş ve dalga analizine gidilmemiştir. (Şekil 29,30,31). Ayrıca dalga latans ve amplitüdlerini birlikte değerlendirmeye alan subjektif bir skorlama kullanılmıştır.(Şekil 36). Epidural kayıtlama ile SEP elde edilmesinin daha kolay olduğu görülmüştür. Burada vurgulanması gereken bir nokta, travma sonrası sırasıyla her iki siyatik sinirin de uyarılması gereğidir. (Şekil 31).

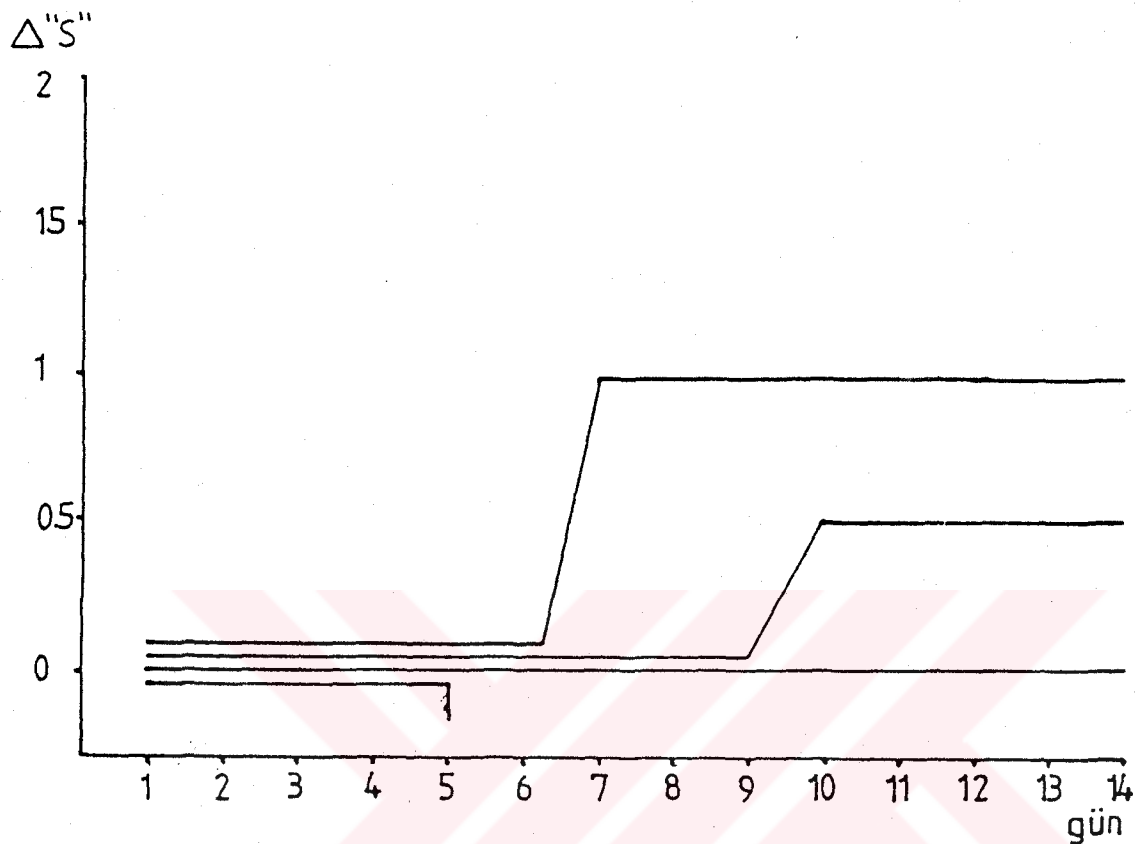
3-SİÇANDA OMURİLİK TRAVMASINA MPD, DMSO ve NALOXONE'un ETKİLERİ

a* Önce 2 mgr/kgr naloxone'un biraz önce sözünü ettiğimiz 1.grup hayvanlarda etkisi incelenmiştir. İzotonik NaCl verilen 4 hayvan ve naloxone verilen 5 hayvanda SEP latanslarını normalize ettiğimizde, naloxone grubunda latansların daha iyi olduğunu gördük.(Şekil 32). Bu grafik incelendiğinde kontrol grubundaki 4 hayvanın 3 ünde latanslar travma sonrası gittikçe kötüleşirken, 1 inde 2.haftada çok az düzelleme olmuştur. Naloxone grubunda ise 5 hayvanın 3 ünde travmanın 12.saatinde bir miktar kötüleşmiş olan latans ortalamaları, 2.haftada belirgin düzelmış, 1 hayvanda değişmeden kalmış, 1 hayvanda ise kötüleşme devam etmiştir.

Motor fonksiyon skalalarının değerlendirilmesinde skala farklılarının alınması yöntemi benimsenmiştir. Çünkü ne denli standart koşullar uygulansa da ağırlık düşürme travmasının tüm hayvanlarda eşit lezyon yapmama olasılığı vardır. Bu nedenle travmadan hemen sonra yapılan motor fonksiyon derecelendirilmesi



Sekil 32- 2 mg/kg nalokson verilen 5 hayvan (üstte) ve izotonik NaCl verilen 4 hayvanda (altta) SEP latanslarının değişimi. X ekseni gün olarak zamanı, Y ekseni ise travma öncesi latanslar 100 olarak kabul edildiğinde postoperatif hunkun yüzde değişiminini göstermektedir. Latansta uzama, değerinde azalma olarak görülmektedir.



KONTROL GRUBU

Şekil 33- Kontrol grubundan 4 hayvanın (Ko1,2,3,4) alt ekstremité motor fonksiyon skalası farklarının değişimleri. X eksenini gün olarak zamanı, Y eksenini ise motor skala değişimini (Δ skala) göstermektedir. Bir hayvan 5. gündede olmuştur. ($\Delta S = S_0 - S_n$, S_0 ilk skala, S_n her bir günün skalası).

diğer günlerdeki derecelendirmeden çıkarılarak, skala farkları elde edilmiştir:

$$\Delta S = S_0 - S_n$$

ΔS = skala farkı

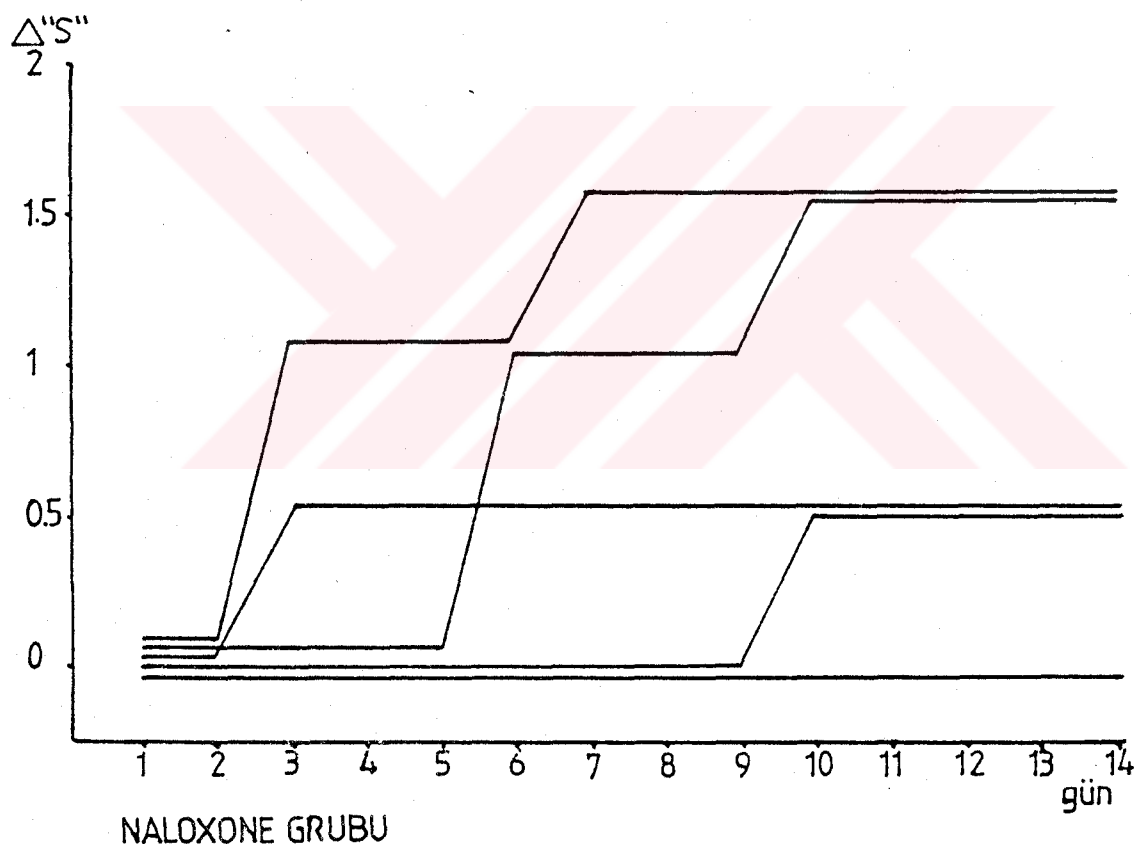
S_0 = ilk günkü skala

o

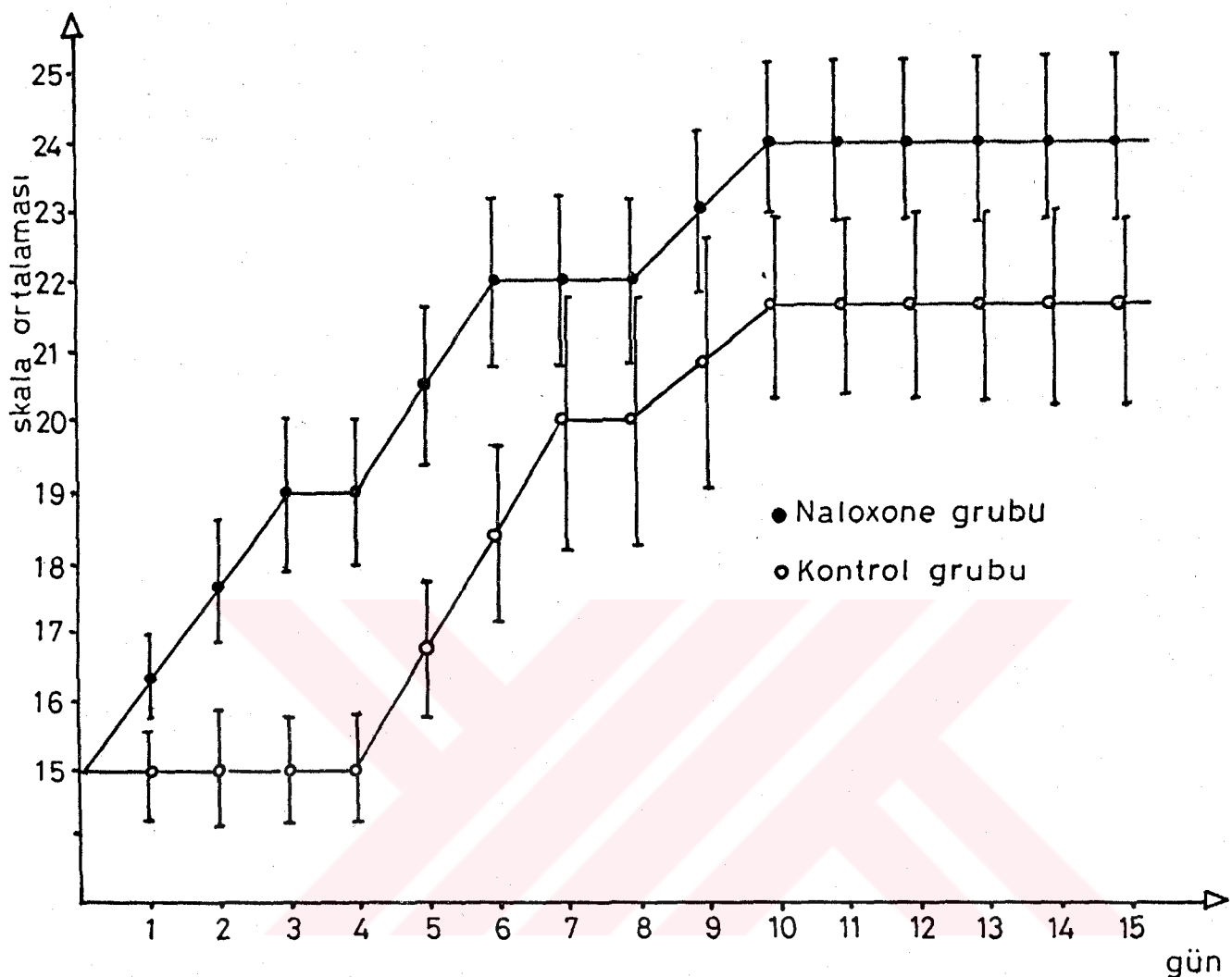
S_n = her bir günün skalası
 n

Dolayısıyla bu grafikler hayvanların ilk 14 gündeki iyileşme miktarlarını vermektedir.

Grup 1 in alt ekstremité motor fonksiyon skalaları şekil 33, 34 ve 35 de incelenmiştir. Kontrol grubunun skala farklarına bakılırsa bir hayvanın 5. günde eksitus olduğunu, bir hayvanın değişmeden kaldığını, 2 hayvanın ise skalalarında 0.5-1 arasında düzelleme olduğunu görürüz. (Tablo 33). Naloxone grubunda ise bir hayvanda hiç değişme olmamış, diğer hayvanlarda ise 0.5-1.5 arasında düzelleme olmuştur. (Tablo 34). Bu grafiklerin hayvanların



Şekil 34- 2 mgr/kgr naloxone verilen 5 hayvanın (No1,2,3,4,5) alt ekstremité motor fonksiyon skaları farklarının değişimleri.



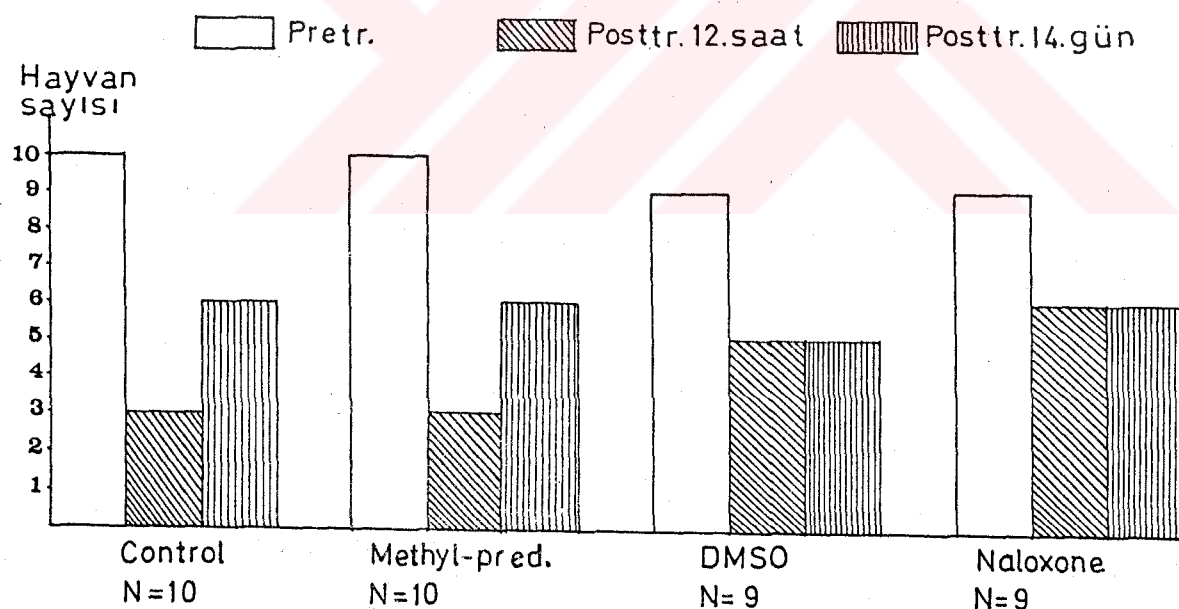
Şekil 35- Kontrol (Ko14) ve naloxone (No15) grubu hayvanların alt ekstremité motor fonksiyon skalası ortalamalarının grafik gösterimi.X ekseni gün olarak zamanı, Y ekseni skala değerlerini gösteriyor.

günler içindeki iyileşme oranlarını gösterdiğini vurgulamıştık.

Bu durumda naloxone'un iyileşme oranının kontrol grubundan fazla olduğunu söyleyebiliriz.

Diğer taraftan her güne ait skala ortalamaları ve standart sapmaları göz önüne alındığında, naloxone grubunun istatistik olarak anlamsız düzeylerde kontrol grubundan daha iyi olduğunu görmekteyiz. (Şekil 35).

Sonuç olarak bu çalışma koşullarında sıçanlarda 80 gm-cm omurilik travmasından 45 dakika sonra verilen 2 mgr/kgr naloxone, kontrol grubuna göre gerek SEP lerde, gerekse de motor fonksiyon skalalarında az miktarda düzelmeye yol acmıştır.



Şekil 36- İzotonik NaCl, MPD, DMSO ve naloxone (10 mgr/kgr) verilen 4 grup hayvanda travma öncesi, travmdan 12 saat ve 14 gün sonra yapılan çekimlerde SEP pozitif hayvanların dağılımı.

b* Daha sonra 10 mgr/kgr naloxone, 15 mgr/kgr MPD, 2 gr/kgr %40 lık DMSO ve %0.9 luk NaCl verilen 2.gruptan 38 hayvanda SEP ler ve motor fonksiyon skalaları incelenmiştir.

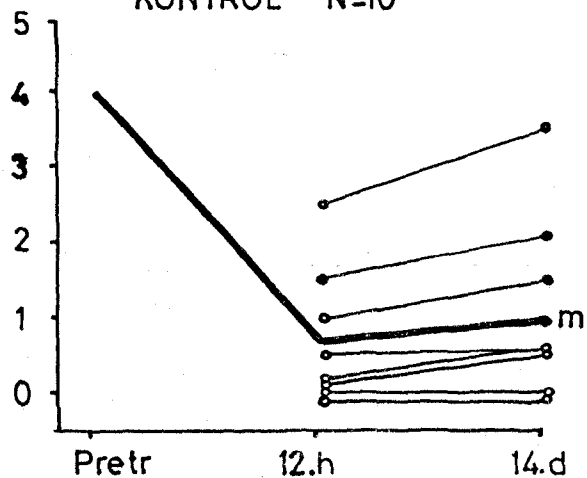
Bu grupta SEP latans gecikmeleri ve amplitüd küçülmeleri yerine 15-18 msn içinde ortaya çıkan büyük pozitif dalganın olup olmaması değerlendirmeye alınmıştır. (Şekil 36). Şekilden görüldüğü üzere naloxone grubu hayvanların SEP lerini diğer gruplara göre daha çabuk düzeltmiştir. Bunu DMSO grubu izlemektedir. Kontrol grubu ile MPD grubu arasında anlamlı bir fark yoktur.

Travmadan sonra değişik ilaç kullanılan grupların SEP (+) olma olasılıklarının eşit olup olmadığı Cochran Q testi ile 332 araştırılmıştır. $P<0.05$ için 12.saat ve 14.gündeki kayıtlardaki Q değerleri sırasıyla 9.6 ve 9.5 olduğundan, bu olasılığın eşit olmadığı ve kullanılan ilaçlara bağlı olduğu söylenebilir. $\chi^2_{0.95} (3)=7.81 < Q$.

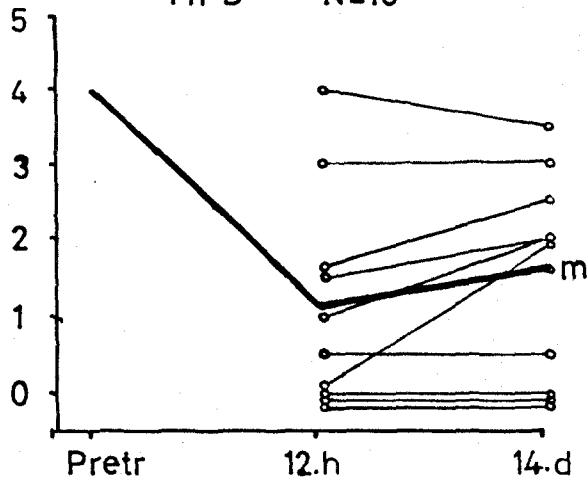
5 li sayısal skorlama ile ilaç kullanılan 3 gruptaki SEP lerin, kontrol grubundan farklıları Wilcoxon signed-rank testi 331 ile incelendiğinde :12.saatte MPD nin kontrol grubundan anlamlı farkı olmadığı ($P>0.1$), DMSO nun ($P<0.01$) ve naloxone'un ($P<0.005$) kontrol grubundan anlamlı iyi olduğu görülmüştür. 14.günde de MPD nin belirgin farkı olmadığı ($P>0.1$), DMSO nun ($P<0.01$) ve naloxone'un ($P<0.005$) anlamlı farklı olduğu anlaşılmıştır.

Subjektif skorlama ile SEP lerin grafiklere geçirilmesi de DMSO ve naloxone'un, kontrol ve MPD gruplarından daha iyi olduğunu

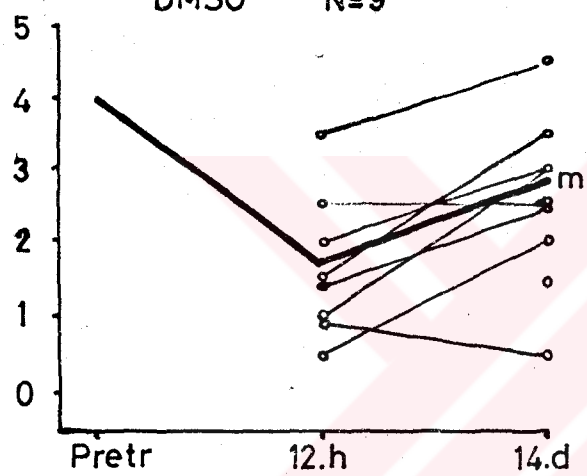
KONTROL N=10



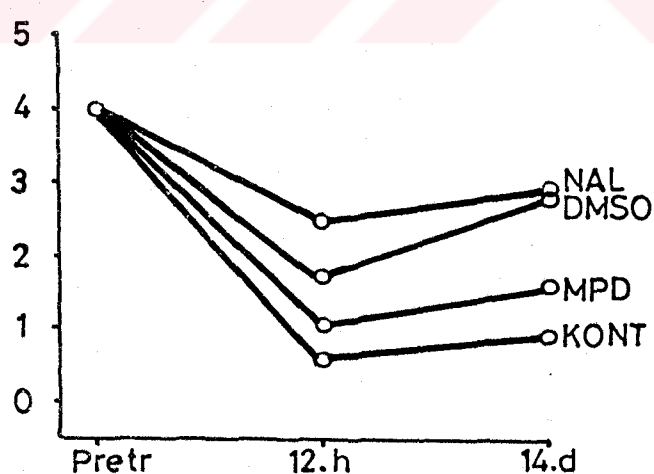
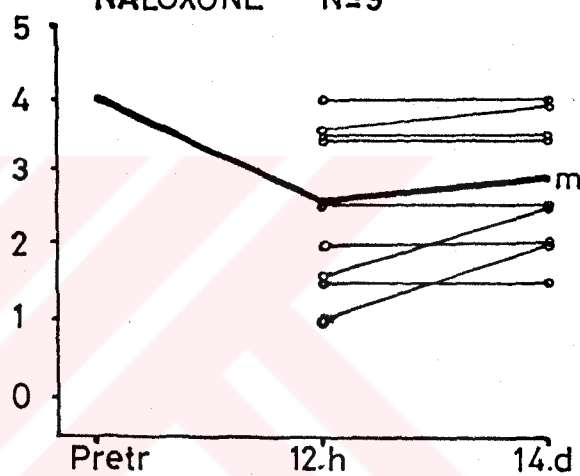
MPD N=10



DMSO N=9



NALOXONE N=9



Şekil 37-SEP latans ve amplitüdlerinin subjektif skorlamasını göz önüne alan skalaya göre (F 1 a m m ve ark. ref.116) 4 grup hayvanın SEP lerinin değişimi. Kalın çizgiler ortalaması değerleri göstermektedir. 0 hiç yanıt yok, 1 kuşkulu yanıt var, 2 kesin fakat küçük yanıt var, 3 dalga formu veya latansi anormal olan yanıt, 5 normalden büyük yanıt.

göstermektedir. (Şekil 37). İstatistik olarak anlamsız düzeyde, naloxone'un DMSO dan daha iyi olduğu da söylenebilir.

Bu 4 gruptaki günlük motor fonksiyon skalası farkları, biraz önce olduğu gibi incelenecak olursa, DMSO grubunda iyileşme miktarının özellikle 5.günden itibaren belirgin olarak arttığını görmekteyiz. Diğer gruplar birbirinden pek farklı değildir. (Şekil 38,39,40,41). Skala farkları değil de her günün skalalarının grup ortalamalarını alduğımızda, yine DMSO grubunun üstünlüğünü görmekteyiz. (Şekil 42).

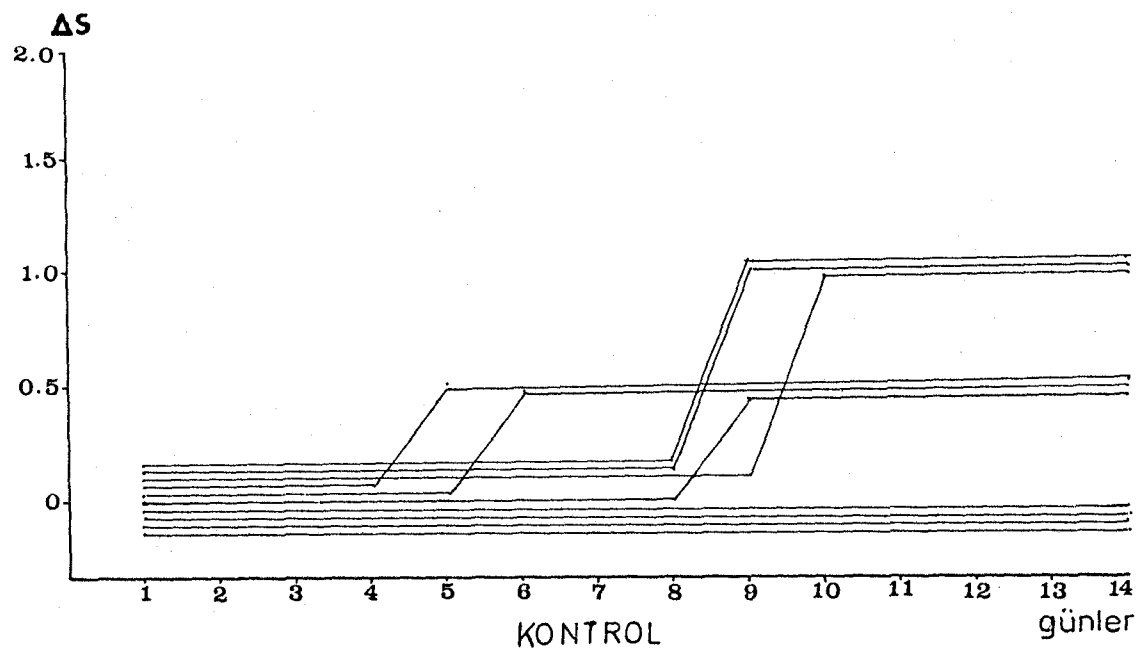
Alt ekstremité motor fonksiyonlarının posttravmatik izlemesinin ilaç verilen ve verilmeyen gruplarda aynı olup olmadığını test etmek istedik. Bu amaçla Wilcoxon rank-sum testini kullandık . DMSO grubu dışında ($P<0.05$ düzeyinde) kontrol grubu ile diğer ilaç grupları arasında anlamlı bir fark olmadığı görülmüştür. [$P(Wn<166)<0.05$]

Sonuçları özetleyecek olursak:

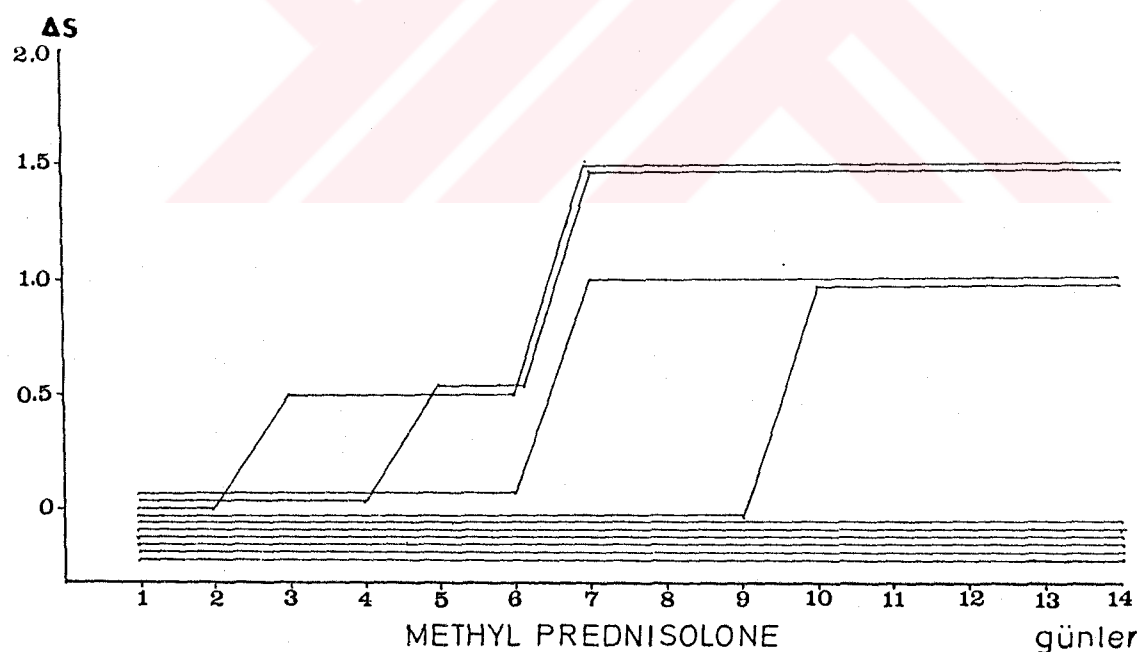
1-Klinik değerlendirmeye göre DMSO, bu çalışma protokolünde sıçan omurilik travmasına yararlı görülmektedir.(İstatistik olarak anlamlı)

2-SEP kayıtlamaları göz önüne alındığında naloxone ve DMSO daha iyi sonuçlar vermektedir. Hatta megadoz naloxone çok az da olsa DMSO dan daha iyi görülmektedir.(İstatistiksel olarak anlamsız)

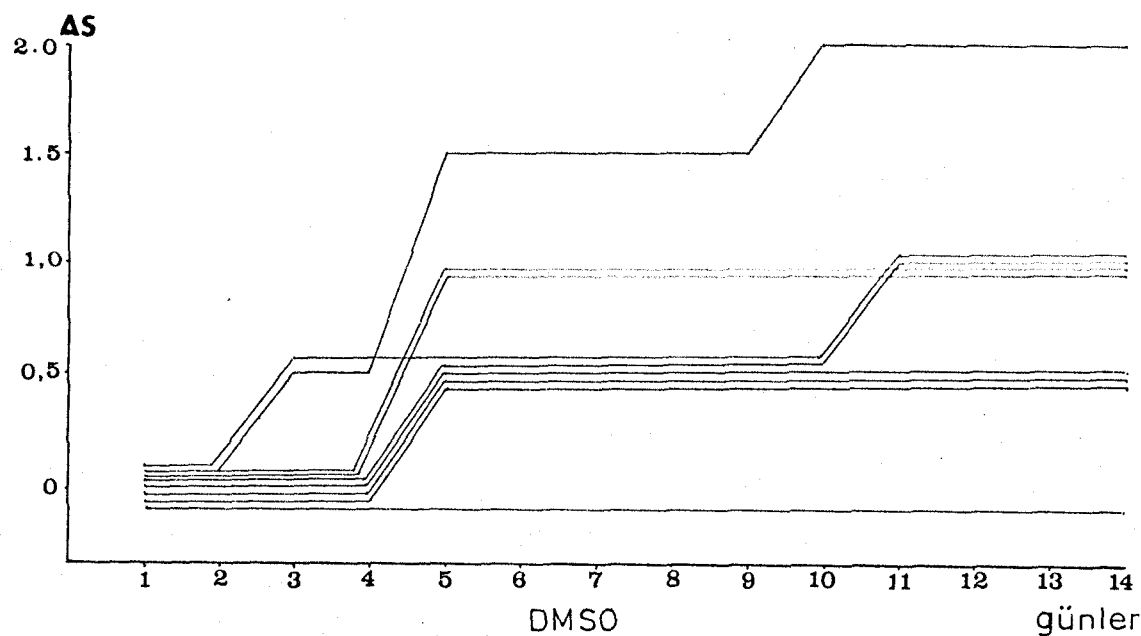
3-Düşük doz (2mgr/kgr) ve megadoz (10 mgr/kgr) naloxone her ne kadar aynı elektrofiziolojik koşullarda incelenmedi ise de,motor fonksiyon skalarları da göz önüne alındığında sıçan omurilik



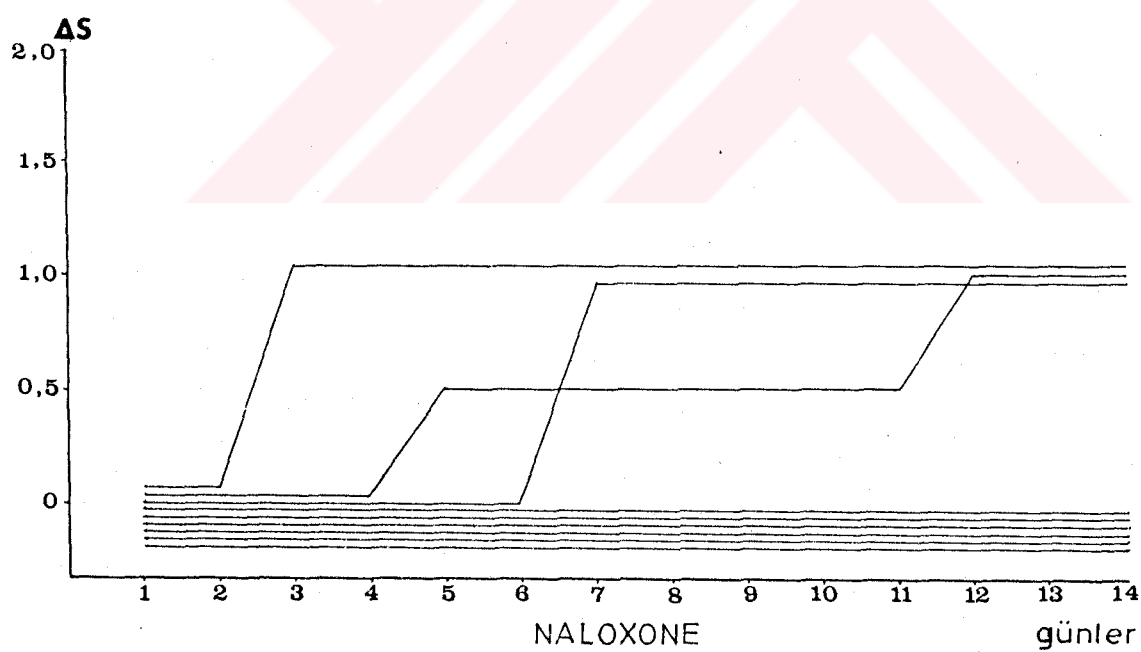
Şekil 38-Kontrol grubu hayvanların (K1-10) alt ekstremité motor fonksiyon skali üzerinde farklarının (Δ skala) değişimleri.



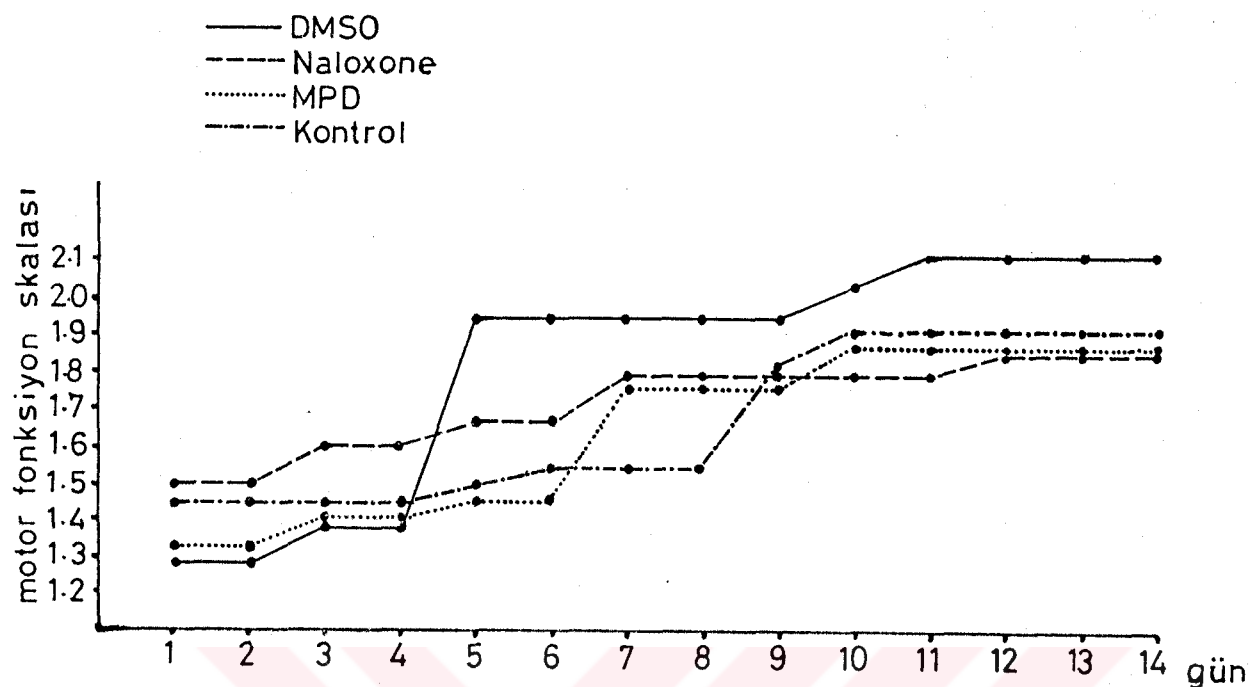
Şekil 39-Methylprednisolone verilen hayvanların (M1-10) alt ekstremité motor fonksiyon skali üzerinde farklarının (Δ skala) değişimleri.



Şekil 40-DMSO verilen hayvanların (D1-9) alt ekstremité motor fonksiyon skalası farklarının (Δ skala) değişimleri.



Şekil 41 Naloxone (10 mgr/kg) verilen hayvanların (N1-9) alt ekstremité motor fonksiyon skalası farklarının (Δ skala) değişimleri.



Şekil 42-izotonik NaCl, MPD, DMSO ve nalokone (10 mgr/kgr) verilen 4 grup hayvanın alt ekstremitelerde motor fonksiyon skaliası ortalama değerlerinin değişim grafiği.

travmasına birbirinden pek farklı davranışmamaktadır.

4-Ne klinik değerlendirme ne de elektrofiziolojik kayıtlamalar, 15 mgr/kgr dozda MPD nin omurilik yaralanmasına etkisi olduğunu göstermemiştir.

5-Sonuç olarak bu deneysel sığan omurilik yaralanması modelinde ve bu dozlarda, DMSO'nun orta derecede bir yararı olduğu (hem motor fonksiyon, hem de SEP lerde), naloxone'un ise hafif bir yararı olduğu (özellikle SEP lerde) söylenebilir.



W TARTESMA

Deneysel omurilik travmalarında deney hayvanı olarak en çok
86,103,104,105,106,115,256,284,343
kedi kullanılmış , ancak
72,73,88,89,90,91,92,137,302 11,19,84,270,271,305
köpek , sıçan
306,307,351,352,353 303,304,342 94,95
, maymun , ferret kullananlar
da olmuştur. Bu çalışmada deney hayvanı olarak, kolay elde
edilmesi, anestezisinin kolay olması nedeniyle beyaz sıçanlar
kullanılmıştır. Ancak beyaz sıçanlarda kronik omurilik travması
yapmanın bazı güçlükleri olduğunu gördük. Hayvanların bir kis-
mında idrar yolu enfeksiyonları olmuş ve 10-14.günler arasında
enfeksiyon nedeniyle ölmüştür. Ölen hayvanlara 14.günde SEP
yapılamadığından çalışmadan çıkarılmıştır.

R i v l i n ve T a t o r da sıçanlarda postoperatif bakımın
270
güçlüklerini vurgulamaktadır. Çalışmacılar spinal şok
nedeniyle olan idrar retansiyonunu önlemek için ilk 10 gün
içinde mesaneye elle kompresyon yapılmasını, e.coli ve proteus-
ların sıkılıkla etken olduğu idrar yolu enfeksiyonlarını önlemek
için profilaktik antibiyotik verilmesini önermektedir. Yine de
tüm bu önlemlere rağmen, şiddetli travma yaptıkları 15 sıçandan
270
4 ünün öldüğünü bildirmişlerdir .Biz de profilaktik antibiyotik uygulaması yaptık. Ancak düzenli mesane masajı, hayvanların
sık temizlenmesi ve yıkanması işlemi zaman zaman aksadığından,
hayvanların bir kısmını kaybettik (20/76).

Sıçanda omurilik travması yöntemi olarak ağırlık düşürme
travmasının uygun olduğunu gördük. Sıçan omurilik travmalarında
83,84,213,271,305,306
kullanılan anevrizma klibi ile kompresyonun

kontrolü güç bir yöntem olduğu, komplikasyonlarının çok olduğu kanısındayız. Kedilerde ve köpeklerde kullanılan kompressif 130, 148, 206, 233, 302, 304 travma yöntemleri de sıçana uygulanması güç görülmektedir. Ayrıca kompressif travmaların, klinik pratikte rastladığımız spinal travmalar sonucu olan omurilik kontüzyonunu yansıtmadığı, daha çok medulla basısı yapan tümörlerin ve patolojik korpus fraktürlerinin travmasını yansittığını düşünmektediyiz.

Sıçanda ağırlık düşürme travması yaparken C o l l i n s'in sözünü ettiği travma dozu/motor fonksiyon eğrisini çizdirmektedik. Ancak basit olarak 10 gm-cm travma şiddetinin paraparezi yapmaması, 25 ve 30 gm-cm travma şiddetinin ise hafif paraparezi yapması nedeniyle tedavinin etkinliğini araştırdığımız gruplara daha büyük travma şiddetlerini kullandık. Farklı ilaçların omurilik travmasındaki rolünü arastırdığımız 38 hayvanda 2 gramlık ağırlığı 40 cm yükseklikten düşündük (80 gm-cm). Literatürde sıçanlarda ağırlık düşürme travması yapan çalışmaların 11, 19 sayısı azdır. Genelde sıçan ve tavşan gibi küçük memelilere, kedi ve köpek gibi büyük memelilere uygulananın 1/10 u 256 şiddetinde travmalar yeterli olmaktadır. Yani sıçanın omuriliği kontüzyona daha duyarlıdır. Ancak C o l l i n s'in sözünü ettiği geçiş zonunun kaç gm-cm olduğu tartışmalıdır. S a s a k i ve ark. (1978) sıçanlarda 20-40 gm-cm lik travmanın arka ayaklarda 12-24 saat süreli geçici paraparezi yaptığıını, 80-150 gm-cm şiddetinde travmanın şiddetli paraparezi veya parapleji

19

yaptığını belirtmektedir . Ancak literatürde tedavilerinin et-
kinliğini 50 gm-cm şiddette travma ile 11 veya 200 gm-cm şiddette
travma ile 19 araştırınlar vardır. Arias (1985) 5 gramlık
ağırlığı 10 cm den düşürmüştür ve bizim gibi çarpma anındaki hızı
ölçmemiştir . Oysa gm-cm çarpımının değerinden çok, ağırlığın
omuriliğe deydiği andaki hızı, oluşan patolojide daha belirleyici 11
ci olmaktadır .

Ayrıca daha şiddetli bir travmada uygulanan ilaçlar yararlı
oluyorsa, bu ilaçlara güvenimiz artacaktır. İnkomplet travmaların
sonuçlarını değerlendirmenin yanılıgı payı yüksek olacaktır.

Deney hayvanlarında travma sonrası omuriliğin durumunu
değerlendirmek için birçok yöntem vardır. Bunlardan en çok kul-
lanılanları, klinik yöntemler, histopatolojik değerlendirme ve
nörofiziolojik değerlendirme :

* Klinik yöntemler : İnsanlarda olduğu gibi motor fonksiyon ve
daysal fonksiyon değerlendirme yapılması yapılabilir. Biz klinik dege-
lendirme olarak yalnızca motor fonksiyon bakısını kullandık. In-
sanlarda bile zahmetli ve yanılma olasılığı yüksek olan duyu
muayenesini yapmadık.

Kullandığımız 3 dereceli skala, Tarlov'un skalasının ba-
sitleştirilmiş şeklidir. Hayvanların ön ayakları sağlam olduğun-
dan arka ayaklarını sürüyerek yürüyebildiklerini gördük. Ayrıca
arka ekstremitelerin pençelerini sıkarak ağırlı uyaran verildi-
ğinde çoğu hayvanın ayağını çektiğini gözledik. Literatürden de
bildiğimiz gibi istemli hareket olarak kabul edilmemesi gereken

bu hareket, primatlarda daha kolay geliştiği söylenen spinal otomatizmaya bağlı bir "geri çekme raksiyonu"dur. Bu yüzden hayvanları tek tek kafeslerinden çıkarıp ağrılı uyarın vermeden, spontan olarak yürürken arka ayaklarını kullanma derecelerini subjektif olarak skorladık.

S h e r r i n g t o n, kedi ve köpeklerde, omurilik kesisinden kısa süre sonra spinal şokun kalktığını, gittikçe kas tonusunun arttığını ve hayvanlar havada vertikal olarak tutulduğunda arka ekstremitelerde "spinal adımlama" adı verilen ritmik alternan 215,270 hareketlerin olduğunu söylemektedir . Bu nedenlerle hayvanları uyararak veya havada tutarak alt ekstremiteler hareketlerini değerlendirmedik.

Belki ilave bir izlem şekli olarak R i v l i n ve T a t o r' 270 in dereceli tabla yöntemini kullanmak uygun olacaktı. Ancak bu yöntemin daha çok denge fonksiyonunu gösterdiğini, ön ayaklarını kullanan ve arka ekstremitelerde tonüsü fazla olan hayvanların dereceli tablada büyük açılarda tutunabileceğini düşünmektediyiz.

Sonuç olarak hayvanlarda, en azından aşağı memelilerde omurilik travması sonrası gelinen motor fonksiyon düzeyini tanımlama konusunda tam bir görüş birliği yoktur. İnsanlardan farklı spinal otomatizmaları bulunan küçük memelilerde değerlendirme hataları yapmak mümkün olmaktadır.

2* Histopatolojik yöntemler : Histolojik değerlendirme genellikle santral omurilik patolojisini tanımlama ve boyutlarını

belirleme şeklinde yapılır. Klasik boyama yöntemleri ile gri cevhernekrozu, hemorajisi, beyaz cevhernekrozu, hemorajisi ve beyaz cevher ödeminin şiddeti ya kalitatif yöntemlerle derecelendirilir ya da omurilik transvers kesitin alanına göre yüzde 11,69,167,168,247,256,277,307 olarak belirtilir. **H e d e m a n** ve ark. grinekroz, grihemoraji, beyaznekroz, beyazhemoraji, beyazodem şeklinde sıraladığı patolojileri; yok (0), hafif (1), 167 orta (2), şiddetli (3) şeklinde skorlamıştır. Kronik dönemdeki kavitasyonları ise hiç yok (0), omuriliğin %25 i kadar (1), %50 si kadar (2), %75 i kadar (3), %100 ü kadar (4) 167,168 şeklinde ayırmıştır. Benzeri kalitatif skorlama, başka 11,277 çalışmalar tarafından da kullanılmıştır.

Hemorajiknekrozun boyutları, kesitlerin fotoğraflarının büyütülmesi ile hesaplanmıştır. Biz ise 6 hayvanda transvers kesitlerde hematoxylen eozin boyaması ile santral hemorajiknekroz yüzdesini hesapladık. Travma şiddeti artınca HN yüzdesinin de arttığını gördük. (Tablo 3). Klasik yöntemlerle ve ışık mikroskopu ile 6.saatteki kesitlerde yaptığımız değerlendirmeler (Fotoğraf 9,10,11,12) -santral HN, beyazcevher ödem vb.- 11,19,256 literatürle uyum göstermektedir.

Ancak travma sonrası histopatolojik değişikliklerle klinik tablonun ve SEP lerin lineer bir ilişkisi olmadığı genelde kabul edilen bir görüstür. Histopatolojik değişiklikler omuriliğin santralinden başladığından, motor ve duysal traktuslar ise daha periferdeki beyazcevher içinde

yerleşmiş olduğundan, santral patoloji/omurilik iletimi ilişkisinin çok direkt bir ilişki olmaması doğaldır.

Diğer taraftan bu değerlendirme, kedi, maymun gibi büyük memelilerdeki deneysel çalışmaların ve insanlardaki bazı gözlemlerin bir sonucudur. Travmatik santral patoloji/omurilik iletimi ilişkisinin sıçanlarda çok direkt bir ilişki olması güclü bir olasılıktır. Çünkü sıçan omuriliğindeki traktusları inceleyen Zeman ve Innnes (1963), kortikal traktusun dorsal kolonun hemen ventralinde, santral gri cevherin dorsalinde 346 olduğunu göstermiştir. Öyleyse sıçandaki omurilik travması, kısa sürede kortikospinal traktusun lezyonuna yol açacaktır. (Şekil 6).

Bu nedenlerle biz diğer hayvanlarda histopatolojik değerlendirme yapmadık. Klinik ve SEP lerle değerlendirmeyi yeterli bulduk.

Yeni histopatolojik değerlendirme yöntemlerinden birisi de sıçanlarda piramidal traktustaki aksonları saymaktır. Akson boyama yöntemleri ile ve büyük büyütme ile yapılan sayı, travma sonrası aksonal rejenerasyon/dejenerasyon miktarını ölçme imkanını vermektedir. 307

3* Nörofiziolojik yöntemler : Spontan omurilik aktivitesi, uyartılmış omurilik aktivitesi ve omurilik refleksolojisi olmak üzere 3 ana grupta toplanabilir.

Deneysel omurilik travması oluşturularak SpEMyeloG incelenen çalışmaların sayısı çok azdır. Bunların hepsi de kedilerde 232, 242, 245 yapılmıştır. Literatürde, beyaz sıçanda omurilik

travması sonrası spontan omurilik aktivitesini araştıran bir çalışma bulamadık. Ancak travma dışı koşullarda SpEMyelogram'ı inceleyen bir çalışma bulduk. Brandon 1955 te anaflaktik şokta beyin ve omurilik aktivitesini incelemek amacıyla kayıtlar yapmıştır.³⁶ Brandon'un elde ettiği dalga formları, çalışmamızdaki dalgalarla uyum göstermektedir.

Sığanda spontan omurilik aktivitesi kayıtlarında en büyük teknik güçlük, solunum artefaktı olmuştur. Kedilerde bunu önlemek için artifisyal pnömotoraks yaparak hayvanları respiration²⁷⁸ töre bağlamak tercih edilmiştir. Biz sığan için uygun bir respiratör bulamadığımızdan bunu yapmadık. Ancak kağıt hızını artırmakla solunum artefaktına rağmen düzgün kayıtlar elde ettik. (Şekil 18,19,20). EKG artefaktını ise aynı anda EKG yi de kayıtlayarak gözledik ve bunun SpEMyelogram ile karışmasını engelledik.

Beyaz sığanda SpEMyelogram'ın başlıca 3 çeşit dalga içerdigini izledik:

1-Zemin aktivitesi : Düzensiz, bifazik voltag dalgalanmaları şeklinde olup genellikle 20 μ V dan küçük amplitüdü ve kısa sürelidir.

2-Bifazik dalgalar : Pozitif-negatif veya negatif-pozitif gelişigüzel ortaya çıkan dalgalardır. Amplitüdleri ZA nin 1-3 misli olabilmektedir.

3-Pozitif dalgalar : Yine gelişigüzel ortaya çıkan, ancak 1.5-2 mm kadar derinlikte ve bir hayvanda kaydettiğimiz yüksek ampli-

tüdlü, yalnızca pozitif komponenti olan dalgalarıdır.

Burada bifazik dalga olarak adlandırdığımız dalgalar, kediler-
45,195,217,278
deki negatif keskin dalgalara benzemektedir. Ancak bunların bir kısmı pozitif başlangıçlı, bir kısmı ise negatif başlangıçlı olduğundan bifazik dalga olarak adlandırmayı uygun bulduk.

Travma uygulanmamış hayvanlarda yalnızca zemin aktivitesini gördük. Bifazik dalgaların ise patolojik koşullarda -spinalizasyon gibi- çıktığını izledik. Nitekim kedilerden elde edilen SpEMyelogram'larda, NKD olarak adlandırılan, büyük kısmı negatif komponentli bifazik dalgaların, normal, kronik elektrod implant edilmiş, uyanık kedilerde görülmediği; anestezi, derin uyku, deserebrasyon, spinalizasyon gibi koşullarda görüldüğü bildiril-
195
miştir .

Literatürde omurilik travması ile spontan omurilik aktivitesi ilişkisinin varlığı bilinmektedir. Omurilik üzerine koydukları ağırlığı bir süre bırakma şeklindeki travma yöntemlerinde M o r-
r i s o n ve ark. epidural disk elektroldardan kayıtlar
245
yapmışlardır . Omurilik üzerine ağırlığı koyunca ZA nin amplitüdü artmış, ağırlığı kaldırınca azalmış, ancak ilk değerlerine dönmemiştir. Yazarlar bu artışın, kedilerde ve kendi travma koşulları içinde ortalama %91 olduğunu bildirmektedirler . Biz de travma sonrası tüm hayvanlarda ZA nin arttığını gözledik.
Ancak bunun kantitatif ölçümünü yapmadık. Fakat görebildiğimiz kadariyla amplitüd artışı, M o r r i s o n ve ark.nın belirt-

tiğî düzeyde olmamıştır. Bunun nedeni, bizim travma şiddetimizin düşük olması olabilir.

Travma sonrası distal ve proksimal omurilik segmentlerinden aynı anda yapılan kayıtlarda ZA amplitüd farkı daha iyi görülmektedir. Periferik afferent impulslarla fasilité olduğu, suprasegmental dessendan yollarla inhibe olduğu iddia edilen bu düzensiz aktivite, suprasegmental inhibitör etkinin kalkması ile belir-
101,102,129,241,242,245,278
ginleşecektir . Ancak V i s s e r ve ark., H o r s t e n gibi yazarlar, travma ile ZA nin
62,278
değişmediğini veya azaldığını söylemektedir .

Ayrıca kedilerde şiddetli travma sonrası ve tam omurilik kesisinden sonra NKD sayısında belirgin bir artış olduğu bildiril-
241
miştir . Bunun nedeninin travma yerindeki uzun spinal yolla-
rin geçici blokajı olabileceği, bu bloğun travmanın kaudalinde omurilik internöronlarının belli merkezlerin inhibitör etkisin-
241,242
den kurtulmasına yol açabileceği iddia edilmiştir .

Biz kedilerdeki NKD lara analog olarak kabul edebileceğimiz bifazik dalgaları, 2 hayvanda travma sonrası gördük. Pozitif dalgaları ise yalnızca bir hayvanda ve transeksiyon sonrası 1.5-2 mm derinlikte kaydettik. Ancak diğer hayvanlarda her derinlikte kayıt yapılmadığından, pozitif dalgaların yalnızca patolojik koşullarda çıktığı şeklinde bir genellemeye yapmanın doğru olmayacağı kanısındayız.

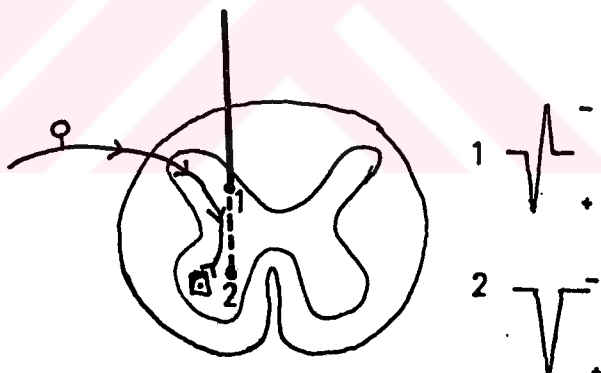
Çeşitli derinliklerde elde ettiğimiz spontan aktivite,I l l i n g w o r t h ve Molina - Negra'nun köpeklerde

yaptıkları kayıtlara çok benzemektedir . Önce küçük amplitüd- lu ZA, sonra bifazik dalgalar, sonra pozitif dalgalar görülmektedir. (Şekil 24). Ancak iğne elektrodun omurilikteki yeri konusunda güvenilir bilgiye sahip değiliz. Bu nedenle, bu koşullarda elde ettiğimiz dalgaların kaynağı konusunda yorum yapmak güçtür.

Ancak omurilik içinde değişik derinliklerdeki elektroddan, bir arka kök veya periferik sinirin uyarılması ile elde edilen EvEMyelogram'ın polarite değişimini bize yol gösterebilir. Özellikle Gasser ve Graham'ın (1932) ve diğer bazı çalışmalarının gözlemleri, arkadan sokulan elektroddan önce negatif uyarılmış potansiyel alındığını, elektrod ilerletilmeye devam edilirse potansiyelin küçüldüğünü, tersine döndüğünü ve ön boynuzda pozitif karakter

15-
aldığını göstermiştir
57,333

. Bu yöntemle çiz-
dirilen polarite harita-
larına da "omurilik alan
potansiyelleri" dendiğini
333
bilmekteyiz . Uyartıl-
miş aktivite ile olan bu
polarite değişiminin,



Şekil 43-Omurilik içine batırılan bir iğne elektroddan çeşitli derinliklerde alınan potansiyellerin polaritesi. Omuriliğin dorsal yarısındaki elektrod (1), yaklaşır uzaklaşan afferent girdiler nedeniyle negatif-pozitif, ventral yarısındaki elektrod (2), motornöronlara yaklaşan afferent girdiler nedeniyle pozitif potansiyeller çizdirecektir.

spontan aktivite ile aynı yönde olması olasıdır. Çünkü istirahat halinde kaslardan, deriden ve tendon organlarından dorsal kökle-re sürekli afferent girdilerin olduğu ve bunun bir kısmının dorsolateral kordondan yukarı çıkarken, bir kısmının gri cevher internöronlarına ve ön boynuzdaki motor nöronlara doğru aktığı 215 ve buralarda sinaps yaptığı bilinmektedir . Omurilik içindeki bu spontan aktivite akışını şekil 43 te göstermeye çalıştık. Kabaca omuriliğin arka kısmında negativite, ön kısmında ise pozitivite şeklindeki bu polarite değişimi, farklı derinliklere sokulan elektroddan alınan spontan aktivitede de izlenebilir. Yani EvEMyeloG'daki N dalgasının, NKD ların analogu olduğunu söylemek te çok yanlış olmayacağıdır.

Travma sonrası ortaya çıkan bifazik dalgaların kaynağını da iyi bilmemekteyiz. Ancak bu dalgaların benzeri olan kedilerdeki NKD ların, travmanın yarattığı suprasegmental impuls blokajı sonucu 242,245 ortaya çıktığı söylənmektedir . Molt ve Gasteig er, kedilerde NKD ları özellikle dorsal gri cevherden kaydetmişlerdir. Gri cevher internöronlarının, NKD adı verilen eksitabilitə dalgalanmaları gösterdiklerini söylemektedirler . Bir diğer elektrofiziolojik inceleme yöntemi uyartılmış potansiyellerdir. Bu çalışmada yalnızca siyatik sinir uyarımı ile kafa derisinden ve kranyal epidural mesafeden kayıtlar (SEP ve SSEP) yapılmıştır.

Anestetik maddelerin SEP leri etkilediği bilinmektedir . Hayvan anestezisinde genellikle tercih edilen intraperitoneal

Epidurale elektrod yerlestirilmesi, genellikle sensorimotor korteks

teks üzerine bir adet burr hole açılması, buraya vida elektrod
yerleştirilmesi, referans elektrodun ise bir kas içine veya
69,154
frontal sinüs içine yerleştirilmesi, ardından kayıt yapılmaması şeklinde uygulanmaktadır.

Bu çalışmada önce kafa derisi altına sokulan iğne elektrodlardan uzun latanslı SEP ler elde edilmiş, daha sonra yöntemde değişiklikler yapılmış ve kronik epidural elektrodlardan kısa latanslı SEP ler elde edilmiştir. Kronik epidural elektrod yerleştirilmesi yöntemimiz, Rucker ve ark nın (1981)
köpeklerde uyguladığı yönteme çok benzemektedir . Araştırmacılar, postsantral girus üzerinde 6 mm çapında, birbirlerinden 0.5 mm mesafede iki adet burr hole açmışlar, vidaların başlarına elektrodları tutturmuşlar, tellerin ucunu da cilt altından çıkarıp insizyonu kapatmışlardır.

Epidural elektrod yerleştirdiğimiz sığanların hiçbirinde 14 günlük izleme süresince enfeksiyon sorunu olmamıştır. Oysa cilt altına konan iğne elektrodlardan kas artefaktları alınmakta ve EEG güç elde edilmekte idi. Kas artefaktını önlemek için anestezinin derinleştirilmesi de yeterli olmamakta idi. Ayrıca takiben uygulamalarda, iğneler hep aynı yere yerleştirilemediğinden, amplitüdlerde büyük sapmalar olmaktadır. Bu nedenlerle cilt altı elektrod yerleştirme yöntemini bırakmak zorunda kaldık.

SEP lerin değerlendirilmesi de bir diğer sorundur. Belli dalgaların latans ölçümleri, dalga tepeleri arasındaki amplitüden ölçümlü kullanılan belli başlı yöntemlerdir. SEP lerin ayrımla-

yıcı "diskriminant" analizi gibi istatistik yöntemlere başvurmak
277
ta olasıdır . İlk grup deneklerdeki latans ve amplitüdlerin
ortalama değerleri ile ortalama hatalarına bakacak olursak,
amplitüdlerin çok büyük deviasyonlar gösterdiğini, birinci dalga
dışında latansların da standart sapmasının fazla olduğunu görmek-
teyiz.(Tablo 4). Primer duysal kortekse ait olduğunu düşündüğü-
müz büyük pozitif dalganın latansının 16.75 ± 0.92 msn olduğunu
bulduk. Bu yüzden oldukça stabil olan bu yanıtı değerlendirmekle yetindik.

50,345

SEP'in bulunup bulunmaması ve SEP'lerin subjektif skorlaması yöntemleri bundan sonraki ikinci grup-hayvanların değerlendirilmesinde kullanılmıştır. (Şekil 35,36). Yani SEP'lerin değerlendirilmesi için birbirinden farklı 3 yöntem kullanılmış bulunuyoruz. Bunlardan sonuncusunun -subjektif skorlama-amplitüd ve latansı birlikte değerlendirmeye aldığı için daha anlamlı olduğu kanısındayız. (Şekil 36).

Kayıtlardaki tarama süresine gelince; ilk grup hayvanda 200 msn, ikinci grupta 50 msn tarama süresi kullanılmıştır. Kısa tarama süresi kullanılıncı, stimülüs frekansı arttırlabilmekte -2 Hz den 4 Hz e- ve SEP elde etme süresi kısaltmaktadır. Ayrıca amaç, primer duysal kortekse kadar olan yolun incelenmesi ise, veya bu büyük pozitif yanıt değerlendirmeye alınacak ise, daha sonraki instabil dalgaları kayıt süresinden çıkarmak uygun olacaktır. Ayrıca tarama süresi kısaltılınca, bilgisayarın bu latanslar için rezolüsyonu artmaktadır. dalganın sekli daha fazla

belirginleşmekte

Burada vurgulanması gereken bir diğer nokta, omurilik travması sonrası her iki alt ekstremitenin birlikte veya tek tek uyarılmasının önemidir. Ağırlık düşürme travması sonrası bir alt ekstremitenin diğerine göre daha az paretik olduğu veya bir bacak stimülasyonu ile SEP alınırken, diğeriyile alınmadığı olmaktadır. (Şekil 30). Ağırlık düşürme travmasının, değişik nedenlerle asimetrik omurilik lezyonuna yol açması buna neden oluyor olabilir. Bu yanlışlığı önlemek için her iki alt ekstremitenin 133,258,259 teyi aynı anda stimüle etmek mümkündür . Ancak aynı anda bilateral stimülasyon yapan bir stimülatörümüz olmadığından bunu yapamadık. Sırayla her iki alt ekstremiteyi stimüle ederek 2 şer kez SEP kaydettik.

SEP'in travmadan sonra ne zaman kaydedileceği de tartışma konusudur. Rucker ve ark. (1981) SEP latanslarının diskriminant analizini yapmışlar, ileride yürüyecek ve paraplegik kalacak hayvanların ayırımının 1. saatte alınan SEP'lerle %38 doğrulukla. 2.saatte %55 doğrulukla yapılabileceğini göstermişlerdir . Donaghay ve Numoto'nun gözlemleri de (1969) 4. saatte SEP'in prognozu daha iyi belirtebileceği 85 yönündedir . Daha önce insanlarda bizim ve başka çalışmaların yaptığı araştırmalar da omurilik travması sonrası gelinen fonksiyonel durumun, ilk saatlerdeki nörolojik skorlamalarla değil, 24 hatta 48.saatlerdeki skorlamalarla anlaşılabileceğini 347 göstermiştir . Bu nedenlerle biz, akut dönemde kayıt yapmak

yerine, patolojik sürecin nispeten stabilleştiği 12. saatte kayıt yapmayı tercih ettim.

Sıcanda SEP'in normal değerleri ile ilgili çalışmaların sayısı 178,236 azdır. Bunlardan Hulse r ve Wietholt e r (1983) tibial sinir stimülasyonu ile spinal SEP'leri kaydetmiş, 178 ancak kortikal kayıt yapmamıştır. McComas (1963) ise 236 mekanik stimülasyon ile kayıtlar yapmıştır. Bu nedenlerle sıcakta siyatik sinirin elektrik stimülasyonu ile kranyumdan elde edilen kısa ve uzun latanslı SEP'lerin normal değerlerini, bir başka kaynakla karşılaştıramıyoruz.

Omurilik travmalarının sonuçlarını değerlendirmede kan akımı ve omurilik ödemini ölçme yöntemleri yanı sıra bazı biyoşimik ölçümler de kullanılmaktadır. Omuriliğin fonksiyonel durumundan çok ultrastrüktürünyü ve metabolizmasını belirlemeye yarayan ve travma fizyopatolojisini anlamaya yönelik, çeşitli teknik güçlükler içeren bu yöntemleri kullanma imkanımız olmadı. Nitekim çoğu araştırmacı da motor fonksiyon bakısı, SEP ve histopatolojik incelemeden bir veya ikisini kullanmakla yetin- 11,31,47,54,73,85,89,103,105,167,189,255,256,343 miştir.

Omurilik travmalarında ilaçın ne zaman verileceği konusunda genel bir görüş birliği vardır. Sekonder hasarın geri çevrilebilmesi için mümkün olduğu kadar erken dönemde tedaviye başlanmalıdır. 4-6 saatten sonra tedavinin yararı olmayacağı, ancak rejenerasyona yönelik tedavilerin başarısından söz edilebilir 89,256 . Bu nedenlerle kontrollü deneysel çalışmalarda

208 37,38,39

ilaçları travmadan 15 dakika sonra , 30 dakika sonra ,
103,104,105,115,343,350,353 277
45 dakika sonra ve 60 dakika sonra

verenler olmuştur. Bizler de ağırlık düşürdükten 45 dakika sonra ilaç enjeksiyonu yaptık. Klinik pratikte insan omurilik travma-
larına bu kadar erken ilaç uygulaması hemen hemen imkansızdır
347
Ancak bu dönemde verilen ilaç bile etkili olmuyorsa, ilacı daha
geç saatlerde denemenin anlamı olmayacağıdır.

Bu çalışmada 15 mgr/kgr MPD nin, 80 gm-cm sıçan omurilik kontüzyonuna yararsız olduğunu, 2 ve 10 mgr/kgr naloxone'un yararlı 2 gm/kgr DMSO dnu yararlı olduğunu görmekteyiz.

Kortizonun omurilik travmasında etkisi konusunda olumlu
41,46,47,73,156,157,160,221,239,247,340 35,106,277
ve olumsuz çok
sayıda çalışma vardır. İnsan omurilik travmasında yararlı olduğunu gösteren ise olmamıştır. Ancak rutin pratikte geleneksel olarak birçok nöroşirürji kliniğinde, travmalı hasta geldiğinde verilmeye başlanmakta, günler hatta haftalar boyunca 89,340 sürdürülmektedir. Acaba bu şekilde verilen kortizon gerçekten yararlı mıdır? Bu soruya yaptığımız çalışma ile kesin bir yanıt vermek mümkün değildir. Ancak klinikte uyguladığımız dozun (16-32 mgr/gün deksamethazon) yaklaşık 10-15 katını bir defada ve bolus enjeksiyonuyla verdiğimizde, deneysel olarak olumlu sonuç alamamış bulunuyoruz. En azından klinikteki uygulamanın yanlış olduğunu ve terkedilmesi veya değiştirilmesi gerektiğini söyleyebiliriz.

Bu görüşü destekleyen insan çalışmalarını da bulunmaktadır.

Bracken ve ark. (1985) insan omurilik travmalarında 14 mgr/kgr başlangıç dozu ve 10 gün süreyle idame tedavisi yapmışlar ve olumlu bir sonuç alamamışlardır. ³⁵ Bizim ve bu insan çalışmasının sonuçları arasındaki bu uyum, sorunu çözmeye yeterli değildir. Çünkü son zamanlarda bu dozdan da yüksek miktarlarda (30 mgr/kgr) ya da megadoz MPD nin deneysel çalışmalar-²³⁹ da fonksiyonel düzelmeyi sağladığı, omurilik biyokimyasını ^{37,39,40,41,157} düzelttiği söylenmektedir. Son 1-2 yıllık literatürün getirdiği bu sonuç, değişik laboratuarlarda kanıtlanmayı ve insanlarda uygulanmayı beklemektedir. Nitekim Fadem ve ark. (1985) megadoz MPD, naloxone ve placeboyu akut insan omurilik travmalarında karşılaşacaktır çok merkezli bir çalışmayı ¹¹⁶ başlatmıştır.

Son yılların popüler ilacı olan morfin antagonisti naloxone, ^{68,173} ^{18,63} endotoksik şoktan serebrovasküler olaylara kadar birçok şifası olmayan hastalıkta yararlı bulunmuştur. 1977 de siyan omurilik ve medulla oblongatasında opiat reseptörlerinin ¹³ olduğu gösterildikten sonra omurilik travmalarında da kullanılmış ve birçok laboratuarda yararlı olduğu bildirilmiştir ¹⁰⁴ ^{105,115,343}. İnsanlarda da 2.7-5.4 mgr/kgr lik dozlarının yarar-¹¹⁶ li olabileceğini düşündüren gözlemler olmuştur. Birçok labo-
ratuarda naloxone'un etkisinin doza bağımlı olduğu bulunmuş-^{104,105,115,116,343} tur. Nitekim Faden ve ark. (1983) 10 mgr/kgr lik dozun, 2 mgr/kgr lik dozdan daha etkili olduğunu ¹⁰⁵ söylemişlerdir. Bizim sonuçlarımız literatür ile bu yönde

uyum göstermemektedir. 2 ve 10 mgr/kgr lik uygulamalarımızdan farklı sonuçlar almadık.

Yine üzerinde çok fazla speküasyon yapılmış olan DMSO'yu %40 lik solusyonundan 2 gr/kgr verdigimizde, naloxone'dan daha yararlı bulunduk. Bu sonuç, bulabildigimiz literatürle uyum 72,73,277 göstermektedir .

İlaçları insanlara uygularken, farklı dozlar ve yan etkilerin olmasını, insan omurilik travmasının bazı ilaçların farmakodina- 111 miğini etkilemesine bağlama eğilimi vardır .

Bu çalışma, omurilik travmalarının fizyopatolojisi hakkında bilinenlere ve kullanılan bu ilaçların hangi basamaklarda patolojik süreci etkilediği sorusuna fazla katkı getirmemektedir. Ancak fizyopatoloji ve ilaç etkileri konusundaki tartışmaları açıklık getirmek ve bazı noktalarda birkaç teorik öneride bulunmak istiyoruz. Genel bilgiler kısmında da sözünü ettigimiz gibi, son görüşler, travmanın hücre membranında yaptığı hasarın 6,37,89,156,203 iletim kaybından sorumlu olduğu ve oto-destrüktif olayların bunu izlediği şeklindedir . Omurilik travması sonrası olan fizyopatolojik süreci, şekil 44 te özetlemeye çalıştık. Travmadan hemen sonra başlayan ve bazen birkaç dakika sürebilen alt ekstremitelerdeki konvülsif karakterdeki hareketleri biz de gözledik. K o b r i n e'in hipotezine göre (1975) bu sıçrayıcı hareketler, membrandaki sodyum pompasının bozulması ve hücre içine aşırı Na girmesine bağlıdır . İtrasellüler Na'un artışı, hiperpolarizasyona yol açmaktadır, bu da nöron ve aksonla-

rin spontan deşarjlar göstermesine ve ilgili kaslarda düzensiz, istemsiz hareketlere yol açmaktadır. Bu dönemde hiperpolarize akson ve nöronlar, uyartılmış potansiyelleri geçirmemekte veya yeni bir uyarıma yanıt vermemektedir -refrakter kalmaktadır .²⁰³

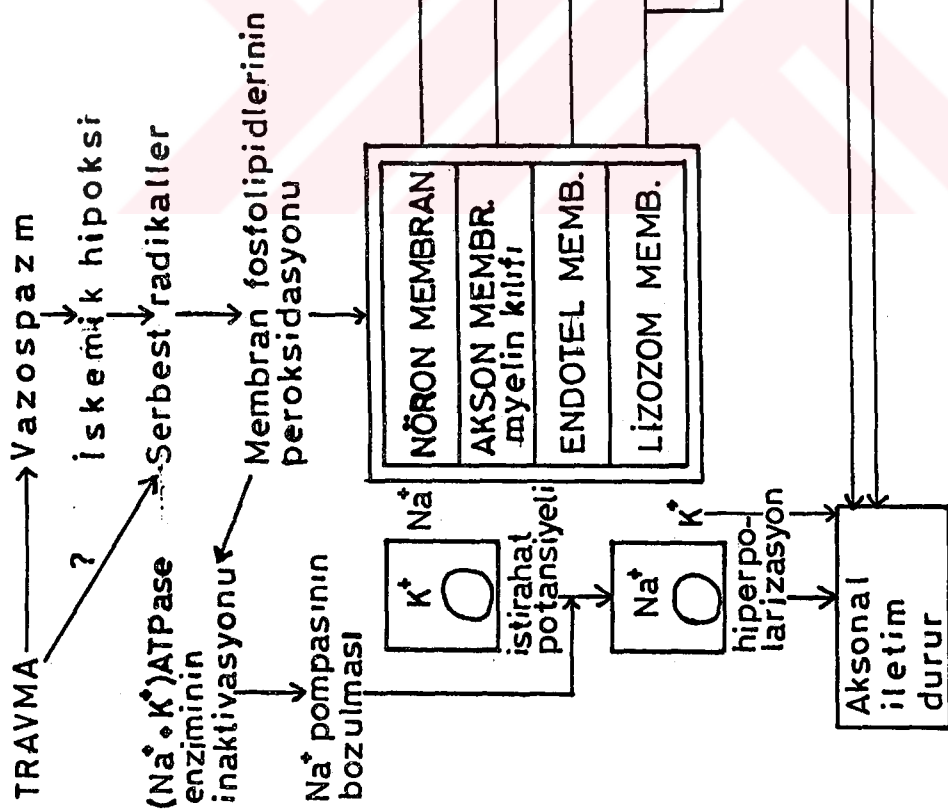
Membran destrüksiyonu, ilk planda aksonal iletimi durdurmakta, daha sonra vasküler endotel ve lizozom membranındaki defektler, santral hemorajik nekroz ve ödem gibi irreversibl değişikliklere yol açmaktadır .^{40,54,89} Kobrin'e'in "primer nöronal disfonksiyon" teorisi ile sekonder hasar teorilerini birbirinden ayrı değil, birbirini tamamlayıcı olarak düşünmek daha doğru olacaktır. İki teoriyi bağlamak için, farklı membranların travmaya ve iskemiye duyarlılıklarının farklı olduğu hipotezini öne sürmek zorundayız. Nöronal ve aksonal membranların travma ve iskemiye duyarlılığının daha az olduğunu varsayırsak, bu sorun çözülmektedir. Düşük travma şiddetlerinde direnci az olan nöronal ve aksonal membranın reversibl hasarı, yanı geçici bir hiperpolarizasyon sonucu iletim kaybı olacak, ancak daha dayanıklı olan endotel ve lizozom membranında hasar olmadığından irreversibl oto-destrüktif süreç başlamayacaktır. Oysa şiddetli travmalarda tüm membranlarda hasar olacak ve hemorajik nekrozun gelişmesi önlenmeyecektir. Bu hipotezin açıklanması için bazı biyosimik ve ultrastrüktürel çalışmaların yapılması gerekecektir. (Şekil 44).

Membran hasarını yalnızca iskemiye bağlı eğilimi vardır . Ancak iskemi, hipoksiye yol açmadan membran destrüksiyonuna yol

273

REVERSİBL

İRREVERSİBL



Şekil 44-Omurilik yaralanmasının fizyopatolojisindeki olası mekanizmaları şematize ettiğimizde, aksonal filetimin durmasını ilk olarak, membran destrüksiyonunu daha sonra görüyoruz. Reversibl ve irreversible dönemler arasında kesin bir geçiş yoktur.

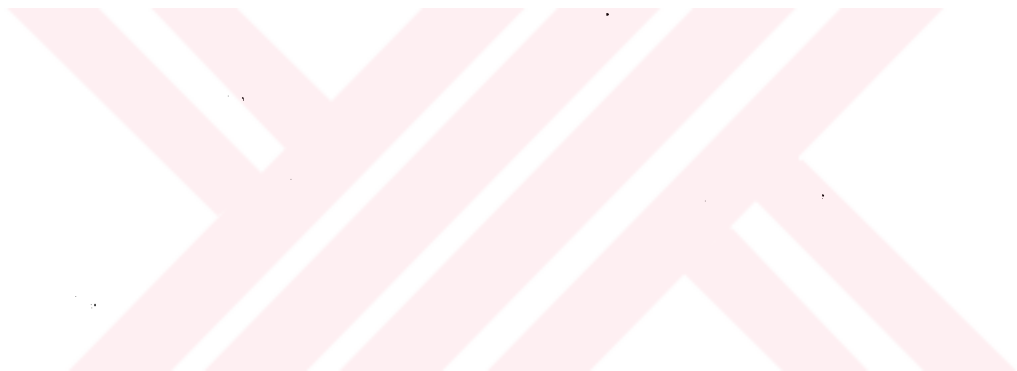
grı cevher
beyaz cevher destrükt

açamaz, bu da birkaç dakika sürebilir . Oysa travmadan hemen sonra gözlediğimiz alt ekstremitedeki sıçramalar ve başka çalışmacıların SEP lerin hemen kaybolduğu şeklindeki gözlemleri 89,203 bunu desteklememektedir. Sodyum pompasının bozulmasını, basit bir enerji iletimi ile açıklamak mümkün olabilir. 2 gramlık ağırlığın 40 cm yüksekte bulunması ile sahip olunan potansiyel enerji, ağırlık duraya çarptığında kinetik enerjiye çevrilmektedir. Bu enerjinin, iskemik hipoksi gibi ara mekanizmalar olmaksızın doğrudan membranların yapısını bozması; ya da sodyum pompasını çalıştıran ATPase enzimini inaktive etmesi ve böylece spontan depolarizasyonlara yol açması düşünülebilir. Bunları açıklamak için mikroelektrod ile intrasellüler kayıtlamaların yapılması gerekecektir. Ayrıca travma dışı enerji şekilleri ile de -elektrik stimülasyonu, elektromanyetik alan uygulaması, ısı enerjisi uygulaması vb- intrasellüler ve ekstrasellüler iyon konsantrasyonlarının ve omurilik iletiminin değiştiği- nin gösterilmesi gerekecektir.

19,68,168,189,277,340

Sonuç olarak, yalnızca ödemi önleyecek 158,256,273,314,338 veya vazospazmı önleyecek tedaviler, omurilik travmasında yararlı olmayacağındır. Nitekim bu çalışmada travmadan 45 dakika sonra verdigimizde yararlı bulduğumuz naloxone'un ve DMSO nun membran stabilizasyonunda rol aldığı şeklinde güçlü deliller vardır 63,137,210,325 . MPD nin de bizim kullandığımız dozun iki katı dozda verildiğinde membran stabilizasyonunda 39,40,41 yararlı olduğu söylenmektedir . Bu nedenle çalışmanın MPD

bölümünün, 30 mgr/kgr lik doz ile tekrarlanması uygun olacaktır. Eğer membran destrüksyonunu önleyecek ilaçlar kullanılacaksa, bunların elden geldiğince erken saatlerde verilmesi gerekecektir. İlaç uygulamasının da uzun süreler devam ettirilmesine 41 gerek yoktur . Biz bu çalışmada tek intraperitoneal enjeksiyonla ilaçları verdik. İdame tedavisine gitmedik. Diğer çalışmala göre naloxone'un ve DMSO'nun yararını hafif ve orta derecede bulmamızın bir nedeni de tek enjeksiyon yapılması olabilir. Ancak eğer DMSO ve naloxone, tek dozda az da olsa etkili oluyorsa, bu etkinin öncelikle biraz önce sözünü ettigimiz nedenlerle olduğunu ve 24 saat kadar süredürülecek tedavinin yararının daha fazla olacağını düşünmek yanlış olmayacağından dayız.



WE ÖZET

Bu çalışma, deneysel bir modelde omurilik travmasının elektrofizyolojik ve histopatolojik sonuçlarını değerlendirmek, bunlara ve motor fonksiyona bazı tedavi şekillerinin etkilerini araştırmak için planlanmıştır.

Bu amaçla deney hayvanı olarak 56 adet beyaz sıçan kullanılmıştır. İtraperitoneal pentobarbital anestezisi ile orta dorsal laminektomi yapılmış ve Allen'in modifiye ağırlık düşürme yöntemi ile 10-80 gm-cm şiddetine travmalar uygulanmıştır. 7 denekte yapılan spontan elektromyelogram kayıtlarında, travma ile anameli değişiklikler olduğu görülmüştür. Bunların 6'sında travmadan 6 saat sonra alınan histolojik kesitler, travma şiddeti ile orantılı santral hemorajik nekroz yüzdelerinin varlığını göstermiştir.

Diğer 47 hayvanda somatosensoryel uyartılmış potansiyel (SEP) kayıtları yapılmıştır. Bunların 9'unda kayıt için kafa derisi altına konan iğne elektrodlar, 38'inde paryetal epidural vida elektrodlar kullanılmıştır. Epidural kayıtlamanın diğerine göre üstün olduğu görülmüştür. Her hayvana travmadan önce, travmadan 12 saat sonra ve 14 gün sonra olmak üzere 3 kez SEP kaydı yapılmıştır. Travma sonrası her iki bacağın stimülasyonunun önemi vurgulanmıştır.

14 hayvana 2 ml %0.9 luk NaCl, 5 hayvana 2 mgr/kgr naloxone, 9 hayvana 10 mgr/kgr naloxone, 10 hayvana 15 mgr/kgr methylprednisolone, 9 hayvana ise %40 lik solusyon içinde 2 gr/kgr dimethyl

sulfoxide verilmiştir. İlaçlar 80 gm-cm şiddetindeki travmadan 45 dakika sonra intraperitoneal bolus enjeksiyonlar şeklinde verilmiştir. Bu 5 grup hayvanın SEP lerinin ve 14 gün süreyle günlük motor fonksiyonlarının karşılaştırılması sonucunda; %0.9 luk NaCl verilen grupta methylprednisolone grubunun bir farkı olmadığı, naloxone'un aksonal iletime ve az miktarda motor fonksiyona yararlı olduğu, dimethyl sulfoxide'in hem aksonal iletiimi hem de motor fonksiyonu belirgin düzelttiği görülmüştür.



ÜYE SAYMAKLAR

- 1-Albin MS, White RJ, Acosta-Rua G, et al. Study of functional recovery produced by delayed cooling after spinal cord injury on primates. *J Neurosurg* 29:113-120, 1968
- 2-Alderman JL, Osterholm JL, D'Amore BR et al. Catecholamine alterations attending spinal cord injury : a reanalysis. *J Neurosurg* 6:412-417, 1980
- 3-Allen AR. Surgery of experimental lesion of spinal cord equivalent to crush injury of fracture dislocation of spinal column : a preliminary report. *JAMA* 57:878-880, 1911
- 4-Allen A, Starr A, Nudleman K. Assessment of sensory function in the operating room utilizing cerebral evoked potentials : a study of fifty six surgically anesthetized patients. *Clin Neurosurg* 28:457-481, 1981
- 5-Alpsan D. The effect of the selective activation of different peripheral nerve fiber groups on the somatosensory evoked potentials in the cat. *EEG Clin Neurophys* 51:589-598, 1981
- 6-Anderson DK, Means ED, Waters TR, Spears CJ. Spinal cord energy metabolism following compression trauma to the feline spinal cord. *J Neurosurg* 53:375-380, 1980
- 7-Anderson DK, Means ED, Waters TR, Green ES. Microvascular perfusion and metabolism in injured spinal cord after methylprednisolone treatment. *J Neurosurg* 56:106-113, 1982
- 8-Anderson TE. A controlled pneumatic technique for experimental spinal cord contusion. *J Neurosci Methods* 6:1028-1031, 1982
- 9-Anderson TE. Spinal cord contusion injury : experimental dissociation of hemorrhagic necrosis and subacute loss of axonal conduction. *J Neurosurg* 62:115-119, 1985
- 10-Annual reports of progress, February 1981-January 1982 and highlights of activity 1977-1981. Rancho Los Amigos Rehabilitation Engineering Center Downey, California, 1981
- 11-Arias MJ. Effect of naloxone on functional recovery after experimental spinal cord injury in the rat. *Surg Neurol* 23:440-442, 1985
- 12-Atanackovic D, et al. Influence of dihydroergotoxine and piracetam on creatine kinase activity in contused spinal cord. *Arch Int Pharmacodyn Ther* 250:266-272, 1981
- 13-Atweh SF, Kuhar MJ. Autoradiographic localisation of opiate receptors in rat brain : I. spinal cord and lower medulla. *Brain Res* 124:63-67, 1977
- 14-Aunon JI, et al. Signal processing in evoked potential research : averaging and modelling. *Critical Rev Bioengin*, CRC Press 5:4, 1981
- 15-Austin GM, McCough G. Presynaptic component of intermediary cord potential. *J Neurophys* 18:441-451, 1955
- 16-Austin G, Sato M. Repetitive firing of single dorsal root ganglion cells and motoneurons. In ; *Basic Research in Paraplegia*. ed.JD French, RW Porter, Charles C Thomas, Springfield, Illinois, pp 137-147, 1962
- 17-Baran EM. Spinal cord responses to peripheral nerve stimulation in man. *Arch Phys Med Rehabil* 61:10-17, 1980
- 18-Baskin DS, Hosobuchi Y. Naloxone reversal of ischaemic neurological deficits in man. *Lancet* 2:272-275, 1981
- 19-Başkesen M. Deneysel spinal kord travmalarının akut fazında %20 lik manitolün etkisi. *İhtisas Tezi*, 1982
- 20-Beall JE, Applebaum AE, Foreman RD, Willis WD. Spinal cord potentials evoked by cutaneous afferents in the monkey. *J Neurophys* 40:199-211, 1977

- 21-Beaton J. DMSD. Paraplegia News, 11:1-4,1980
- 22-Benezech J, Flamm ES, Frerebeau PH, et al. Electrophysiological changes in experimental spinal cord trauma. Acta Neurochir Suppl 28:596-598, 1979
- 23-Benton LA, Baker LL, Bowman BR, Waters RL. Functional Electrical Stimulation - a practical clinical guide. Rancho Los Amigos Rehabilitation Engineering Center, Downey California, 2th Ed, 1981
- 24-Berenstein A, Young W, Ransohoff J, et al. Somatosensory evoked potentials during spinal angiography and therapeutic transvascular embolisation. J Neurosurg 60:777-785,1984
- 25-Bernhard CG. On the analysis of the spinal cord potential. Univ Leeds Mag 21:1-10,1951
- 26-Bernhard CG. The spinal cord potentials in leads from the cord dorsum in relation to peripheral source of afferent stimulation. Acta Physiol Scand Suppl 106:1-29,1953
- 27-Bernstein JJ, Patel U, Keleman M, et al. Ultrastructure of fetal spinal cord and cortex implants into adult rat spinal cord. J Neurosci Res 11:359-372,1984
- 28-Bernstein JJ. Kişisel görüşmə, mektup, 1985
- 29-Bingham WG, Goldman H, Friedman SJ, et al. Blood flow in normal and injured spinal cord. J Neurosurg 43:162-171,1975
- 30-Björklund A, Stenevi U. Regeneration of monoaminergic and cholinergic neurons in the mammalian central nervous system. Physiol Rev 59:62-100 1979
- 31-Black P, Markowitz RS. Experimental spinal cord injury in monkeys : comparison of steroids and hypothermia. Surg Forum 22:409-411,1971
- 32-Bohlmann HH. PCR, Progress in Research, 2,1983
- 33-Borgens RB. What is the role of naturally produced electrical current in vertebrate regeneration and healing? Int Rev Cytol 76:245-298,1982
- 34-Borgens RB. The effects of electrical fields on nerve regeneration. Paraplegia News 37:24,1983
- 35-Bracken MB, Collins WF, Freeman DF, et al. Efficacy of methylprednisolone in acute spinal cord injury. JAMA 251:45-52,1984
- 36-Brandon A. Electrocorticographic and electromyelographic findings in anaphylactic shock. EEG Clin Neurophys 7:371-374,1955
- 37-Braughler JM, Hall ED. Correlation of methylprednisolone levels in cat spinal cord with its effects on ($\text{Na}^+ + \text{K}^+$)ATPase, lipid peroxidation and alpha motor neuron function. J Neurosurg 56:838-844,1982
- 38-Braughler JM, Hall ED. Uptake and elimination of methylprednisolone from contused spinal cord following intravenous injection of the sodium succinate ester. J Neurosurg 58:538-542,1983
- 39-Braughler JM, Hall ED. Lactate and pyruvate metabolism in injured cat spinal cord before and after a single large intravenous dose of methylprednisolone. J Neurosurg 59:256-261,1983
- 40-Braughler JM, Hall ED. Effects of multi-dose methylprednisolone sodium succinate administration on injured cat spinal cord neurofilament degradation and energy metabolism. J Neurosurg 61:290-295,1984
- 41-Braughler JM, Hall ED. Current application of "High Dose" steroid therapy for CNS injury-a pharmacological perspective-review article. J Neurosurg 62:806-810,1985

- 42-Bresnahan JC. An electron microscopic analysis of axonal alterations following blunt contusion of the spinal cord of the rhesus monkey. *J Neurol Sci* 37:59-82,1978
- 43-Brodner RA, Dohrmann GJ, Roth RH, Rubin RA. Correlation of cerebrospinal fluid serotonin and altered spinal cord blood flow in experimental trauma. *Surg Neurol* 13:337-343,1980
- 44-Brown WF, Davis MF. Epidural recording of root and segmental spinal cord potential. *Abstr 7th Intern Congr EMG*,1983
- 45-Brust-Carmona H, Levitan H, Kasprzak H, Gasteiger EL. Spinal electrogram of the cat. I. study of origin by degeneration and ischemia. *EEG Clin Neurophys* 25:101-110,1968
- 46-Campbell JB, DeCrescito V, Tomasula JJ, et al. Experimental treatment of spinal cord contusion in the cat. *Surg Neurol* 1:102-106,1973
- 47-Campbell JB, DeCrescito V, Tomasula JJ, et al. Effect of antifibrinolytic and steroid therapy on the contused spinal cord of cats. *J Neurosurg* 40:726-733,1974
- 48-Carpenter MB. Spinal cord : gross anatomy and internal structure-tracts of the spinal cord. in; *Human Neuroanatomy*. ed.MB Carpenter. Williams & Wilkins Co. Baltimore, Maryland, 7th Ed, pp 213-284,1976
- 49-Cawthon DF, Senter HJ, Stewart WB. Comparison of hydrogen clearance and C14-antipyrine autoradiography in the measurement of spinal cord blood flow after severe impact injury. *J Neurosurg* 52:801-807,1980
- 50-Chabot R, York DH, Watts C, Waugh WA. Somatosensory evoked potentials evaluated in normal subjects and spinal cord injured patients. *J Neurosurg* 63:544-551,1985
- 51-Chehrazi B, Parkinson J, Bucholz R. Evoked somatosensory potentials to common peroneal nerve stimulation in man. *J Neurosurg* 55:733-741,1981
- 52-Chiappa KH, Ropper AH. Evoked potentials in clinical medicine-second of two parts. *New Eng J Med* 20:1205-1211,1982
- 53-Cohen MR, Cohen RM, Pickor D, et al. Physiological effects of high dose naloxone administration in normal adults. *Life Sci* 30:2025-2031,1982
- 54-Collins WF. A review and update of experiment and clinical studies of spinal cord injury. *Paraplegia* 21:204-219,1983
- 55-Comarr AE, Kaufmann AA. A survey of the neurological results of 858 spinal cord injuries- a comparison of patients treated with and without laminectomy. *J Neurosurg* 13:95-106,1956
- 56-Cook MJ. The anatomy of the laboratory mouse. Academic Press, London-New York-San Fransisco, 1965
- 57-Coombs JS, Curtis DR, Landgren S. Spinal cord potentials generated by impulses in muscle and cutaneous afferent fibres. *J Neurophys* 19:452-467,1956
- 58-Cooper PR, Moody S, Clark WK, et al. Dexamethasone and severe head injury. *J Neurosurg* 51:307-316,1979
- 59-Cooper R. Detection of cerebral evoked potentials. *J Electophys Tech.* 1:108-122,1975
- 60-Cracco JB, Cracco RQ, Stolove R. Spinal evoked potential in man : a maturational study. *EEG Clin Neurophys* 46:58-64,1979
- 61-Cracco RQ, Evans B. Spinal evoked potential in the cat : effects of asphyxia, strychnine, cord section and compression. *EEG Clin Neurophys* 44: 187-201,1978

- 62-Croft TJ, Brodkey JS, Nulsen FE. Reversible spinal cord trauma : a model for electrical monitoring of spinal cord function. *J Neurosurg* 36:402-406, 1972
- 63-Curtis MT, Lefer AM. Protective actions of naloxone in hemorrhagic shock. *Am J Physiol* 239:11416-11421, 1980
- 64-Cusick JF, Myklebust J, Larson SJ, Sances A. Spinal evoked potentials in the primate : neural substrate. *J Neurosurg* 49:551-557, 1978
- 65-Cusick JF, Myklebust J, Larson SJ, et al. Spinal cord evaluation by cortical evoked responses. *Arch Neurol (Chicago)* 36:140-143, 1979
- 66-Cusick JF, Myklebust J, Zyvoloski M, et al. Effects of vertebral column distraction in the monkey. *J Neurosurg* 57:651-659, 1982
- 67-Dalbastı T, Zileli M, Övül İ. Fonksiyonel elektriksel stimülasyon - paraplejik bir olguda uygulama. VII.Uluslararası Nörofizyoloji Kongresi Bildirileri, Antalya, 25-27 Ekim 1984
- 68-D'Andrea F, Mazzarella B, Misasi N. Mannitol and urea solutions in the management of cervical cord injury. *Int Congr Series*, Amsterdam, Excerpta Medica Found. 93:210, 1965
- 69-D'Angelo CM, VanGilder JC, Taub A. Evoked cortical potentials in experimental spinal cord trauma. *J Neurosurg* 38:332-336, 1973
- 70-Dawson GD. Cerebral responses to electrical stimulation of peripheral nerve in man. *J Neurol Neurosurg Psychiatr* 10:137-140, 1947
- 71-Deecke L, Tator CH. Neurophysiological assessment of afferent and efferent conduction in the injured spinal cord of monkeys. *J Neurosurg* 39:65-74, 1973
- 72-De la Torre JC, Kajihara K, Rowed KW, et al. Modification of experimental head and spinal cord injuries using dimethyl sulfoxide. *Trans Am Neurol Assoc* 97:230-233, 1972
- 73-De la Torre JC, Johnson CM, Goode DJ, Mullan S. Pharmacologic treatment and evaluation of permanent experimental spinal cord trauma. *Neurology* 25: 508-514, 1975
- 74-Delbeke J, McComas AJ, Kopec SJ. Analysis of evoked lumbosacral potentials in man. *J Neurol Neurosurg Psychiatr* 41:293-302, 1978
- 75-Delwaide PJ. Vestibular influences on proprioceptive reflexes of the lower limb in normal man. in; *New Developments in EMG & Clinical Neurophysiology*. ed. JE Desmedt. Karger, Basel, vol 3, pp 336-341, 1973
- 76-Demopoulos HB, Flamm ES, Seligman ML, et al. Further studies on free-radical pathology in major central nervous system disorders : effect of very high doses of methylprednisolone on the functional outcome, morphology and chemistry of experimental spinal cord impact injury. *Can J Physiol Pharmacol* 60:1415-1424, 1982
- 77-Dempsey EW, Morison RS, Morison BR. Some afferent diencephalic pathways related to cortical potentials in the cat. *Am J Physiol* 131:718-731, 1941
- 78-Desmedt JE, Brunko E. Functional organisation of far-field and cortical components of somatosensory evoked potentials in normal adults. in; *Clinical Uses of Cerebral, Brainstem and Spinal Somatosensory Evoked Potentials*. ed. JE Desmedt, *Progress in Clinical Neurophysiology*, Karger, Basel, vol 7, pp 27-50, 1980
- 79-Dimitrijevic MR. Neurophysiological assessment of changes induced by neuromuscular electrical stimulation in stabilised spinal cord injury patients. *Abstr. Paraplegia News* 2:29-34, 1985

- 80-Dohrmann GJ, Wagner FC, Bucy PC. The microvasculature in transitory traumatic paraplegia-en electron microscopic study in the monkey. J Neurosurg 35:263-271,1971
- 81-Dohrmann GJ, Wick KM, Bucy PC. Spinal cord blood flow patterns in experimental traumatic paraplegia. J Neurosurg 38:52-58,1973
- 82-Dolan EJ, Transfeldt EE, Tator CH, et al. The effect of spinal distraction on regional spinal cord blood flow in cats. J Neurosurg 53:756-764 1980
- 83-Dolan EJ, Tator CH, Endrenyi L. The value of decompression for acute experimental spinal cord compression injury. J Neurosurg 53:749-755,1980
- 84-Dolan EJ, Tator CH. The effect of blood trasfusion, dopamine and gamma hydroxybutyrate on posttraumatic ischemia of the spinal cord. J Neurosurg 56:350-358,1982
- 85-Donaphy RMP, Numoto M. Prognostic significance of sensory evoked potential in spinal cord injury. Proc Spinal Cord Inj Conf 17:251-257,1969
- 86-Dow-Edwards D, DeCrescito V, Tomasula JJ, et al. Effect of aminophylline and isoproterenol on spinal cord blood flow after impact injury. J Neurosurg 53:385-390,1980
- 87-Ducati A, et al. Treatment of spinal cord trauma with thiopental ; an experimental study on cats. Abstr 7th Intern Congr Neurol Surg, Munchen,1981
- 88-Ducker TB, Hamit HF. Experimental treatments of acute spinal cord injury. J Neurosurg 30:693-697,1969
- 89-Ducker TB. Experimental injury of the spinal cord. in;Handbook of Clinical Neurology. ed.PJ Vinken, BW Bruyn, Amsterdam, North Holland Co.,vol 31, pp 9-26, 1976
- 90-Ducker TB, Saleman M, Perot PL, Ballantine D. Experimental spinal cord trauma, I : correlation of blood flow, tissue oxygen and neurologic status in the dog. Surg Neurol 10:60-63,1978
- 91-Ducker TB, Saleman M, Lucas JT, et al. Experimental spinal cord trauma, II : blood flow, tissue oxygen, evoked potentials in both paretic and plegic monkeys. Surg Neurol 10:64-70,1978
- 92-Ducker TB, Saleman M, Daniell HB. Experimental spinal cord trauma, III : therapeutic effect of immobilization and pharmacologic agents. Surg Neurol 10:71-76,1978
- 93-Eccles JC, Malcolm JL. Dorsal root potentials of the spinal cord. J Neurophysiol 9:139-160,1946
- 94-Eidelberg E, Sullivan J, Brigham A. Immediate consequences of spinal cord injury : possible role of potassium in axonal conduction block. Surg Neurol 3:317-321,1975
- 95-Eidelberg E. Grading animals with spinal cord injury - letter. J Neurosurg 43:646,1975
- 96-El-Negamy E, Sedgwick M. Properties of a spinal somatosensory evoked potential recorded in man. J Neurol Neurosurg Psychiat 41:762-768,1978
- 97-Ertekin C. Studies on the human evoked electrospinogram I : the origin of the segmental evoked potentials. Acta Neurol Scand 53:3-20,1976
- 98-Ertekin C. Studies on the human evoked electrospinogram II : the conduction velocity along the dorsal funiculus. Acta Neurol Scand 53:21-27 1976
- 99-Ertekin C. Comparison of the human evoked electrospinogram recorded from the intrathecal, epidural and cutaneous levels. EEG Clin Neurophysiol 44:683.1978

- 100-Ertekin C, Mutlu R, Sarica Y, Üçkardeşler L. Electrophysiological evaluation of the afferent spinal roots and nerves in patients with conus medullaris and cauda equina lesions. *J Neurol Sci* 48:419-433, 1980
- 101-Ertekin C, Sarica Y, Üçkardeşler L. Studies on the human spontaneous electromyogram (EMyeloG). I. normal subjects. *EEG Clin Neurophysiol* 55:13-23, 1983
- 102-Ertekin C, Sarica Y, Üçkardeşler L. Studies on the human spontaneous electromyogram (EMyeloG). II. patients with peripheral nerve, root and spinal cord disorders. *EEG Clin Neurophysiol* 55:24-33, 1983
- 103-Faden AI, Jacops TP, Holaday JW. Thyrotropin-releasing hormone improves neurologic recovery after spinal trauma in cats. *New Engl J Med* 305:1063-1067, 1981
- 104-Faden AI, Jacops TP, Holaday JW. Opiate antagonist improves neurologic recovery after spinal injury. *Science* 30:493-494, 1981
- 105-Faden AI, Jacops TP, Mougey E, et al. Endorphins in experimental spinal injury : therapeutic effect of naloxone. *Ann Neurol* 10:326-332, 1981
- 106-Faden AI, Jacops TP, Smith MT, Holaday JW. Comparison of thyrotropin-releasing hormone (TRH), naloxone and dexamethasone treatments in experimental spinal cord injury. In Press, 1983
- 107-Faden AI. Kişisel görüşme, mektup, 1983
- 108-Fairholm DJ, Turnbull IM. Microangiographic study of experimental spinal cord injuries. *J Neurosurg* 35:277-286, 1971
- 109-Favale E, et al. Investigations on the nervous mechanisms underlying the somatosensory cervical response in man. *J Neurol Neurosurg Psychiatry* 45:706-801, 1982
- 110-Feldman MH, Cracco RQ, Farmer P, Mount F. Spinal evoked potential in the monkey. *Ann Neurol* 7:238-244, 1980
- 111-Feldman S. Pharmacokinetics of drugs in spinal cord injured persons. *Paraplegia News* 2:28, 1985
- 112-Feringa ER, Kowalski TF, Vahlsink HL, et al. Enzyme treatment of spinal cord of transected rats. *Ann Neurol* 5:203-206, 1979
- 113-Fernandez de Molina A, Gray JAB. Activity in the dorsal spinal gray matter after stimulation of cutaneous nerves. *J Physiol* 137:126-140, 1957
- 114-Feuer H. Management of acute spine and spinal cord injuries-old and new concepts. *Arch Surg* 111:638-645, 1976
- 115-Flamm ES, Young W, Demopoulos HB, et al. Experimental spinal cord injury : treatment with naloxone. *Neurosurg* 10:227-231, 1982
- 116-Flamm ES, Young W, Collins WF, et al. A phase I trial of naloxone treatment in acute spinal cord injury. *J Neurosurg* 63:390-397, 1985
- 117-Ford RJW. A reproducible spinal cord injury model in the cat. *J Neurosurg* 59:268-275, 1983
- 118-Ford RJW, Malm DN. Failure of tetracaine to reverse spinal cord injury in the cat. *J Neurosurg* 60:1269-1274, 1984
- 119-Frank K, Fuortes MGF. Potentials recorded from the spinal cord with microelectrodes. *J Physiol* 130:625-654, 1955
- 120-Freed WJ, Medinaceli L, Wyatt RJ. Promoting functional plasticity in the damaged nervous system. *Science* 227:1544-1552, 1985
- 121-Freeman LW, Wright TW. Experimental observations on concussion and contusion of the spinal cord. *Am Surg* 137:433-443, 1953

- 122-Freeman LW, MacDougall J, Turbes CC, et al. The treatment of experimental lesions of the spinal cord of dogs with trypsin. *J Neurosurg* 17:259-265, 1960
- 123-Fried LC, Goodkin R. Microangiographic observations of the experimentally traumatized spinal cord. *J Neurosurg* 35:709-714, 1971
- 124-Fujita S, Cooper IS. Impedance and spontaneous electrical activity as a localizing method in percutaneous spinal surgery. *Acta Neurol Scand* 53:201-208, 1976
- 125-Furui T, et al. Increase of β -endorphin levels in cerebrospinal fluid but not in plasma in patients with cerebral infarction. *J Neurosurg* 61:748-751, 1984
- 126-Garner FM, Innes IRM, Nelson DH. Murine neuropathology. in; *Pathology of Laboratory Rats and Mice*. eds. E. Cotchin, FJC Coe. Blackwell Sci Publ, Oxford, Edinburgh, pp 295-348, 1967
- 127-Gasser HS, Graham HT. Potentials produced in the spinal cord by stimulation of dorsal roots. *J Physiol* 87:303-320, 1932
- 128-Geldard JB, Fife WP, Bowers DE, Deschner SE, Welch DW. Spinal cord transection in rats : the therapeutic effects of dimethyl sulfoxide and hyperbaric oxygen. *Ann NY Acad Sci* 411:218-233, 1983
- 129-Gelfan S, Tarlov IM. Differential vulnerability of spinal cord structures to anoxia. *J Neurophysiol* 18:170-188, 1955
- 130-Gelfan S, Tarlov IM. Physiol of spinal cord, nerve root and peripheral nerve compression. *Am J Physiol* 185:217-229, 1956
- 131-Gernhardt BE, Terzuolo CA. Effect of vestibular stimulation on strichnine induced activity of the spinal cord. *Am J Physiol* 183:1-8, 1955
- 132-Giblin DR. Somatosensory evoked potentials in healthy subjects and in patients with lesions of the nervous system. *Ann NY Acad Sci* 112:93-142, 1964
- 133-Giblin DR. Scalp recorded somatosensory evoked potentials. in; *Electro-diagnosis in Clinical Neurology*. ed. MJ Aminoff, Churchill Livingstone Inc, New York, pp 414-450, 1980
- 134-Ginsburg HH, Shetter AG, Raudzens PA. Postoperative paraplegia with preserved intraoperative somatosensory evoked potentials-case report. *J Neurosurg* 63:296-300, 1985
- 135-Glees P. *Experimental Neurology*. Oxford Univ Press, London, 1961
- 136-Goodman JH, Bingham WG, Hunt WE. Platelet aggregation in experimental spinal cord injury-ultrastructural observations. *Arch Neurol* 36:197-201, 1979
- 137-Goodnough J, Allen N, Nesham ME, Clendenon NR. The effect of dimethyl sulfoxide on gray matter injury in experimental spinal cord trauma. *Surg Neurol* 13:273-276, 1980
- 138-Göpfert HF. Slow potentials in the dorsal parts of the isolated spinal cord and their relation to dorsal root potentials. *J Physiol* 133:433-445, 1956
- 139-Görög P, Kovacs IB. Effects of dimethyl sulfoxide (DMSO) on various experimental inflammations. *Curr Ther Res* 10:486-492, 1968
- 140-Gosch HH, Gooding E, Schneider RC. An experimental study of cervical spine and cord injuries. *J Trauma* 12:570-576, 1972
- 141-Goshgarian HG, Koistinen JM, Schmidt ER. Cell death and changes in the retrograde transport of horseradish peroxidase in the adult rat. *J Comp Neurol* 214:251-257, 1983

- 142-Gossman M, White RJ, Taslitz N, Albin MS. Electrophysiological responses immediately after experimental injury to the spinal cord. *Anat Rec* 160:473, 1968
- 143-Grafstein B. Special article : cellular mechanisms for recovery from nervous system injury. *Surg Neurol* 13:363-365, 1980
- 144-Green BA, Wagner FC. Evolution of edema in the acutely injured spinal cord : a fluorescence microscopic study. *Surg Neurol* 1:98-101, 1973
- 145-Green BA, Kahn T, Klose KJ. A comparative study of steroid therapy in acute experimental spinal cord injury. *Surg Neurol* 13:91-97, 1980
- 146-Green JB, McLeod S. Short latency somatosensory evoked potentials in patients with neurological lesions. *Arch Neurol* 30:846-851, 1979
- 147-Greenberg RP, Ducker TB. Evoked potentials in the clinical neurosciences-review article. *J Neurosurg* 56:1-18, 1982
- 148-Griffiths IR, Trench JG, Crawford RA. Spinal cord blood flow and conduction during experimental cord compression in normotensive and hypotensive dogs. *J Neurosurg* 50:353-360, 1979
- 149-Grundy BL, Heros RC, Tung AS, Doyle E. Intraoperative hypoxia detected by evoked potential monitoring. *Anesth Analg* 60:437-439, 1981
- 150-Grundy BL, Nash CL, Brown RH. Arterial pressure manipulation alters spinal cord function during correction of scoliosis. *Anesthesiol* 54:249-253, 1981
- 151-Grundy BL. Monitoring of sensory evoked potentials during neurosurgical operations : methods and applications. *Neurosurg* 11:556-575, 1982
- 152-Grüninger W, Ricker K. Somatosensory cerebral evoked potentials in spinal cord diseases. *Paraplegia* 19:206-215, 1981
- 153-Guha A, Tator CH, Piper I. Increase in rat spinal cord blood flow with the calcium channel blocker. *J Neurosurg* 63:250-259, 1985
- 154-Guth L, Albuquerque EX, Deshpande SS, et al. Ineffectiveness of enzyme therapy on regeneration in the transected spinal cord of the rat. *J Neurosurg* 52:73-86, 1980
- 155-Hales JRS, Yeo JD, Stabback S, et al. Effects of anesthesia and laminectomy on regional spinal cord blood flow in conscious sheep. *J Neurosurg* 54:620-626, 1981
- 156-Hall ED, Braughler JM. Effects of intravenous methylprednisolone on spinal cord lipid peroxidation and ($\text{Na}^+ + \text{K}^+$)ATPase activity- dose-response analysis during first hour after contusion injury in the cat. *J Neurosurg* 57:247-253, 1982
- 157-Hall ED, Wolf DL, Braughler JM. Effects of a single large dose of methylprednisolone sodium succinate on experimental posttraumatic spinal cord ischemia - dose-response and time-action analysis. *J Neurosurg* 61:124-130, 1984
- 158-Hallenbeck JM, Jacops TP, Faden AI. Combined PGI₂, indomethacin and heparin improves neurological recovery after spinal trauma in cats. *J Neurosurg* 58:749-754, 1983
- 159-Halliday AM, Wakefield GS. Cerebral evoked responses in patients with dissociated sensory loss. *Neurophys* 14:786, 1962
- 160-Hansebout RR, Küchner EF, Romero-Sierra C. Effects of local hypothermia and of steroids on recovery from experimental spinal cord compression injury. *Surg Neurol* 4:531-536, 1975

- 161-Hansebout RR, Van der Jagt RHC, Sohal SS, Little JR. Oxygenated fluorocarbon perfusion as treatment of acute spinal cord compression injury in dogs. *J Neurosurg* 55:725-732, 1981
- 162-Happe RD. Cat⁺ accumulation in experimental spinal cord trauma. *Brain Res* 421:476-479, 1981
- 163-Harvey JE, Srebnik HH. Locomotor activity and axon regeneration following spinal cord compression in rats treated with L-thyroxine. *J Neuropathol Exp Neurol* 26:661-668, 1967
- 164-Hayashi N, Green BA, Carvajal MG, Mora J, Veraa RP. Local blood flow, oxygen tension, and oxygen consumption in the rat spinal cord. Part 1:oxygen metabolism and neuronal function. *J Neurosurg* 58:516-525, 1983
- 165-Hayashi N, Green BA, Carvajal MG, Mora J, Veraa RP. Local blood flow, oxygen tension, and oxygen consumption in the rat spinal cord. Part 2: relation to segmental level. *J Neurosurg* 58:526-530, 1983
- 166-Hayes RL, Galinat BJ, Kulakarne P, et al. Effect of naloxone on systemic and cerebral responses to experimental concussive brain injury in cats. *J Neurosurg* 58:720-728, 1983
- 167-Hedeman LS, Shellenberger MK, Gordon JH. Studies in experimental spinal cord trauma part 1: alterations in catecholamine levels. *J Neurosurg* 40:37-43, 1974
- 168-Hedeman LS, Sil R. Studies in experimental spinal cord trauma part 2: comparison of treatment with steroids, low molecular weight dextran, and catecholamine blockade. *J Neurosurg* 40:44-51, 1974
- 169-Higgins AC, Nashold BS. The acute effects of hyperbaric oxygen therapy on long tract conduction in spinal cord injury. *Abstr 7th Int Congr Neurol Surg, München*, 1981
- 170-Hill PK, de la Torre JC, Thompson SM, et al. Ultrastructural studies of rat fasciculi gracilis unmyelinated fibers after contusion and DMSO treatment. *Ann NY Acad Sci* 411:200-217, 1983
- 171-Hitchcock E, Lewin M. Stereotactic recording from the spinal cord of man. *Brit Med J* 4:44-45, 1969
- 172-Hitchon PW, Lobosky JM, Yamada T, Torner JC. Effect of laminectomy and anesthesia upon spinal cord blood flow. *J Neurosurg* 61:545-549, 1984
- 173-Holaday JW. Endorphins in shock and spinal injury: therapeutic effects of naloxone and thyrotropin-releasing hormone. *Prog Clin Biol Res* 111:167-184, 1983
- 174-Holbach KH, Wassmann H, Linke D. The use of hyperbaric oxygenation in the treatment of spinal cord lesions. *Eur Neurol* 16:213-221, 1977
- 175-Holmgren B. Conduction along the dorsal tracts of the spinal cord. *J Physiol* 123:324-337, 1954
- 176-Hubbard JL, Sundt TM. Failure of naloxone to affect focal incomplete cerebral ischemia and collateral blood flow in cats. *J Neurosurg* 59:237-244, 1983
- 177-Hughes J, McCough GD, Steward WB. Cord potentials in the spinal cat. *Amer J Physiol* 118:411-421, 1937
- 178-Hulser PJ, Wietholter H. Spinal somatosensory evoked potentials after stimulation of the tibial nerve in the rat. *Abstr 7th Int Congr EMG München*, 1983
- 179-Hung TK, Lin HS, Albin KS, et al. The standardisation of experimental impact injury to the spinal cord. *Surg Neurol* 11:470-477, 1979

- 180-Hung TK, Chang GL, Chang JL, et al. Stress-strain relationship and neurological sequelae of uniaxial elongation of the spinal cord of cats. *Surg Neurol* 15:471-476, 1981
- 181-Hung TK, Lin HS, Bunegin L, Albin MS. Mechanical and neurological response of cat spinal cord under static loading. *Surg Neurol* 17:213-217, 1982
- 182-Illert M, Lundberg A, Tanaka R. Disynaptic corticospinal effects in forelimb motoneurons in the cat. *Brain Res* 75:312-315, 1974
- 183-Illingworth RD, Molina-Negro P. Spontaneous and electrically evoked activity in the anterolateral column of the spinal cord in dogs. *J Neurosurg* 40:58-64, 1974
- 184-Itakura T. Aminergic and cholinergic innervations of the spinal cord blood vessels of cats-a histochemical study. *J Neurosurg* 58:900-905, 1983
- 185-Jacob SW, Wood DC. Dimethyl sulfoxide (DMSO) : toxicology, pharmacology and clinical experience. *Am J Surg* 114:414-426, 1967
- 186-Jacob SW. Kişisel görüşme, mektup. 1982
- 187-Johnsson HY, Daniell HB. Altered levels of PGF in cat spinal cord tissue following traumatic injury. *Prostaglandins* 11:51-61, 1976
- 188-Jörg J. Somatosensorisch evozierte potentielle (SEP) vom plexus brachialis, rückenmark, hirnstamm und cortex nach n.medianus stimulation. *Nervenarzt* 53:333-343, 1982
- 189-Joyner J, Freeman LW. Urea and spinal cord trauma. *Neurol* 13:69-72, 1963
- 190-Kajihara K, Kawanaga H, de la Torre JC, Mullan S. Dimethyl sulfoxide in the treatment of experimental acute spinal cord injury. *Surg Neurol* 1:16-22, 1973
- 191-Kakigi R, Shibasaki H, et al. Short-latency somatosensory evoked spinal and scalp-recorded potentials following posterior tibial nerve stimulation in man. *EEG Clin Neurophys* 53:602-611, 1982
- 192-Kao CC. PCRF, Progress in Research, 2:11, 1982
- 193-Kapadia SE. Ultrastructural alterations in blood vessels of the white matter after experimental spinal cord trauma. *J Neurosurg* 61:539-544 1984
- 194-Kaplan PE, Rosen JS. Somatosensory evoked potentials in spinal cord injured patients. *Paraplegia* 19:118-122, 1981
- 195-Kasprzak H, Gasteiger EL. Spinal electrogram of freely moving cat: supraspinal and segmental influences. *Brain Res* 22:207-220, 1970
- 196-Kastin AJ Jr, et al. Improvement in mental depression with decreased thyrotropin response after administration of thyrotropin-releasing hormone. *Lancet* 2:740-742, 1972
- 197-Kiernan JA. Hypothesis concerned with axonal regeneration in the mammalian nervous system. *Biol Rev* 54:155-197, 1979
- 198-Kimura J. Techniques of repetitive stimulation. in; *Electrodiagnosis in Diseases of Nerve and Muscle - Principles and Practice*. FA Davis, Philadelphia, pp 189-206, 1983
- 199-Kimura J, Yamada T. Cerebral and spinal evoked potential in evaluation of somatosensory pathways. *Am Ass EMG Electrodiagn*, 1978
- 200-Kiwierski J, Weiss M, Pasniczek R. Stimulation of the spinal cord after its traumatic lesion. *Chir Narzadow Ruchu Ortop Pol (Engl Abstr)* 43:23-28, 1978

- 201-Kiwerski J, et al. Clinical use of pulsating electromagnetic energy in the treatment of spinal cord injuries. Chir Narzadow Ruchu Ortop Pol (Engl Abstr) 45:273-277, 1980
- 202-Knowles JF, Berry M. Effect of enzyme treatment of central nervous system lesions in the rat. Exp Neurol 59:450-454, 1978
- 203-Kobrine AI. The neuronal theory of experimental traumatic spinal cord dysfunction. Surg Neurol 3:261-264, 1975
- 204-Kobrine AI, Evans DE, Rizzoli H. Correlation of spinal cord blood flow and function in experimental compression. Surg Neurol 10:54-59, 1978
- 205-Kobrine AI, Evans DE, Rizzoli H. The effect of sciatic nerve stimulation on spinal cord blood flow. J Neurol Sci 38:435-439, 1978
- 206-Kobrine AI, Evans DE, Rizzoli H. Experimental acute balloon compression of the spinal cord- factors affecting disappearance and return of the spinal evoked response. J Neurosurg 51:841-845, 1979
- 207-Kobrine AI, Evans DE. Correlation of spinal evoked responses and spinal cord blood flow in experimental spinal cord injury. Abstr 7th Int Congr Neurol Surg, München, 1981
- 208-Kobrine AI, Evans DE, LeGrys DC, et al. Effect of intravenous lidocaine on experimental spinal cord injury. J Neurosurg 60:595-601, 1984
- 209-Kojima Y, et al. Evoked spinal potentials as a monitor of spinal cord viability. Spine 4:471-477, 1979
- 210-Koreh K, Seligman Ml, Flamm ES, Demopoulos HB. Lipid antioxidant properties of naloxone in vitro. Biochem Biophys Res Commun 102:1317-1322, 1981
- 211-Krieger AJ, et al. Electrophrenic respiration following anastomosis of phrenic with brachial nerve in the cat. J Neurosurg 59:262-267, 1983
- 212-Krikorian JG, et al. Enzyme histochemical changes after transection of the spinal cord of the rat. Exp Neurol 76:623-643, 1982
- 213-Kurihara M. Role of monoamines in experimental spinal cord injury in rats-relationship between Na⁺ +K⁺ ATPase and lipid peroxidation. J Neurosurg 62:743-749, 1985
- 214-LeBlanc HJ, Happel LT, Kline DG. Spinal cord evoked response-letter. J Neurosurg 44:269-270, 1976
- 215-Lenman JAR. The spinal cord and reflex activity. in; Clinical Neurophysiology, Blackwell Sci Publ, Oxford, London, Edinburgh, pp 87-124, 1975
- 216-Lesser RP. Technical aspects of evoked potential monitoring. Abstr 7th Int Congr EMG, 1983
- 217-Levitin H, Gasteiger EL, Kasprzak H, Brust-Carmona H. Spinal electrogram of the cat II - supraspinal influences. EEG Clin Neurophys 25: 111-118, 1968
- 218-Levy WJ. Spinal evoked potentials from the motor tracts. J Neurosurg 58:38-44, 1983
- 219-Levy WJ, York DH, McCaffrey M, Tanzer F. Motor evoked potentials from transcranial stimulation of the motor cortex in humans. Neurosurg 15:287-302, 1984
- 220-Levy WJ. Prediction of spared motor pathways and recovery from injury using the motor evoked potential in a spinal cord impact model. Paraplegia News 2:29-34, 1985
- 221-Lewin MG, Hansebout RR, Pappius HM. Chemical characteristics of traumatic spinal cord edema in cats- effects of steroids on potassium depletion. J Neurosurg 40:65-75, 1974

- 222-Liberson WT, Kim KC. The mapping out of evoked potentials by stimulation of median and peroneal nerves. *EEG Clin Neurophys* 15:721,1963
- 223-Loeser JD, Ward AA. Some effects of deafferentation on neurons of the cat spinal cord. *Arch Neurol* 17:629-636,1967
- 224-Lohse DC, et al. Spinal cord blood flow in experimental transient traumatic paraplegia. *J Neurosurg* 52:335-345,1980
- 225-Long DM, Hartmann J, French LA. The response of experimental cerebral edema to gl costeroid administration. *J Neurosurg* 24:843-854,1966
- 226-Lord JAH, et al. Endogenous opioid peptides : multiple agonists and receptors. *Nature* 267:495-499,1977
- 227-Lueders H, Gurd A, Hahn J, et al. A new technique for intraoperative monitoring of spinal cord function. *Spine* 7:110-115,1982
- 228-MacMillan V. The effects of gamma-hydroxybutyrate and gammabutyrolactone upon the energy metabolism of the normoxic and hypoxic rat brain. *Brain Res* 146:177-187,1978
- 229-Macon JB, Poletti CE. Conducted somatosensory evoked potentials during spinal surgery - part 1: control conduction velocity measurements. *J Neurosurg* 57:349-353,1982
- 230-Macon JB, Poletti CE, Sweet WH, et al. Conducted somatosensory evoked potentials during spinal surgery _ part 2: clinical applications. *57:354-359,1982*
- 231-Magness AP, Barnes KL, Ferrario CM, et al. Effect of hyaluronidase on acute spinal cord injury. *Surg Neurol* 13:157-159,1980
- 232-Mark VH, Gasteiger EL. Observations on the role of afferent and descending impulses on the spontaneous potentials of the spinal cord. *EEG Clin Neurophys* 5:251-258,1953
- 233-Martin SH, Bloedel JR. Evaluation of experimental spinal cord injury using cortical evoked potentials. *J Neurosurg* 39:75-81,1973
- 234-Matinian LA, Andreasian AS. Enzyme therapy in organic lesions of the spinal cord. Akademia Nazuk Armenian SSR, pp 94, 1973 (Engl.Transl : Brain Information Service, Univ Calif, Los Angeles, pp 156, 1976)
- 235-Matthews WB. The cervical somatosensory evoked potential in diagnosis. in;Electrodiagnosis in Clinical Neurology. ed.MJ Aminoff, Churchill Livingston Inc.,pp 451-467, 1980
- 236-McComas AJ. Response of the rat dorsal column system to mechanical stimulation of the hind paw. *J Physiol* 156:435-448,1963
- 237-McDonald WI, Robertson MAH. Changes in conduction during nerve fiber degeneration in the spinal cord. *Brain* 95:151-162,1972
- 238-McVeigh JF. Experimental cord crushes with special reference to the mechanical factors involved and subsequent changes in the areas of the cord affected. *Arch Surg* 7:573-600,1923
- 239-Means ED, Anderson DK, Waters TR, Kalaf L. Effect of methylprednisolone in compression trauma to the feline spinal cord. *J Neurosurg* 55:200-208,1981
- 240-Miglietta OE. The F response after transverse myelotomy. in;New Developments in EMG & Clinical Neurophysiology. ed.JE Desmedt, Karger, Basel, vol3, pp 323-327,1973
- 241-Molt JT, Gasteiger EL. Variability in spinal reflexes : a correlation with spontaneous slow wave activity in cat spinal cord. *Exp Neurol* 52:132-145,1976

- 242-Molt JT, Poulas DA, Bourke RS. Evaluation of experimental spinal cord injury by measuring spontaneous spinal cord potentials. J Neurosurg 48:985-992,1978
- 243-Morgan TH, Wharton GW, Austin GN. The results of laminectomy in patients with incomplete spinal cord injuries. Paraplegia 9:14-23,1971
- 244-Morin F. A new spinal pathway for cutaneous impulses. Am J Physiol 183: 245-252,1955
- 245-Morrison G, Lorig RJ, Brodkey JS, Nulsen FE. Electrospinogram and spinal and cortical evoked potentials in experimental spinal cord trauma. J Neurosurg 43:737-741,1975
- 246-Mutlu R. Omurilik yaralanmalarında spinal ve serebral uyartılmış yanıt- ların prognostik değeri. Uzmanlık Tezi, 1977
- 247-Nacimiento AC, Bartels M, Hermann HD, Loew F. Reflex activity and axonal conduction in the L7 spinal cord segment following experimental compression trauma. J Neurosurg 62:898-905,1985
- 248-Naftchi NE, Demeny M, DeCrescito V, et al. Biogenic amine concentrations in traumatized spinal cords of cats- effect of drug therapy. J Neurosurg 40:52-57,1974
- 249-Naftchi NE, et al. Spinal cord injury : effect of thyrocalcitonin on calcium, magnesium and phosphorus in paraplegic rats. Arch Phys Med Rehabil 61:575-579,1980
- 250-Nashold BS, Ovelman-Levitt J, Sharpe R, Higgins AC. Intraoperative evoked potentials recorded in man directly from dorsal roots and spinal cord. J Neurosurg 62:680-693,1985
- 251-Nemecek S, Petr R, Suma P, et al. Longitudinal extension of oedema in experimental spinal cord injury - evidence for two types of oedema. Acta Neurochir 37:7-16,1977
- 252-Nemecek S, et al. Serotonin in contused spinal cord. Acta Neurochir 39:53-58,1977
- 253-Nochomowitz ML. Electrical activation of respiration. Eng Medic Biol Mag 2:27-31,1983
- 254-Nornes H, Björklund A, Stenevi U. Reinnervation of the denervated adult spinal cord of rats by intraspinal transplants of embryonic brain stem neurons. Cell Tissue Res 230:15-35,1983
- 255-Oldfield EH, et al. Barbiturate protection in acute experimental spinal cord ischemia. J Neurosurg 56:511-516,1982
- 256-Osterholm JL. The pathophysiological response to spinal cord injury-the current status of related research. J Neurosurg 40:5-33,1974
- 257-Osterholm JL, Alderman JB, Triolo AJ, et al. Oxygenated fluorocarbon nutrient solution in the treatment of experimental spinal cord injury. Neurosurg 15:373-380,1984
- 258-Perot PL. The clinical use of somatosensory evoked potentials in spinal cord injury. Clin Neurosurg 28:367-381,1973
- 259-Perot PL, et al. Scalp-recorded somatosensory evoked potentials to stimulation of nerves in the lower extremities and evaluation of patients with spinal cord trauma. Ann NY Acad Sci 388:359-368,1982
- 260-Perot PL, Vera CL, Fountation EL. Elimination of EMG interference during recording of somatosensory evoked potentials elicited by posterior tibial nerve stimulation in patients with cervical spinal cord injury. EEG Clin Neurophys 56:104-109,1983

- 261-Pettegrew RK. Trypsin inhibition of scar formation in cordotomized rats. *Anat Rec* 184:501, 1976
- 262-Pool JL. Electrospinogram (ESG) : spinal cord action potentials recorded from a paraplegic patient. *J Neurosurg* 3:192-198, 1946
- 263-Powers SK, Bolger CA, Edwards BA. Spinal cord pathways mediating somatosensory potentials. *J Neurosurg* 57:472-482, 1982
- 264-Presad C. Actions and metabolism of thyrotropin-releasing hormone in the cat spinal cord. *Paraplegia News* 2:29-34, 1985
- 265-Puletti F, Blomquist AJ. A technique for recording single neuron potentials in the human spinal cord-technical note. *J Neurosurg* 26:96-98, 1967
- 266-Puletti F, Blomquist AJ. Single neuron activity in posterior columns of the human spinal cord. *J Neurosurg* 27:205-229, 1967
- 267-Raffensperger M. Caloric stimulation induced augmentation of H-reflexes in normal subjects, but not in spinal cord injured patients. *Neurosurg* 14:562-566, 1984
- 268-Raudzens PA. Intraoperative monitoring of evoked potentials. *Ann NY Acad Sci* 388:308-326, 1982
- 269-Reichel G, Lang G. Zur methodik der untersuchung spinaler evozierte potentielle. *Psychiat Neurol Med Psychol* 31:144-147, 1979
- 270-Rivlin AS, Tator CH. Objective clinical assessment of motor function after experimental spinal cord injury in the rat. *J Neurosurg* 47:577-581, 1977
- 271-Rivlin AS, Tator CH. Effect of duration of acute spinal cord compression in a new acute cord injury model in the rat. *Surg Neurol* 10:39-43, 1978
- 272-Rivlin AS, Tator CH. Regional spinal cord blood flow in rats after severe cord trauma. *J Neurosurg* 49:844-853, 1978
- 273-Rivlin AS, Tator CH. Effect of vasodilators and myelotomy on recovery after acute spinal cord injury in rats. *J Neurosurg* 50:349-352, 1979
- 274-Robbins SL, Cotran RS, Kumar V. Cellular injury and adaptation. in; *Pathologic Basis of Disease*. WB Saunders Co., Philadelphia, pp 1-17, 1984
- 275-Rodriguez M, Sahgal V, Subramani V. Neurotransmitters in spinal cord injury. *Arch Phys Med Rehabil* 58:547-554, 1977
- 276-Rowed DW, McLean JAG, Tator CH. Somatosensory evoked potentials in acute spinal cord injury: prognostic value. *Surg Neurol* 9:203, 1978
- 277-Rucker NC, Lumb WV, Scott RJ. Combined pharmacologic and surgical treatments for acute spinal cord trauma. *Am J Vet Res* 42:113B-1142, 1981
- 278-Sarica Y, Eti M, Ertekin C. Studies on the human spontaneous electro-myelogram (EMyeloG). III. spontaneous spinal cord activity of the cat relevant to the human spontaneous EMyeloG. *EEG Clin Neurophys* 55:168-179, 1983
- 279-Sarnowski RJ, Cracco RQ, Vogel HB, Mount F. Spinal evoked response in the cat. *J Neurosurg* 43:329-337, 1975
- 280-Sawa M. Spontaneous electrical activities obtained from human spinal cord. *Folia Psychiat Neurol Jap* 2:165-179, 1947
- 281-Schamus H. Beiträge zur pathologische anatomie der rückenmarkserschütterung. *Virhaus Arch* 12:470-495, 1890
- 282-Schiff JA, Cracco RQ, Rossini PM, Cracco JM. Somatosensory evoked potentials (SEPs) in patients with spinal cord disease : evaluation of spinal afferent transmission. *Abstr 7th Int Congr EMG*, München, 1983

- 283-Schmidt RA. Neural prosthesis and bladder control. Engin Med Biol Mag 2:31-38,1983
- 284-Schramm J, Krause R, Shigeno T, Brock M. Experimental investigation on the spinal cord evoked injury potential. J Neurosurg 59:485-492,1983
- 285-Schramm J, Shigeno T, Brock M. Clinical signs and evoked response alterations associated with chronic experimental cord compression. J Neurosurg 58:734-741,1983
- 286-Schreyer DJ, Jones EG. Growing corticospinal axons by-pass lesions of neonatal rat spinal cord. Neurosci 9:31-40,1983
- 287-Scremin OU, Decima EE. Control of blood flow in the cat spinal cord. J Neurosurg 58:742-748,1983
- 288-Sedgwick EM, Negamy EE, Frankel H. Spinal cord potentials in traumatic paraplegia and quadriplegia. J Neurol Neurosurg Psychiat 43:823-830,1980
- 289-Senter HJ, Venes JL. Altered blood flow and secondary injury in experimental spinal cord trauma. J Neurosurg 49:569-578,1978
- 290-Senter HJ, Venes JL, Kauer JS. Alterations of posttraumatic ischemia in experimental spinal cord trauma by a central nervous system depressant. J Neurosurg 50:207-216,1979
- 291-Shimoji K, Kano T, Morioka T, Ikezono E. Evoked spinal electrogram in a quadriplegic patient. EEG Clin Neurophys 35:659-662,1973
- 292-Shimoji K, Matsuki M, Shimizu H. Wave-form characteristics and spatial distribution of evoked spinal electrogram in man. J Neurosurg 46:304-313,1977
- 293-Shimoji K, Shimizu H, Maruyama Y. Origin of somatosensory evoked responses recorded from the cervical skin surface. J Neurosurg 48:980-984,1978
- 294-Singer JM, Russell GV, Coe JE. Changes in evoked potentials after experimental cervical spinal cord injury in the monkey. Exp Neurol 29:449-461,1970
- 295-Sloan T, Koht A, Ronai A, Toleikis JR. Events associated with intraoperative evoked potential changes-correlation with postoperative neurological status. abstr. Anesth Analg 64:285,1985
- 296-Spielholz NI, Benjamin MV, Engler GL, Ransohoff J. Somatosensory evoked potentials during decompression and stabilisation of the spine-methods and findings. Spine 4:500-505,1979
- 297-Spielholz NI, Benjamin MV, Engler GL, Ransohoff J. Somatosensory evoked potentials and clinical outcome in spinal cord injury. in;Neural Trauma. ed.Popp et al. Raven Press, New York, pp 217-22, 1979
- 298-Struppner A, et al. The therapeutic use of epidural opioids in flexor reflex spasm. Abstr 7th Int Congr EMG, München, 1983
- 299-Sukoff MH. The use of hyperbaric oxygenation in spinal cord injury. Abstr 7th Inter Congr Neurol Surg, München, 1981
- 300-Symon L, Hargadine J, Zawirski M, Branston N. Central conduction time as an index of ischemia in subarachnoid haemorrhage. J Neurol Sci 44:95-103,1979
- 301-Szentogothai J, Rethelyi M. Cyto-and neuropil architecture of the spinal cord. in;New Developments EMG Clin Neurophys. ed.JE Desmedt, Karger, Basel, vol 3, pp 20-37, 1973

- 302-Tarlov IM, Klinger H, Vitales S. Spinal cord compression studies: I.experimental techniques to produce acute and gradual compression. Arch Neurol Psychiat 70:813-819,1953
- 303-Tator C, Deecke L. Normothermic vs hypotermic perfusion in treatment of acute experimental spinal cord injury. Surg Forum 23:435-437,1972
- 304-Tator C, Deecke L. Value of normothermic perfusion, hypothermic perfusion and duratomy in the treatment of experimental acute spinal cord trauma. J Neurosurg 39:52-64,1973
- 305-Tator C, van der Jagt RHC. The effect of exogenous thyroid hormones on functional recovery of the rat after spinal cord compression injury. J Neurosurg 53:381-384,1980
- 306-Tator C, Rivlin AS, Lewis AJ, Schmoll B. Effect of triiodo-L-thyronine on axonal regeneration in the rat spinal cord after acute compression injury. J Neurosurg 58:406-410,1983
- 307-Tator C, Rivlin AS, Lewis AJ, Schmoll B. Effect of acute spinal cord injury on axonal counts in the pyramidal tracts of rats. J Neurosurg 61:118-123,1984
- 308-Ten Cate J, Walter WG, Koopman LJ. Electrical activity in frog spinal cord. J Neurophys 10:223-233,1947
- 309-Ten Cate J. Spontaneous electrical activity of the spinal cord. EEG Clin Neurophys 2:445-451,1950
- 310-Thienprasit P. et al. Effect of delayed local cooling on experimental spinal cord injury. J Neurosurg 42:150-154,1975
- 311-Tibbs PA, Young B, McAllister RG,Jr,et al. Studies of experimental cervical spinal cord transection. part I.hemodynamic changes after acute cervical spinal cord transection. J Neurosurg 49:558-562,1978
- 312-Truxal C. Watching the brain at work. IEEE Spectrum 18:52-57,1983
- 313-Uematsu S, et al. Effect of acute compression, hypoxia, hypothermia and hypovolemia on the evoked potentials of the spinal cord. EMG Clin Neurophys 21:229-252,1983
- 314-Utsunomiya R, Kanda R, Kanki T. Pharmacologic evaluation of nitroglycerin and prostoglandins for the treatment of experimentally induced paraplegia. Abstr 7th Inter Congr Neurol Surg, München, 1981
- 315-Vaidyanathan S, et al. A modulation of vesicourethral function with naloxone in traumatic paraplegics during the spinal shock phase : preliminary report. Ann Clin Res 14:98-102,1982
- 316-Vaidyanathan S, et al. Modulation of urinary bladder function with thyrotropin-releasing hormone in patients with spinal cord injuries during the spinal shock phase. Ann Clin Res 15:66-70,1983
- 317-Veraa RP, Grafstein B, Ress RA. Cellular mechanisms in axonal growth. Exp Neurol 64:649-698,1979
- 318-Veraa RP, Grafstein B. Cellular mechanisms for recovery from nervous system injury : a conference report. Exp Neurol 71:6-75,1981
- 319-Vise WM, Yashon D, Humt WE. Mechanisms of norepinephrine accumulation within sites of spinal cord injury. J Neurosurg 40:76-82,1974
- 320-Wagner FC, Dohrmann GJ, Bucy PC. Histopathology of transitory traumatic paraplegia in the monkey. J Neurosurg 35:272-276,1971
- 321-Wagner FC, Dohrmann GJ. Alterations in nerve cells and myelinated fibers in spinal cord injury. Surg Neurol 3:125-131,1975
- 322-Wagner FC, Steward WB. Effect of trauma dose on spinal cord edema. J Neurosurg 54:802-806,1981

- 323-Wagner FC, Chehrazi B. Early decompression and neurological outcome in acute cervical spinal cord injuries. *J Neurosurg* 56:699-705, 1982
- 324-Wall PD. Excitability changes in afferent fibre terminals and their relation to slow potentials. *J Physiol* 142:1-21, 1958
- 325-Weissman G, Sessa G, Bevans V. Effect of DMSO on the stabilisation of lysosomes by cortisone and chloroquine in vitro. *Ann NY Acad Sci* 141:326-332, 1967
- 326-Wells MR. Chemical induction of central nervous system regeneration: its past and future. *Paraplegia News* 37:26, 1983
- 327-Wexler I. Spinal evoked potentials in the diagnosis of cauda equina compression. *EMG Clin Neurophys* 22:521-524, 1982
- 328-White RJ, Albin MS, Harris LS. Spinal cord injury, sequential morphology and hypotermic stabilisation. *Surg Forum* 20:432-434, 1969
- 329-White RJ, Yashon D. Steroids in spinal cord trauma-general care of cervical spinal injuries. in; *Neurological Surgery*. ed. JR Youmans, vol 2, pp 1064, 1973
- 330-Whittle IR, Johnston IH, Besser M. Spinal cord monitoring during surgery by direct recording of somatosensory evoked potentials. *J Neurosurg* 60:440-443, 1984
- 331-Wilcoxon F, Katti SK, Wilcox RA. Critical values and probability levels for the wilcoxon rank sum test and the wilcoxon signed rank test. Amer Cyan Com, Lederle Lab Div, New York, 1963
- 332-Wilks SS. *Mathematical Statistics*. John Wiley & Sons Inc, New York, 1962
- 333-Willis WD, Weir MA, Skinner RD, Bryan RN. Differential distribution of spinal cord field potentials. *Exp Brain Res* 17:169-176, 1973
- 334-Winter A. PCRF, Progress in Research, 2, 1983
- 335-Wolman L. The disturbance of circulation in traumatic paraplegia in acute and late stages: a pathological study. *Paraplegia* 2:213, 1965
- 336-Worth RM, Markand ON, DeRossa GP, Warren CH. Intraoperative somatosensory evoked response monitoring during spinal cord surgery. in; *Clinical Applications of Evoked Potentials in Neurology*. eds. J Courjon, F Mauguere, M Revol. New York, Raven Press, pp 367-373, 1982
- 337-Wrathall JR, et al. Reconstruction of the contused spinal cord by the delayed nerve graft technique and cultured peripheral non-neuronal cells. *Acta Neuropathol (Berl)* 57:59-69, 1982
- 338-Wurtzman RJ, Zervas NT. Monoamine neurotransmitters and the pathophysiology of stroke and central nervous system trauma. *J Neurosurg* 40:34-36, 1971
- 339-Yardim M, Vural O. Surface and intrathecal spinal evoked potentials. Abstr 7th Inter Congr EMG, München, 1983
- 340-Yashon D, Bingham G, Faddoul EM, Hunt WE. Edema of the spinal cord following experimental impact trauma. *J Neurosurg* 38:693-697, 1973
- 341-Yates BJ, Thompson FJ, Mickel JP. Origin and properties of spinal cord field potentials. *Neurosurg* 11:439-450, 1982
- 342-Young W, Tomasula JJ, DeCrescito V, et al. Vestibulospinal monitoring in experimental spinal trauma. *J Neurosurg* 52:64-72, 1980
- 343-Young W, Flamm ES, Demopoulos HB, et al. Effect of naloxone on posttraumatic ischemia in experimental spinal contusion. *J Neurosurg* 55:209-219, 1981

- 344-Young W, DeCrescito V, Tomasula JJ. Effect of sympathectomy on spinal blood flow-autoregulation and posttraumatic ischemia. J Neurosurg 56:706-710, 1982
- 345-Young W, Flamm ES. Effect of high-dose corticosteroid therapy on blood flow, evoked potentials, and extracellular calcium in experimental spinal injury. J Neurosurg 57:667-673, 1982
- 346-Zeman W, Innes JRM. Craigie's Neuroanatomy of the Rat. Academic Press, New York, 1963
- 347-Zileli M, Övül İ, Tunçbay E. Akut spinal travmalar Üzerine ileriye dönük bir çalışma. XX.Nörolojik Bilimler ve Psikiyatri Kongr Bildirileri, Bursa, 1984
- 348-Zileli M, Dalbastı T, Övül İ. Fonksiyonel elektriksel stimülasyonun spastisiteye etkisi ve integre EMG. VII.Uluslararası Nörofizyoloji Kongresi Bildirileri, Antalya, 1984
- 349-Zileli M, Övül İ, Tunçbay E. Anterior kord sendromu. E Nörol Bil D 1:53-57, 1985
- 350-Zileli M, Dalbastı T, Övül İ. Deneysel omurilik yaralanmalarında naloxone'un etkisi-Ön bildiri. E Nörol Bil D 2/1:21-26, 1985
- 351-Zileli M, Övül İ, Canko S, Dalbastı T, İşlekkel S, Tunçbay E. Beyaz sıçanlarda omurilik yaralanmasının spontan elektromyelograma etkileri. E Nörol Bil D 2/2:8-15, 1985
- 352-Zileli M, Dalbastı T, Övül İ. Sıçanda SEP monitorizasyonu modeli. VII.Uluslararası Nörofizyoloji Kongr Bildirileri, İstanbul, 1985
- 353-Zileli M, Övül İ, Dalbastı T. Effects of some drugs on experimental spinal cord injury. 8th Inter Congr Neurol Surg, Toronto, Canada, 1985
- 354-Zileli M, Kasırga U, Övül İ. Vestibulospinal traktusun galvanik elektriksel stimülasyonunun integre yüzeyel refleks EMG yi potensiyalizasyonu. Yayınlanmamış çalışma, 1985
- 355-Zileli M, Övül İ, Tunçbay E. Ameliyat sırasında kısa latanslı somatosensoryel uyarılmış potansiyeller (SSEP) ile servikal omuriliğin monitorizasyonu. Yayınlanmamış çalışma, 1985